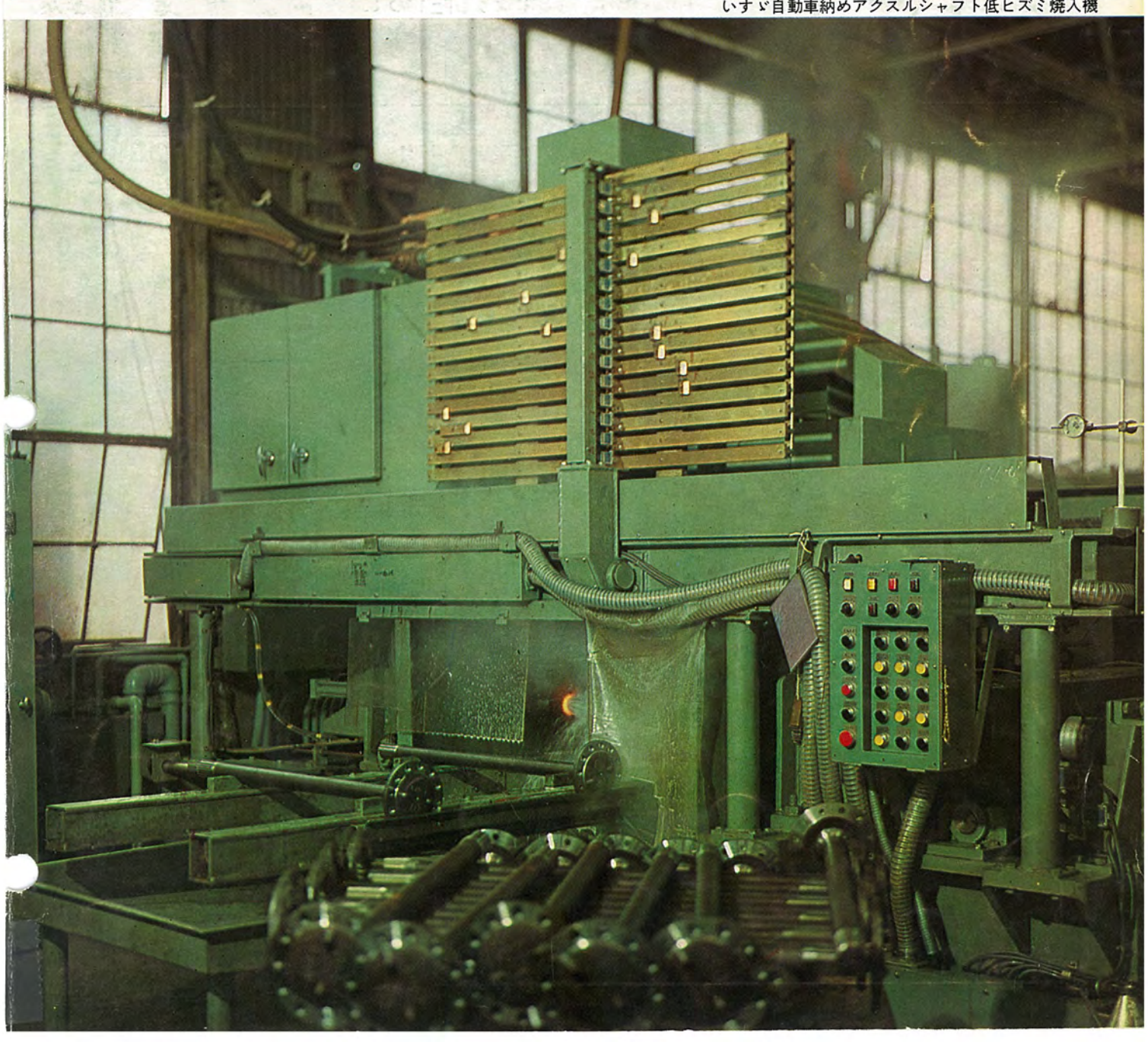


いすゞ自動車納めアクスルシャフト低ヒズミ焼入機



■オーストラリヤ・マンモラ発電所納め

348kV 400MVA超大形变圧器完成!

オーストラリヤのニュー・サウス・ウェールズ州電気局の注文により、鋭意製作中の同州マンモラ 火力発電所納め 400 MVA 主変圧器がこのほど完成した。この変圧器のおもな仕様や大きさは次に示すとおりであるが、その容量 400 MVA は、330 kV 級変圧器としてはわが国最大の記録品であり、また、輸出変圧器としてもわが国最大のものである。そのうえ、負荷時タップ切換器付変圧器としても、製作・輸出ともにわが国の記録品である。

■ 仕 様

400 MVA 特別三相式 外鉄形 フォームフイット 構造 負荷時 タップ 切換器付(MR 社製)送油水冷式 SUW-FI・1200 形 50 c/s

高圧側 348 kV (+6.5%~-10%)

1300 BIL 段絶緣

低圧側 17.5 kV 150 BIL

低圧側離相母線式三角接続 コッサペータ 三室式窒素封入 油なし重量 387 t

油 重 量 102 t (112,500 l)

総 重 量 489 t 輸送重量 110 t

外形寸法 幅16.07×奥行 6.324×高さ 11(m)

なお、当社ではマンモラ発電所納め主変圧器第1号機~第4号機・合計 1,600 MVA を受注しているが、このほど完成したのはそのうちの第1号機である。このマンモラ発電所はシドニ市の北 130 km、マンモラ湖畔に位置し、その近辺で産出される石炭を使ういわゆる山元発電所で、これが完成すれば 350 MW×4基=1,400 MW というオーストラリナ最大の発電所となるもので(1968 年完成予定)、全発電電力の 95% が火力発電という同州(ニュー・サウス・ウェールズ州はオーストラリナ第1の電力需要州である。)において、重要な位置を占める発電所になる。そして、当社が納入する変圧器により シドニ市の 330 kV 外輪線に接続され、同市およびその周辺の工業地帯へ給電される。



オーストラリヤ・マンモラ発電所納め 348 kV 400 MVA 超大形変圧器



表紙説明

4. 三菱扇風機コンパック



昭和 40 年 第 39 巻 第 6 号

目 次

《論 文》		
1000	電所納め 122.2 MVA 変圧器	2
	s 焼入機中村年克・酒井良雄・早瀬通明・上田時芳… 7	
	動機	
	用電動機 野畑正己… 23	
	車用 SCR 制御装置	
	泉電話装置山口哲夫・浜口道雄・村山 昇・三木博之… 41	
	が 電流損の計算・・・・・・・・・・・・・・・・・・・・・・・・・・・・・・・・・・・・	
	(アス形 ベータトロン (2)田中 修・広 三寿・池田 洋… 51	
	タスペクトロメータの設計・・・・・・・・・・・・・・・・・・・・・・・・・・・・・・・・・・・・	
E.C. V 2 11 10 1-3	秋葉稔光・鈴木飯允・上田孝寿	7
高速ケタ上げ加算回	□路 ····································	3
機械における学習	······伊藤貴康·福永圭之介···70	0
《技 術 講 座》		
SCR インバータとその応	応用 (その 2) 原理と動作 (上) ······大野 栄 一···大野 栄 一····大野 栄 一····	5
《新製品紹介》		
SB 4500 フレーム 屋外用	目三相誘導電動機・三菱 MVC 形 バルブモータ を開発・三菱電気 タッパ ET-6S-1 形	
新発売·19 形 114 度	偏向 ブラウン 管 19CMP4 を開発 · · · · · 85	3
《ニュースフラッシュ》	>	
メキシコ・マルパン 発電所	納め 400 kV 超々高圧変圧器15台受注・東京電力京浜変電所納め 345,000 kVA	
	kVA 3kc 立 〒 形高周波発電機完成・三菱重工業神戸造船所注文住友金属(和	
	駆動用 9,200 kW 2 極同期電動機完成・フロントフロアアセンブリ 用 マルチブルスポット 溶	
接機 (WS-2X75S 形)	完成	5
特許と新案》		
	P・無電気金 メッキ 溶液・電気車停止装置・誘導電圧調整装置の過大回転力	
	88	
	演一覧》	
	稿一覧》	3
2. 7	いすゞ自動車納め アクスルシャフト 低 ヒズミ 焼入機 オーストラリヤ・マンモラ 発電所納め 348 kV 400MVA 超大形変圧器完成	
3. 7	大容量へリウム冷凍機 (UL-200) 完成	

フィリピンアンガット 発電所納め 122.2 MVA 変圧器

坂田邦寿*•山内敦*

122.2 MVA Transformers Delivered to Angat Power Station in Philippines

Itami Works Kunitoshi SAKATA • Atsushi YAMAUCHI

Export of Mitsubishi transformers has been following a steady path of marked progress of late. Two 122.2 MVA generator transformers and one 22 MVA house transformer delivered to Angat River Hydroelectric Power Station in Philippines are the outcome of success in severe international competition with a Swedish manufacturer. These transformers were shipped to the destination in Jan.~Feb, 1965 with good test results. The main transformers each have three windings, of which two windings are at the same rating, connected to two generators respectively. From the remaining winding having a capacity twice that of the former the power is delivered to a transmission line. To reduce the losses four parallel conductors are used on the high voltage side, and cross flow Roebel coils are employed for the low voltage windings. These are the salient features among numerous other talking points.

1. まえがき

近年、当社変圧器の海外進出は著しいものがあり、インド、フィリピン、台湾、などの東南 アジア、中近東諸国、オーストラリヤ、ニュージーランド、また メキシコ、エルサルバドル、コロンピヤ などの中南米諸国など 広範囲に輸出されているが、この変圧器もその一端をになって昭和 38年 フィリピン・アンガット 水力発電所用として 122.2 MVA 主変圧器 2台 22 MVA 所内用変圧器 1台を受注した。主変圧器は3巻線で、2巻線が同一定格で2台の発電機に接続され、2倍の定格を持つ1巻線から送電される Two Generator-One Transformer system である。そのほか受注に際してはスエーデン・ASEA社との激しい受注競争を展開し、損失を減ずるため高圧コイルには4本複導体を、低圧コイルにはCFRコイル(Cross Flow Roebel Coil)を初めて試作採用し、昭和40年1、2月好成績で工場試験を終了して出荷されたので、ここに簡単に紹介する。図1.1は工場組立時の写真である。

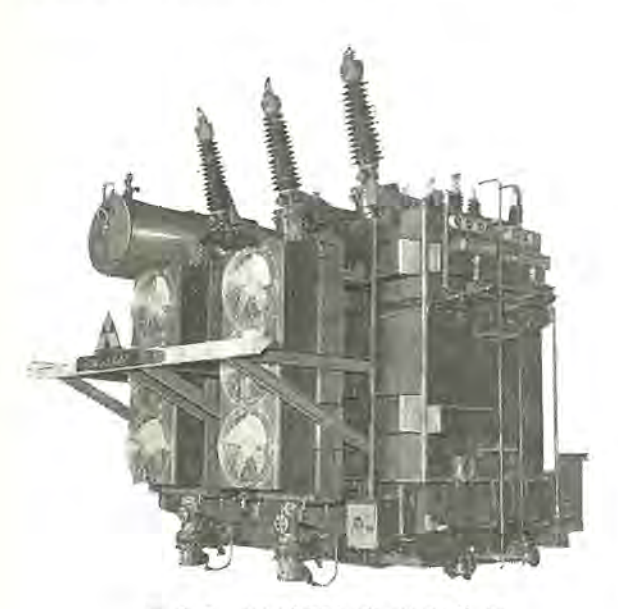


図 1.1 122.2 MVA 変 圧 器 外 観 Fig. 1.1 122.2 MVA transformer for delivered to Philippine.

2. 定格, 仕様および寸法, 重量

主変圧器 2 台

屋外用 送油風冷式 窒素封入式 RV 形 外鉄形 SUB

三相 60 c/s 連続定格 規格 ASA

電圧, 容量, 結線(結線図を図2.1に示す)

一次卷線 L₁ 13.2 kV 61.1 MVA 110 BIL 三角結線

一次巻線 L₂ 13.2 kV 61.1 MVA 110 BIL 三角結線

二次巻線 H 115 kV 122.2 MVA 550 BIL 星形結線

インビーダンス

H—L₁, H—L₂ 間 30% (122.2 MVA base)

60 % (122.2 MVA base)

L₁—L₂ 間 重量, 寸法

中身重量 78,000 kg

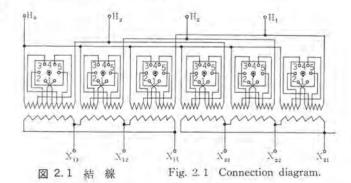


図 2.2 外 形

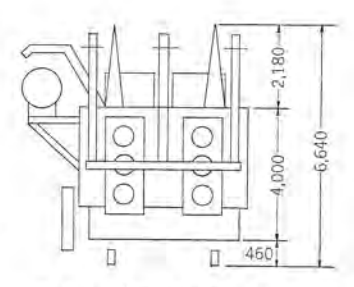


Fig. 2.2 Outline drawing.

全重量 129,000 kg 油重量 21,000 kg 寸法は図 2.2 に示す,

3. 特 長

この変圧器の構造,特性上の特長は次のごときものである.

(1) 高圧 コイル

この変圧器はインピーダンス電圧が大きいため、従来のコイル構造で Eddy Loss を減ずるためには巻線の占積率がおちるので、占積率を上げしかも Eddy Loss を減ずるため4本複導体を使って、各セクション間のつなぎで特殊な転位をし、並列導体間の誘起電圧を減じ、循環電流損を減じた。

(2) 低圧 コイル

高圧 コイル と同様の目的のために、最近開発された C.F.R. コイル (Cross Flow Roebel Coil) を使用した。C.F.R. コイル は低電圧、大電流用 コイル として開発されたもので、とくに コイル の温度上昇、Eddy Loss を減ずるのにすぐれている。

(3) 電磁 シャヘイ 鉄心

この変圧器の インピーダンス 電圧は、定格の項で記したごとく L_1 H, L_2 —H間の インピーダンス 電圧が L_1 — L_2 間 インピーダンス 電圧のちょう ど半分であるので高圧 コイル を並列分割し、それぞれの コイル に低圧 コイル を組み合わせて グループ 間を電磁 シャヘイ 鉄心で分割し L_1 — L_2 間 インピーダンス 電圧は L_1 —H, L_2 —H の和になるようにした

(4) 送油風冷式冷却器に アルミ 製の プレートフィン 式 ユニットクーラ を使用した。

4. 構 造

4.1 コイル配置,電磁シャヘイ鉄心

この変圧器は仕様で インピーダンス 電圧を L₁—H, L₂—H: L₁—L₂ を 1:2 にするように定められているが、一般に外鉄形変圧器は多巻線変圧器の場合とくに インピーダンス の電圧の調整が内鉄形変圧器に比べて容易である。今回は図 2.1 の結線図のごとく高圧 コイル を2 群並列とし各群に低圧 コイル を組み合わせた。これでほとんど仕様の インピーダンス 電圧を満足できるが、1 群運転の場合の他群 コイル の Eddy Loss を減ずるため、および仕様のインピーダンス 電圧値を十分満足させるために、図 4.1 コイル配置図にみられるごとく各群間に電磁シャヘイ 鉄心を入れた。この電磁シャヘイ 鉄心は単に漏れ磁束を シャヘイ すればよいので鉄心の量はわずかでよいが、今回は作業上から 100 mm 厚とし、主鉄心と同

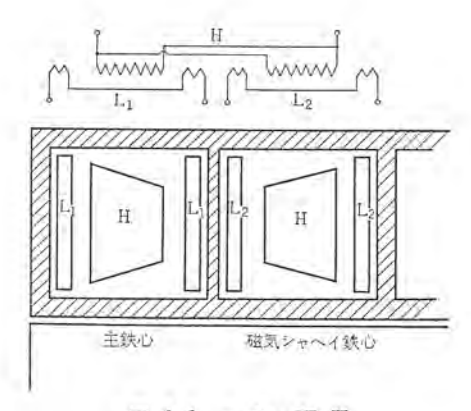


図 4.1 コイル配置 Fig. 4.1 Coil arrangement.



図 4.2 122.2 MVA 変圧器中身構造 Fig. 4.2 Core and coil assembly of 122.2 MVA transformer.

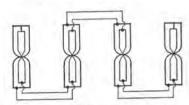


図 4.3 4本復導体結線 Fig. 4.3 Connection of 4 parallel conductor.

一高さとした。図4.2は鉄心積を完了した中身構造を示す。

4.2 4 本複導体

従来,外鉄形変圧器のコイルの導体構成は漏れ磁束の直角方向に対しては最大3本並列まで、大電流の場合は漏れ磁束と平行方向に多数本並列とした。漏れ磁束と直角方向に多数本並列導体を使うことは外鉄形では導線の占積率が向上するが、反面コイルの温度上昇を高めると同時に漏れ磁束による損失が大きくなる。しかし漏れ磁束と直角方向の導体幅を小さくする、すなわち、多数本並列にすることは衆知のように、銅線のウズ電流損失を減ずる。そこで4本並列導体を使ってウズ電流損失を減じ、しかも循環電流を2本並列なみに減ずる転位を1コイルごとのつなぎ部分で行なったこれを図4.3に示す。すなわち、2コイルの巻始め一巻始め、巻終り一巻終り接続において、各層の4本導体の内中の2本が隣りコイルの外の2本と、外の2本が隣りコイルの中の2本とつながるように順に曲げて並べ換え接続するものである。なお1コイルの中間で行なう転位は従来どおり行なう。

この場合の循環電流による損失は次のように計算される。 内側の対から外側の対に誘起される電圧 E は

 $E = (d)(MT)N^2I \times 10^{-7}/\alpha$ (4.1)

d: 巻線の中心間へだたり (mm)

MT: コイル の平均長 (mm)

N: コイル の巻回数

I: コイル の全負荷電流 (A)

α: 磁路長 (mm)

素線の中心間へだたり (d) が全 コイル について一定で、平均長がほぼ同一である コイル 群に対しては、 ν -ラ 全体の誘起電圧 E_{NET} は

 $E_{NET} = (d)(MT)I(N_1^2 - N_2^3 + N_3^3 - N_4^3 + \dots (-1)^{n-1}N_n^2) \times 10^{-7}/a \qquad (4.2)$

 $I_c = E_{NET}/R$ (4.3)

R: ループ の直列抵抗 (Ω)

Ic: 循環電流 (A)

 $W_c/K_g = (K_cI_c/A)^2$ (4.4)

 W_c/K_g : 銅線 $1 \log$ あたりの循環電流による損失

A: 1 巻回の銅面積の半分 (mm²)

 K_c : 定数

となる. 式 (4.2), (4.3) からわかるように \oplus , \ominus の \Box イル の 巻数を等しくすれば循環電流による損失は $rac{1}{2}$ になる.

式 (4.3) で求めた循環電流損に、銅線自体のウズ電流損と2本並列導体分の循環電流損を加えたものが全 Eddy Loss となる.

この変圧器の場合段絶縁変圧器であったが、式 (4.2) を ゼロ に 近くできたので、標準設計に比べて Eddy Loss を 40% 近く減ずることができた.

4.3 C.F.R. コイル (Cross Flow Roebel Coil)

(1) 目的

最近の変圧器の一つの傾向として、単器容量の増加があげられるが、これに伴う変圧器の特性上の問題の中に Eddy Loss の増加と温度上昇がある。これに対応し、低電圧、大電流用外鉄形変圧器 コイルとして C.F.R. コイル を開発した。この変圧器は容量的にはとくに大きなものではないが、前記のごとく インピーダンス電圧が大きく、従来の設計では Eddy Loss が大きくなるためこの構造を採用した。ここに C.F.R. コイル について、この変圧器と関連して概要をしるす。

(2) 特 長

- (a) コイル の縦および横方向に油 ゲキ を設けてあるので、コイル と油の温度差が低い。
- (b) 多数本並列導体を使用し、コイル 幅を大きくできるので 導体の占積率がよい。
- (c) 連続転位を行なっているので Eddy Loss が小さく、従来の コイル 構造を使った場合の電流密度を 50% 増しにしても同一銅損に押えることができる.

以上の利点により 200 MVA 程度の変圧器で 2~3% 程度の価格低減が可能である.

(3) 構造

従来の外鉄形変圧器の コイル 構造は図4.4(b) に示すように、コイル 両面に縦 ダクト を配し、冷却油は コイル下部からコイル 両面を縦に通るのでコイル 幅は冷却の面から制限を受け、最大コイル 幅は 16 mm 程度であった。このコイル は冷却油を縦横に流れるようにし連続完全転位したもので、図4.5 にその全形を、図4.6 に巻回作業中のものを示す。図4.4(a)は C.F.R. コイル の油流を示すもので、図のごとくコイル 面の両側縦 ダクトの一方の上を絶縁物で閉じ、他の一方は下を閉じることによって冷却油がコイルの縦横に流れるようにする。

次にコイルの並列導体の構成は、縦2本、横最大24本程度約100mm程度可能である。横 ずっトは図4.7のごとく多数本並列電圧の1ターン目と2ターン目の間に波形 ずっトを設ける。図4.8は波形 ずっトと導体を巻いているところで波形 ずっトがよくわかる。波形 ずっトの材質は硬ファイバかそれと同等以上の強度をもつもので、ポリエステル 樹脂系統のものも考えられる。ずっト 寸法は占積率から小さいほうがよいが、油の流体形状から3~5mm程度となる。また縦方向の機械的強度をもたせるため、波形

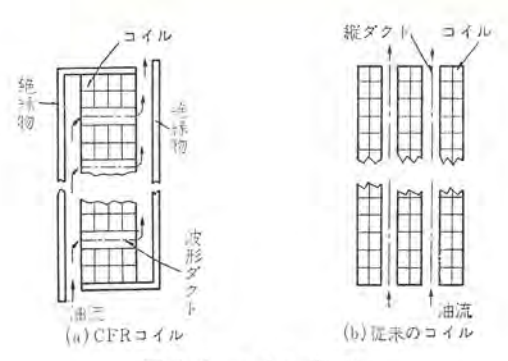


図 4.4 コイル構造 Fig. 4.4 Construction of coil-



図 4.5 C.F.R. コイル Fig. 4.5 C.F.R. coil.

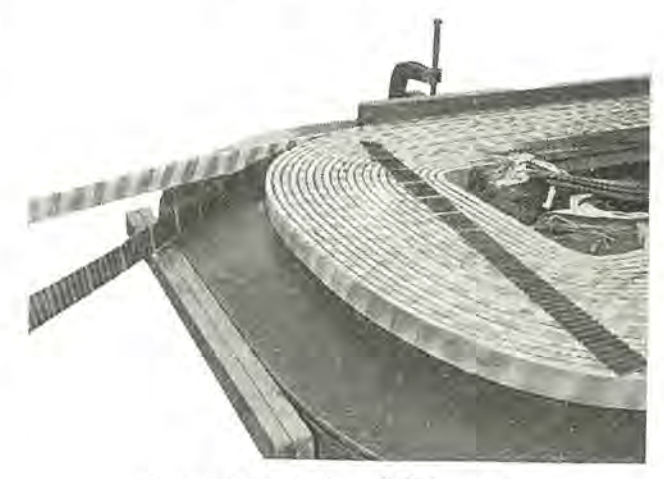


図 4.6 製作途中の C.F.R. コイル Fig. 4.6 C.F.R. coil under manufacturing.

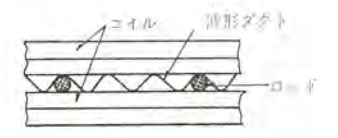


図 4.7 波形 ダクト Fig. 4.7 Corrugated duct.

ダクト の適当な個所に使 ファイバ、ポリエステル 樹脂製などの ロッドを 設ける.

並列導体転位は、全 コイル にわたって2 回完全転位を行なうので一般に並列導体本数は奇数となる。

このようにして C.F.R. $\neg T_{\nu}$ を採用することによって、従来 低圧 $\neg T_{\nu}$ 1 群 2~4 枚程度のものが $\neg T_{\nu}$ 1 枚にすることができる.

(4) 特性

(a) Eddy Loss

Eddy Loss は次式で計算される.

$$W_E = K_E (NI\omega / n_{H-L}\alpha)^2 \times 10^{-5}$$
 (4.4)

WE: 1kg あたりの Eddy Loss (W/kg)

NI: TUNTA-U

 n_{H-L} : H-L の数

ω: 銅線の幅 (mm)

α: 磁路長 (mm)

KE: 並列導体本数により決まる定数

並列導体は完全転位を行なっているため循環電流分の損失が極端に少なく、従来構造の コイル では Eddy Loss が PR 損失の 50% にもなる場合でも C. F. R. コイル では 20% 程度に押えることができる。この変圧器においては インピーダンス 電圧が大きいため従来の設計では Eddy Loss が 35% を占めたが、C. F. R. コイル を使ったため 10% 以下になり、同時に電流密度をあげることができた。

(b) コイル の温度上昇

コイル の温度上昇は冷却油の垂直, 水平方向の速度により, 次式で求められる.

 $\theta_{TV} = (\theta_{SV} + \theta_{PI}) W_{TV} \times 10 S_V \qquad \dots (4.5)$

θzv: コイル の縦 ダクト の全温度 コウ 配 (°C)

θ_{SV}: 縦 ダクト の油速から求められる コイル 表面の油 フィルム の温度降下 (°C)

θ_{PI}: 紙巻絶縁による温度降下 (°C)

Wrv: 縦 タックト で放散される損失 (W)

S_v: 油に面する垂直 コイル の面積 (cm²)

 $\theta_{TH} = (\theta_{SH} + \theta_{PI}) W_{TH} \times 10/S_H \qquad \cdots (4.6)$

θτη: コイル の横 ダクト の全温度 コウ 配(°C)

 θ_{SU} : 横 ダクト の油速より求められる コイル 表面の油 フィルム の温度降下 ($^{\circ}$ C)

Wyu: 横 ダット で放散される損失 (W)

Su: 油に面する水平 コイル の面積 (cm²)

 $\theta_{TR} = (\theta_{TV} \times S_V) + (\theta_{TH} \times S_H)/(S_V + S_H) \qquad \cdots (4.7)$

θτα: C. F. R. コイル の全温度降下 (°C)

(c) 波形 ずっト、ロッド にかかる機械力

波形 ダクト,ロッド にかかる機械力,すなわち巻線間にかかる垂 直方向機械力は次式により計算される.

 $P_V = 0.8 \times F_H \times m/LB \times y \times c_2 \times K$ (4.8)

Pr: 巻線間にかかる垂直方向機械力 (kg/cm²)

 $m: b+(c_1+c_2)/3$ (図 4.8 参照)

LB: C.F.R. コイルの コイル 幅限度

y: HV, LV 間の力の分布

K: ロゴスキ 係数 $K=1-(b+c_1+c_2)$ $LB imes\pi$

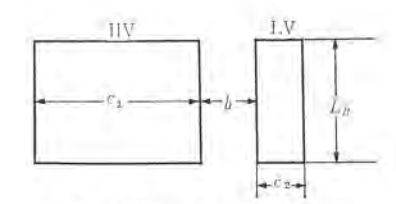


図 4.8 コイル寸法 Fig. 4.8 Arrangement of coil.

4.4 ブレートフィン式放熱器

従来当社は、鋼管に銅または鉄線を ラ線状に巻いた フィン を取り付けた U フィン 管式放熱器を採用してきたが、この変圧器には最近開発された ブレートフィン 式放熱器を採用した・ブレートフィン 式放熱器の外観を図 4.9 に、構造説明図を図 4.10 に示す.

フィリピンアンガット 発電所納め 122.2 MVA 変圧器・坂田・山内



図 4.9 プレートフィン 式放熱器 PF II 形 Fig. 4.9 Plate fin type cooler type PF III.

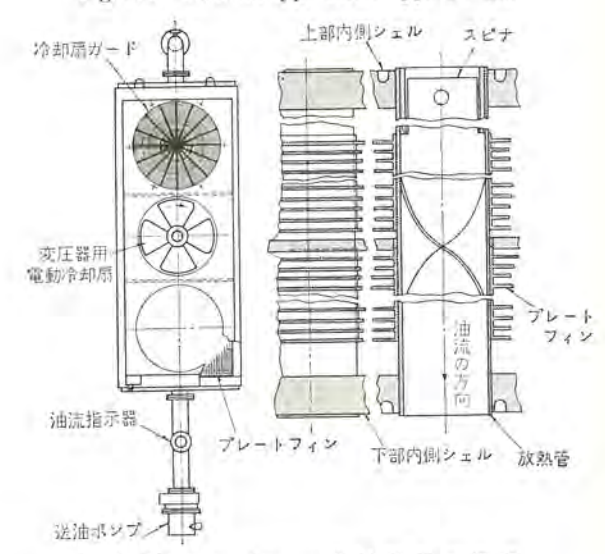


図 4.10 ラレートフィン 式放熱器の構造 Fig. 4.10 Construction of plate fin type cooler.

冷却器内には耐食性のすぐれた アルミ 製の薄板を 3~4 mm ピッチ で数多く並べて冷却 フィン としこの フィン を貫通して数多くの アルミ 製冷却管を並べている。また冷却管と フィン は拡管法により強固に固着してあるので熱伝導は良好である。冷却管内にはスピッナを設けウズ流増加をはかっている。一般に油一空気の熱交換器は空気側の伝熱面積を油側に比べ 10 倍以上に求めなければ、冷却管内外の熱伝達率がつり合わない。この冷却器は、空気側伝熱面積は フィッピッチ を詰めて大きくすると同時に、ファン に 0.75 kW あるいは 1.0 kW の強力なものを使用して、空気側の熱伝達率を向上し、冷却管内外の熱伝達を パランス させた。また風の方向は従来とは逆に前面に吹き出すようにしているので、放熱器によって暖められた空気がふたたび吸込まれて冷却効果の低下する恐れがない。以上で従来の放熱器に比べ コンパクト で重量も軽く 補機損も小さくすることができた。

標準の プレートフィン 式放熱器には、ファン 台数によって3種類の大きさがあり、ファン 個数が 1, 2, 3 個のものをそれぞれ PFI, II, III と称している。この主変圧器には PFIII を、所内用変圧器には PFIII を使用した。

5. 試験結果

試験項目は Radio Influence Voltage Test と温度上昇試験にいるいろの項目があった程度で、ほかは一般変圧器の試験項目と

表 5.1 %インピーダンス電圧

	%インピー	ダンス電圧 122,2	MVA 基準
	3 1	\$ 2	保証値
H-L ₁	29.7	29.6	30
$H-L_2$	29,7	29,6	30
L1-L2	58.9	58.0	60

表 5.2 損 失

	損	失 (kW)	(75°C)
	\$ 1	# 2	設計值
鉄 損	89.1	91.4	104
網 担	525.6	528.4	560
I ² R 批	475,5	477.5	480
ウズ電流 個	50.1	50.9	80
合 計 損	614.7	619.8	664

表 5.3 温度試験結果

1 2	No etc an est	温度上昇	(°C)
項目	測定個所	試験値	保証値
	油	35,5	50
	卷線 H/L ₁ /L ₂	54.0/51.5/49.5	55
2	* H/L ₁ /L ₂	45,0/42,0/43.0	55
3	→ H/L ₁	74.0/73,5	75
4	⋆ H/L₁	70.7/68.7	75
5	* H/L1	30.5/30.1	75
6	* H/L ₁	38,0/39,0	75

変わらない.

(1) % インピーダンス 電圧

保証値と実測値の比較を表5.1に示す.

(2) 損 失

Eddy Loss は FR 損の 10% 強にすぎず、従来この程度の変圧 器では 30% 程度になることからみれば C.F.R. コイル 4 本並列 導体の効果が非常に大きいことがわかる.

(3) 温度上昇試験

温度上昇試験は次の65-スについて試験された.

- (a) 全負荷 全冷却器 連続運転時の油, 巻線温度
- (b) 負荷 70% 冷却器 1/2 連続運転時の巻線温度
- (c) 負荷 100% 冷却器 0 始発温度常温 2 時間後の巻線温
- (d) 負荷 100% 冷却器 0 始発温度 項目(1)の後,30 分後の巻線温度
- (e) 負荷 0% 冷却器 0 始発温度常温, 8 時間後の巻線
- (f) 負荷 0% 冷却器 0 始発温度 項目(1)の後,4 時 間後の巻線温度

以上の試験結果と保証値を表5.3に示す.

そのほか耐圧試験, 騒音試験, tan 8 Meg Ohm など良好な成 績で完了した.

6. む す び

以上 フィリピンアンガット 発電所納め 122.2 MVA 主変圧器の構造 について概略を述べた. この文にあるように、容量、電圧的には いたって容易な変圧器であったが、国際的な価格、性能競争に打 ち勝つために従来の設計工作法の欠陥を検討した結果、この変圧 器ではとくに損失の減少を目的とした開発を行ない4本複導体, C. F. R. コイル を採用した. これらの構造に対しては事前に モデル を作った. とくに C.F.R. コイル に対しては 3,000 kVA 相当の モデル 変圧器を製作し、コイル 巻そのほかの工具の検討、損失、短 絡破壊試験を行なって, 十分その実用性を確かめた, 最後に受注 設計値と実測値の比較を表 5.2 に示す. 表からわかるように 製作にたずさわった当社関係者各位に紙上からお礼を申し上げる。

アクスルシャフト低ヒズミ焼入機

中村年克*

酒 井 良 雄**·早 瀬 通 明**·上 田 時 芳**

Low Distortional Axle-Hardening Machine

Isuzu Motor Co. Ltd., Kawasaki Works Mitsubishi Electric Corporation, Itami Works Toshikatsu NAKAMURA Yoshio SAKAI • Michiaki HAYASE • Tokiyoshi UEDA

A low distortional axle-hardening machine has been manufactured and delivered to the Isuzu Motor Co. This is a device to give hardening to the rear axle shafts of motor car at low distortion with a restraint mechanism, being a two-spindle horizontal hardening machine connected to a 300 kW 2.7 kc motor-generator type high frequency power source.

This machine is developed at the heat treatment center of Mitsubishi Itami Works as an outcome of study based on the patent of Westinghouse. The apparatus is an unprecedented in this country as a full automatic low distortional axle-hardening machine.

Running tests at Isuzu has proved success and the products satisfy the specification perfectly. The test results also verify that an accuracy of a chuck and restraint rollers has a great bearing on the data and also that an axle shaft detector relay circuit is very effective.

1. まえがき

自動車の リヤアクスルシャフト を、焼入 ヒズミ を生じさせることなく焼き入れすることができる図 1.1 に示すごとき高周波焼入機を開発し、いすゞ自動車株式会社川崎工場に納入したので、その概要を紹介する.

この低 ヒズミ 焼入機は、Westinghouse 社 (以下 W 社と略す)の技術資料を基にし、さらに ADR 回路など三菱独自の開発になる新機構を加えた画期的な設計を意欲的に取り入れてあり、また従来の焼入機のように、焼入後に後処理としての ヒズミ 取り工程を別に設置する必要がなく、大幅に アクスルシャフト の コストダウン ができること、作業者は アクスルシャフト を フィーダ 上に乗せ、また焼き入れされた シャフト を受台から取り出すのみで、ほかの動作は油圧により全自動で行なわれ作業性が非常に良好であるなど、数々の特長を有するわが国初の ヒズミ 取り機構付全自動焼入機である。

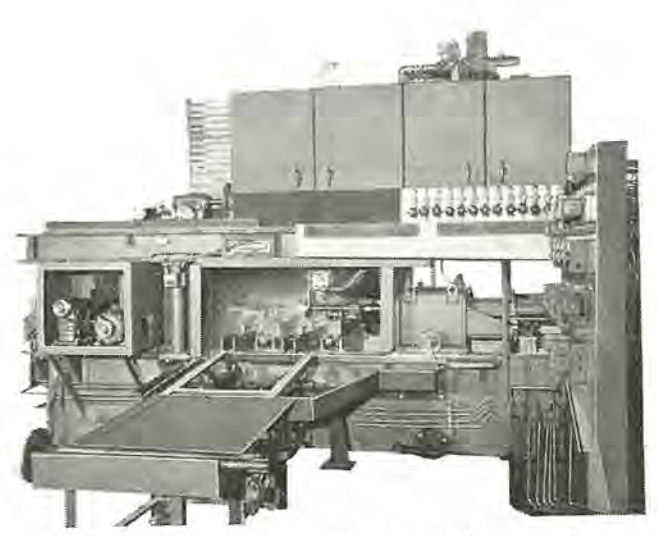


図 1.1 アクスルシャフト低ヒズミ焼 入機 Fig. 1.1 Low distortional axle-hardening machine.

2. ヒズミ取り機構の必要性

最近のように自動車が軽量化・高速化すると、使用される アクス ルシャフト にも必然的に高い荷重、衝撃力、繰返し ネジリ 応力など に耐える性質が要求される.

自動車の アクスルシャフト は一般には普通炭素鋼または低合金鋼を 材料としており、外層を高周波焼入して使用されるが、アクスルシャ フト の強度はその焼入硬化層の厚さ、すなわち焼入深度に大きく 依存する.

図 2.1 は アクスルシャフト の強さと焼入れ深度との関係をあらわした グラフ であるが(*), 高い ネジリ 強さを得るためには、図における領域 △XYZ を減少させるか、またはまったくなくさなければならない。これは図の曲線が示すように焼入深度を深くすればよいわけである。もし焼入深度が浅く、Y 点が半径で表面から

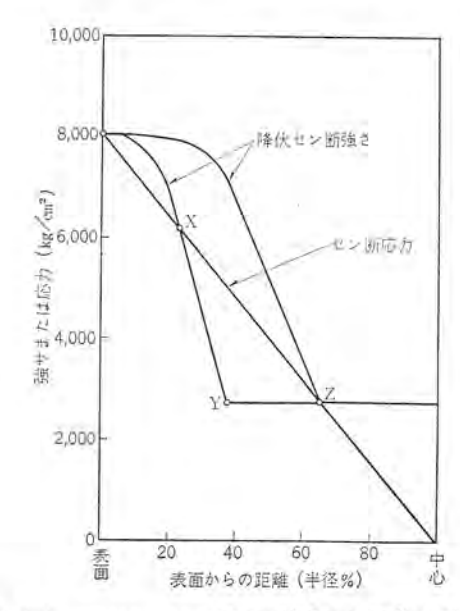


図 2.1 アクスルシャフト の強さと焼き入れ深度との関係 Fig. 2.1 Relation between torsional strength and case depth of an axle shaft.

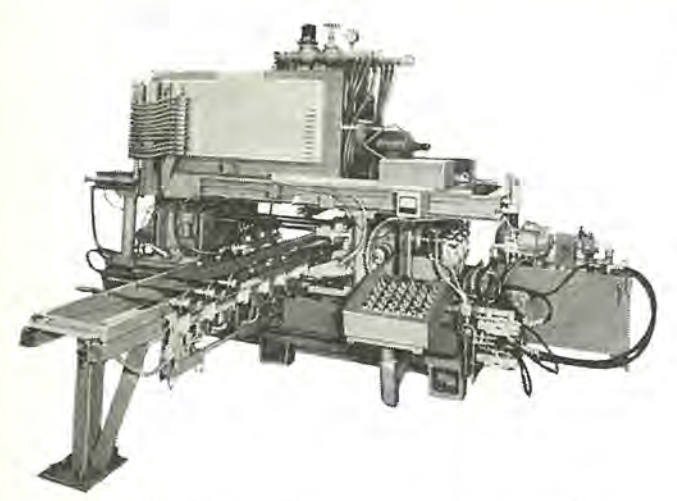


図 2.2 Westinghouse 社製 アクスルシャフト 低 ヒズミ 焼入機 Fig. 2.2 Low distortional axle-hardening machine manufactured by Westinghouse Electric Manufacturing Co.

65% に達しないときは、Y点において約3,000 kg/cm2 の応力で 降伏点に達するが、深度が 65% に達するときは表面がまず降伏 点に達するために、約8,000 kg/cm² の応力まで耐えることがわか る. このように焼入深度を深くすると アクスルシャフト の強さが増大 するので、アメリカをはじめわが国でも、大形トラックのアクスルシャフ トなどは焼入深度を深くするすう勢にあり、6~12 mm の深さに 焼き入れして使用することも珍しくはないのが現状である.

焼入深度が深くなれば アクスルシャフト の強さは増すが、一方焼き 入れによる ヒズミ, すなわち焼入 ヒズミ も大きくなる.

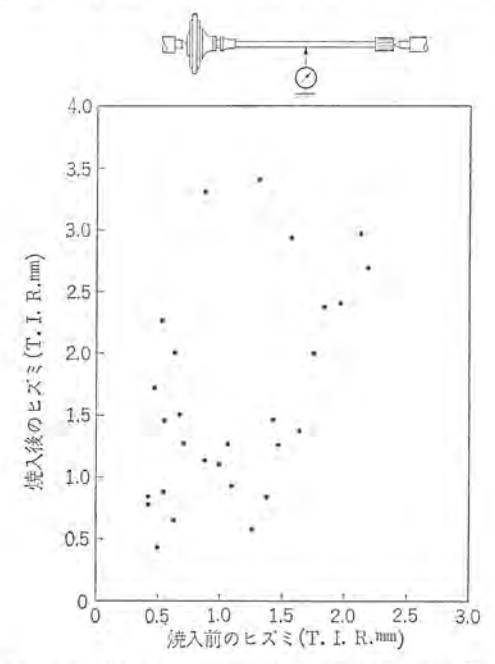
従来はこの焼入 ヒズミ の除去のために、多額の資金を投じて後 処理としての ヒズミ 取り工程を設け、プレス により人為的に ヒズミ を取らなければならなかったのであるが、アメリカのW社では、 この問題をみごとに解決し(3),(3),製作された低 じば 焼入機は General Motor 社, Ford 社をはじめ多くの自動車 メーカ に納入 され実積をあげている。図2.2はその一例で、アクスルシャフトを3 本同時に焼き入れることができ、出力 600 kW, 周波数 3 kc の 高周波電動機 (以下 MG と略す) に接続され、1 時間 250 本の 処理能力を有する.

3. 低ヒズミ焼入実験データ

W 社では低 Lズミ 焼入について一連の実験を行ないその詳細を 報告しているが、その結果の一部を図3.1、3.2に示す.

アクスルシャフト 低 ヒズミ 焼入機の キーポイント となるのは、いうま でもなく ヒズミ 取り機構にあるわけであるが、この機構は アクスル シャフトの フランジ側をチャックと ヘッドセンタにより、シャフトの軸心 と フランジ 面とが正確に垂直に保たれるように固定する チャッキング 機構と、フランジを固定されたアクルスシャフトが回転しながら焼き入 れされている間に、シャフトの外周を焼入 ヒズミ が出ないように押 しているローラ 機構とに大別される.

アクスルシャフトに ヒズミ がまったくない場合には、ローラはシャフト の外周の面にかすかに当るだけで軸心向きの応力は作用しないが、



[注] T.I.R. は Total indicator reading の略である。またヒズミの測定はいずれの場合もアクスルシャフトの中央において行なった。 焼人条件は

出力 115kW シャフト全長約 760 mm コイル送り速度 18.8 mm/s

図 3.1 両センタ法による焼入ヒズミ Fig. 3.1 Low distortional hardening data. (Between center method)

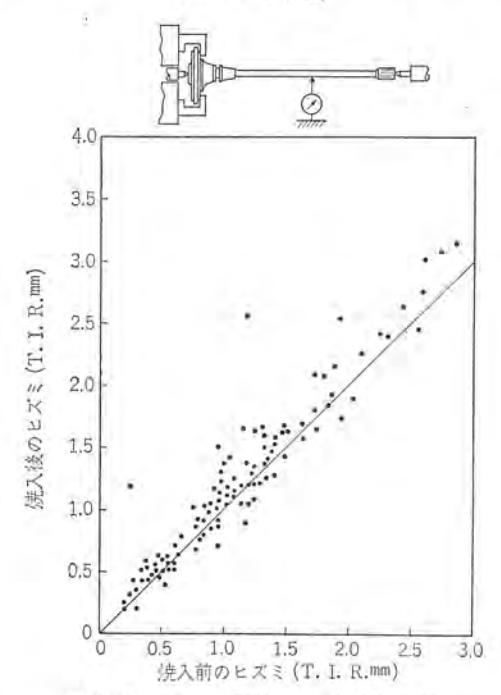


図 3.2 フランジ 固定法による焼入 ヒズミ Fig. 3.2 Low distortional hardening data. (Flange chucking method)

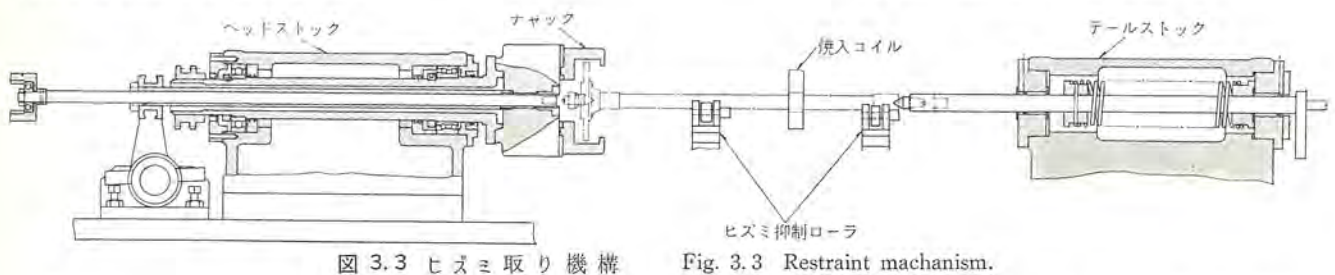


Fig. 3.3 Restraint machanism.

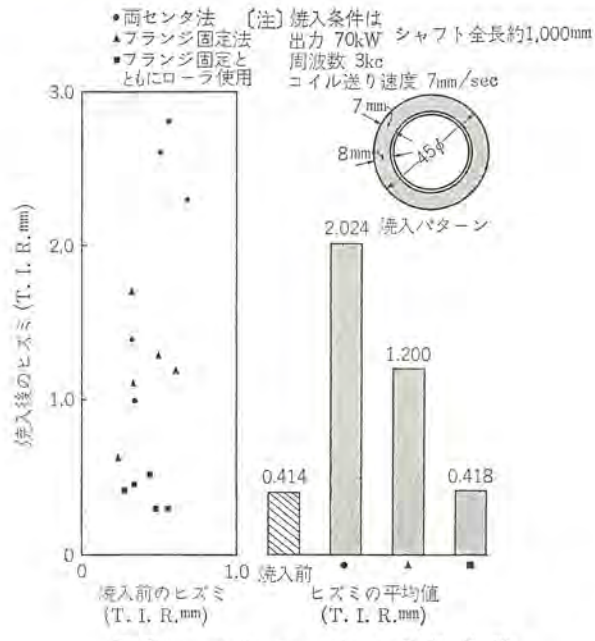


図 3.4 三菱における実験結果 Fig. 3.4 Test result. (at Mitsubishi)

ヒズミ がある場合は、ヒズミ の大きさに応じた応力が作用し ヒズミ を減少させる働きをするわけである。図 3.3 には ヒズミ 取り機構の原理図を示す。

上述した図 3.1, 3.2 の データは、実験機で28本の アクスルシャ フト を従来のいわゆる両 センタ 法 (Between center method) で、 また 109 本を フランジ 固定法で焼き入れした場合の結果である。

データからわかるように、従来の焼入法においては焼入後のヒ えまは焼入前のヒズミに無関係に非常に大きく現われるが、つラン むを固定した焼入法では、焼入後のヒズミはほぼ焼入前のヒズミ に比例しており、したがって焼入前のヒズミを一定範囲内に押え れば、焼入後のヒズミも一定規準内にすることができる。

なおこの データ は、いずれも ヒズミ 取り機構に ローラ を用いていない場合の データ なので、われわれば フランジ の固定とともに ローラ もあわせて使用した実験を行ない、図 3.4 に示すような結果を得た.

ローラ は全長約 1,000 mm の シャフト の フランジ 側から約 350 mm の距離の位置に設け、ローラ 接触面は鍛造 ハダ のままとした

上述のように、W社および三菱における実験 データ を総合して 一応次のように結論できる.

- (1) フランジを強固に固定し、他端をスピンドルで支持することにより、軸心に対して フランジ を直角に保持できる。
- (2) (1) の方法で アクスルシャフト を保持すると、シャフト の中央 あたりで生ずる焼入 しだいによる曲りのほとんどを防止すること ができる。
- (3) (1) の方法にさらに n-ラ による t x ま 取り機構を加えれば、焼入後の t x ま はさらに減少する.
- (4) 焼入深度との関連については、とくに critical な問題はない。
- (5) 焼き戻しの効果は ヒズミ に対してはあまりない.
- (6) 焼入前の ヒズミ をある一定量内に制限すれば、生産上も 後処理としての ヒズミ 取り工程は実用上不要となる。

4. 低ヒズミ焼入機

このいすゞ自動車納入の低 ヒヹミ 焼入機は、前章で述べた データを基礎にし、さらに三菱熱処理 センタ において試作研究を行ない、それらの結果を基としてこのほど現地据え付けを完了し、国産第1 号機としての運転に入った。これまでに 10,000 本以上にのぼる アクスルシャフト の焼き入れをすでに終えているが、焼入後の ヒヹ この仕様は 100% 満足されており、現在も好調に運転されている。以下低 ヒヹミ 焼入機の概要を述べる。

4.1 特 長

低 ヒズミ 焼入機は、従来の アクスルシャフト 焼入機に比べておもに 次のような特長を有する.

- (1) ヒズミ 取り機構を備えており、焼入後のヒズミ 取りの工程 はまったく不要となる。
- (2) 2.7 kc を用いることにより焼入深度を深くし、安価な材質で強い アクスルシャフト が得られる.
- (3) 全自動式であるため アクスルシャフト を フィーダ 上に置けば、 以後の焼入工程はすべて自動的に行なわれる。
- (4) ADR (Axle shaft detector relay) 回路により、万一コイルが シャフト または ローラ などに接触しても、全 シーケンス が停止するようになっていて安全である。(特許出願中)
- (5) テールストックの スプリング 機構により, 焼入中における加熱 膨張, あるいは Martensite 変態による膨張分は リリース されるよ うになっている. (特許出願中)

4.2 おもな性能仕様

低 t え 焼入機のおもな性能仕様は表 4.1 に示すとおりであるこの機械は一応 フランジ 付 アクスルシャフト 焼き入れの専用機として設計してあり、フランジ のない アクスルシャフト を焼き入れする場合はチャッキング 機構を変更しなければならない。また、この機械は 2 軸機形焼入機で2本同時に焼き入れすることができる。さらに、もちろん 10 kc, 1 kc などの周波数の電源にでも接続して使用することも可能である。

4.3 構 造

低 ヒスミ 焼入機は次の七つの主要部分から構成されている.

- (a) 305
- (b) ヘッドストック

表 4.1 焼入機主要性能

900	径 (mmø)	37 ~ 52
取付可能	} ≥ (mm)	800~1,200
コイル送りストロ	- ク (mm)	最大 1,300
取付可能フランジ	直径 (mmø)	139~193
取付可能重	(kg)	約 30 (1 本)
コイル送り	生度 (mm/s)	2~30
コイル前進法	生 度 (mm/s)	微速 2.0
		高速 4.0
號人開始点停止	精度 (mm)	生0.2
焼 人 物 回 帳 3	整 度 (rpm)	100
	全 是 (mm)	約 4,600
540 1 MW	(mm)	約 4,150
姓 人 機	₩ き (mm)	粉 2,740
	重 量 (kg)	對 9,000
and the set of	周波数 (c/s)	3,000
高周波電源	電 庄 (V)	800
(M G 式)	限 力 (kW)	300
処理能力	シャフト直径 45 mm が、長度約 6 mm。 1 サイクル所 6.800 本 (1 日=8 時間、1	要時間 3.5 分としてり

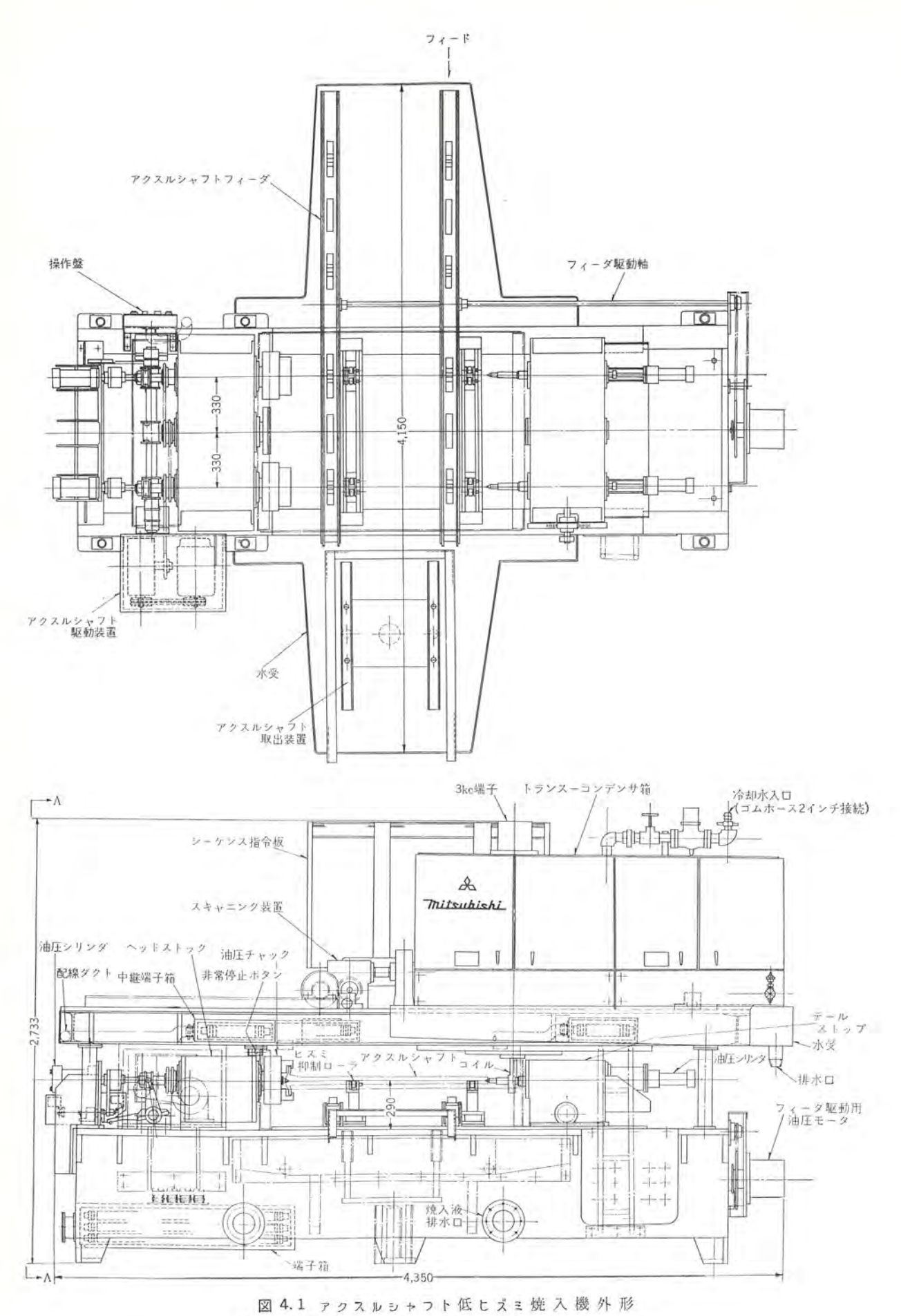


Fig. 4.1 Outline of low distortional axle-hadening machine.

- (c) テールストック
- (d) #+1105
- (e) フィーダ
- (f) ローラサポート
- (g) 取出装置

このほかに、油圧系統、焼入液、冷却水系統、トランス、コンデン サ、コイル、二次導体、制御盤、操作盤などがあるが、これらを順を 追って以下に述べる.

図4.1は低 ヒズミ 焼入機の外形図である.

4.3.1 ベッド

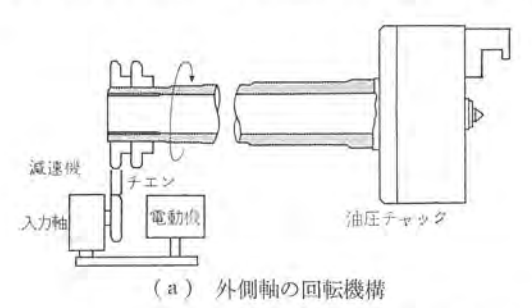
ベッド は焼入機の基台となる部分であり、溶接された鋼板で構成されており、その上部にほかのいっさいの部品をささえるとともに、焼入 コイル から噴出された焼入液の排液 タンク をも兼ねている。そのために、ベッドの内部は タンク 状に形成してあり、焼入液 ラール への排液用に約 10 cm (4 インチ)のパイラが2本接続されている。

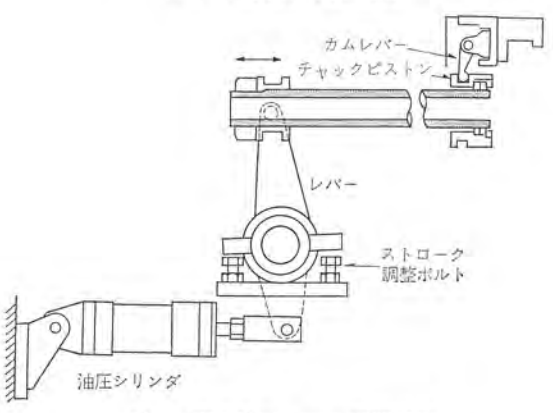
4.3.2 ヘッドストック

へッドストックは焼入物, すなわち アクスルシャフト の フランジ を焼入中に正しく垂直になるように固定し, さらに シャフト に回転を与える役目をする部分である.

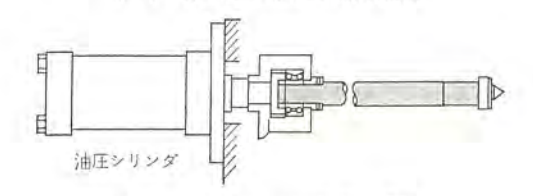
主軸は図 3.3 に示すように三重に構成されており、一番外側の軸は交流電動機から減速機を介して チャック に回転を伝えるようになっている.

真中の軸は チャック を開閉するためのもので、油圧 ラリンタレハーを介して軸方向に スライト し、チャックピストン、カムレハー を経て チャ





(b) 真中軸の チャック 開閉機構



(c) 内側軸の フランジ 押し機構 図 4.2 主 軸 機 構

Fig. 4.2 Mechanism of the main shaft.

ックの爪を開閉する.

一番内側の軸は フランジの チャックキング の際に フランジ を爪に後方 から押えつけるためのもので、軸は スラストペアリング を介して シリン ダで押される. この スラスト 方向の力は、約 1,800 kg である. これらの関係を図 4.2 に示す.

チャック は上述したように チャックピストン を介して爪が開閉される

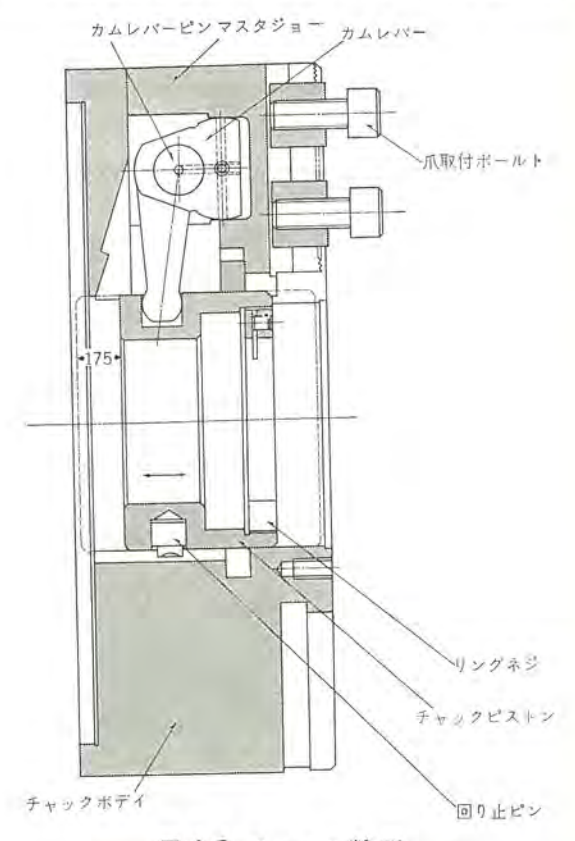


図 4.3 チャック断面 Fig. 4.3 Section of chuck.



図 4.4 チャック Fig. 4.4 Chuck.

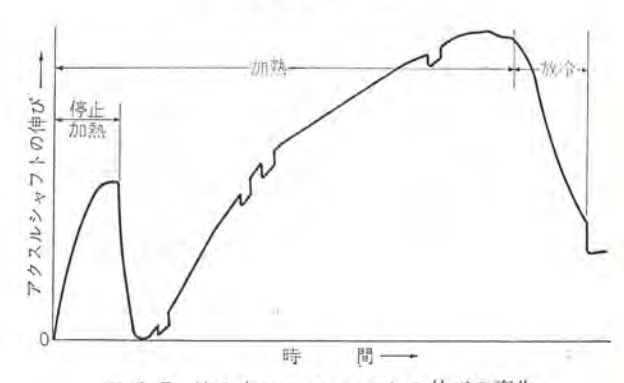


図 4.5 焼入中の アクスルシャント の伸びの変化 Fig. 4.5 Expansion characteristic of an axle-shaft under hardening.

が、マスタジョーの シュウ 動面は精密仕上がされており、きわめて精度の高い キャッキングができる。図 4.3 は チャック の断面図、図 4.4 はその外形写真である。

4.3.3 テールストック

テールストックは、焼入中のアクスルシャフトの センタリング がおもな目的であるが、自動または手動操作の場合の シャフト の取り入れ、あるいは取りはずしの際の テールセンタ の前進、後退の運動を制御するために、油圧 シリンダ が設けてある・

また焼入中は熱膨張, Martensite 変態などで アクスルシャフト が図 4.5 に示すように伸びる傾向があるので、焼入中は油圧は フリーとなり、テールストック に内蔵された コイルスプリング のみで アクスルシャフト を押すような構造に設計されている.

また、テールストックの位置は、焼き入れられる アクスルシャフト の長さに応じて、ペッド上で自由に位置を移動させることができる。

4.3.4 キャリッジ

キャリッジ は ベッド 上面に立てられた6本の円柱でささえられ固定されたキャリッジベッドと、その中を前後に移動することのできるキャリッジ 移動 フレーム から構成されている.

キャリッジ 移動 フレーム 上には整合装置、すなわち トランス、コンデンサ が取り付けられており、トランス の二次端子に取り付けられる二次 導体、コイル とともに キャリッジペッド 上を最大 1,300 mm の ストローク で移動できるようになっている。

キャリッジ 移動 フレーム の駆動は図 4.6 に示すように直流 サーボモータ から、電磁 ブレーキ、減速機、ピニオン、ラック を介して行なわれる。 キャリッジ 移動 フレーム 上には、このほかに シーケンス 指令板、流水リレー、焼入液圧 リレー、電磁弁、オイフスイッチ、排水弁、キャリッジファン などが取り付けられている。

シーケンス 指令板上には、リミットスイッチ を動作させるための カム



図 4.6 キャリッジ駆動機構 Fig. 4.6 Carriage scanning machanism.

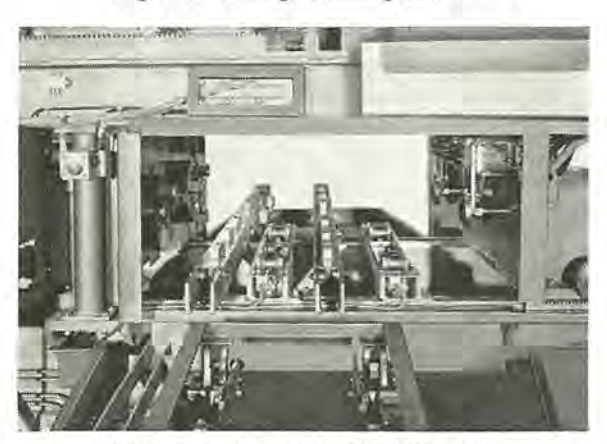


図 4.7 ヒズミ取り機構部外形 Fig. 4.7 Side view of restraint machanism.

が 15 段に並べられ、適当な位置に締め付られており、キャリッジペッド 上に固定された柱上に取り付けてある リミットスイッチ を押すようになっている.

4.3.5 フィーダ

フィーダは、アクスルシャフト を自動的に焼入機内に搬入、搬出する ためのもので前後2本の フィーダ からなる

焼入機後端に設けられた油圧 モータ からの駆動力は チェン から軸に伝えられ, さらに軸にはめこまれた ピニオン から フィーダ の下面に設けてある ラック に伝わり, フィーダを フィーダガイド に沿って移動させる.

フィーダ上面には アクスルシャフト を乗せるための V ブロック が設けてある.

4.3.6 ローラサポート

ローラサポートは ベッド の内部に取り付けられていて、チャック とともに、アクスルシャフト の焼入中の ヒズミ 取り機構として最も重要なもので、アクスルシャフト の フランジ 側と スプライン 側とにそれぞれ設けられている.

ローラサポートには油圧 シリンダ が中央に設けてあり、左右2組の ローラ が同時に上昇、下降するようになっている

ローラは、アクスルシャフトの焼入中、その焼入 ヒズミ に応じて、油圧で シャフト の外間を押すようになっている.

また ローラサポート の位置は シャフト の形状、長さに応じて任意 の位置に固定することができる。

図4.7は ヒズミ 取り機構の外形写真である.

4.3.7 取出装置

取出装置は焼き入れされた アクスルシャフト の取り出しを目的とする装置で,取出機構部と受台からなる.

まず焼き入れされた アクスルシャフト が フィーダ に乗って取出装置 側に前進してくると、エアシリンダ が動作し シャフト 受けが上昇し アクスルシャフト を持ち上げる・フィーダ が後退した後に シャフト 受けが 下降すると、アクスルシャフト は シュータ に乗るが、シュータ に続く受台には テーパ がつけてあるので、アクスルシャフト は受台の端までころがり集積される・したがって作業者は、受台上の アクスルシャフト を定期的に取り除けばよいわけである・

4.3.8 油圧回路

油圧回路は油圧 ユニット,油圧 シリンダ、配管で構成され、焼入機の焼入中の諸動作を行なわせるためのものである.

油圧 ユニットは、油圧 ポンラ、電動機、各種 パルブ、リザーバ、パネルから構成されている。

油圧回路は図4.8に示すとおりである.

油圧ポップはコッピネーションポップを用いているので、ロック時には高圧-小流量、動作時には低圧-大流量となり、作動油が過熱しないように考慮してある。

主圧は高圧側は リリーフバルブ で、低圧側は アンローディングバルブ で それぞれ任意の値に設定することができる.

へッドセンタ、テールセンタの油圧は、アクスルシャフトの形状に応じて、 それぞれ別個の減圧弁で最適値に設定できるようになっている.

ンレノイド 方向切換 パルラ は、テールセンタ 用のみ パーシャル・クローズド・センタタイラ を用いているが、この理由は、前にも述べたように焼入中の アクスルシャフト の伸びを確保するためである.

ローラサポート 用油圧 シリンダ の回路には PC 付の フローコントロールバルブ を使用し、二つの ローラサポート の動作速度の同期をとるようにしている.

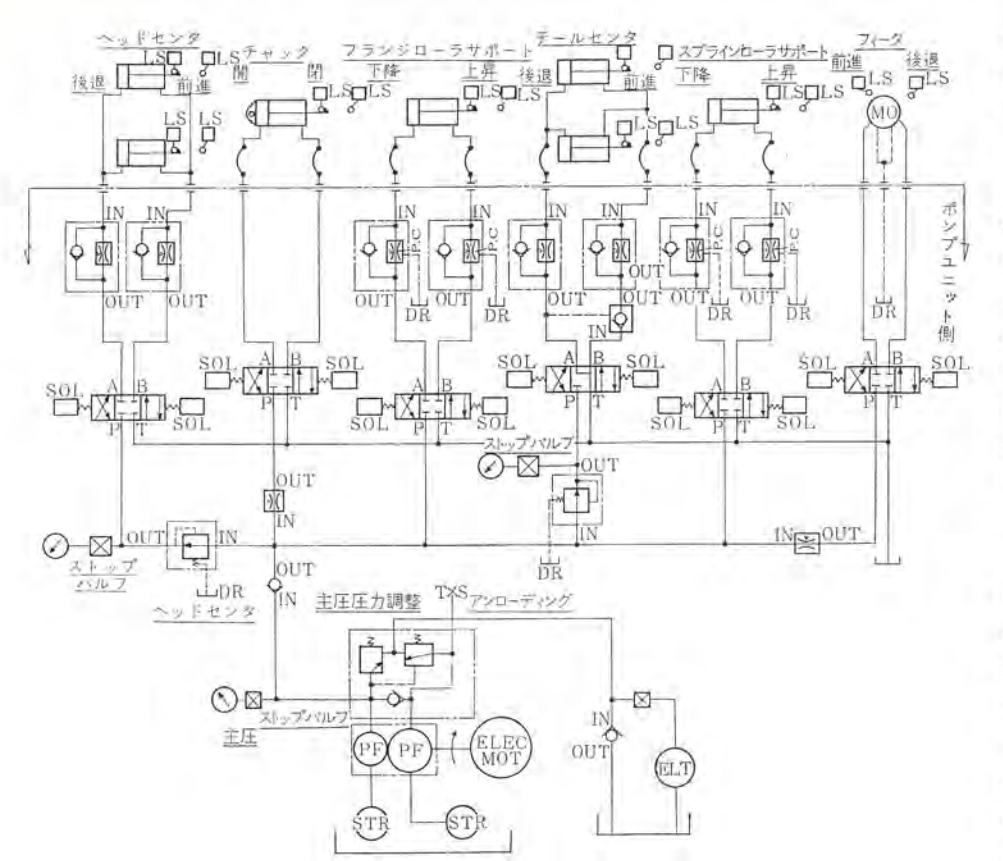


図 4.8 油 圧 回 路 Fig. 4.8 Hydraulic circuit.



図 4.9 固定形焼入コイル Fig. 4.9 Hardening coil.

図 4.10 整合変圧器 Fig. 4.10 Matching transformer.

4.3.9 焼入液,冷却水系統

焼入液は t-g および クーリングタワー によって液温を 35±5℃の 範囲に制御されている。焼入液の流路には圧力 リレー が設けてあ り、液圧が一定値以下になると故障表示とともに加熱を切るよう になっている。

冷却水系統は、MG の空気冷却器、油冷却器、焼入機内のトラシスのコアにそれぞれ流水 リレーが設けてあり、規定の流量以下になると、これもまた故障表示とともに加熱を切るように設計されている。

4.3.10 焼入コイル, 二次導体

コイル は左右2個の コイル を絶縁板で一体に構成した、いわゆる 固定形を採用している。したがって コイル を アクスルシャフト へ センタ リング する際には、トランス 台に設けてある調整機構で上下、左右 の位置調整をすればよい。図 4.9 は コイル の外形写真である。

4.3.11 整合変圧器

整合変圧器は、焼入機上部の キャリッッ゚に内蔵されている。容量 アックスルラルャフト 低 ヒスミ 焼入機・中村・酒井・早瀬・上田 は 1,500 kVA,電圧 800 V, 乾式水冷式で、切換タッうは9:1 ~20:1 の 10 タッうになっている。切り換えは整合変圧器上部の接続片で行なう。図 4.10 は整合変圧器台についているのは上述の調整機構である。なおこの整合変圧器は巻線方式に特許を有し、インピーダンスが低く、同出力の電源を使用するときは、負荷に大電力を加えることができる特長がある。

4.3.12 コンデンサ

コンデンサ は、従来の コンデンサ に比べて誘電体損失がきわめて 小さく、温度上昇が少ない三菱 製 ポリエチレンコンデンサ を採用して いる. 容量は $288\,\mathrm{kVA}$, $24\,\mu\mathrm{F}$ を 6 個、計 $144\,\mu\mathrm{F}$ であり、そのうち $48\,\mu\mathrm{F}$ は固定で、残りは ++り \circ 5 後方の左右の トピラ を開けば、 $12\,\mu\mathrm{F}$ ずつ ナイフスイッチ で容量調整ができるようになっている.

4.3.13 制御盤, 操作盤

制御盤は焼入機の シーケンス動作を制御するためのもので、盤は防ジン形密閉式であり、盤面には速度計、ランプ、速度調整用スライダックス、タイマなどが取り付けられている.

盤内には リレー 盤があり, リレー 盤上に リレー, 電磁開閉器, 可変抵抗, シリコンダイオード, ヒューズ などが取り付られており盤内の下部には, 小形 トランス, AVR

などが設けられている.

とくに手動操作用の ポタン 類は、一段と低いところに設けられてあり、自動操作用の ポタン とまちがえることのないようになっている。

4.4 制御回路

4.4.1 自動操作

低 ヒズミ 焼入機は、前にも述べたように、アクスルシャフトを フィーダ 上へ供給し、受台上から搬出する以外は、油圧回路と一部にエア 回路を用いて、全自動で運転できるのが特長であるが、この焼入自動動作を 1 サイクル について示したのが図 4.11 である.

動作順序は次のとおりである.

- (1) アクスルシャフトをフィーダの上に乗せ、起動 ボタン を押すと、フィーダ は前進し アクスルシャフト を取付位置の真下まで運び込む.
 - (2) フィーダが完全に前進すると、ローラサポートおよび取出装置

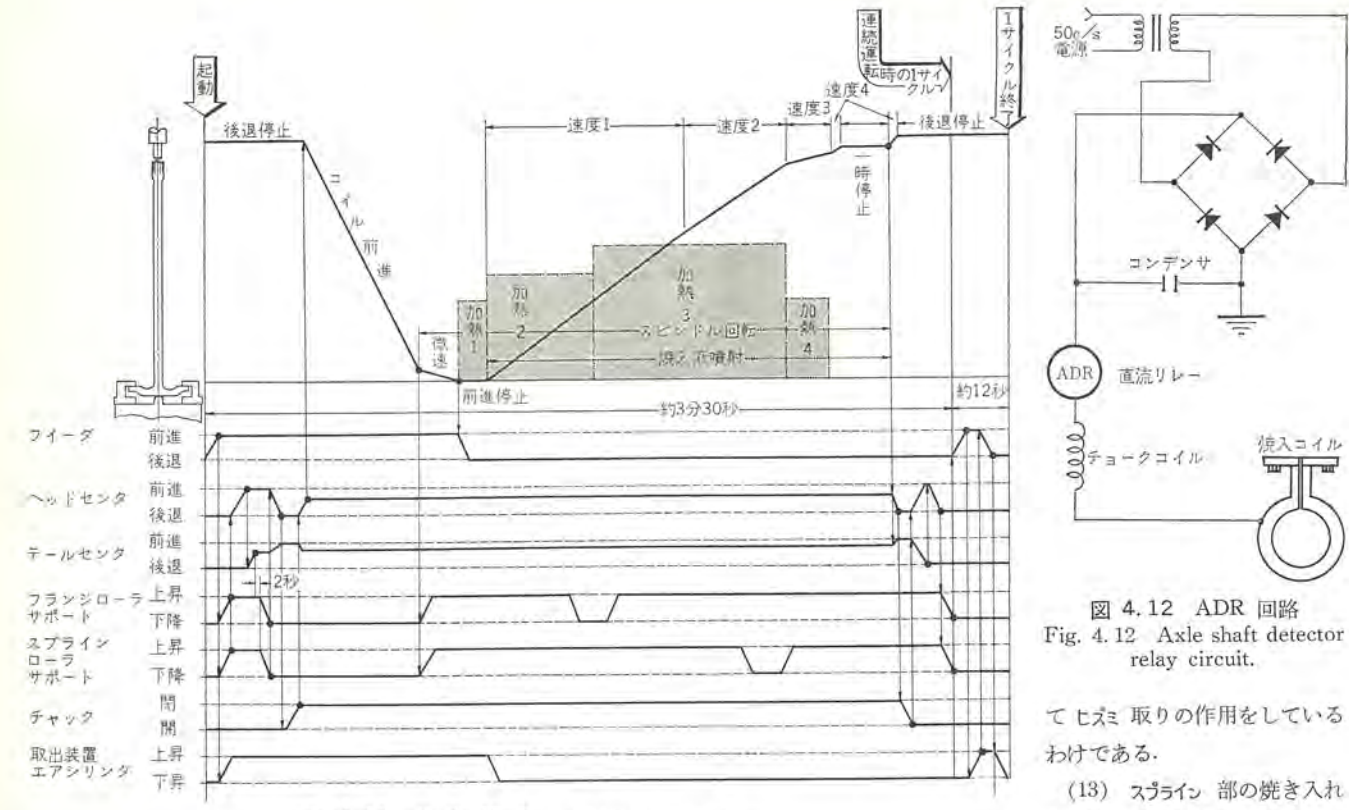


図 4.11 自動焼入 タイムチャート Fig. 4, 11 Time chart of one automatic hardening cycle.

放冷 タイマ の設定時間の間の スピンドル を冷却する.

(14) 放冷 タイマ の限時後、キャリッジ はふたたび移動し、テールセ ンタ 側に入り込む。また同時に テールセンタ が前進、ヘッドセンタ が後 退し、ローラサポートが上昇する.

2000

直流リレー

チョークコイル

図 4.12 ADR 回路

relay circuit.

て ヒズミ 取りの作用をしている

(13) スプライン 部の焼き入れ

を終わる時点で加熱を切り、同

時にキャリッジを一時停止させ、

わけである.

ADR

- (15) ヘッドセンタ が後退すると チャックが開く.
- (16) チャックが開くと ヘッドセンタが前進し、テールセンタが後退す 3.
 - (17) テールセンタが後退すると へっドセンタを後退させる.
- (18) へッドセンタ が後退すると ローラサポート を下降させ、焼き入 れを終了アクスルシャフトをフィーダに乗せる。
- (19) この時点で、新しい アクスルシャフト が フィーダ に供給され ている場合は シーケンス が ストップ し, 1 サイクル を終わるが, もし 供給されてない場合はフィーダが前進し、取出装置のエアシリンダが 上昇してアクスルシャフトを取り出し、ふたたびフィーダが後退して 1 サイクルを終わる.

4.4.2 手動操作

手動操作は、自動-手動切換スイッチを手動に回わせば、上述し た各動作がすべて各個にできるようになっていて、自動運転前の チェック,あるいは各動作の動作速度の調整時などに必要である. ただし加熱はできないようになっている.

4.4.3 ARD 回路

この低し、ミニ焼入機には、三菱独自の開発になる ADR (Axle shaft detector relay) 回路と称する保護回路が設けてある.

これは図4.12に示すように、小形 トランス、シリコンダイオード、直 流 リレー および チョークコイル から構成され、焼入 コイル に直流電圧 を重畳している。コイルが アクスルシャフト と接触したり、また油圧 回路の事故のため コイル が移動中に ローラサポート にぶつかるような 場合には、直流回路が構成されて ADR が働き、主回路を シャ 断 するようになっている.

の エアシリンダ が上昇する. ローラサポート は アクスルシャフト を取付位置 の高さまで持ち上げる役目をし、エアシリンダは、前回の焼き入れを 終えたアクスルシャフトを受台上に取り出す役目をする。

- (3) ローラサポートが上昇し終わると、ヘッドセンタが前進する.
- (4) へっドセンタ が前進すると、テールセンタ が前進し、2 秒遅れ てローラサポートが下降する. これは センタリング に必要な時間を得 るためである.
- (5) ローラサポートが下降するとへっドセンタが後退し、テールセンタ が アクスルシャフトを チャック の中へ押し込む.
 - (6) へっドセンタが後退すると、チャックが閉じる.
- (7) チャックが閉じると、ヘッドセンタを前進すると同時に、コイル、 つまり サャリッジが高速で前進する.
- (8) 焼入 コイルが アクスルシャフト の フランジ 近くに来ると、コイル 前進速度が微速になる。またスピンドルが回転し、さらにローラサポート が上昇する.
- (9) 焼入 コイルが フランジ の位置にくると、キャリッジ が停止す る。この点で焼き入れを終えた アクスルシャフト が フィーダ 上から取 り除かれているとフィーダは後退し、同時に加熱が開始される停 止加熱時間は同時に付勢されるタイマで調整でき、限時後コイルは 速度1で移動し焼き入れをする.
- (10) キャリッジ が移動しはじめると、焼入液の タイマ も同時に 付勢され、限時後焼入液を コイル から噴出する.
- (11) 移動焼入中の加熱電力および コイル 送り速度は、シーケンス 指令板上に設けられた カム の位置を適当に設定することにより, いずれも4段に切り換えることができる.
- (12) ローラサポートは、アクスルシャフトの外周に接しているが、コイ ルがローラサポートの位置を通過するときはリミットスイッチの働きで、 いったん下降し通過後ふたたび上昇するようになっている. した がって2本のローラサポートのいずれかはつねにシャフト外周に接し

また焼入中、コイルには約30V くらいの高周波電圧がかかっているために、焼入液を介してADR 回路中に高周波電流が流れる可能性があるので、この電流を チョークコイル で防いでいる.

5. MG と配電盤

高周波電源は立 テ形 MG, 受電盤, 電動機盤, 発電機盤および変圧器盤から構成されている.

MG は、全閉形 モノブロック 構造で、発電機と電動機が共通軸、 共通 ワク に取り付けてあり、2.7 kc、300 kW 立 デ 形機ではわが 国最大容量の画期的製品である。

この MG は、立テ形機の死命を制する下部 フライス 軸受部には 当社独自の構造を採用した信頼性の高いものである。定格は次の とおりである。

高周波発電機 立テ軸

2,700 c/s 300 kVA 800 V 単相 力率 1.0

全閉内冷形 日種絶縁

駆動用カゴ形誘導電動機 立テ軸

出力 329 kW 50 c/s 3,000 V 2 極 回転数 3,000 rpm (同期速度)

B種絶緣 人△起動方式

受電盤には 3 kV 回路の指示計器類と MG の起動, 停止押しポタン が備えてある.

電動機盤は駆動用誘導電動機の起動補償回路を内蔵している. 電動機は人△起動であるから起動電流は小さく電源に悪影響を及 ほさない.

発電機盤は高周波発電機出力回路用計測回路と保護回路いっさいを内蔵している。

この盤には、また SCR 形定電圧装置があり、±1.5% の電圧変動率に抑えてあるため定電力焼入が可能である。

変圧器盤には $3.3 \,\mathrm{kV}/210 \,\mathrm{V}$ の =7 降変圧器と、それらの指示 計器類が取り付けてある。

図 5.1 は立 テ 形 MG の外形写真である.



図 5.1 立テ形 高周波電動発電機 Fig. 5.1 Vertical type high frequency motor generator.

6. ランニング・データ

据付完了後にランニング・データ取りを行なった。

アクスルシャフト 低 ヒズミ 焼入機・中村・酒井・早瀬・上田

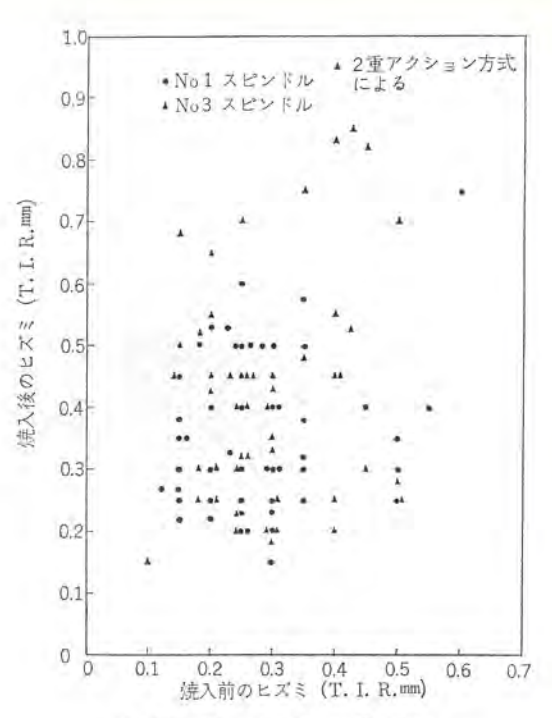
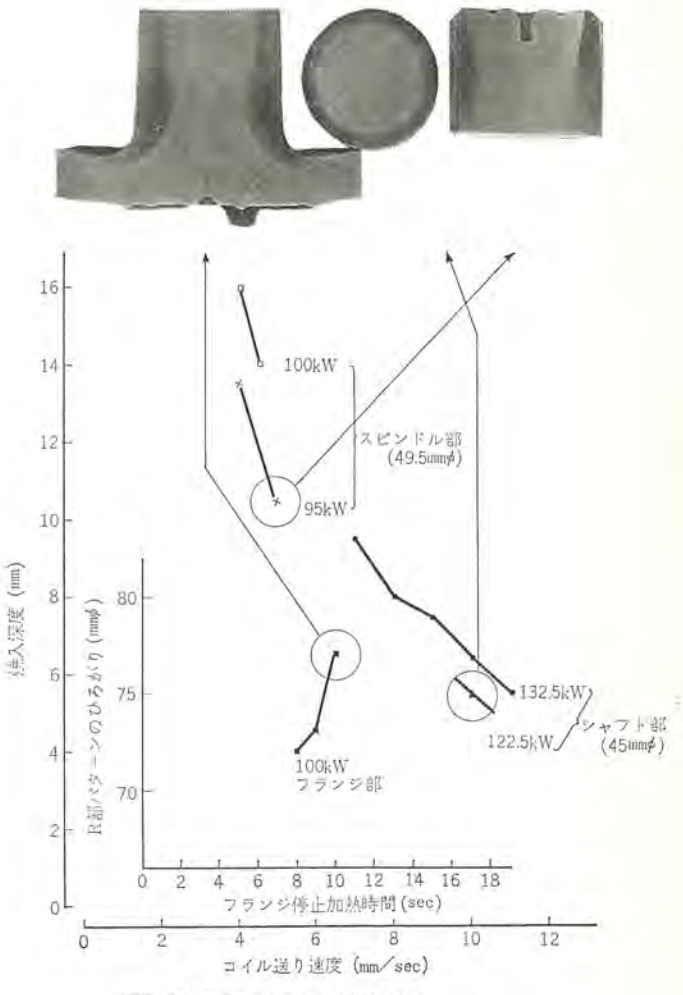


図 6.1 焼入 tズミランニング・データ Fig. 6.1 Low distortional hardening data.



[注] 焼人深度はマクロエッチ組織による 焼人液はソリュブルクエンチ 4% 液による パワーはシャフト1本あたりの MG 出力

図 6.2 焼入条件およびパターシ Fig. 6.2 Hardening condition macroetching pattern.

触面が鋳造 Ng であることなどがおもな原因と思われる.

図 6.2 はこのデータをとった際の アクスルシャフト の焼入条件およ



図 6.3 焼入中の低ヒズミ焼入機 Fig. 6.3 Low distortional axle-hardening machine.

び焼入パターン、図6.3は焼入中の低 ヒズミ 焼入機である.

3 章で述べた結論も、今回の ランニング・テスト で正しいことが確認されたが、そのほかにも次のような点が明らかになった。

- (1) チャックが アクスルシャフト の フランジ を チャッキング した場合の フランジ の振れが、焼入後の フランジ の振れに非常にきいてくる.
- (2) ローラ の位置は、アクスルシャフト の ヒズミ とくに スピンドル 部 の ヒズミ に重大な影響がある.
- (3) たとえ シャフト 部が鍛造 Ng でも, その精度がよい場合 は有効に ヒズミ 取りが可能である.

7. む す び

以上 アクスルシャフト 低 ヒズミ 焼入機についてその概要を紹介した. 詳細な データ についてはまたの機会に発表したと思う.

この文でも述べたように、この焼入機はわが国におけるこの種焼入機の第1号機であり、設計上、工作上の問題点が多々あったにもかかわらず、期待どおりの性能で好調に運転されていることは、いすゞ自動車、三菱両社の関係者各位の絶大なご尽力のたまものと深く感謝の意を表わす次第である。

この焼入機は前文で述べた、数々の特長のほかに、従来の焼入 機に比べて、各部は堅固に構成してあり、また複雑な制御回路に もかかわらずきわめて信頼度の高い部品を使用しているため高い 信頼性を有し、作業性も良好で量産用として適しているなどの特 長もあるため、業界の要望に十分こたえられると思っている.

なお当社では、小形の アクスルシャフト、フランジ なし アクスルシフト、あるいは カムシャフト などの低 ヒズミ 焼入機も試作研究中であり、今後もますますこの種焼入機の発達のために努力したいと考えている。

参考文献

- (1) R. K. Wuerfel: Metal Progress, 84, No. 6. 93 (1963)
- (2) 特許 285760「軸体の熱処理装置」
- (3) 特許出願中 特許出願公告 昭 38-22457「熱処理装置」

三菱E種はん用電動機

篠原芳男*

Mitsubishi General Purpose Induction Motors of Class E Insulation

Nagoya Works Yoshio SHINOHARA

Induction motors have been developed in the effort of reducing the size and weight, resulting in production of several types to this end. Of them, however, class E insulated motors are the ones that make a new epock in the history of motor industry. They are now in mass production in Europe, whereas their standard has been established lately in Japan with an aim of application to general service. The class E insulated motors have been made remarkably smaller than the class A machines. So they need more excellent design in manufacturing.

This article describes the design problems and the features of our class E motors (together) with other related matters in brief.

1. まえがき

これまで低圧はん用電動機といえば A 種絶縁で JEM 1110, JIS C 4201 の規格によった電動機のことを意味していたのであ るが、最近における絶縁材料の著しい進歩および欧州でのE種は ん用電動機のめざましい発展を考えると、今やわが国にもE種は ん用電動機が A 種はん用電動機に代わって登場するのも,もはや 時間の問題と考えられるようになっていた。当社もこのような状 勢を考慮し、早くから E 種電動機の研究開発に努め、すでに数年 前より JEM 寸法ではあるがその適用ワク番をさげてはん用品よ り著しく小形化した工作機用電動機を始めとして、フラットモータ、 KE-A 形 クレーンモータ などに E 種絶縁を採用し相当数の実績をあ げてきた. ところが、いよいよわが国でも貿易の自由化および合 理化対策から、従来の低圧 A 種電動機の規格 JEM 1110, JIS C 4201 に代わるともいうべき E 種電動機の規格 JEM 1180, JIS C 4210 が制定されたので、早速この新規格に準拠した全閉外扇形電 動機の開発を行ない、このほどこの系列化が完成したのでここに その概要を報告する.

誘導電動機は古くから、その小形化、軽量化に努力が払われて きたものであるが、十数年ぐらい前までは冷却効果の改善、電気 装荷、磁気装荷の適切な配分、ミグ数の組み合わせなどむしろ設 計技術的な面よりの改善が主であり、絶縁材料面での進歩は遅れ ていた。すなわち A 種絶縁に使用されていた綿、紙ならびにこれ を処理する コンパウンド や ワニス は誘導機が作り始められたころよ りすでに使用されており、その後いろいろの改良が加えられたが、 本質的には変化していなかった. またB種絶縁についても同様に アスペスト。 マイカ など無機質材料と接着剤とを組み合わせたもので あり、いずれも使用される材料は天然のものか、またはそれを加 工したものに過ぎなかった. しかし合成化学が急速に発展するに つれ シリコーン 樹脂を始めとして優秀な合成樹脂絶縁材料が続々出 現してきた。これらはいずれも耐熱性がすぐれ、また厚みも従来 の天然産の材料とは比較にならないほど薄くなるため、占積率の 著しい向上となり、電動機の小形化に非常に大きな貢献をした. 今回ここで紹介するE種電動機もこの合成樹脂絶縁材料の特長を 十分発揮させ大幅に小形化したものであり、 寸法は IEC 法であ り、ワク番の適用も従来 A 種電動機と比較すると約2段も下げら

れた新しい電動機である.

2. E 種電動機に関連する各種規格

2.1 絶縁規格

従来の絶縁物は有機絶縁材料、無機絶縁材料といった天然材料 が基材料であったから、OABCの四つの区分で十分であった。 しかしその後シリコーン樹脂、ポリエチレンテレフタレート樹脂など熱安定 性に富み、電気的にも物理的にもすぐれた合成樹脂材料が出現し てくるに及び、従来の熱区分に再検討を加える必要が生じてきた. I.E.C では 1952 年来この問題を討議してきたが、絶縁物の劣化 には湿気など周囲状況も大きく影響するし、また同種の材料でも 一部が変性すると耐熱性が変わったり、組み合わせ方が異なると 同じ材料でも耐熱度が異なるなど絶縁材料の実際的な判定は非常 にむずかしいので、寿命試験方法の確立を主張する アメリカ と経 済的理由から、E種、F種、H種の3区分の新設を主張する ヨー ロッパ の意見が対立した. しかし討議の結果, 従来の規格のよう に個々の絶縁物を区分別に分けるのでなく、経験および適当な試 験で分類する思想を生かすことでまとまり、IEC Pub 85 が 1957 年に誕生し、E 種絶縁が国際規格に認められることになった。そ の後わが国でも「電気機器絶縁の種類」JEC-147 が 1960 年に制

表 2.1 E種 絶緣材料

Ţ	2	3	4		5
絶縁 の 種類	主制別	絶 縣 材 料	第3欄の絶縁材 製造のさいに使 る結合,含没, 材料	用す	能縁の処理材料
		エナメル線用ポリウ レタン樹脂 エナメル線用エポキ シ樹脂	企	Ŀ	
		セルロース充てん成 製品 赭 積 圏 品 紙 積 圏 品	メラミン樹脂, ノール樹脂, フ ールフルフラー 脂	21	油変性アスファルト および油変性合成樹 脂ワニス
E	70]	架ドボリエステル 樹脂 セルローストリアセ テートフイルム ボリエチレンテレフ タレートフイルム ボリエチレンテレフ タレート 機能	-4	Ŀ	架修ポリエステル協 脂 エ ゼ キ シ 樹 脂 より高温の種類に無 するもの
		ワニス処理ポリエチ レンテレフタレート クロス	油変性アルキッ ニス	Fy	

定され、E 種絶縁が公的に認められた。JEC-147 はだいたい L E.C Pub 85 と同じであるが、ただ I.E.C の経験または適当な試験で分類するというのでなく。各種絶縁に定まる最高許容温度に十分耐え得る材料で構成された絶縁と定義している点が異なっている。JEC-147 にも I.E.C Pub 85 と同様、各種絶縁に使用しうる絶縁材料表があるので、E 種絶縁の部分を抜すいすると表 2.1 のごとくなる。ただし、ここで注意すべき点は、この表にある材料を使いさえすればよいというのでなく、適切な処理が施されなければ該当絶縁の種類として使用し得ないし、また反対にこの表にない材料でも、その温度に十分耐えるものであれば使用してよいわけで、いずれにしろその材料が E 種絶縁として使用できるかどうかは、機器製造者自身が自己の責任において確認しなければならない。この点当社は従来の E 種絶縁電動機の製作実績に基づき、E 種絶縁の最高許容温度である 120°C に十分耐える絶縁組織を採用し万全を期している。

2.2 寸法規格

E 種電動機の寸法規格は JEM 1180 であるが、これは I.E.C 寸法を採用し、ワク 番の適用も DIN 規格を基にしているので、従来 A 種のものより著しく小形になっている. I.E.C 寸法とは、電動機寸法の統一を計る国際電気標準会議が定めたものであり、1959 年に I.E.C Recomendation Pub 72-1, 72-2 として発表されたものである. この内容を要約すると

- (1) 標準出力 シリーズ
- (2) 外 ワク 寸法 シリーズ
- (3) 軸端寸法 シリーズ

の三つから成り立っており、これらを各国の状況に応じ適宜組み合わせることになっている。すなわち外 ワク 寸法 シリーズ は図 2.1 に示すように、電動機を取り付ける場合に必要な各部寸法 (A,B,C,H,K寸法)を規定したものであり、同じ センダーハイト (C) に対し、80 mm 以下は 1 種類、90 mm、100 mm に対しては 2 種類、112 mm 以上に対しては 3 種類の標準 ワク を設定し、記号 S.M.Lで区分している。そしてこの標準 ワク に入り得る入力に応じ標準軸端が決まることになる。したがって寸法規格を制定する場合、ワク 番の適用が問題となり、JEM-1180 では、DIN 規格を参考に

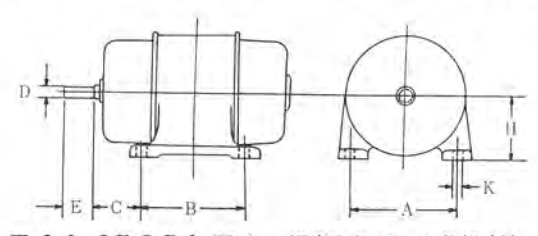


図 2.1 I.E.C Pub 72-1 に規定されている各部寸法 Fig. 2.1 Dimensions prescribed by I.F.C. Pub 72-1.

表 2.2 E 種電動機と A 種電動機の出力比較

	JEM	1180		JE	M 111	0
樹 数ワク番	2 個 (kW)	4 極 (kW)	6 版 (kW)	極 数	4 極 (kW)	6 極 (kW)
63	0.2	0.2				
71	0.4	0.4	0.2			
80	0.75	0.75	0.4	9105	0.2	
90 L	1.5	1.5	0.75	910	0.4	0.2
100L	2.2	2.2	1.5	(1111)*	0.75	0.4
112M	3.7	3.7	2.2	1114	1,5	0,75
132 S	5.5	5.5	3.7	1314	2.2	15
132M	7.5	7.5	5.5	1318	3.7	2.2
160M	11	11	7.5	1621	5.5	3.7
160 L	15	15	11	1625	7.5	5.5

1111 と 100L ではセンターハイトが異なる。TEM 1110 では、2 極のワク番適用は規定していない。

しているので、4極、6極ものは DIN 規格と同じであるが、2極はわが国の実情とも考え合わせ、DIN 規格とは多少異なり、4極と同じ適用になっている。この関係を JEM 1110 と比較対照させると表2.2のようになる。

2.3 特性規格

E 種電動機は A 種電動機と比較すると著しく小形化されているので、A 種の特性規格 JIS C 4201 に代わる新しい規格の制定が必要となった。そこで電機工業会が中心となって外国製 E 種電動機を輸入し、その測定結果を基に、日本の国情とも合わせ考え、JIS C 4210 が制定された。この規格は A 種の JIS C 4201 と比較すると、全般的に諸特性は低下しているが、その中でも無負荷電流と力率がかなり大きく変わっている。ただし、3.7kW 以上になると両者の差は少なくなり、接近した値になっている。またJIS C 4201 では4極、6極電動機の5.5kW 以上のものについては、特殊カゴ形一種、特殊カゴ形二種の二種類に分け、そのおのおのに対し規格値が定められているが、今回の JIS C 4210 ではとくに分けず、特殊カゴ形一種にも二種にも適用される値になっている。

3. 三菱 E 種電動機

3.1 三菱 E 種電動機の標準寸法

三菱 E 種全閉外扇形電動機の系列としては、JEM 1180 に規定された床取付機軸形および、フランジ 取付機軸(立 テ 軸)形の 2, 4,



SF-E 2.2kW 4P



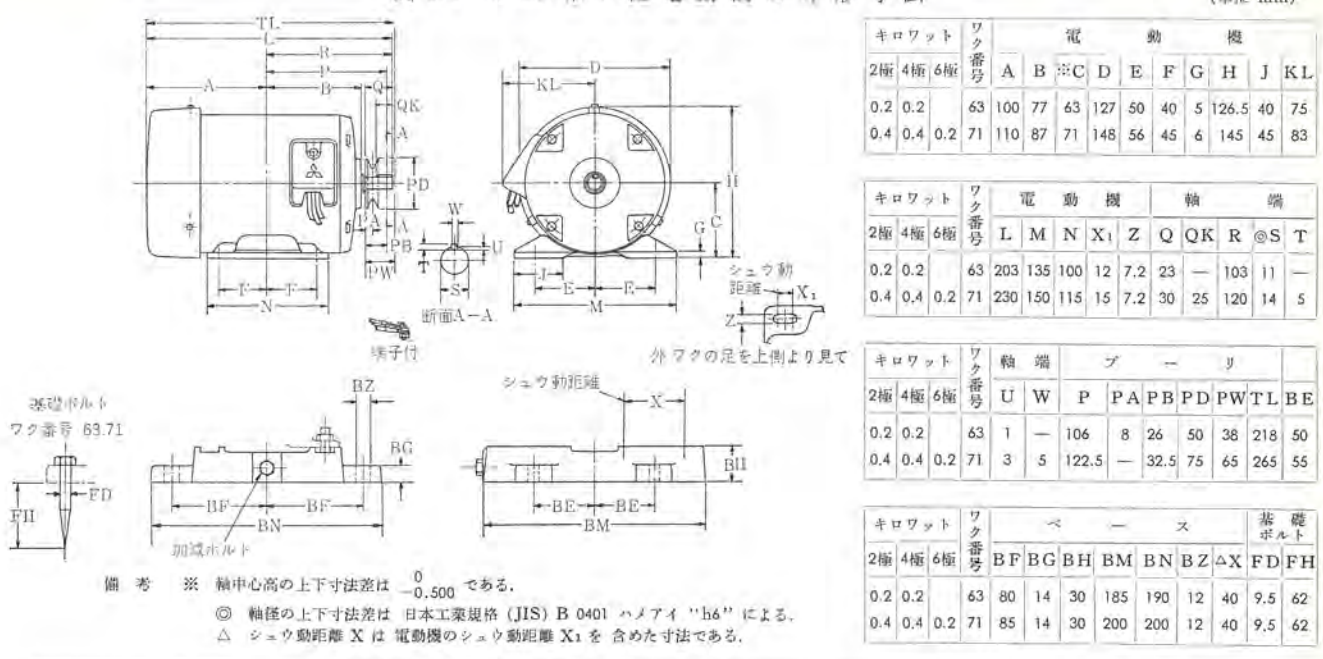
SF-ERF 400 W 4 P 71Fr

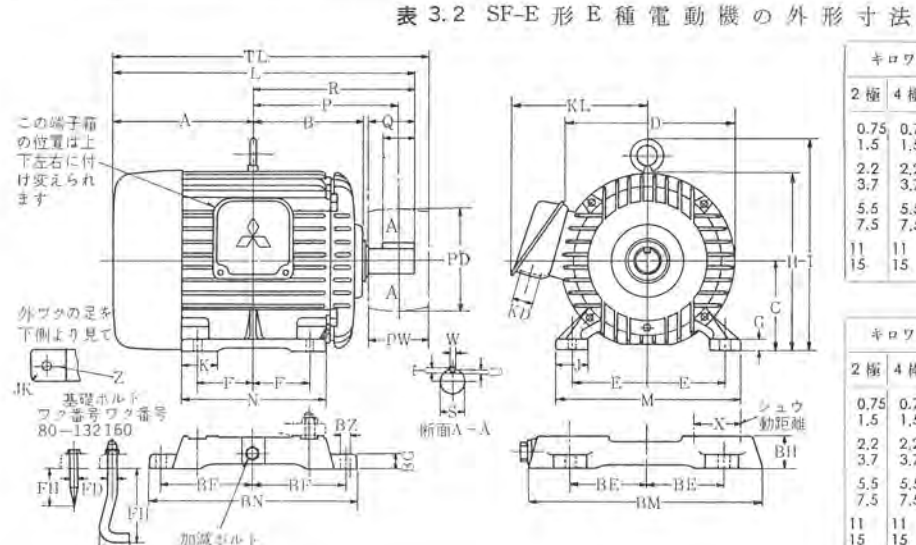
図 3.2 SF-ERF, SF-EF形 スーパーライン E モートル Fig. 3.2 Types SF-ERF and SF-EF super line E motors.

SF EF 2.2kW 4P 100L.



(Mi/// mm)





	機	助	d	框		ワケ	}-	17 9	丰
F	E	D	#C	В	A	番号	6極	4 極	2 極
50 62,5	62,5 70	167 187	80 90	95 113,5	122 145	80 90 L	0.4 0.75	0.75	0.75
70 70	80 95	200 220,5	100 112	128 135	165 175,5	100L 112M	1.5	2,2 3,7	2.2 3.7
70 89	108 108	257,5 257,5	132 132	152 171		132S 132M	3.7 5.5	5.5 7.5	5.5 7.5
105 127	127 127	315,5 315,5	160 160	205 227	263 285	160M 160L	7,5 11	11	11

*	279	F	22		316	I	b	機			
2極	4 梅	6 Ni	番号	Ģ	Н	I	J	JK	K	KD	
0.75	0.75 1,5	0.4 0.75	80 90L	10	163 183.5	-	35 35	3	35 35	22 22	
2.2 3.7	2,2 3.7	1.5	100L 112M	12 15	200 223	241.5 264.5	40 40	3	40 45	25 25	
5.5 7.5	5.5 7.5	3.7 5.5	132S 132M	17 17	261 261	302.5 302.5	45 45	5	50 50	25 25	
11	11 15	7,5 11	160M 160L	20 20	318 318	367.5 367.5	55 55	6	60	35 35	

并	ロワッ	7	ワク		挺	動	機			育	1		24	ii ii		7		+	9		4			-	Z			基础	世ポル	F
2 極	4 極	6極	番号	KL	L	M	N	Z	Q	QK	R	©S	Т	U	W	P	PD	PW	TL	BE	BF	BG	вн	вм	BN	ΒZ	X	FD	FH	FW
0.75		0.4 0.75	80 90 L	134 143	262 313,5	165 180	130 155			28 35	140 168,5	19 24	5	3	5 7	132,5 150	75 100	65 75		65 70	90 105		30 30	215 230	210 240	12 12	40 40	9.5 9.5	62 62	=
2.2 3.7	2.2 3.7	1,8	100 L 112M		348 375	200 230	175 180		50 60	35 45	183 200	24 28	7	4	7	170.5 190	125	75 100		80 95	115 115	18 18		265 295	260 260	12 12	50 50	9.5 9.5	58 58	Ξ
5.5 7.5	5.5 7.5	3.7 5,5	132 S 132M		444.5 482.5	260 260	180 218		80 80		239 258	32 32	8	4.5 4.5	10	221.5 240.5	140 180	125		110 110	120 140	20 20	45 45	335 335	270 310	12 12	60 60	9.5 9.5	56 56	Ξ
11	11	7.5 11	160M 160L		586 630	310 310	260 304		110 110		323 345	42 42	8	4,5 4,5	12 12	283 305	180 230	150 150		125 125	165 185	22 22	50 50	395 395	370 410	16 16	70 70	13	124 124	53 53

伽 考 ※ 軸中心高の上下寸法差は 0.500 である。

◎ 軸径の上下寸法差は 日本工業規格 (JIS) B 0401 ハメアイ方式 "h6" による、 取付寸法は IEC 規格 に単拠している。 なお 132 フレーム以上の端子箱は軸と水平である。

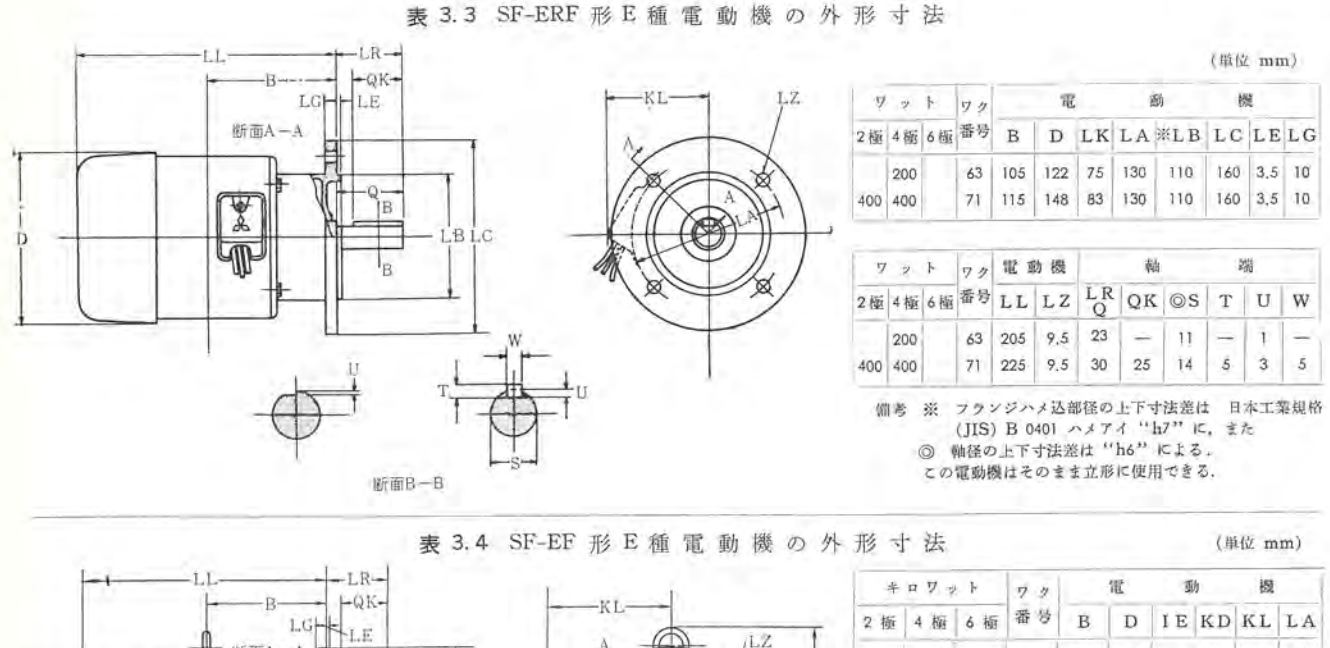
6 極である. ただし 63,71 つレーム は鋼板 フレーム 電動機であり,80 以上 160 フレーム までは鋳鉄 フレーム 電動機である. 図 3.1,図 3.2 は当社 E 種電動機の製品写真である. また表 3,1~3.4 は各形式の外形寸法を示したものである.

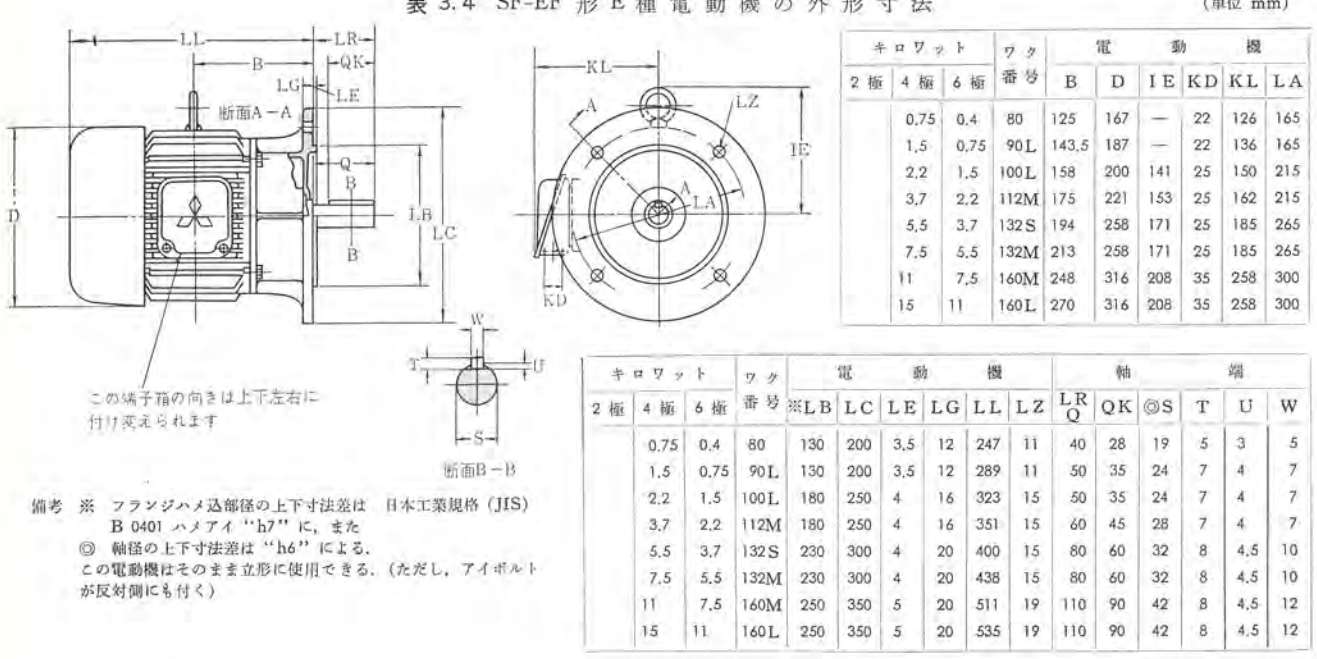
3.2 構 造

3.2.1 構造一般

E 種電動機 (鋳鉄 フレーム) の構造は図3.3 に示すように、A 種

絶縁の SF-A 形、SF-F 形などとほとんど同じ形状であるが、A 種電動機の場合より発生する損失が大きいので、できるだけ冷却 効果を大きくする必要がある. E 種絶縁にすると温度上昇は 15° C、A 種絶縁の場合より高くとれるが、比で考えれば 75/60 と 25% より増加していない. しかしながら同一 90 番に入る出力が A 種絶縁の場合と E 種絶縁の場合とでは、 $2\sim3$ 倍の違いがあり、かりに効率が同じとすれば、90 内で発生する損失も出力に比例し





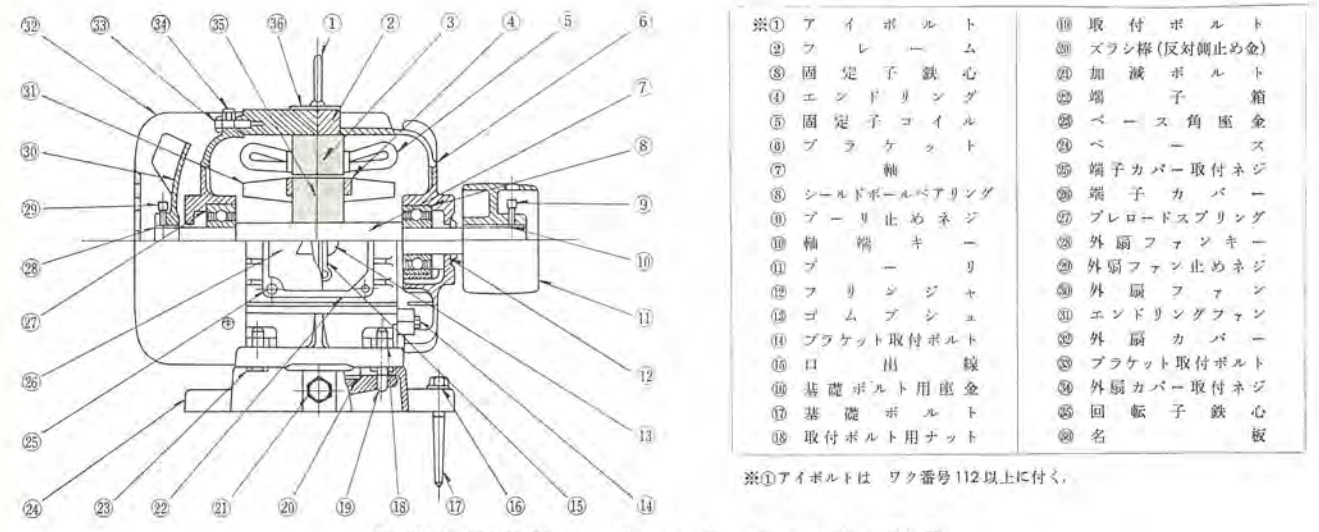


図 3.3 SF-E 形スーパーライン E モートル断面 Fig. 3.3 Cross sectional drawing of type SF-E super line E motor.

て増加することになる. したがって、もし冷却効果が同じである と温度上昇は著しく高くなり、絶縁をE種にすることで得られる

温度余裕ではおさまらないことになる。 このため 80 フレーム 以上 の鋳鉄 フレーム E 種電動機では冷却 フィン の数を増し、高さも高

くして冷却面積の増加を計った。この フィン の数の増加は フレーム, いてその選定を行なうことになっている。当社は工作用電動機,フ ブラケット の剛性を増すことにもなり、振動を低下するのに役立っ ている

3.2.2 冷却ファンおよびファンカバー

冷却 ファン は アルミ 合金製のもので、十分な風量が得られるよ うに設計した。これは ファンカバー とも密接な関係があり、これが 悪いと騒音が高くなったり、また有効冷却風量が減りフレームの 温度を下げないから、ファンの羽根とファンカバー吸入口の間隔、 ファン 羽根と吸入口の位置的関係を綿密に調べ、風量と騒音の関 係が最適であるようにした。 さらに回転子には エッドリングファン を 設け、内部の空気を カクハン (攪拌) することにより電動機内部の 熱の放散を高め、温度上昇の低下に効果を上げている.

3.2.3 軸受および軸貫通部の構造

ベアリング には耐熱性、耐湿性、耐老化性のすぐれた リチェーム系 グリース を使用しており、またその構造も油もれがなく、摩擦損失 もきわめて少ない非接触形のゴムシールドペアリングであるので寿命が 長く、保守がきわめて楽である。また ブラケット における ペアリング のはめ込部および フレーム とのはめ込部は捨て加工方式を採用し た当社独特の加工法により、 ヒズミ がなくかつ 同心に加工されて いるので、組立の際、ボールが コジレル こともなく、回転子を空 ゲ ‡径の中心に正確に保持している。軸貫通部には黒色合成 ゴム製 の フリンジャ が付いていて、外部からの チリ や水滴の侵入を防ぐほ か、軸受部にはパイパスを設けペアリングを通じての呼吸作用も防 止している。そのため ペアリング に微細な チリ やホコリ、水分が侵 入することなく, 円滑な運転と長い寿命を保持することができ

3.2.4 端子箱構造

端子箱の位置は端子箱の出口と床面との間隔を十分保ち、端子 の接続を容易にするため、軸に対し 15°~18° 上方に傾斜してい る. ただし 132 フレーム 以上のものは従来とおり軸に平行で フレー ムの中央に位置されている。端子は、ゴムブッシュから口出線を出 す ラグ 方式とし、口出線には耐熱性の高い ハイパーロン 口出線を使 用している. なお、端子箱の方向は組み換えを行なうことで簡単 に変えることができる.

3.3 電気部分の設計

3.3.1 鉄心

I.E.C 寸法の採用により、新しい鉄心系列の整備が必要となっ た。鉄心はコイルとともに電動機で最も大切な部分であり、全負 荷特性, トルク 特性, 温度上昇, 振動, 騒音など電動機のあらゆる 特性に大きな影響を及ぼすものである. したがってこの部分の設 計がうまく行なわれない限り、優秀なE種電動機の製作は無理で ある。当社製E種電動機は多年にわたる電動機製作の豊富な研究 実績に、新しい技術的改良を加え合理的な設計を行なった。すな わち、すぐれた磁気特性の ケイ素鋼板を鉄心材料に選ぶとともに、 ミグの大きさ、形状、空 ゲキ 径など十分検討を加え、鉄心各部 (歯,背部,空 げき)の磁束密度とミグ内に入る電線量の関係を 最適にしたほか、最適のミグ数の組み合わせについても十分な考 慮を払ったので、振動、騒音、漂遊損を減少させた. とくに回転 子鉄心には、従来からの半閉ミグをやめ、全閉ミグとしたので漂 遊損が減少し、温度上昇を低下させることができ、起動 トルク、速 度一トルク特性の改善もできた。

3.3.2 コイルの絶縁

前節規格の所でも述べたように、絶縁は製造者自身の責任にお

ラットモートル などを E 種絶縁を使用した電動機の豊富な製作実績 に基づき、適切な絶縁組織を採用しているから、許容温度の上っ たことに対する心配はまったくなく、十分長い寿命を保証してい る. 絶縁物の主体はポリエチレンフタレート 樹脂系のもので、電線には ポリエステル 電線、各部絶縁および ウェッジ には ポリエステルフィルム お よびその加工紙を、またワニスにはフェノリック系のものを使用し ている。したがって絶縁材料の耐熱性はもちろんのこと相互接着 性も良く,すぐれた総合特性が得られるように考慮してある.

4. 特 長

当社 E 種電動機は数々のすぐれた特長を有している. 以下それ につき順次説明する.

4.1 小形, 軽量

小形化, 軽量化はこの電動機の最も大きな特長である。図 4.1 の製品比較図を見れば明らかであるが、これを定量的に表わすと 図 4.2 のごとくなる. これは従来の A 種電動機である SF-A を 100% とした時のものであるが、重量で約65~70%、容積で約 55~60% になり、とくに小形化の著しい 2.2kW 4P では容積が 50% 以下になっている。これにより据付、運搬は容易となるば かりでなく、相手機械に組み込む場合には、所要 スペース がきわ めて少たくなる.

4.2 トルクが大きい

寸法が著しく小形化されているが、トルク特性、とくに起動トル



SF-A 22kW (P (ABI) SF-E 22kW 1P (E師)



図 4.1 同一容量,極数を有する E 種電動機と A 種電動機 Fig. 4.1 Class E motor and class A motor with same capacity and poles.

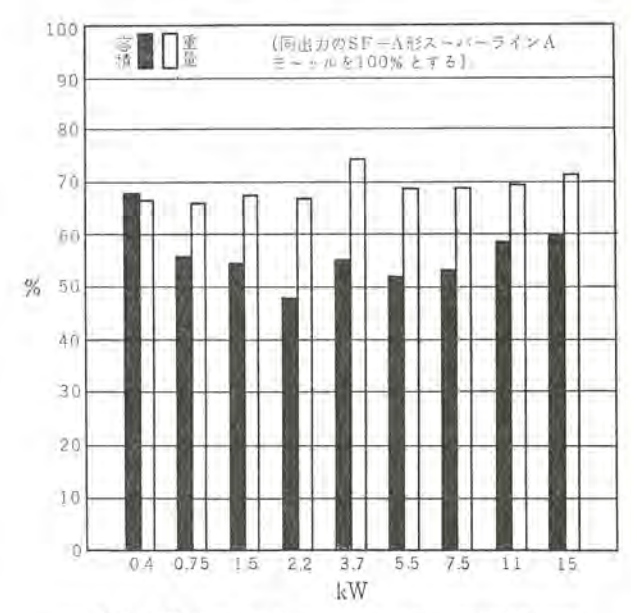


図 4.2 SF-E 形 スーパーライン E モートル の重量容積比較 Fig. 4.2 Volume and weight compaied between class E and class A motor.

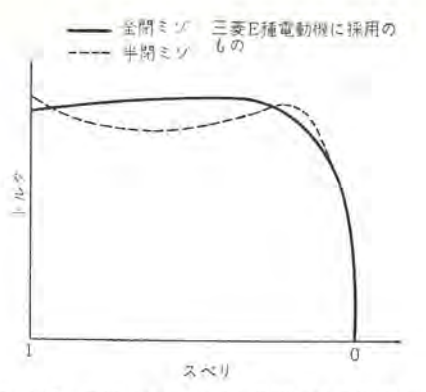


図 4.3 全閉 ミジ回転子と半閉 ミジ回転子の スペリートルク 特性比較

Fig. 4.3 Comparison of slip-torque performance between total enclosed and semi enclosed rotor.

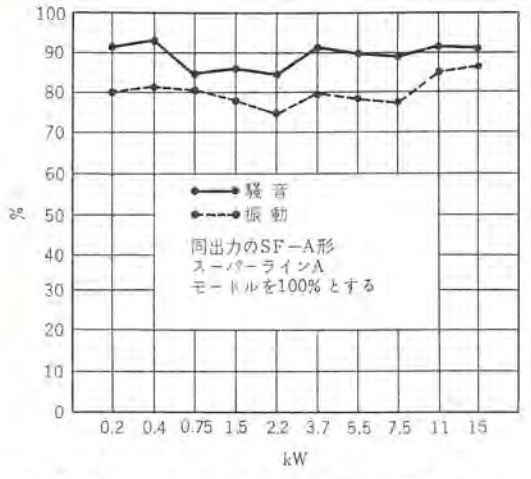


図 4.4 SF-ER, SF-E 形 スーパーライン E モートルの 騒音振動比較

Fig. 4.4 Comparison of noise and vibration between class E and class A motors.

クはA種はん用電動機以上のものを持ち、小形化による トルク 不足はまったくない。 また速度ートルク 特性も図 4.3 に示すようにきわめて良好である。 その他の諸特性も JIS C 4210 に十分合格するものとなっている。

4.3 完全 E 種絶縁の採用

電線をはじめ各種絶縁物には耐熱性の高い ポリエステル 樹脂の絶縁材料を用い、さらにウェッジ、口出線などの各部にも、E 種絶縁として十分吟味された材料を用いているので、長い寿命を保証できる.

4.4 静かな運転

E 種電動機は合理的な電気設計をし、フレーム、ブラケットの十分な耐震性、当社独特の捨て加工方式による精密な同時加工、十分なパランスなどが施こされているうえ、小形軽量化されているため、振動、騒音が非常に少なくなっている。図4.4 は E 種電動機の騒音、振動と現行 A 種電動機のそれとを比較したもので、騒音で約10~15%、振動で約15~20%減少しているので、きわめて静かで円滑な運転ができる。

4.5 GD² が小さい

電動機自体が小形化されているので回転子の GD° も小さく,現行 A 種絶縁電動機の約85% に減少している。これは正逆転などひん繁な起動,停止を行なう場合,発生熱損失は少なく,きわめて有利である。

5. 用 途

当社 E 種電動機は従来 A 種はん用電動機とまったく同じ条件で使用し得るが、工作機用電動機の場合のように、寸法の縮少ならびに重量の低減が望まれるものにはとくに適している。そのほか、ポンプ 用、コンペア 用、送風機用などいろいろの用途に用いて満足すべき結果をあげている。

6. む す び

欧州ではすでに数年前より、A 種はん用電動機に代わる E 種はん用電動機として、量産されていたが、今般わが国でも、E 種電動機の規格が制定され、そのはん用化に拍車がかけられた。しかし E 種電動機は従来の A 種はん用電動機と比較すると著しく小形化されているため、ややもすると A 種電動機より特性が落ちぎみになる。この点、当社 E 種電動機は、従来からの豊富な研究実績でそれを カバーし、起動トルク、停動トルク、速度ートルク特性は現行の A 種電動機に対してそん色なく、小形化によるトルク特性の低下はまったくない。

またE 種電動機の特長である小形、軽量はもちろんのこと、振動、騒音もきわめて少なく、当社電動機技術の粋を結集したものである。誘導電動機は、この世の中に登場して以来常に小形化、軽量化の努力が払われており、今回ここで紹介したE 種電動機もその歴史に一区画をなすものであるが、われわれはこれに満足せずさらに小形化、軽量化の努力を払い需要家のご期待にそいたいと考えている。

AISE準拠クレーン用電動機

野畑正己*

Crane Motors Conforming to the AISE Standards

Nagoya Works Masami NOBATA

New crane motors have been manufactured by Mitsubishi in conformity to the AC mill motor standards announced in 1961 by the Association of Iron and Steel Engineering of America, which established DC mill motor standards 14 years ahead of them. In Japan crane motors established by the JEM 1065 have been in service as mill motors for auxiliary machines in the steel industry, but they are not very satisfactory for operation demanding heavy service. Under the circumstances, to build crane motors based on the A. I. S. E. is considered one of the measures to get away with the drawback. These standards have numerouse advantages in the construction, characteristics and other points. Particularly favorable is a large breakdown torque of 325~425%, which makes the motor convenient for heavy use.

1. まえがき

産業界のめざましい発展により荷役、運搬の分野においても、より高性能の電動機の需要がたかまってきている。この時に際し、アメリカ の Association of Iron and Steel Engineers が 1947 年の D-C Mill Motor Standards に引き続き、1961 年 A-C Mill Motor Standards の AISE Standard No. 1-A を発表した。

現在わが国においては JEM 1065 で制定された クレーン 用電動機が、製鉄補機の Mill 用としても使用されているが、heavy use を要求するこれら用途に対しては不満足な点も否定することができない。また、この JEM 1065 規格自体が 1952 年に制定されたものであり、設計上、材料上の技術進歩のめざましい現在においては、若干不備な点もみうけられるので、現在、電機工業会において製鉄メーカ、クレーンメーカ などの意見を組み入れた現行の JEM 規格修正案、または AISE 規格の採用案、DIN 規格案などの見直し審議を続行中である。したがって違からず新しい規格が装いも新たに生れてくることと考えられる。AISE 規格のものを クレーン 用として考えた場合、取付寸法、部品の互換性などの構造上に多くの利点を有するとともに、現行 JEM 規格より相当大幅に出力の余裕をもったものになるため、Mill motor に対してももちろん heavy use 用 クレーン に対しても十分耐えうるものになる。

今回この AISE 規格に準拠した クレーン・モートル series の一部 を製作し好結果を得たので、以下、本論においてこの電動機の特殊性、寸法、構造、性能などに関し、その概要を述べることにする。

2. AISE 規格

AISE No. 1-A Mill 用電動機の規格はアメリカにおいて 1947 年に AISE No. 1 として D-C Mill Motor Standards が発令され、以後、製鉄、製鋼、シレーンに広く使用されたが、使用者側から同様な A-C Mill 用電動機の規格も必要であるとの声が高くなり、1960年において使用者側、生産者側より合同委員会、および標準化開発小委員会が設置されて、いくたびかの検討を重ねたのちに1961年9月、試案として発表されたものである。

D-C Mill 用電動機には直流電源設備が必要であり、設備費用,

運転費用およびその他の費用を考慮に入れれば A-C の方がより 経済的であるといえる. したがってこの Mill 用電動機はこれら の利点とあいまって、各方面に利用されるであろうことは十分予 測される.

A-C Mill 用電動機の規格制定に際しては D-C Mill 用電動機 との互換性を十分に検討したのであるが D-C, A-C の本質的な 差異から結果的には取付寸法,出力に互換性は得られていない。

一般的にいえることは A-C Mill 用電動機の一段上のものがほぼ D-C Mill 用電動機に匹敵するといえる。

3. AISE 規格の内容

AISE No. 1-A A-C Mill Motor Standards は外形寸法,形式,定格,出力,極数,停動 トルク,および二次特性を規定しているが,その内容の概略を述べれば以下のとおりである.

3.1 外形寸法

電動機本体の外形寸法は表 3.1 のとおりである。表 3.2 は ず カト 通風口の寸法を示している。外形寸法、ずカト 通風口の寸法 については電機工業会において AISE 規格の インチ 寸法を ミリ 寸 法に換算し、最終決定を見ているのでその寸法を載せた。

3.2 形式, 定格 (表 3.3 参照)

- (1) 全閉自冷形で1時間定格のものを基本定格とする.
- (2) その他の定格は次のようなものである.
- a. 保護形で自己通風 1 時間定格のもの、そして定格は基本 定格の 125% のものである。
- b. 保護形で自己通風 連続定格のもの,そして定格は基本定格と同じものである.
- c. 保護形で強制通風 連続定格のもの,そして定格は基本定格の 125% のものである.
- d. 閉鎖形で強制通風 連続定格のもの、そして定格は基本定格と同じものである。

ここでいう保護形で自己通風のものは、ブラケットの各窓に金網の類で保護し、内部ファンによる自己通風を行なう構造のものである。また、保護形で強制通風のものは、プラケットの窓に金網の類で保護し、所要風量を負荷側のブラケットのダクトを通じて、別のファンにより送りこむ構造のものである。また、閉鎖形で強制通風のものは閉鎖形の性質上、ブラケットの上部のフタを盲ブタに

表 3.1 ME 形 クレーン 用三相誘導電動機外形寸法

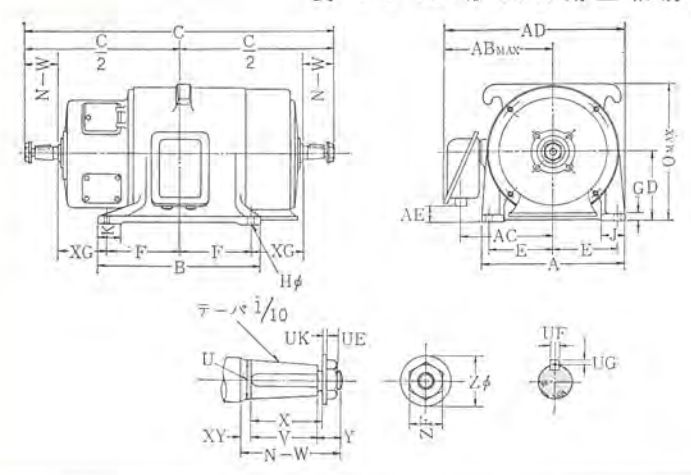
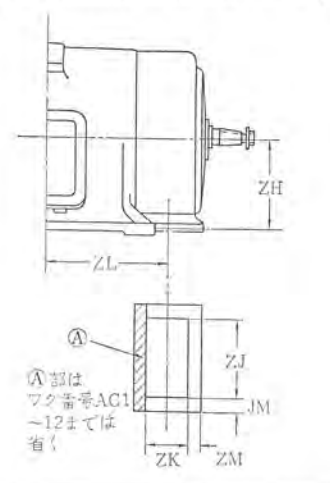


表 3.2 AISE Standard A-C Mill Motor ダクト 寸法



ワク番号	kW	ZH	Z J	ZK	ZL	ZM	風 船 m³/min	風 圧 mm水柱
AC 1	3	165	165	85	238	20	2.8	19
AC 2	7.5	165	165	85	238	20	3.5	19
AC 4	15	190	198	88	258	20	4.3	19
AC 8	30	215	238	102	318	20	6.4	25
AC12	45	242	270	115	348	20	9.2	32
AC18	67	305	330	135	442	25	17.0	32
AC25	95	352	432	152	502	25	22.0	25
AC30	110	352	432	152	502	25	26.0	38
AC40	150	415	558	152	595	25	31.0	32
AC50	190	415	558	152	595	25	35.0	38

表 3.3 AISE Standard A-C Mill Motor 定格

		全 閉	温息	发上 昇	限度と	出力(kW)	~	次 特	性
ワク番号	回転数 (rpm)	自冷形 トルク (kg-m)	85°C 全 閉 自冷形 1 時間	80°C 保護形 自己通風 1 時間	80°C 保護形 自己通風 連 続	80°C 保護形 他力通風 連 続	80°C 防滴形 他力通風 連 続	二 次 電 圧 (V)	二 次 電 流 (A)	抵 抗 (Ω)
AC 1	1,200	3.18	3.7	4.6	3.7	4.6	3.7	140	19	3,50
AC 2	1,200	6,36	7.5	9,4	7.5	9.4	7.5	195	26.5	3.50
AC 4	1,200	12.72	15	18.7	15	18.7	15	265	38	3.50
AC 8	1,200	25.45	30	37.5	30	37.5	30	250	75	1.75
AC12	1,200	38.17	45	56	45	56	45	300	92	1.75
AC18	900	74.68	67	84	67	84	67	260	162	0.875
AC25	900	103.73	95	119	95	119	95	305	190	0.875
AC30	900	123.78	110	138	110	138	110	340	207	0.875
AC40	720	206,67	1.50	187	1.50	187	1.50	275	335	0.437
AC50	720	256.82	190	238	190	238	190	310	375	0.437

注 1、回転数は 60c/s である.

2、金閉自冷形のトルクは 100% 負荷の値を示す。
3、温度上昇限度は抵抗法である。
4、二次電圧の許容値は ±10%。
5、抵抗値は外部の二次そう人抵抗値を示す

1	KW 健	3.7	7.5	1.5	30	45	29	9.5	110	150	
	X	9	9	9	9	9	80	80	00	10	10
	A	382	382	432	482	532	099	762	762	890	890
	В	422	422	442	-	578 1	730	850 1	850 1	988	988
	U	856	856	006		,148		1,632	,632	,844	,844
-	Q	178		203	229	254	318	368	368	432	432
H	田	171	171	161	216	241	298	343	343	400	400
	ĮT.	186	186	195		257	327	387	387	446	449
	9	20	20	20	25	32	32	32	32	38	38
	Ħ	19.	61	6	22	22	29	33	33	36	36
爾	-	20	70	80	82	88	125	125	125	125	125
	M		75		85 4	95	130	130	130	152 8	152 8
	0	355	355	405	462	512	622	728	728	855	855
	AB A	285	285	335	420	448	545	598	865	099	009
邂	AC A	232	232	272	328	355	430	482	482	545 1,	545 1,
	AD A	462	462	538	648	702	875	87.6	826	105	105
	AE	0	0	0	25	25	52	06	06	115	115
	~7 y ~ y No.	6210	6210	6310	N J214	N J 214	NJ210	N J219	N J 219	N J 322	N J 322
	D	44	44	44	64	64	82	92	92	108	108
	>	70	20	20	98	95	108	121	121	121	121
	×	75	75	75	102	102	115	128	128	128	128
	>	30	30	30	35	35	41	44	44	48	48
要	2	99	99	99	82	82	108	115	15	130	130
	W-W	112	112	112	142	142	191	177	177	181	181
	XE	25	25	25	38	38	09	99	99	80	80
	XG	130	130	143	156	175	215	252	252	292	292
	XX	12	12	12	12	12	12	12	12	12	12
褒	UE	18	99	18	22	22	28	32	32	35	35
rter	UK	9	9	9	9	9	9	9	9	9	9
	ZF	50	90	20	19	49	105	110	110	120	120
	UF	12	12	12	80	18	24	24	24	28	28
	ng	3.5	3,5	3.5	9	9	00	00	00	0.	0.
#	羅	12	12	12	18	8	24	24	24	28	28
1	影	4.5	4.5	4.5	9	9	00	00	00	0-	6

する点が、保護形で強制通風のものより異なっているだけである.

3.3 出力,極数

全閉自冷形の基本定格では 5 HP (3.7 kW) から 250 HP (190 kW) まで 10 種類の出力に対する 7レーム の適用があり、その他の定格に対しても、おのおのの適用が表 3.2 に規定されている。

極数は 60 HP (45 kW) までは 6 極, 90 HP (67 kW) から 150 HP (110 kW) までが 8 極, 150 HP (110 kW) を越えるものは 10 極である.

3.4 電圧, 周波数, および絶縁階級

440 V, 60 c/s, B 種絶縁と規定されいる。したがって、これ以外を指定する場合は適用外となる。

3.5 停動トルク

定格電圧,周波数において,全閉自冷形の基本定格の325%以上425%以内の範囲を規定している.

3.6 二次特性

二次電圧と二次電流および二次の外部そう入抵抗値を規定している。その際二次電圧については ±10% の裕度を認めている。

3.7 加速度

全閉自冷形の基本定格において、定格電圧、周波数のもとに無 負荷運転で、100% 速度に達するのに、0.7 秒以内でなければな らないことを規定している。

3.8 過速度耐力

最高許容回転数は定格速度の200%であることを規定している.

3.9 形式変更

電動機は内部構造を変更しないで全閉自冷形,自己通風形,他 力通風形の,いずれでも使用可能であること,および,負荷側づ 5ケットは90°回転可能な構造であることを規定している。

3.10 詳細事項

下記にあげるような規定事項がある.

- (1) 電動機は堅固な構造であって、急しゅんな負荷に耐えられること。
- (2) つり耳は鋳造,溶接,または ポルト 締めとし,耳の頂上 'O" 寸法に, 横方向では "A" 寸法以内にはいること.
- (3) 端子箱の リード 引込口は図 5.3 のごとく,メクラ 板を ポルト 締めする構造であること。また、左右上下にも回転できる構造とすること。

4. 各種規格の比較

表からわかるように、AISE 規格は、他の規格に比べて相当異なった点がみうけられる。すなわち

(1) 形 式

各規格とも全閉形を採用しているが、AISE 規格は一つの電動機で、全閉自冷形、保護形、閉鎖形の自己通風形、および閉鎖形の他力通風形と4種類の形式変更が可能であるという、利点をもっている。他の規格ではそのような形式変更は簡単にできない。

形式と時間定格の関係で、AISE 規格は、全閉形においては、 60 分定格であるのに対して、DIN 規格では、全閉形で連続定格 が可能なように、外扇 ファン 付きの構造になっている.

将来、クレーン 用電動機は、使用時間が過酷になり、連続定格の要求が強くなる傾向が予測されるので、DIN 規格のような外扇形の採用も十分考えられる。

表 4.1 各種 規格の比較

规格名	形式	出 カ HP および kW	極数	時間定格	作 動トルク	稻綠 階級	外形寸法
AISE	全閉自冷形 保 護 形 閉 鎖 形	5HP 250HP	6 8 10	60 分 連続また は 60 分	325~425	В	AISE No. 1-A
JEM	全閉自命形	2kW 150kW	6 8 10	30 分 または 60 分	225 以上	と指なし	JEM 1066
NEMA	全閉自冷形 および 別 放 形	1 ¹ / ₈ HP / 150HP	6 8	30 分 または 60 分	275 以上	A または B	NEMA MGI-3029
DIN	全閉外扇形	5.5 kW 135 kW	4 6 8 10	25% ED 40% * 60% *	40% ED において 250%	指定なし	DIN-4268

(2) 停動 トルク

⑥ 内部ファン

JEC-37 の誘導機の規格では 175% 以上、また JEM 1065 σ ν ν 用電動機は 225% 以上であり、NEMA の σ ν ν 用電動機でも 275% とされている。これから考えれば AISE 規格の電動機は、出力的に相当余裕をもった電動機ということができる。

5. 特長および構造一般



図 5.1 ME 形 クレーン 用三相誘導電動機外観 Fig. 5.1 Type ME crane motor.

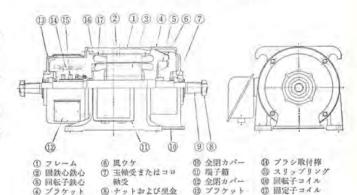


図 5.2 ME 形 クレーン 用三相誘導電動機構造断面 Fig. 5.2 Cross section 3 phase induction crane motor.

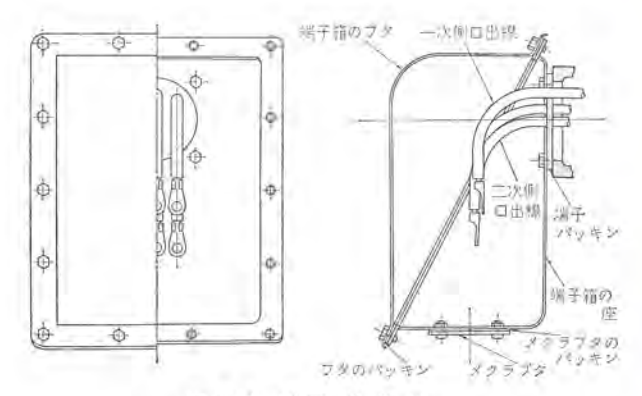


図 5.3 端子箱構造 Fig. 5.3 Construction of terminal box.

当社では、この AISE No. 1-A 規格に従った電動機の形名を 次のようにまとめている。

ME形

全閉自冷形三相誘導電動機

MA形

開放保護形三相誘導電動機

MA-FV 形 開放他力通風形三相誘導電動機

図 5.1 に ME 形電動機の外観写真を示す。図 5.2 は ME 形の 構造断面図であり、図 5.3 は端子箱構造図である。以下このモートルの特長を示す。

5.1 形式の変更が簡単

3.9 節で述べているような形式変更が可能である.

5.2 屋外形構造

全閉形で使用するときは、屋外形構造になるように設計した。 屋外形の指定は、AISE 規格には規定されていないが、クレーン用 という用途から考えてとくに採用したものである。

5.3 固定子および回転子

フレームおよび ブラケット は鋳鉄製であるが、一般電動機に比べ肉 厚を厚くし、また、補強 リブを入れるなどの機械的強度を十分とった設計を取り入れている。なお、フレームのつり耳は鋳鉄製であるので、安全率の点で、形状、寸法上、とくに余裕のあるものにしている。また、回転子部は 200% の過速度にも十分耐え うるよう考慮を払っている。

5.4 取付寸法および内部構造

フレーム 取付足の中心は電動機の全長 (C 寸法) の 1/2 になって いるので据え付けに便利であり、また、端子箱の方向に関する問題が不要になる。

内部構造は図5.2の断面図でもわかるように、鉄心の中心はフレームの中心より負荷側にずれている。これは電動機の中心が、電動機全長の中心になるように、集電環の反対側に鉄心をずらしたためである。

5.5 軸端寸法

負荷側と集電環側の軸端寸法がまったく同一であるので、負荷 をどちらの軸端に直結しても支障がない。

5.6 ベアリング

79番 AC4 までは玉軸受の指定であり、そのうち、AC1 および AC2 は 62 形、AC4 は 63 形になっている。また AC8 以上は NJ 形の コロ 軸受の指定であり、そのうち AC8 より AC30までは 200 番形、そして AC40 と AC50 は 300 番形になっている。なお、玉軸受またはコロ 軸受は機能上左右同一 サイズになっている。

5.7 集電環部

集電環部は規定に定められた二次電圧,二次電流に対してはも ちろんのこと、プラッキング または回生制動時の二次電圧上昇に対 しても十分な絶縁耐力を有している.

カーボンブラシ の 寸法は AISE 規格に規定されていないが、参考 のためにあげれば表 5.1 のようなものである.

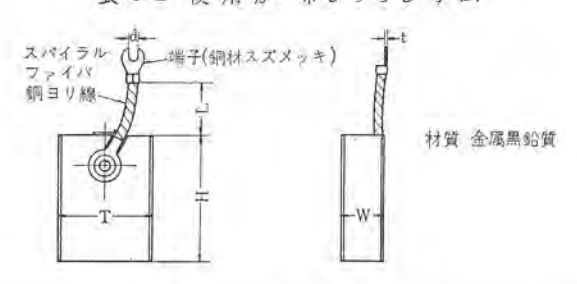
5.8 端子箱

端子篇は図5.3 に示すように鋼板製であり、防水構造になっている。またリード引込口の電動機中心からと、据付面からの相対位置が規定してあるので、電線管の配管などに非常に好都合である。

5.9 内部ファン

内部 ファンは、自己通風形に形式変更された場合は、冷却 ファンともなることができ、また全閉自冷形の場合は内部空気を カクハン

表 5.1 使 用 カーボンブラシ 寸 法



July 200	ブラシ寸法			接続ヒモ			端子		ブラシ	
プラシ種類	T	W	H	L	素線数/ 素線径	本数	d	t	の使用回数	
AC1~4用	20	10	40	80	7/100/0.08	1	0.8	6	2	
AC8~18用	40	20	60	100	19/94/0.10	1	1	7	2	
AC25 30用	50	25	60	100	19/67/0.10	2	1	7	2	
AC40 50用	50	25	60	100	19/67/0.10	2	1	7	4	

して温度分布を均一化させるのに役立つものである。

5.10 電気的特性および絶縁

停動 トルク が 325% から 425% までという狭い範囲に規定されていると同時に、二次電圧の規制もあるので、結線、巻線方法 および一次、二次の適当な巻数比の選択など設計上に考慮を払った。

また、絶縁は完全 B 種絶縁を採用し、コイル は固定子、回転子 ともに ポリエステル 電線を使用し、特殊熱硬化性 ワニス 処理をして 耐熱性、耐湿性の向上を計っている.

6. 試験結果

今回製作した電動機は 7.5 kW, 45 kW, 67 kW, 95 kW の 4 機種であった。その試験結果をまとめると, 特性値は表 6.1, 温度試験の値は表 6.2, また各形式による温度上昇の傾向は図 6.1 のようである。

この f-g からわかるように停動 h1D は規格値のほぼ平均値 におさまり、規格で指定している 325% を十分保証し 5 るものである。また二次電圧についても規定値の $\pm 10\%$ 以内におさまっ

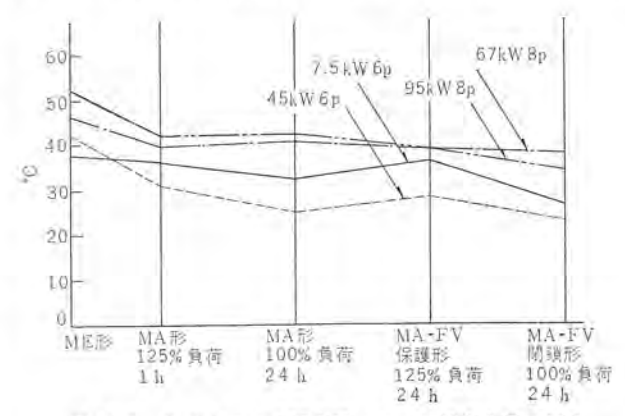


図 6.1 各形式による固定子 コイル の温度上昇の傾向 Fig. 6.1 Trend of temperature rise with stator coils of various types.

表 6.1 特性の一例

m :+		es no	周波数	全	負荷	特	性	無負荷	停動	二次
(kW)	極數	(V)		電 流 (A)	効率 (%)	力率(%)	スペリ (%)	電 流 (A)	トルク (%)	電圧 (V)
7.5	6	440.	60	15.4	89.8	71.4	3,0	9.6	360	191
45	6	440	60	81.8	93.1	77.5	2.1	43,1	340	310
67	8	440	60	116.1	93.7	80.7	2.5	54,8	330	256
95	8	440	60	160.8	93.8	82.6	2.1	73	345	295

			F. 7. F.	100		E	到- 進	度	(°C)	
形 式	出力	極数	負荷電流	時間後	固	世 子	[0]	伝 子	帕	受
	(kW)		(A)		コイル	ワ ク	211	スリップリング	負荷側	反負 荷 個
ME形 (全閉形)	7.5		15.7	1	375	26	36	24.5	16	20
MA形 (保護形)	9.4		19.7	T.	37	25	35.5	21	11	16
" (")	7.5	6	15.7	4	32,5	22.5	31.5	19	17	10,5
MA-FV形(*)	9.4		19.7	5	36	25	39.5	20	9.5	17
MA-FV形 (閉鎖形)	7,5		15.7	5	27.5	20	28.5	17.0	8	14
ME形 (全閉形)	45		82	1	42	29.5	46.5	32	24	22
MA形 (保護形)	56		96	1	31.5	26.5	53	25.5	21.5	14.5
. (.)	45	6	82	5	24.5	14.5	39	17	15	9.5
MA-FV形(*)	56		96	5	29.5	16.5	44	16	15	8.5
MA-FV形(閉鎖形)	45		82	5	24.5	14.5	39	17	15	9.5
ME形 (全閉形)	67		114	1	46,5	29	47.5	35	22	25
MA形 (保護形)	84		142.5	1	41	22.5	46.5	17	12.5	8.5
. (. ,)	67	8	114	5	42.5	28	51.5	21	12.0	20
MA-FV形(")	84		142.5	5	39.0	21	54.5	17.5	7	14
MA-FV形 (閉鎖形)	67		114	5	29.5	16,5	38	15.5	7.5	12.5
ME形 (全閉形)	95		164	1	52	28	69.5	38	18.5	19.0
MA形 (保護形)	119		193	1	41.5	17	57,5	23	13.5	6.5
* (*)	95	8	164	5	41.5	18	59	30.5	16.5	7_0
MA-FV形(*)	119		193	5	39.0	21	60	24.5	13.0	5.0
MA-FV形 (閉鎖形)	95		164	5	36.5	19.5	52.5	19.5	13.5	6.0

ている.

温度上昇値は規定値よりかなり低いので、過負荷的な余裕を十分もっている.

加速度試験は規定値の 0.7 秒を下まわる 0.6 秒以内の良好な結果を得ている.

7. 今後の問題点

- (1) AISE 規格では 440 V, 60 c/s の仕様で特性値が決められているので、もしわが国で採用するならば 50 c/s の場合についても当然考慮する必要が生じてくる。この場合には適当な関係機関や使用者側および メーカ などにより協議して決めるべきであり、今後種々の問題を含んでいるものである。
- (2) クレーン 用という性格上、全閉自冷形では屋外にも使用される ケース が多いので、屋外あるいは防水形についてもあわせて

考慮すべきではないかと思う.

8. む す び

今回、当社で顧客のご要望に従い AISE 規格に準拠した クレーン 用電動機を製作する機会を得たのであるが、この電動機は、以上述べたように、従来の JEM 規格 クレーン 用電動機に比べているいろな特色を有している。したがって、これがわが国の クレーン 用電動機の標準形式として全面的に採用されるべきかについては使用者側、メーカ、その他関係部門の間で慎重な検討を必要とするものと思う。

また、この AISE No. 1-A 規格は クレーン 用電動機として特色ある規格であるが、発令されて日も浅く、比較的わが国にもなじみが少ないので、この規格に準拠した電動機を製作した機会に内容をご紹介し、関係方々のご参考に供したいと思うのである.

EBA形電磁ブレーキ

三 富 孜*

Type EBA Electromagnetic Brakes

Nagoya Works Tsutomu MITOMI

Electromagnetic brakes are jointly used with electromagnetic clutches for many kinds of machines to play vital part in their automatic operation and improvement of efficiency, Because of their quick operation and capability of remote control through electric switches. The recent progress in the technological field demands high speed and highly efficient operation of machines, which spurs the tendency of asking for electromagnetic brakes of much higher performance. Type EBA brakes are electromagnetic units of DC, dry type, single disk and magnetic actuation built for meeting the above requirements. They are possessed of a number of excellent features, of which quick response, endurance for highly frequent operations and free from adjustment for wear stand out. This article describes the construction, performance and talking points of the type EBA electromagnetic brake.

1. まえがき

電磁 ブレーキ は電気的 スイッチ 一つで簡単にしかも迅速に動作し、また遠隔操作ができるなどのために、電磁 クラッチ と併用し、工作機械や各種産業機械に多数採用され、その自動化、能率化に大きな役割を果している。さらに最近は切削工具の進歩、生産技術の向上および制御技術の飛躍的進歩とあいまって、機械はますます高速化、高能率化の傾向にある。

これらの高速化,高能率化が進むにつれて,機械の急速停止, 寸動などの動作を正確に行ない。しかも高ひん度,高 rauf の使 用に耐え,かつ保守,調整が容易な電磁 ブレーキの要求がしだいに 多くなってきている.

EBA 形はこれらの目的を達成するために製作された直流, 乾式, 単板形の電磁 ブレーキで, 応答速度が早い, 高ひん度に耐える, 摩耗調整が不要であるなどのほかに幾多のすぐれた特長を有している.

当社では従来から湿式電磁 カルーキ として HB 形,モートルと カップル するものとして乾式の AD 形,DD 形を製作しているが,AD 形,DD 形が スプリング 制動式の安全 ブルーキ であるのに対して、EBA 形は HB 形と同じく、電流を入れることにより ブルーキ が働く励磁制動式の ブルーキ である.

今回 EBA 形電磁 ブレーキ の系列化が完成したのでその構造, 性能, 特長などについて概要を紹介する. 図 1.1 は EBA-10 形 電磁 ブレーキ の外観を示す。



図 1.1 EBA-10 形 電 磁 ラレー ‡ Fig. 1.1 Type EBA-10 magnetic brake.

2. 形 式

電磁 ブレーキ を構造的に分類すると次のようになる.



今日見られる電磁 ブレーキ のほとんどは摩擦式であり、これを 制動方式により分類すると

一励磁制動式

一スプリング 制動式

3. 構造と動作

3.1 構造

EBA 形電磁 ブレーキ は図 3.1 に示すように、従来の ブレーキ に 比べて非常に簡単な構造である。すなわち励磁 コイル を内蔵した マグネット、マグネット に固定された ブレーキ 板、ブレーキ 板と摩擦して 制動作用を行なう アマチェア、アマチェア を軸方向に摺動させ トルク を 伝達する スプラインハブ、アマチェア を解放し、かつ ギャップ を一定に

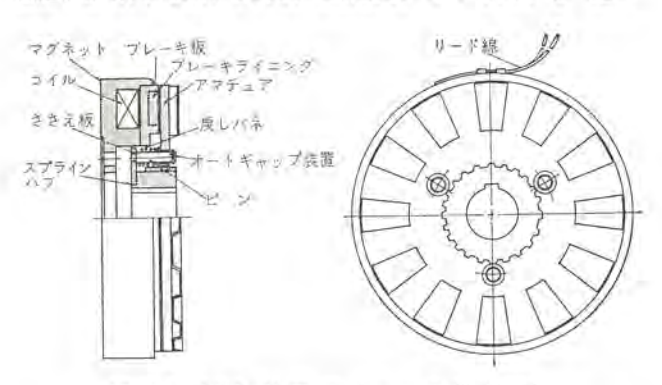


図 3.1 EBA 形電磁 ブレーキ 構造 図 Fig. 3.1 Constructional diagram of type EBA magnetic brake.

保つ オートギャップ 装置により構成されている。 以下各部の機能について述べる。

(1) ブレーキ 板は マグネット に ネジ により固定されており、ブレーキ 板には耐熱限度が高く、摩耗の少ない ブレーキライニック が埋めこまれている。

この ブレーキ 板は磁路の一部を形成するとともに制動面になっている。すなわち アマチュア と金属同志の摩擦になることを考慮し、磁気的にも、機械的にも十分吟味した材料を使用している。したがって金属部分の異常摩耗、焼付などの異常現象はまったく見られず、磁気特性も良好である。

また長期間の使用あるいは高ひん度。高 エネルギ の使用により プレーキ 板が摩耗した場合には、プレーキ 板を簡単に取はずし交換で きるよう考慮されている。

(2) アマチュア は スプライシハブ にかみ合い トルク を伝達するとと るに スプライン を ガイド として軸方向に摺動する.

このように トルクの伝達は スプライン 駆動方式であるため,動作が確実かつ正確でまた動作時および回転中の異常音はまったく発生しない。この点ピン駆動方式に比べて優位な点である。

また アマチュア には波形の放熱板が取り付けられており、制動によって発生する熱をすみやかに放熱するように考慮されている。 したがって放熱効果がきわめてよく、高ひん度、高エネルギに耐えこの種の単板式が多板式に比べてすぐれている点の一つである。

- (3) 励磁 コイル は スペースファクタ および 作業性を 考慮し仮 ワク で成形した後 マグネット に入れ、絶縁と マ グネット への固着の目的で エポキシレジン を注入し固着し ている。
- (4) この プレーキ には ギャップ を一定に保つ オート ギャップ 装置があるが、これは一般に電磁石の吸引力は ギャップ が小さいほど大きく、ギャップ が大きくなるにし たがい小さくなる傾向を示すが、この ブレーキ のように 平板形電磁石の場合にはとくにその傾向が著しい。こ のため ブレーキ 板が摩耗し、ギャップ が大きくなりある 値以上になると ブレーキ がかからなくなる。 したがっ て ブレーキ 板が摩耗しても、常に一定のギャップを保つ 必要がある。

オードギャップ 装置はこの目的を果するので円周上等間隔に取り付けられた 3 本の ピン に特殊な スライドリング がはめこまれており、ブレーキ 板の摩耗した分だけ前方に進み、たえず一定の ギャップ を保つ機構になってい

- る. したがって ギャップ が常に一定に保てるので、動作時間の パラッキ を小さくすることができ、また従来の スプリング 制動式に見られるような摩託調整はまったく不要である.
- (5) 乾式 ブレーキ においてはしばしば制動時の異常者(鳴き)を発生することがあるが、この ブレーキ は ライニッグ の材質、および機構的に十分検討し設計されているので、その心配はまったくない。

3.2 動作

励磁 コイル に直流 24 V を通電すると、スプラインハブ とともに回転している pq チュア は ブレーキ 板に吸引され、摩擦 h μ p を発生し負荷の急停止が行なわれる

電流を切ると ピッ に取り付けられた戻し パネ により アマチュア は すみやかにもとの位置に戻り、トルク は消滅し ブレーキ は解放され

4. 仕 様

仕様一覧表を表 4.1 に示す. (図 4.1 参照)

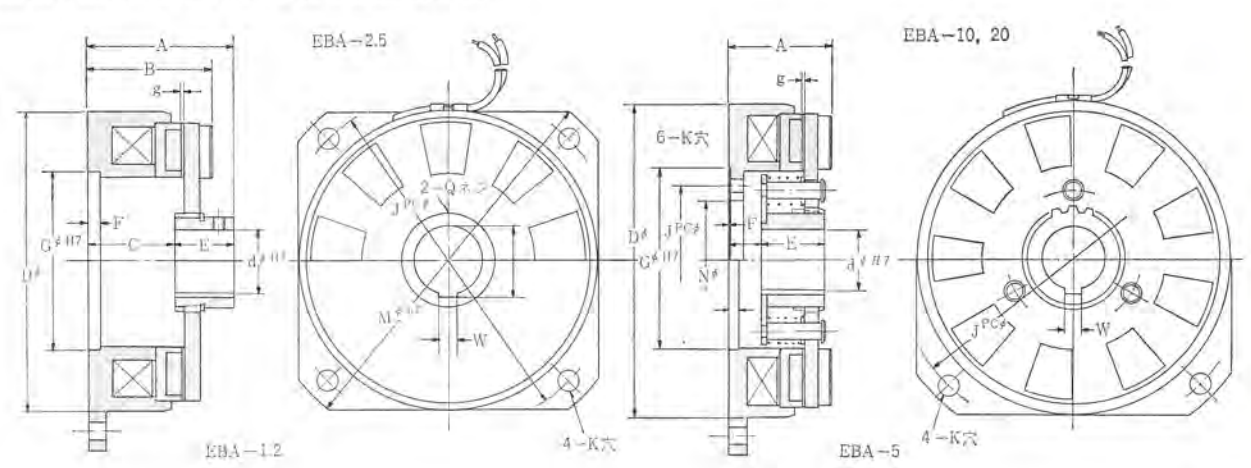
トルク のとび幅は、湿式電磁 クラッチ の JIS-B-1403 (1965) に 準じている。

定格 トルク は動摩擦 トルク が乾式単板の場合あとに述べるよう

表 4.1 EBA 形 電 磁 ブレーキ 仕 様

電圧 DC 24 V (単位 mm)

形	名	EBA-1,2	EBA-2.5	EBA-5	EBA-10	EBA-20
静摩擦上	ルク (kg-m)	1.2	2.5	5	10	20
入	カ (W)	13	15	23	30	40
T	圧 (DCV)	24	24	24	24	24
	dø	15	20	30	35	40
	Dφ	96	120	152	190	220
id	A	54	56	46.8	56	65
44	В	38,8	44.8		-	-
	C	29	31	15.6	20.8	23.6
形	E	25	25	30	30	40
	F	4	4	4	2	2
	G	50	72	88	108	120
寸	g	8.0	0.8	8,0	1.0	1.0
	J	115	138	172	85	100
i Ge	K	6.6	6.6	9	9	10.5
法	M	130	1.54	192	-	
	N			-	66	80
	Q	6	6		_	-
1.	T	17.5	22.5	33,5	39	44
+-	W	5	5	7	10	10
回版和	$GD^2(kg-m^2)$	0,0012	0.0026	0,0098	0.023	0.067
全 耳	量 (kg)	1,5	2.4	4.2	7.0	12.5



EBA 形電磁 プレーキ・三富



(左から EBA-1.2, -2.5, -5, -10, -20 形) 図 4.1 EBA 形 電 磁 ブレー ‡ Fig. 4.1 Type EBA magnetic brake.

に回転数により変化するため、静摩擦 トルク で表示している.

5. 性 能

乾式電磁 ブレーキ の性能としては、応答の早いこと、トルクの制 御性のよいことなどがあるが、使用に際してはこれらの性能をよ く知る必要がある。

EBA 形電磁 ブレーキの諸性能について、湿式の場合と比較しながら説明する.

5.1 摩擦トルク

図 5.1 は制動時の キシロの 一例であるが、電流の増加状況、摩擦 トルク の立上り状況、回転数の減少状況などを明示している.

スイッチを入れると、電流は コイル の抵抗分と インダクタンス によって定まる時定数にしたがって増加する。摩擦 トルク は磁気的、機械的要因のためにやや遅れて発生し、電流の増加とともに急激に立上り、一定値となって制動を完了する。

この電流を入れてから摩擦 トルク が発生するまでの時間を アマチュア 吸引時間と呼んでいる.

図52に湿式多板式の電磁 ブレーキ (図5.3 参照) HB-5 形と EBA-5 形との トルク 特性の比較を示すが、摩擦 トルク の立上り は湿式 ブレーキ では潤滑油の介在のために、 比較的なめらかに増加するのに対して、 乾式の場合はきわめて急速に増加し、 応答を 早める一因となっている.



図 5.1 摩擦トルク特性オシロ Fig. 5.1 Friction-torque characteristic oscillogram.

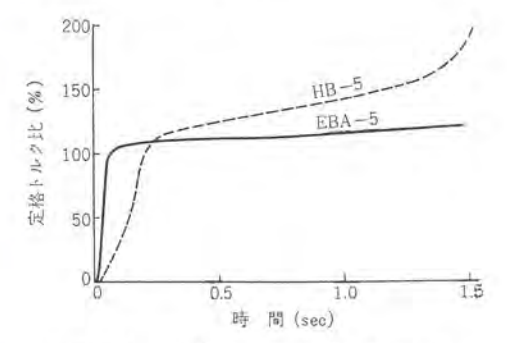


図 5.2 摩擦トルク特性の比較 Fig. 5.2 Comparison of friction torque of type EBA-5 and type HB-5 brake.

また湿式では負荷が停止に近づくと トルク が増大するが、乾式ではだいたい同じ値となっている。これは湿式と乾式では潤滑油の影響により摩擦の メカニズム が異なるためである。

励磁制動式の ブレーキ では、スプリング 制動式 ブレーキ が機械的に トルク を調整するのに対して、電圧調整により電気的に制御できる特長がある.

図5.4 に、静摩擦 トルク一電圧特性を示すが、トルク は電圧の増加に伴って定格電圧付近までは、ほぼ直線的に変化し、しだいに飽和する。この特性を利用し制動時間を任意に調整することができる。

ただし電圧が定格電圧より低くなるにしたがって アマチュア 吸引 時間が長くなるので注意を要する.

また動摩擦 トルク は制動時間を算出するうえに最も重要であるが、乾式単板形の特質として ライニング 摩擦面のすべり速度により変化する.

図 5.5 に各機種の動摩擦 トルクー回転数特性を示すが、動摩擦 トルク は回転数の増加とともに低下する傾向を有している.

この動摩擦 トルク 特性は ブレーキ 選定の際十分考慮しなければ



EBA-2.5 HB-2.5 図 5.3 EBA 形 と HB 形 の 比 較

図 5.3 EBA形とHB形の比較 Fig. 5.3 Comparison between type EBA and type HB.

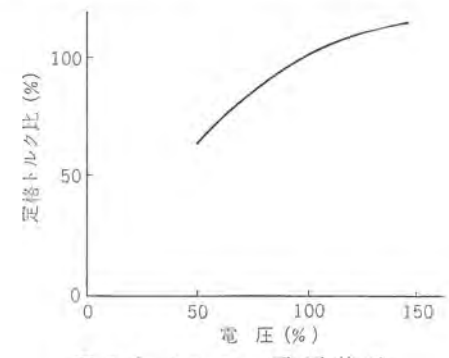


図 5.4 トルクー 電圧 特性 Fig. 5.4 Torque-voltage characteristic.

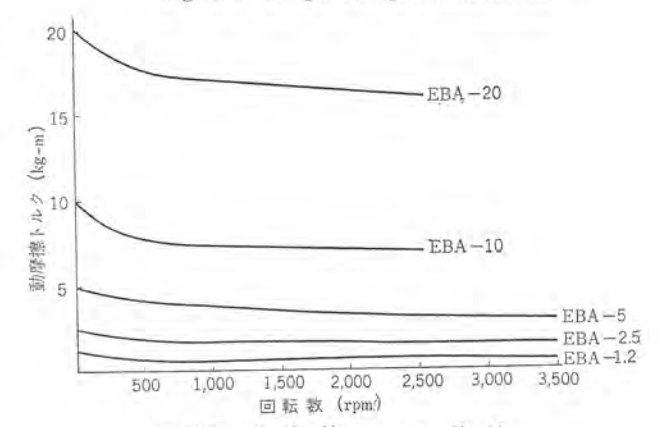


図 5.5 動 摩 擦 トルク 特 性 Fig. 5.5 Dynamic friction torque characteristics.

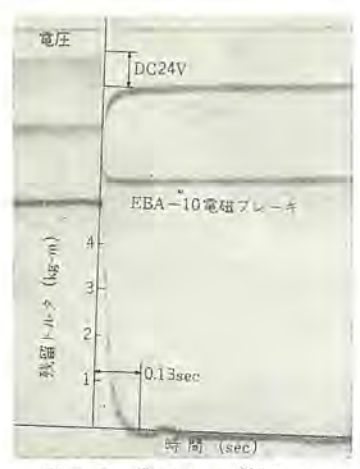


図 5.6 残留 トルク 特性 ポンロ Fig. 5.6 Residual torque characteristic oscillogram.

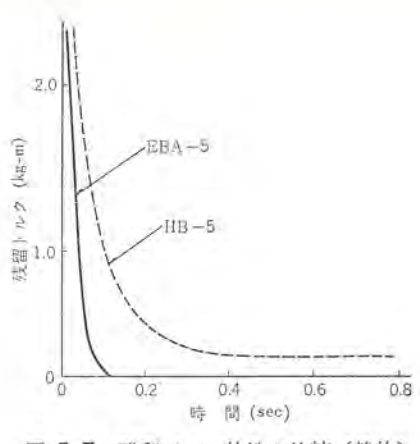


図 5.7 残留 huo 特性の比較 (静的) Fig. 5.7 Comparison of residual torque characteristics.

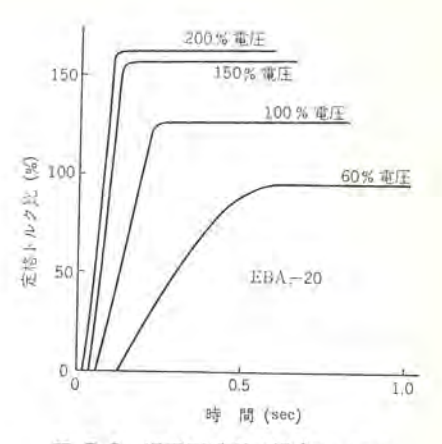


図 5.8 過電圧励磁の場合の トルク 立上り状況 Fig. 5.8 Build-up torque for applying overvoltage.

ならいな事項である.

5.2 残留トルク

電流を切ってから トルク が消滅するまでの過渡的 トルク を, 残留 トルク と呼んでいるが, これは ブレーキ の "切れ"に影響するもので,電磁 クラッチ と併用する場合などに問題になり電流 off 後, すみやかに消滅することが望ましい。一般に乾式の場合にはこの値は湿式に比べて小さいが, この種の摩擦面が磁路の一部となるブレーキ では残留磁気などのために残留 トルク が大きくなりやすい. EBA 形 ブレーキ では磁気的, 構造的に十分考慮し設計されているため図 5.6 の 杉口 に示すように,電流 off 後 トルク はきわめて急激に減衰し消滅している.

電流を切ってから トルク の消滅するまでの時間を トルク 消滅時間と呼び、残留 トルク 比較の目安としている。

図5.7 に HB 形との残留 トルク 特性の比較を示す. 湿式に比べてきわめて小さく, ブレーキの"切れ"がいかによいかがわかる。また、湿式の場合に見られる空転 トルク はまったくなく、したがって空転中の発熱もなく乾式 ブレーキ の特長の一つとなっている

5.3 動作特性

電磁 ブレーキの動作特性としては 5.1 節で述べた アマチュア 吸引時間,電流を入れてから トルク が定格 トルク の 80% になるまでの トルク 立上り時間,5.2 節で述べた トルク 消滅時間が重要である。

トルク 立上り時間は制動時間算定の目安となりまた負荷が小さく,トルク立上り完了前に制動が完了する場合の平均トルク算出に必要である.

一般に乾式 ブレーキ では各動作時間はきわめて早く,したがって早い応答を要求される制御系にはこの種の乾式 ブレーキ が使用される.

表 5.1 に各機種別に一定の試験条件のもとに測定した結果を示す。このように各値は非常に小さく、一般の使用の場合には問題ないがとくに高精度を要求される定位置停止、位置決めなどの用途に対してはアマチュア吸引時間、トルク立上り時間をさらに早くし制動時間を短くしその変動を小さくすることもできる。

この方法としては コイル に直列抵抗あるいは ランプを入れ、コイル の時定数を小さくし、電流の立上りを早くする方法、コンデンサをそう入する方法、過電圧励磁の方法などがあるが、過電圧励磁の一例を示す。

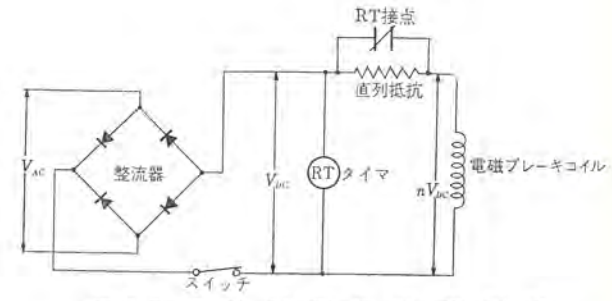


図 5.9 瞬 時 過 電 圧 励 磁 回 路 Fig. 5.9 Circuit for applying momentary overvoltage.

表 5.1 励作時間基準值

形名	静摩班トルタ (kg-m)	アマチェア 吸 引時間 (sec)	トルク立上り 時間 (sec)	トルク消滅時間 (sec)
EBA- 1.2	1.2	0,02	0,04	0.05
- 2,5	2.5	0.03	0.07	0.08
- 5	5	0.04	0.09	0.13
-10	10:	0.04	0.13	0.13
-20	20	0.06	0.17	0.15

表 5.2 過電圧励磁の場合の動作時間

動作時間 電 圧	アマチュア吸引時間 (sec)	トルク立上り時間 (sec)
60 %	0.13	0.46
100 %	0.06	0,17
150 %	0,04	0.10
200 %	0.015	0.08

図 5.8 は EBA-20 形の電圧を パラメータ とした トルク 立上り状況, 表 5.2 はその動作時間を示したものであるが 200% 電圧ではきわめて小さな値となっている.

図 5.9 はその回路図を示す.

5.4 寿 命

EBA 形電磁 ブレーキ は多くの機種について寿命試験を実施しているが、EBA-1、2 形の例を示す。

試験条件: 負荷 GD²=0.2 kg-m²

回転数=1,800 rpm

停止ひん度=180 回/h

上記条件において 50 万回の寿命試験を完了したが、金属同志 の摩擦面も正常に摩耗しており、異常は認められなかった。この ラレーキ は乾式状態で制動するため、湿式に比較して ライニッグの摩 耗はさけられないが、摩耗は負荷の制動 エネルギ すなわち 負荷の GD²、回転数の関数でありこれらの値が小さい場合には 100 万回 以上の寿命が期待できる.

6. 特 長

(1) 小形, 軽量である.

従来の交流電磁 ブレーキ に比べて、構造が簡単であり、きわめて小形である。

(2) 応答速度が早い.

トルク の立上りが早いので、応答速度を早くすることができる.

(3) 空転 トルク がまったくなく, 残留 トルク が小さい.

乾式, 単板形であるから, 空転 トルク はまったくなく, 残留トルク もきわめて小さい.

(4) 摩耗調整が不要である。

ライニッグ が摩耗しても常に一定の ギャップ を保つ オートギャップ 装置付であるから、摩耗調整の必要がない。

(5) トルク 調整可能

励磁 コイル に直列抵抗を入れ励磁電流を変えることにより、制 動 トルク を調整できる。

(6) 有効な放熱性

制動によって発生する熱をすみやかに外部に放散するよう考慮 されているから、放熱効果がよく、高ひん度の使用に耐え、負荷 が小さい場合には 20 回/min のひん度に耐える.

(7) 動作が確実かつ静粛である.

トルク の伝達は スプライン 駆動方式であるから、動作が確実であり、また動作時および回転中の異常音はまったくなく、静かな運転ができる。

(8) ライニッグ の交換可能

長期間の使用により ブレーキ 板が摩耗した場合には、ライニッグ 部分を交換することにより、ブレーキを簡単に更新することができる.

(9) 潤滑の必要がなく簡単に使用できる.

7. ブレーキモートルへの応用

EBA 形電磁 ブレーキ は前述のように、多くのすぐれた性能、特長を有しているため、単独で機械に装置されるほかに、モートル に取り付けて ブレーキモートル としても利用できる。とくに工作機用などのように高ひん度を要求される用途に対しては最適であり、ブレーキモートルとしても各方面に多数採用され、大きな成果をあげている。

EBA 形電磁 ブレーキ を当社 SB-A 形 モートル に取り付けた外観を図 7.1 に、カバー をはずしたところを図 7.2 に示す。またその構造図および AD 形(交流電磁 ブレーキ)との外形比較を図 7.3 に示すが、軸方向長さが AD 形に比べてきわめて小さく、コンパクト な形になっている。

EBA 形, AD 形 ブレーキモートル を構造, 性能などの点での比較を表 7.1 に示す. このほかにも EBA 形は AD 形のように リック機構が簡単であるために, 故障の可能性も少なく, 取り扱いが簡単であるなどの特長もある.

8. む す び

以上今回完成した EBA 形電磁 ブレーキ の概要について紹介し



図 7.1 EBA 形 プレーキ 付モートル外観(カバー 付) Fig. 7.1 External view of brake motor attached with type EBA magnetic brake (with cover).



図 7.2 EBA 形 ブレーキ 付 モートル外観(カバー なし) Fig. 7.2 External view of brake motor attached with type EBA magnetic brake (without cover).

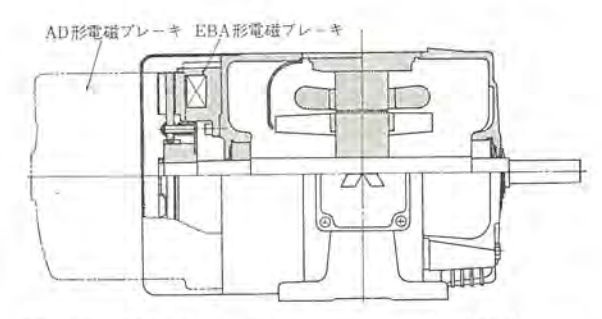


図 7.3 EBA 形 ブレーキ 付 モートル 構造図および外形比較 Fig. 7.3 Constructional diagram of brake motor attached with type EBA magnetic brake and comparison of outlines.

表 7.1 EBA 形, AD 形 ブレーキモートル の比較

	EBA 形	AD 形
電 源	直 流 24 V	交 流 220 V, 50/60 c/s
削躺形式	励磁制動式 (安全ブレーキとならない)	スプリング制動式 (安全プレーキとなる)
帕方向寸法	きわめて小さい (ブレーキ部ADブレーキの約1/2)	大きい
外 径	モートル外径とだいたい同じ	小さい
トルク調整	電圧制御によりトルク調整が できる	スプリングを調整する
側動エネルギ	高ひん度、高エネルギ用	一般用
摩 耗 調 整	不 要	奖
手 動 解 放	電 気 的	機能的

たが、多くのすぐれた性能、特長を有しているので、各種用途に利用できる。たとえば旋盤軸の急停止用、フライス盤 テーブル 送りの位置決め用、ナライ 装置用 コンペヤ の定位置停止用などその応用範囲はきわめて広いが、EBA 形電磁 ブレーキ の性能、特長を活かして使用し、その機能を十分発揮することにより日進月歩する各種機械の合理化、および生産性の向上に大いに寄与するものと信する。

なお,今回は EBA 形電磁 ブレーキ の概略的な紹介に止まったが,ブレーキの選定,応用例については別の機会に述べたい.

ED75 形交流機関車用 SCR 制御装置

三 橋 英 一*

SCR Control Equipment for Type ED75 AC Electric Locomotives

Itami Works Eiichi MITSUHASHI

SCR control equipment to be used for AC locomotives type ED75 to run on the Japanese National Railways has been brought to completion by Mitsubishi. This equipment, possessed of performance to perform arcless tap changing and continuous phase control of the traction motor circuit with the maximum load current, 4,200 A and tap voltage, 96V, is aimed at replacing the Magamp now in use. It has advantages of lightweight in comparison with the Magamp, less impedance drop of the main circuit and better adhesion characteristic than the predecessor. Numerous tests conducted by the Japanese National Railways Research Laboratory have proved in success and furnished a number of valuable pieces of information for the SCR control of AC locomotives in future.

1. まえがき

国鉄の東北方面に多数投入されている最新形式の ED75 形交流 機関車では、磁気増幅器を用い低圧側無電弧 タッラ 切換および タッラ 間の連続制御を行なう方式が採用されているが、今回この磁 気増幅器を大容量の SCR に置き換えることが行なわれた.

SCR 装置は磁気増幅器装置に比べて軽くなり、主回路の インピ

表 1.1 主 要 要 目

用途	客 货 両 用
聞 気 方 式	随相交流 20kV 50c/s
機関車方式	シリコン整流器式
進転整備重量	67.2t
94 NG 186	Bo-Bo
機関車形状	箱形両型転台
機関車寸法	
提き×幅×高さ	13,500×2,800×3,600 mm
パンタ折りたたみ高さ	4,270 mm
台車中心問距離	7,600 mm
連結面問長さ	14,300 mm
機関単性能	
1 時間定格出力	1,900 kW
1 時間定格引張力	14.1 t
1 時間定格速度	49.1 km/h
最高速度	100km/h
台車	DT 129 A および B形
固定帕距離	2,500 mm
動輪低	1,120 mm
動力伝递方式	1 段偕卓被速, つりかけ式, 野性偏車使用
湖 車 比	16:71=1:4.44
モジュール	12
主 電 動 機	MT52 形 4 櫛 丸形 他力通風形
1時間定格	475 kW, 900 V, 570 A (原流)
主要圧器	TMII 形 外鉄形 送油風冷式
	フォームフィット 低圧タップ式
連続定格	2,330 (冬期 2,710) kVA/2,200 kVA/130 kVA/
	380kVA 20kV/1,248 V/384 V/1,470 V
主磁気増幅器	MA1 形 日 種乾式風冷式 M コア使用
迎 統 定 格	196kVA, 96V 2,040A (×2台)
シリコン整流器	RSI1 形 単相ブリッジ結線および磁気増幅器帰還用
連 続 定 格	1,836 kW, 900 V 2,040 A.
低圧タップ切換器	LTC1 形 電動カム軸 空気式
連線定格	2,040 A, 回路電圧 AC 1,250 V
制 復 方 式	電連総括制御付, 低圧タップ無電弧連続制御 界磁制御
プレーキ方式	EL14AS 空気ブレーキ 手ブレーキ
祈楼方式	変換方式
	入力侧 単相 50 c/s 400 V
	出力側 三相 50 c/s 400 V
列車服房方式	電気式

ーダンスドロップ も少なくなって電圧変動率が改善され、再粘着特性が向上するなどの利点が考えられており、SCR 開発の急速な進展により実用化の可能性が著しく具体化してきたので、今回 ED 75 形機関車にこの装置を仮設とう載して、車両用として本格的に試験試用されることになったものである。

試験車の性格上、SCR 装置は磁気増幅器用の制御方式と併設し、刃形 スイッチ を切り換えれば、ただちに従来どおりの磁気増幅器で運転できるように考慮してある。 もちろん SCR 装置を使用する場合の運転扱いは、従来となんら変わるところはない。

この SCR 装置は定格 タップ 間電圧 96 V, 短時間負荷電流 4,200 A の主電動機回路を連続位相制御しうる能力を有しており、SCR は 1S20P の並列接続で任意の位相で同時点弧が可能である。また各素子の電流 パランス は、パランサ の効果によりきわめて良好な状態に保たれている。

タップ 切換装置は、磁気増幅器の場合は交互進段方式を採用しているが、SCR 装置では SCR 数を少なくするために尺とり進段方式に切り換えるようにしてある。

SCR 多数個並列制御の採用にさきだち、各種の工場試験を行なって貴重な データ を得るとともに、尺とり式 タップ 切換の場合の転流電流についても、いろいろ回路解析と測定を行なったので

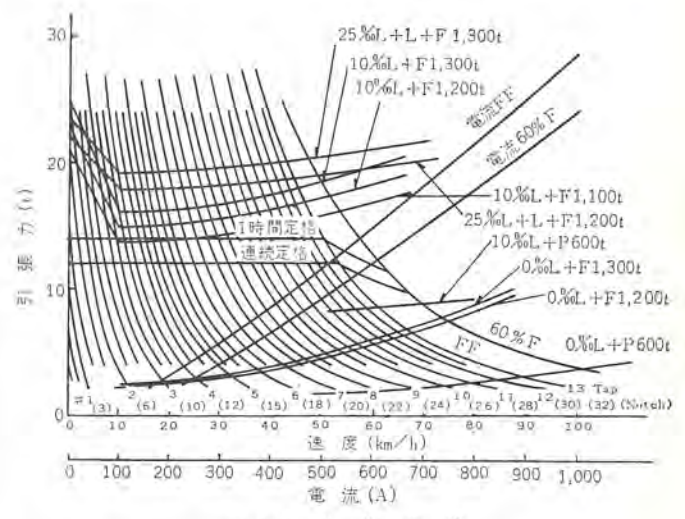


図 1.1 性能曲線 Fig. 1.1 Performance curves.

ED75 形機関車に用いた無電弧 タップ 切換ならびに ノッチレス 制御 の方法と主要機器の説明に加えて、これらの概要を報告しご参考 に供したいと思う.

なお, ED75 形交流機関車の主要要目を表 1.1 に, 性能曲線を 図 1.1 に示す.

2. 無電弧タップ切換とノッチレス制御

2.1 主回路

図 2.1 は主回路構成図で、図 2.2 は主 SCR を制御したときの電圧・電流の特性である。整流器 R_f が S_n タップに接続され、主 SCR がそれより一つ高い S_n+1 タップに接続されており、主 SCR には f-h 信号を与えず不導通の状態にあるものとする。

この状態では図 2.2 の点弧角 0 の点で見るように、負荷には S_n g_n 電圧に相当する直流電圧が加わり、負荷電流は下側 g_n

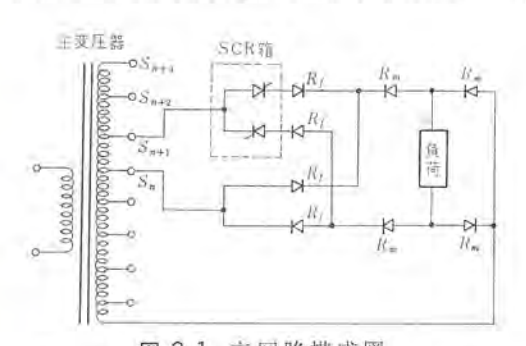


図 2.1 主回路構成図 Fig. 2.1 Block diagram of the main circuit.

うの整流器側から供給されている.

次に主 SCR の点弧角を順次大きくすると、それに応じて主 SCR からも電流が流れはじめ順次大きくなる。この動作特性は 負荷電流を一定としたときの特性を示しているので、下側 90 のほうは、上側 90 の主 SCR の電流が増加するに従って減少してゆく。また、負荷電圧のほうは、主 SCR の制御位相角が増すに従い次第に増加し、最後には 90 の電圧に相当する直流電圧が加わる。

その後 タップ 切換器により、下側 タップ の整流器を一つ上の主

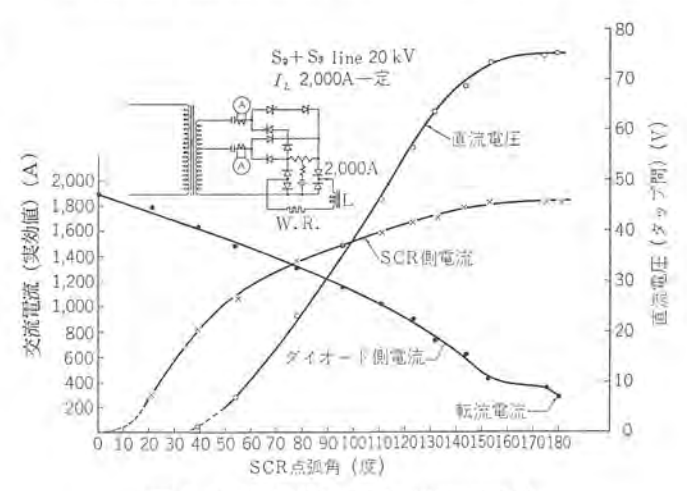
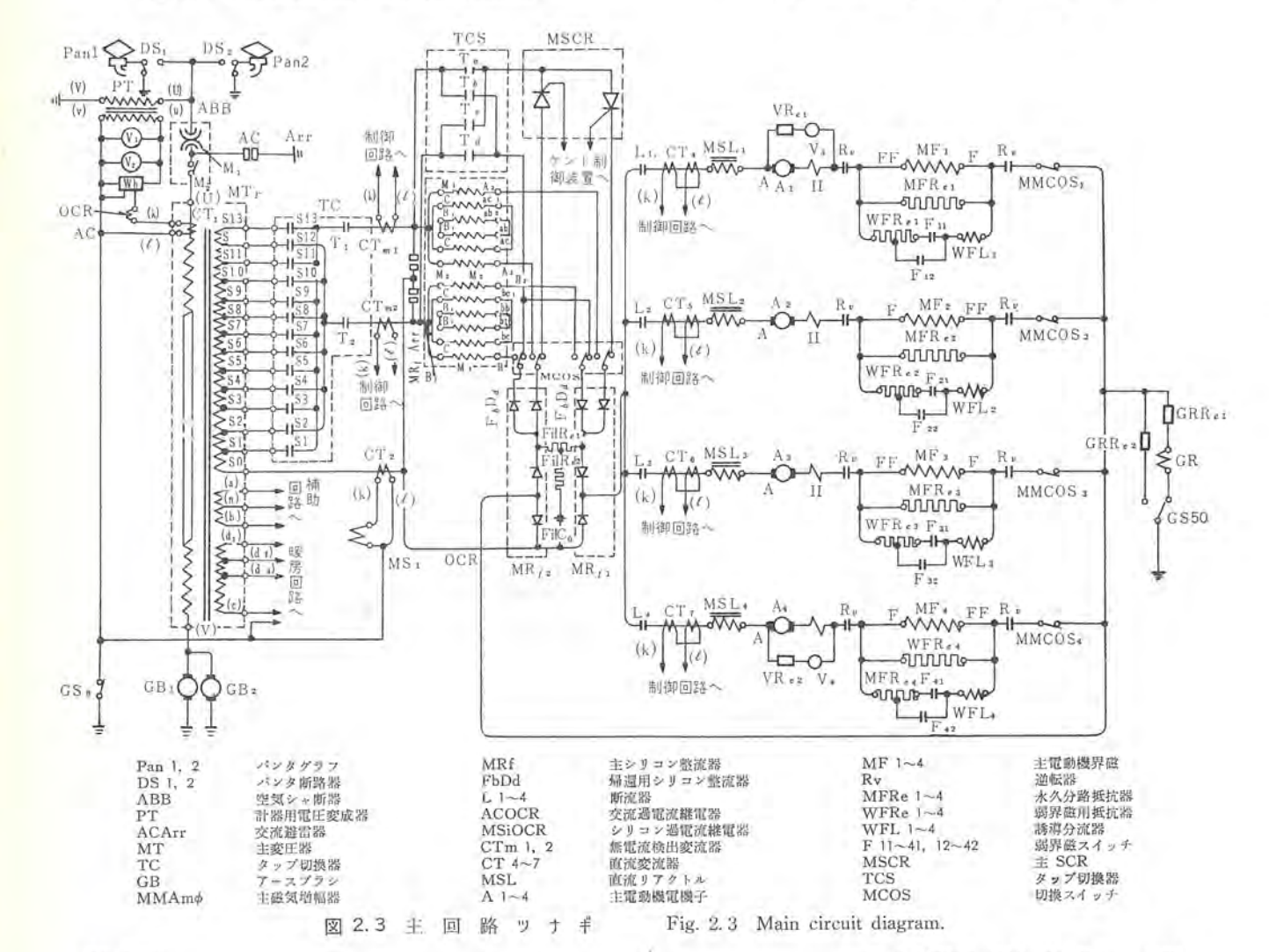


図 2.2 位相制御時の電圧電流特性曲線 Fig. 2.2 Characteristics curve of each voltage and current in phase shift control.



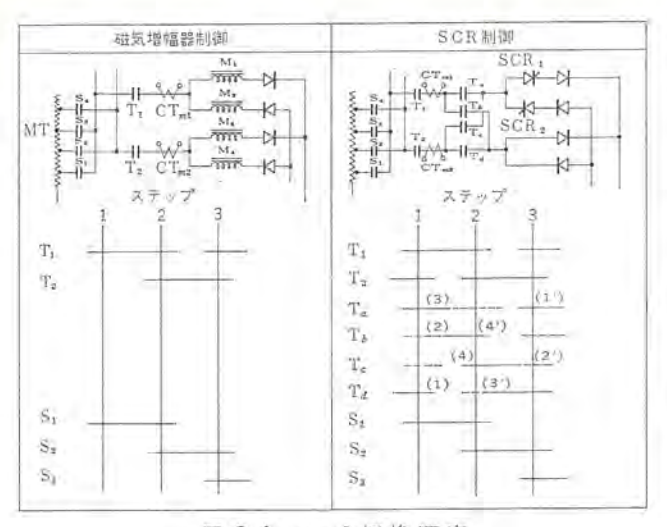


図 2.4 タッラ切換順序 Fig. 2.4 Sequence of tap changing.

SCR と同じ タップ に移し、主 SCR の ゲート 制御位相を 0 にも とすと負荷電流はすべて整流器側を流れるので、主 SCR 側の タップ を S_n+2 に移すことにより無電弧 タップ 切換が完成する.

図 2.3 に主回路 "Jff の詳細を示す. TCS, MSCR, MCOS が今度の SCR 制御のために追設した機器である.

改造前の機関車は、9ップ 間電圧を吸収する磁気増幅器を 2 組有し、9ップ 切換は T_1 、 T_2 の 2 個の切換開閉器による交互進段方式であるが、改造後の主 SCR による場合は 1 組の主 SCR で 9ップ 切換を行なうので、尺とり進段方式に変える必要があり、切換閉閉器は $T_a \sim T_a$ の 4 個が追加となっている。

磁気増幅器式無電弧 タップ 切換方式から,主 SCR 式無電弧 タップ 切換方式へ切り換えたときの タップ 切換器の切換順序は図 2. 4 に示すようになる.

2.2 制御回路

図 2.5 は制御回路を ブロック 線図で示したものである.

主幹制御器 MC から タップ 指令と位相制御指令が発生されるようになっており、これが無接点制御装置に伝えられる。このタップ 指令と位相制御指令が伝えられると、タップ 切換器の ステップ 位置が指定値と異なるときは、比較器で検出することにより位相指令は開放され、タップ 指令値に達するまで上昇または下降指令を論理回路へ伝える。奇数、偶数 タップ の検出および上昇、下降の条件から、論理回路から位相制御器に無電弧切換できるよう適当な信号を与え、無電弧移行条件に SCR 装置を制御する。一方無電弧切換条件が満されているかを検出する目的で、そう入されている図 2.5 に示す無電流検出用変成器 CTm によって無電流条件を確認後、論理回路の判断によって タップ 切換器操作用無接

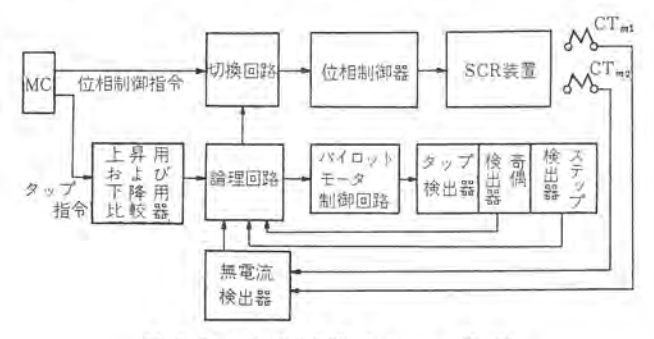


図 2.5 制御回路プロック線図 Fig. 2.5 Control-circuit block diagram.

点回路に信号を与え、タップを1段移行させる。このような判断機構は各タップ移行ごとに自動的に毎回行なわれ、指令値に一致

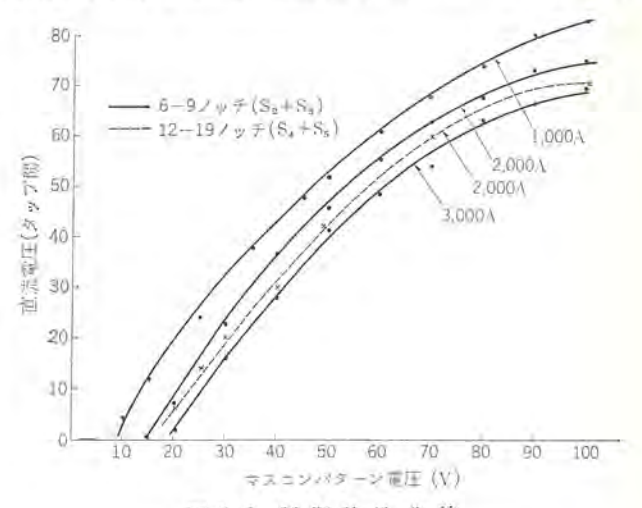


図 2.6 制御特性曲線 Fig. 2.6 Control characteristic curves.

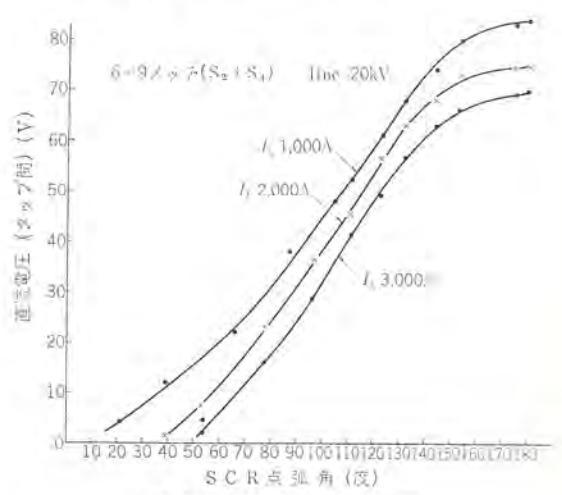


図 2.7 制御特性曲線 Fig. 2.7 Control characteristic curves.

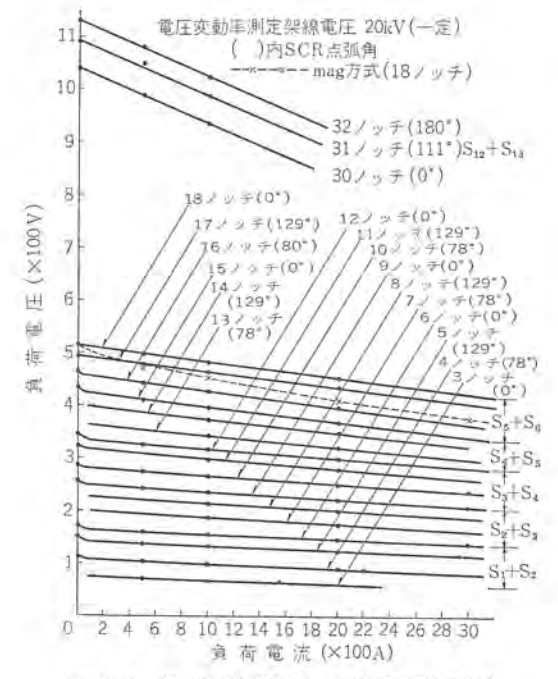
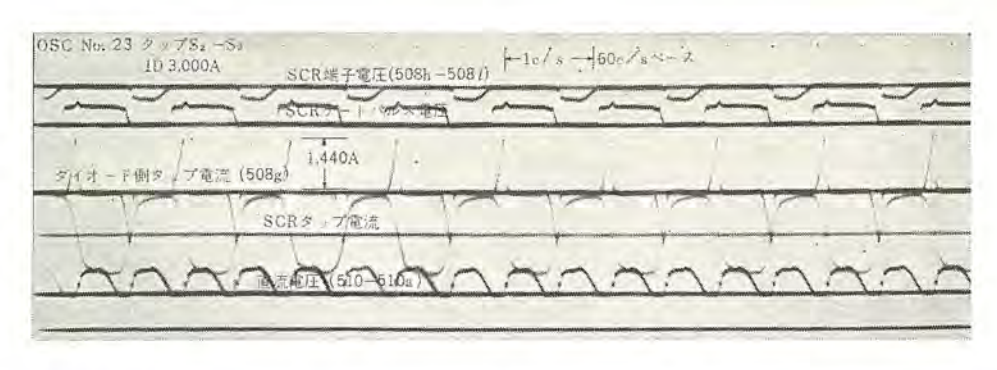


図 2.8 位相制御時の電圧変動率 Fig. 2.8 Voltage regulation curves in phase shift control.

するまで タッラ 移行が行なわれる.

一致したあとは MC からの位相制御指令が位相制御器に与えられ、高電位側にある SCR 装置により位相制御が行なわれる。 MC は主 ハンドル 操作により階段状の電圧制御ができるとともに、パーニャハンドル 操作によって、連続的な指令値を与えることができるようにもなっているので、コウ配起動のような微細電圧を必要とするときには連続電圧制御が可能である。

位相制御を行なう場合、MC の操作角度と負荷電圧が比例することが望ましく、MC から直線性のパターンが与えられた場合、負荷電圧も直線的に変化するよう考慮してある。図2.6、2.7にこの特性を示す。また位



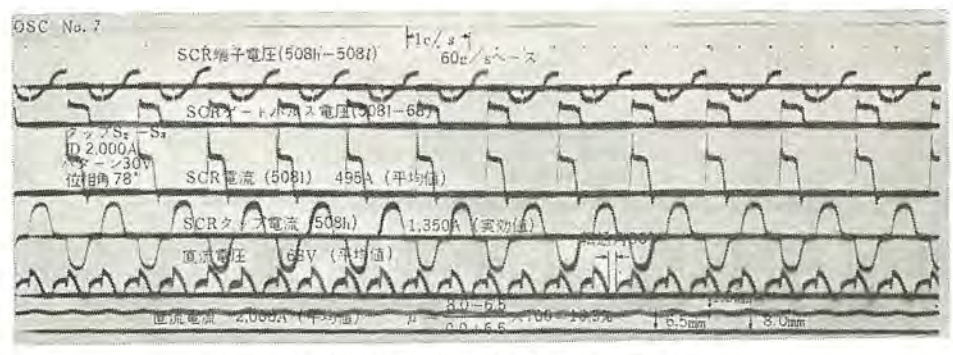


図 3.1 各部電圧電流実測オシログラム Fig. 3.1 Actual wave forms of voltage and currents.

相制御を行なっている場合の負荷電流に対する電圧変動率は、図 2.8 に示すようにほぼ平行した特性を示し、かつ主電動機電流が空転などの原因で急変したときもこの条件が満足されるので、再 粘着特性はよいことが期待しうる.

3. 転流電流の大きさ

図2.1 に示す状態において、上位の タッップ につながれている SCR 全位相点弧状態にした場合にも、ダイオード側にいく分の電流が流れる。これは重なり現象といわれているもので、整流時に

表 3.1 転流電流の大きさ

13	/ビーダンスと電圧の関係	電流 波形	電流波高值
(1)	$\frac{x_2}{n_2} < \frac{x_1}{n_1}$ $\frac{n_2}{x_2} < 2\frac{n_1}{x_1}$	7	$2ID\left(1-\frac{n_1x_2'}{n_2x_1'}\right)$
(2)	$\frac{n_2}{x_2} < \frac{x_1}{n_1} \qquad \frac{n_2}{x_2'} > 2\frac{n_1}{x_1'}$	TID ID	ID
(3)	$\frac{x_2}{n_2} > \frac{x_1}{n_1}$ $\frac{n_2}{x_2'} > \frac{1}{2} \frac{n_1}{x_1'}$	\triangle	$2ID\left(1-\frac{n_2x_1'}{n_1x_2'}\right)$
(4)	$\frac{x_2}{n_2} > \frac{x_1}{n_1} \frac{n_2}{x_2'} < \frac{1}{2} \frac{n_1}{x_{1'}}$		ID
(5)	$\frac{x_2}{n_2} = \frac{x_1}{n_1}$		ō

$$x_{1} = \frac{n_{1}(n_{1}+n_{2})}{n_{0}^{2}} y_{0} + y_{1} \qquad x_{1}' = \frac{n_{1}^{2} + n_{2} \frac{y_{1} + zL_{1}}{y_{2} + zL_{2}}}{n_{0}^{2}} y_{0} + y_{1}$$

$$x_{2} = \frac{n_{2}(n_{1}+n_{2})}{n_{0}^{2}} y_{0} + y_{2} \qquad x_{2}' = \frac{n_{2}^{2} + n_{1} \frac{y_{2} + zL_{2}}{y_{1} + zL_{1}}}{n_{0}^{2}} y_{0} + y_{2}$$
(参孝)
$$y_{1} = \frac{n_{2}}{n_{0}^{2}} y_{1}'$$

$$y_{2} = \frac{n_{1}^{2}}{n_{0}^{2}} y_{2}'$$

$$y_{3} = \frac{n_{1}^{2}}{n_{0}^{2}} y_{2}'$$

$$y_{4} = \frac{n_{1}^{2}}{n_{0}^{2}} y_{2}'$$

$$y_{5} = \frac{n_{1}^{2}}{n_{0}^{2}} y_{2}'$$

流れるものであり、おおよその大きさは表 3.1 で求められる ただし、電流を完全な直流と考えた場合である。 実測値は表 3.2 のとおりであった。

図 3.1 は高速形の オシロクラム により波形を記録したものである. OSC No. 23 の オシロ に示すように、SCR には約 210° ほどの ケートハルス が与えられて完全に導通状態にあるが、タイオート側にも電流が流れていることが記録されている。もちろん、この電流は交流側電流の位相が変わる重なり期間中だけ流れるものであり、位相の中ほどにおいては、負荷電流はすべて SCR 側を流れている。

タップ 切換器を上昇させていくときに、T スイッチ でこの電流を切り、無電弧切換にならないことが心配されていたが、工場試験 および現事試験の結果では電弧はまったく発生せず、理想的な無電弧切換となることが確認された。 ダイオード 側を流れていた電流は、T スイッチ 接点の開きとともにすみやかに SCR 側に転流してゆくものと思われる。

無電流検出装置は,正弦波で 15 A 以上流れた場合は警報出力を出すが,転流電流のような鋭い波形の電流に対しては,波高値は無視し,通流位相角度にのみ感ずるようにしてあるので,転流角が約60°以内であればタップ進段を阻止することはない.

表 3.2 転流電流の実測値

	THE	流 負 荷	電流	(ID)	前記計算式に
タップ位置	500 A	1,000 A	2,000 A	3,000 A	よる予測値
2		640 A (0.64)	1,160 A (0.58)	1,440 A (0.48)	(0,416)
4		640 A (0.64)	1,420 A (0.71)		(1.0)
12	320 A (0.64)	760 A (0.76)			(1.0)

注 () 内は ダイオード側電流波高値 直流負荷電流値 を示す。

4. SCR の並列制御

主 SCR の容量は 10% コウ配で繰り返し2回起動を行なっても、十分耐えるように図 4.1 の電流条件を満足することが要求される。ここに多数の SCR の並列接続が必要となる。

大電流を並列に接続した SCR に分岐して流す場合, おのおの SCR の順方向電圧降下が完全に同一でなければ電流の不平衡を 生じ、電圧降下の少ない SCR には多くの電流が流れて、過負荷 の状態となりやすい、さらに配線抵抗や接触抵抗の差もこれに加 わってくることになる. 並列につなぐ各素子に、あらかじめ順方 向特性および ゲート 点弧特性の双方ともそろったものを選ぶことは、きわめて困難なことである. しかし SCR の場合も普通の整流素子の場合と同様に パランサ を設けて、たとえ特性のそろわない素子を並列につないでも強制的に負荷電流を平衡させる技術が 開発されている. 図 4.2 はこの原理を示したものである.

各 SCR には、結合トランス 形の パランサ で リング 状に相互に連結してあり、隣同志の間に電流の差があった場合、パランサ 内に電流が少ない側を増加させる方向に起電力が生ずるので、電流の不平衡は非常に少ない状態に保つことができる。 また パランサ に発生する電圧を ダイオード を通して SCR の ゲート ヘ与える回路を設けてあり、これで全部の SCR の点弧をそろえさせる能力も備えている。

この パランサ は次のようにして求めることができる.

 $N \times A \times \Delta B = E_{max} \times t_{on} + K \Delta V f \times T c$

とこで

N ……コイル 巻数

A …… 鉄心有効断面積

△B ……毎 サイクル の鉄心磁束の有効変化量

Emax ······SCR の両端にかかる最大電圧

tonSCR の ターンオン 時間

K ----定 数

ΔVf·····SCR の順方向電圧降下の最大値

Tc ……電流の転流期間

したがって、バランサの大きさは SCR の特性をどの程度そろえ

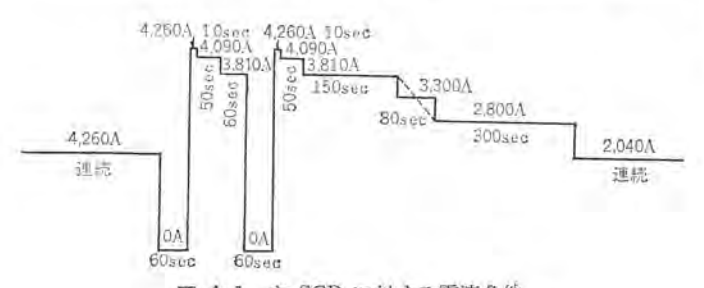


図 4.1 主 SCR に対する電流条件 Fig. 4.1 Current duty for the main SCR.

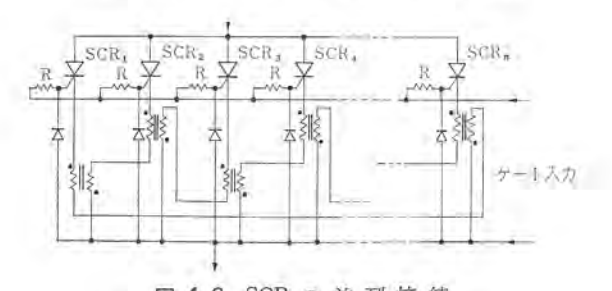


図 4.2 SCR の並列接続 Fig. 4.2 Paralled connection of SCR.

るか、あるいは、いっせい点弧を行なわせるだけか、導通後の負荷電流の平衡も行なわせるかによって、大きさが決ってくる。

鉄心としては高導磁率系の巻鉄心を切断し、わずかの空 ゲキを 設けた カットコア が適している。励磁電流を大きくすることなく、 4B を大きくとれるからである。

図 4.3 は 400 V, 20 A の SCR を 10 個並列接続し、電流 バランス を測定したときの SCR 部分の外観である.

図 4.4 は各枝路の電流 パランス の実測結果であり、パランサ の効果が大きいことがわかる。図 4.5 は $400\,\mathrm{V}$, $100\,\mathrm{A}$ の SCR 素子を用い同様の試験を行なった実測結果で、点弧角 $0\sim180^\circ$ の全域にわたって パランサ の効果のあることがわかる。

点弧の場合の代表的な波形を図 4.6 に示した。 (a) (a') は点弧の遅い素子であり。 (b) は速い素子の波形である。 (b) において t_3 で素子は turn—on になり。このとき f-ト 回路抵抗が減少するために f-トパルス 波形は小さくなっている。 t_3 の時点における現象は、パランサ を介して turn—on していない素子の f-ト

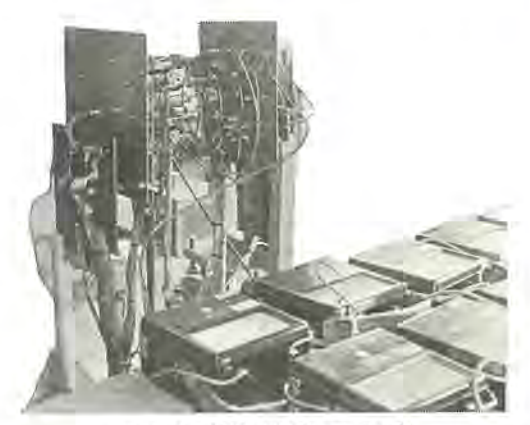


図 4.3 SCR 電流の測定 Fig. 4.3 Measurement of SCR current.

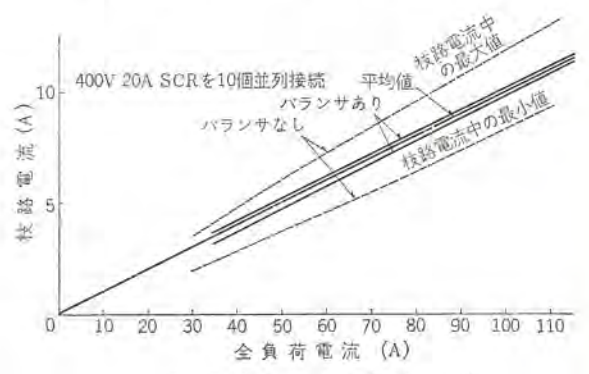


図 4.4 電流パランス特性曲線 Fig. 4.4 Current balance characteristic curves.

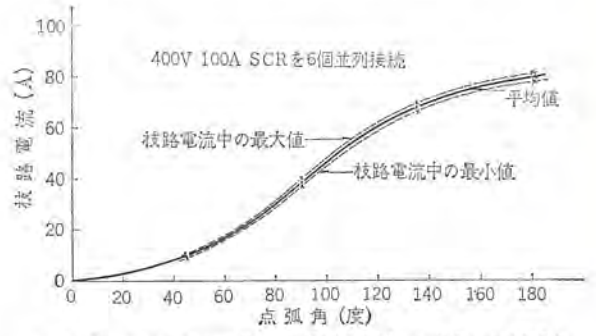
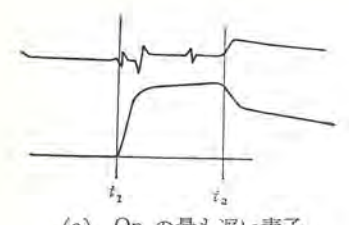
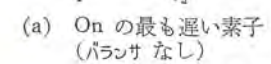
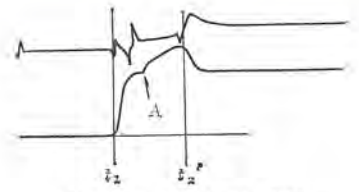
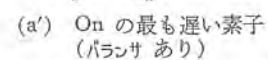


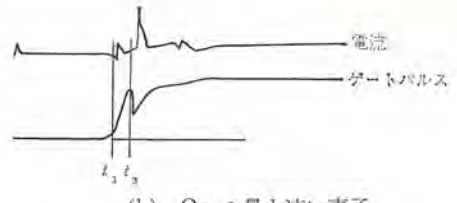
図 4.5 電流 パラシス 特性曲線 (点弧角を変化した場合) Fig. 4.5 Current balance characteristic curves.











(b) On の最も速い素子

図 4.6 点 弧 波 形

Fig. 4.6 Wave forms of SCR turned-on.

パルス が強められる結果となり、(a') の A 点のごとくになる。
(a') のほうは 62' の時点で点弧していることが理解できる。(a) と (a') を比較するとき、パランサ をそう入したときのほうが相当 短くなっており、パランサが点弧にも大きい効果を示すことがわかる。この試験に伴い次のことについても確認した。

確 認 項 目	結 果
1 個の SCR のみ外部から ゲートパルス を与えて点弧させ たとき、残りの SCR を点弧 しうるか。	パランサ があれば全数ど の位相でも点弧しうるが, パランサ がなければ点弧し ない.
バランサ がない場合で, 1 個の SCR をさきに点弧させておき, 遅れて残りの SCR にゲート を与えた場合はどうか.	任意の位相で残りの SCR を点弧しうる。

5. 主要機器

5.1 SCR 装置

この装置は今回の試験の主目標となったもので、主 SCR 素子と付属部品および冷却用換気扇を1箱に納め、位相制御器と ゲートパルス 増幅器および保護装置を別の1箱に納めてある.

図 5.1 は主 SCR 箱の外観である。箱の最上部に換気扇があり、 下方から上方に風を吸い込んで SCR の フィン を冷却している。

SCR 素子は長い冷却 フィッ 1 本あたり 5 個ずつ取り付けてあり、これを片面に 4 本並べて SCR が全部並列になるように接続してあって、1S20P を形成している。この組が冷却 フィッを内側にして対称的に 2 面あり、計 40 個の主 SCR を納めてある。機関車の狭い廊下に据え付けるので、細長い形状になっている。

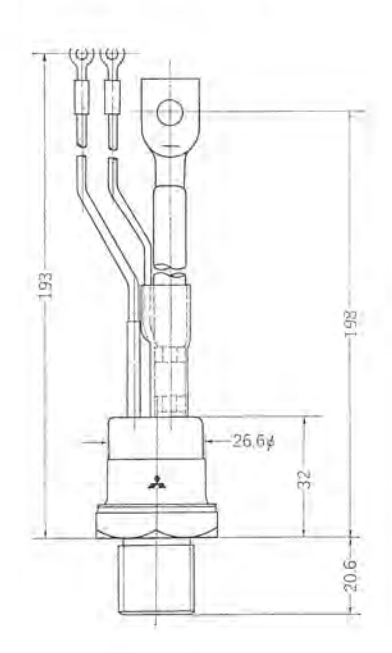


図 5.1 主 SCR 箱 Fig. 5.1 Main SCR box.

5.1.1 主 SCR 素子

この装置に用いた CR150A-8 形 SCR 素子は シリコン PNPN 構造で、負荷電流 150 A、順阻止電圧 400 V の電力制御用として設計されたものであり、内部は ハードソルダ 構造のため熱抵抗が低く、かつ、過激な温度変化にも耐えることができる。また、独特の セラミック 金属 ケース を用いるので溶接封じができ、理想的な完全気密構造となっている。図 5.2 にこれの形状を示す。この素子の定格は下記のとおりである。

定格順電流	150 A (単相半波 180° 通電)
瞬時過電流	3,000 A (1 c/s)
順阻止電圧	400 V
逆耐電圧	400 V
過渡 セン 頭逆耐電圧	480 V
最小点弧 ゲート 電流	100 mA
最小点弧 ゲート 電圧	2.5 V
ジャンクション 許容温度	$-30\sim+125^{\circ}\text{C}$
冷却つインへの締付トル	230 kg-cm



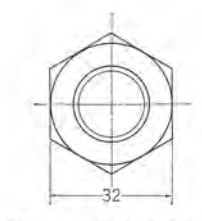


図 5.2 CR-150A-8 形 SCR Fig. 5.2 Type CR-150-A-8 SCR.

5.1.2 位相制御器

位相制御器は自己飽和形の磁気増幅器方式で、タップ 間位相制 御用と タップ 切換時用の2組を備え、主幹制御器からの指令によ り両者が自動的に使い分けられるようになっている.

主回路の タップ を下げていく場合,主 SCR を完全導通状態に保つ必要があり、ゲートパルス は電源位相の 180°を完全に カパー できるものが好ましい。タップ 切換用の磁気増幅器は、この幅の広い ゲートパルス を得るためのもので、この電源には大容量の進相用コンデンサ を直列にそう入して、出力巻線の電圧位相を進めてあり、磁気増幅器の出力が電圧位相よりすこし遅れて出ても、主回路の位相に対しては進んだパルス が得られるようにしてある。

これらの磁気増幅器の電源は主回路と同位相にするため主変圧 器の三次巻線から供給する必要があるが、電圧変動が大きいので 電圧が変わっても位相制御角が変わらないように、専用の電圧安 定回路を組み込んである.

5.1.3 ゲートパルス増幅器

1S20P 接続の主 SCR 全数に、同時に十分な ゲート 入力を与えるには ゲート 制御装置の出力は相当大容量なものが必要となるの

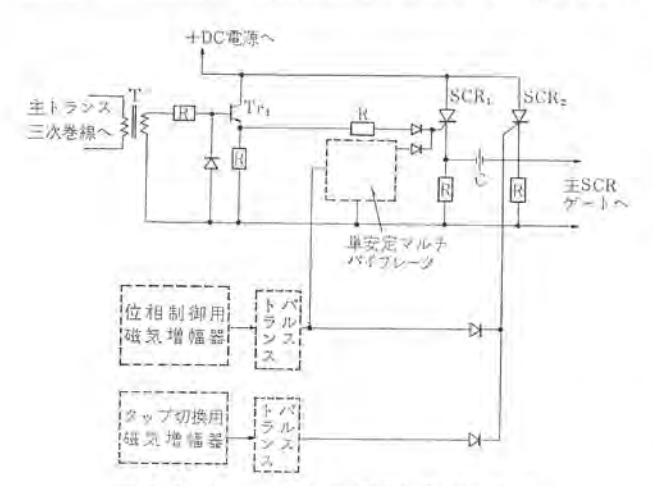


図 5.3 ゲートパルス 増幅器の原理 Fig. 5.3 Principle of gate palse amplifier.

で、前述の磁気増幅器で位相制御された パルス 状出力を増幅する 装置を 2 回路分設けてある。この装置は SCR を 2 個使用し、コンデンサ で交互に転流させる方式で、小さな入力で大きく急しゅん な出力が容易に得られる特長があり、波高値で 9 V, 4 A の方形 状の パルス 出力となるよう セット してある。

図 5.3 にこの装置の原理図を示す、ゲートパルス 出力の幅は、タッラ 途中の位相制御時と タッラ 切換時では変わるようになっており、位相制御用磁気増幅器の出力で SCR_2 が点弧されたときは、同時に SCR_1 の ゲート 回路にある単安定 マルチ にも入力が与えられるので、ある時間遅れた後、この SCR_1 が点弧し SCR_2 を消弧させる。 タッラ 切換用磁気増幅器の出力で SCR_2 が点弧されたときは単安定 マルチ には入力が与えられないので、 SCR_1 は電源電圧の位相が反転し、 Tr_1 で増幅された ゲート 入力が与えられて初めて点弧し、 SCR_2 からの ゲート 出力は十分の幅を有するものとなる。

それぞれの ゲートバルス 幅は図 5.4 に示すように約 90° と 20.5° にしてある.

SCR₁, SCR₂の転流がなんらかの原因により阻害され,両 SCR が導通状態におちいったときは,これを検出して直流回路を開放 し,自動復帰させる磁気増幅磁式の保護装置を設けてある。

5.2 タップ切換器

この箱には、タップ 切換用電磁空気式単位 スイッチ、ステップ 選択 用継電器および保護装置を納めてある。

図 5.5 は箱の外形図である。この箱も SCR 箱と同様機関車の 廊下に据え付けることになったので、偏平な形状にまとめてある。

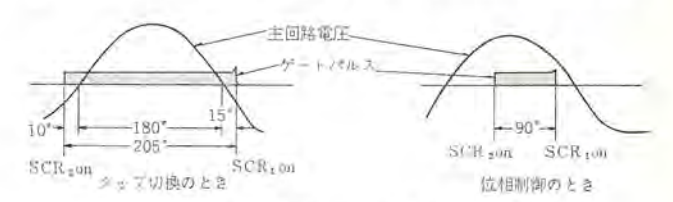
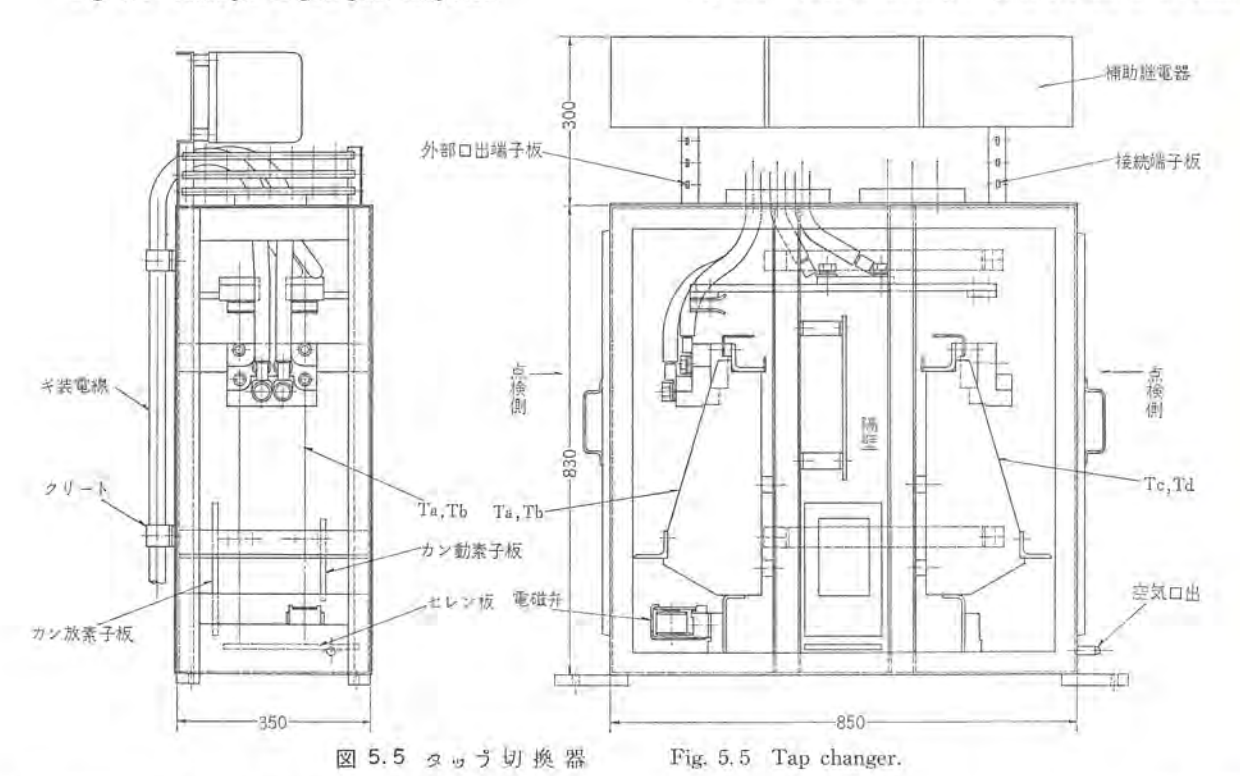


図 5.4 主 SCR ゲートパルス 波形 Fig. 5.4 Wave form of gate pulse for the main SCR.



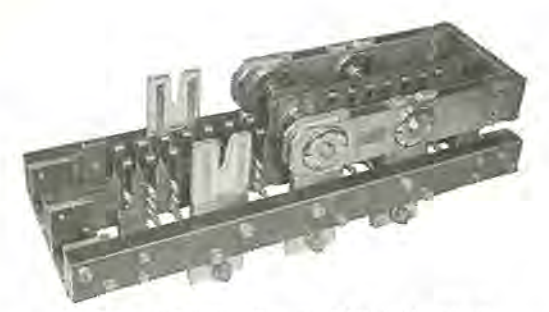


図 5.6 主磁気増幅器—主 SCR 切換 スイッチ Fig. 5.6 Change-over switch for the main magnetic amplifier and the main SCR.

電磁空気式単位 スイッチは、機関車に使用されている LTC-1 形 低圧 タップ 切換器内の切換 スイッチ と同一品で、圧縮空気により下 部可動子が駆動されるものである。ただし、圧縮空気は カム 弁でなく電磁弁により電気的に制御する構成になっている。

定格は次のとおりである.

回路電圧

AC 1,250 V, 50 c/s

電流流

2,040 A 連続

制御電圧

DC 100 V

操作空気圧力

 $5 \, \mathrm{kg/cm^2}$

継電器類はステップ選択継電器のほかにタップ切換時に SCR の ゲート制御に余裕時間を与える無接点式緩動継電器,および切換 スイッチ が動作不良したときに ABB を トリップ させる保護 リレー がある.

5.3 切換スイッチ

主磁気増幅器と主 SCR の切り換えをいっきに行なう手動の刃形スイッチで、主回路とともに制御および補助回路も同時に切り換えられるよう連動補助接点付である。

定格は次のとおりである.

回路電圧

AC 1,250 V, 50 c/s

電流

2,040 A 連続

連動接点

9点 (7点)

図 5.6 は切換 スイッチ の外観である.

連動接点が9点付のものと7点付のもの2つヶに別れていて、 別々に手動で操作されるが、片側のスイッチを操作し忘れた場合は、装置が働かないように電気的な連動を設けてある.

6. む す び

20 個という多数の SCR 並列制御と無電弧 タップ 切換時の転流 電流の問題が懸念されたが、試験結果はいずれも良好で、交流機 関車の主回路を SCR で制御しうることが確認された.

また、40年2月には国鉄鉄道技術研究所の手により、いろいろ な性能試験が行なわれ、その結果はまだ公表されていないが、粘 着試験は良好な成績を収めたようである・

SCR はすでに 1,000 V, 250 A のものが実用に供しうるようになっており、さらに高電圧、大電流のものが続々実現する機運にある。今後の交流機関車は タッラ 切換器も廃止し、主変圧器二次電圧をそのまま SCR で位相制御する方式が検討されている。たとえば、二次巻線を4分割し、それぞれを SCR で位相制御して、直流側で4分割の電圧を直列に積み重ね、全二次電圧を連続に位相制御する方式の機関車はすでに試作が進められており、制御回路も小容量の SCR で無接点化するよう計画されていて、主回路とともに理想的な制御装置が完成するものと期待されている。今回の装置が今後の SCR 化に貴重な資料を提供してくれることを望んでいる。

最後に、日本国有鉄道各位のご援助ならびに三菱重工業関係各位のご協力に対し厚くお礼申し上げる次第である。

参考文献

- (1) 北岡・白庄司・鶴田: 国鉄納め ED75 形交流機関車, 「三菱電機技報」,38,746 (昭38)
- (2) 岡: 電力用半導体整流回路の諸問題(その 2), 「三菱電機」,33,662(昭34)

航空機用超短波無線電話装置

山口哲夫*・浜口道雄*・村山 昇*・三木博之*

Airborne VHF Radio Communication Equipment

Kamakura Works, Itami Factory

Tetsuo YAMAGUCHI • Michio HAMAGUCHI Noboru MURAYAMA • Hiroyuki MIKI

Communication between the aircraft and the ground is made with radio telephone equipment. From a feature of having communication for control and business instructions between the flying machine and air ports distributed in a wide operation range, airborne radio communication equipment capable of being changed over for frequencies ranging from several to ten odd cycles is called for and Mitsubishi MAR-4 units are mostly put in service. However with an increase of air routes and air planes, aviation offices on the ground have also so increased as to need radio equipment having a larger number of channels. Development of semiconductors, on the other hand, has helped produce small light sets of less power consumption.

Mitsubishi MAR-5 radio telephone equipment is an answer to the demand and featured by a wide frequency range of 118~144 Mc and provision of a phase synchronous oscillator of 20 channels to operate an automatic tuning mechanism.

1. まえがき

航空機と地上との連絡は、無線電話で行なっているが、航空機の持つ広い行動範囲に分布する各飛行場との管制連絡および業務連絡を行なうという特質から、航空機にとう載する無線電話装置としては、数波ないし十数波の送受信周波数を切り換えて使用することができるような送受信機を必要とし、従来から、当社のMAR-4 形無線装置(1)などが使用されてきた。近年航空路線の漸増および航空機の急激な増加によって、地上の航空局が増設され、したがって、航空機とう載用無線装置として、送受信チャネル数の多いものが必要になるとともに、半導体製品の発達により、小形軽量で電力消費の少ないものが要求されるようになってきた。

このような要望に応じて開発した航空機用短波無線電話装置が この MAR-5 形無線電話装置であって、送受信周波数範囲 118~ 144 Mc、チャネル数 20 の位相同期発振器を使用した新方式の自動 同調機構を有する無線装置である。以下その概要を紹介する.

2. 航空機とう載用無線電話装置の問題点

航空機とう城用の無線電話装置についてはその性質上地上用の 無線電話装置と比較したとき、数多くの技術的な特長を有してい る。以下これらの問題点を列挙する。

2.1 性能・規格の国際性

航空機と空港との航空管制連絡は、国内の航空機に対するものと諸外国の航空機に対するものとを共通に行なう必要性から、使用する無線電話装置の規格についても国際的に共通使用ができるように定めなければならない。日本国内における電波法規は米国のRTCA(2)の規格に準じて制定されているので、国内の法規に合致する無線機であれば必然的に国際的に通用するようになっている。

2.2 チャネル数および自動同調方式

航空路線にそって存在する数多くの航空局(地上局)と通信を 行なうためにはその都度送受信用周波数を航空局の周波数と合わ せる必要があり、しかも送受信周波数の切り換えはできるかぎり 単純な操作によって正確に行なわれなければならない。したがっ て航空機とう戦用の無線電話装置は必然的に多 チャネル の無線機 を必要とし、かつ チャネル 切換が容易に行なえるような自動同調機 構を必要とする.

2.3 外形寸法

無線送受信装置を航空機にとう載する場所は航空機の種類、形式によって千差万別であり、大形の航空機のように Radio Rack と称する電子機器関係を一括して収納する場所が定まっているものから、ヘリコラタや小形機のように計器盤の後方または座席の下部などの空間にとう載されることを要求されるものもある。前者においては RTCA に規定されている統一寸法にする必要があり、後者においては狭あいな空間にも容易にとう載することができるような構造にする必要がある。

2.4 信頼性

航空機と地上、または航空機相互の連絡は無線電話が唯一の連 絡手段であるので、航空管制連絡をはじめ業務連絡などはすべ て無線電話によって能率良く行なわれている。管制連絡にしても 業務連絡にしてもそれが不十分な伝送しかされなかったり、欠け るようなことがあったならば大きな事故が生じかねないので、当 然ながら航空機用電子機器に対しては信頼度が高いことが必要で ある。

信頼度を向上させるとともに保守点検が行ないやすくし、また モジュール 構造などを採用することによって保守点検に要する時間 を短くし、無線装置の稼動率を上げるようにする必要がある.

2.5 環境条件

航空機とう献用無線装置は航空機内において予想されるすべての環境条件に対して常に安定した性能が得られる必要がある。航空機内において予想される最悪の環境条件については RTCA の規格で指示されており、これに準じて日本の電波関係法規が制定されている。航空機用の電子機器に対する環境条件は地上用のものに比べて非常に過酷であり、一例として温度の条件についてみても $-40\sim+55^{\circ}$ C の範囲で正常に動作しなければならず、さらに非動作状態では $-65\sim+70^{\circ}$ C の温度に耐えることが要求されているので、装置の設計にあたっては十分な検討を行なう必要がある。

3. 装置の概要

3.1 機器の主要点

2章において述べた航空機用無線電話装置の必要条件および問題点につきすべて満足するよう十分な配慮を行なって設計したのがこの MAR-5 形無線電話装置である. この機器を設計するにあたってとくに重点をおきこの機器の特色となっているものは次のとおりである.

(1) トランジスタ化

近年のトランジスタの進歩は著しく電子機器はすべてトランジスタ化されつつあるが、航空機用の無線機については、その環境条件の過酷なことなどの理由により陸上の移動用 FM 無線機に比べて採用が遅れており諸外国においてもトランジスタ化されたのはごく最近のことである。

MAR-5 形無線機では送信部に3本の電子管を使用するのみで、 受信部、変調部、電源部、自動同調部などはすべて固体化し機器 の信頼度を上げることに成功した.

(2) 自動同調方式

この無線装置に使用している自動同調機構は位相同期発振器を 使用した電気的な自動同調制御方式であって、チャネル数は 20 と した。

チャネル 切換動作は チャネン 切換 スイッチ で受信機の局部発振に使用する水晶振動子を選択することによって チャネル 切換部が動作し、位相同期発振器の発振周波数と局部発振器の発振周波数とが一致して位相同期状態になる所すなわち送受信機の同調点に自動的に パリコン軸を駆動するようにしてある. したがって所要の水晶振動子をそう入するのみで所定の通信周波数に同調がとれ交信ができるようになっているので従来の無線機のごとき チャネルブリセット操作などはまったく不要である. この結果 118~144 Mc の範囲内で、任意の 20 波の周波数で通信することができる.

3.2 構成

MAR-5 形航空機用超短波無線電話装置は表 3.1 に示すごとく送受信機, 防振台, 制御器および空中線によって構成される. 送受信機は防振台を使用して直接航空機の機体に装備し, パイロット席の近傍に設置された制御器によって遠隔制御されるようになっている. 送受信機をとう載する場所は航空機の機種によって相異し, 航空機のパランス, 取付スペースなによって制約を受けることが多いので, これを緩和するために送受信機は縦長の方向にでもまた機長の方向にでもとう載できるような機械的強度を持たせ, それぞれのとう 帳方法に適する防振台を2種類用意してある. 図 3.1 は防振台 MMT-5/MAR-5 を使用するときの外観であり, 図 3.2 は防振台 MMT-6/MAR-5 を使用するときの外観である.

制御器 MCU-6/MAR-5 は図 3.3 に示すごとく小形軽量に作られており、パイロット 席の近傍に設置するような構造にしてある。そして送受信機の操作に必要なすべての機能を有している。

表 3.1 航空機用超短波無線機構成

	H	非	成 品 名	数量	偷考
送	受 信	機	MRT-5/MAR-5	1	DC 27 V 用
勆	級	台	MMT-5/MAR-5 MMT-6/MAR-5	wfn. r	
10	御	114	MCU-6/MAR-5	1	
空	抻	槌	MAT-1B/MAR MAT-3/MAR	wfhb1	ホイップ形 ブレード用



図 3.2 送受信機 MRT-5/ MAR-5 外観図 (防振台 MMT-6/MAR-5 付) Fig. 3.2 Receiver-transmitter MRT-5/MAR-5 with shock mount MMT-6/ MAR-5.

図 3.1 送受信機 MRT-5/ MAR-5 外観図 (防振台 MMT-5/MAR-5 付) Fig. 3.1 Receiver-transmitter MRT-5/MAR-5 with MMT-5/MAR-5.





図 3.3 制御器 MCU-6/ MAR-5 外観図 Fig. 3.3 Control unit MCU-6/MAR-5.



在 MAT-3/MAR 有 MAT-1B/MAR 図 3.4 空中線外観 Fig. 3.4 Antenna MAT-3/MAR (left) and MAT-IB/MAR (right).

空中線 MAT-1B/MAR は 1/4 波長の ホイップアンテナ であり低速度の航空機に適しており、MAT-3/MAR は プレードアンテナ で中高速機に使用できるような強度を有している. 図 3.4 にその外観を示す。

3.3 主要性能

この装置の主要性能は次のとおりである.

(1) 一般的事項

周波数範囲 118~144 Mc 5+ネル数 20 電波形式 A₃ (振幅変調) 通話方式 ブレストーク 方式 所要電源 DC 27.0 V 受信時 約 1.8 A

26 21.0 1 XIAM NO 1.0 1.

送信時 約5A

(2) 送信部

送信出力 10 W + 20% - 50%

周波数偏差 ±0.005% 以下

総合周波数特性 350~2,500 c/s で 6 dB 以内

スプリアス 放射 25 µW 以下

(3) 受信部

感 度 入力 5 μV (1,000 c/s 30% 変調) で

(S+N)/N 比 6 dB 以上

定格出力 50 mW

選 択 度 6 dB 帯域幅 40 kc 以上

60 dB 帯域幅 80 kc 以下

(50 kc セパレーション 用)

スプリアスレスポンス 50 dB 以上

AVC 特性 入力 10 μV~20 mV で出力の変化

量 10 dB 以内

(4) 外囲条件

温 度 -40~+55°C (動作状態)

-65~+70°C (非動作状態)

湿 度 +50°C で 95~100% RH

高 度 最高高度 10,000 m

振動 600~3,300 rpm,

全振幅 1.5 mm

加速度 上方向 5G

下方向および両側方向 2G

4. 送受信機 MRT-5/MAR-5

送受信機 MRT-5/MAR-5 は送信後段に3本の電子管を使用しているのみで他はすべて トランジスタ 化されており、次のような特長を有している。

- (1) 航空機とう戦用無線送受信機は小形軽量であるとともに、保守の容易さが必要である。そのために送受信機内部はモジュール構造を採用し、表 4.1 に示すこときモジュールによって構成される。各モジュールは送受信機の箱体より容易に着脱可能であり、それぞれ互換性を有している。ただし水晶切換部のみは箱体に付属しているので取はずすことはできない。各モジュールの写真を図4.1~4.5 に示す。
- (2) 各モジュールには調整時に必要な各部電流を測定するためのメータリング用の端子を付けており、モジュールを箱体に付けたままで各部の電流値を測定することができるようにした。したがって、送受信機の点検は敏速に行なうことができつねに一定の性能を維持することができる。
- (3) 送受信機の送受信周波数は水晶振動子の周波数によって 定まるようにしてある。また受信機および送信機の パリコン 軸の駆動は位相同期発振器を使用した自動同調機構によって送受信周波 数に対応する角度に自動的に駆動される。したがって各 チャネル周 波数の決定は所要の水晶振動子を水晶切換部にある ソケット にそ う入するのみでよく、送受信機の ダイヤル調整などまったく不要で ある。

表 4.1 送 受 信 機 モジュール 構 成

	モジ	ェール	名称		備考
受		信		部	箱体部より取り出せる
低周	低周波増幅部および電源部				*
送		信		部	*
自	動	同	調	部	*
水	20	切	换	部	箱体部に付属している
箱		体		部	

(4) 送受信機の消費電力は受信時においては著しく低減されているので送信時のみ内部を プロワモータ で強制通風している。 したがって、受信時は (S+N)/N 比が向上し、またプロワモータの寿命も著しく長くなった。

4.1 受信回路

(1) 図 4.6 に示す系統図のとおり高周波増幅1段を有するシングルスーパーへテロダイン 受信機であってすべて固体化してある。高周波増幅器としては、雑音指数の小さく高利得の高周波シリコントランジスタ 2N3291を使用してある。したがって、受信感度は図 4.7 に示すとおり非常に良好である。受信高周波回路にはパリコンを使用しているが、同調回路の段数を6段としているのでスプリアス感度なども十分規格を満足することができた。



図 4.1 受信部 Fig. 4.1 Receiver subassembly.

図 4.2 低周波増幅部 および電源部 Fig. 4.2 Audio modulator & Power supply subassembly.





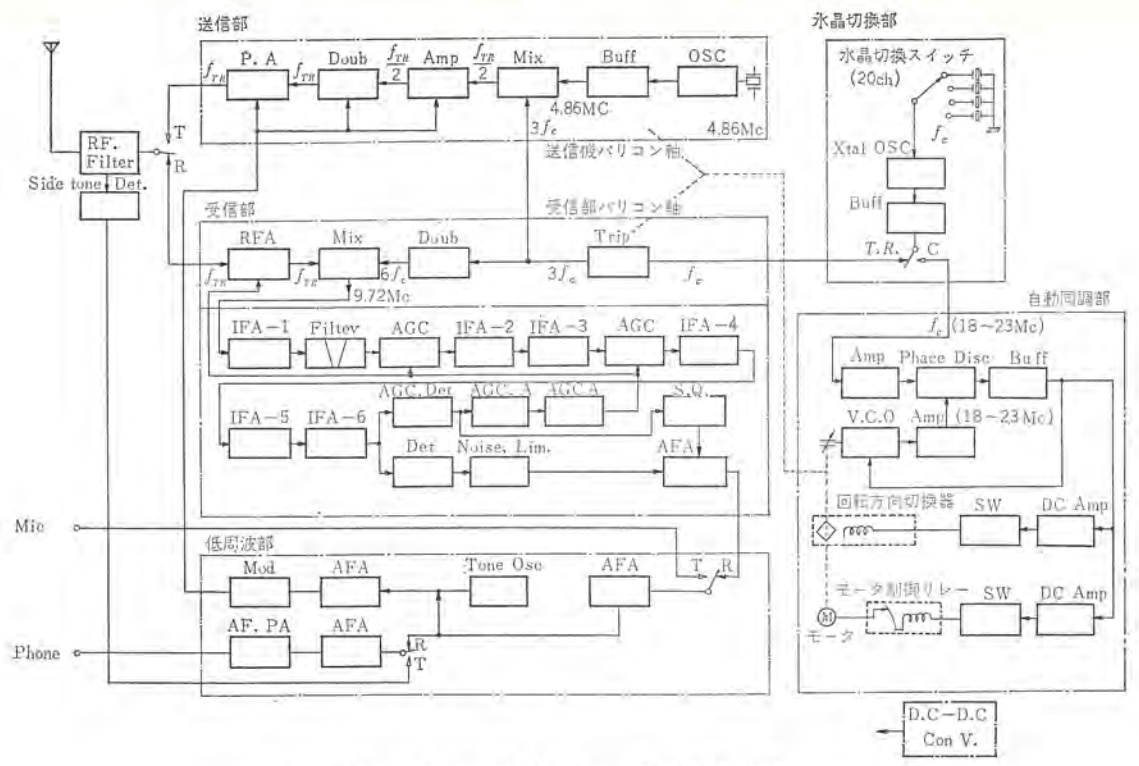
図 4.3 送信部 Fig. 4.3 Transmitter subassembly.

図 4.4 自動同調部 Fig. 4.4 Automatic tunning control and mechanical drive subassembly.





図 4.5 箱 体 部 (水晶切換部付) Fig. 4.5 Main chassis with crystal selector subassembly.



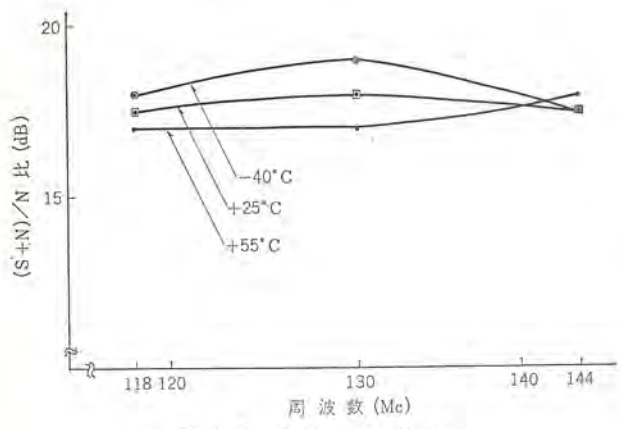


図 4.7 受信感度特性 Fig. 4.7 Receiver sensitivity.

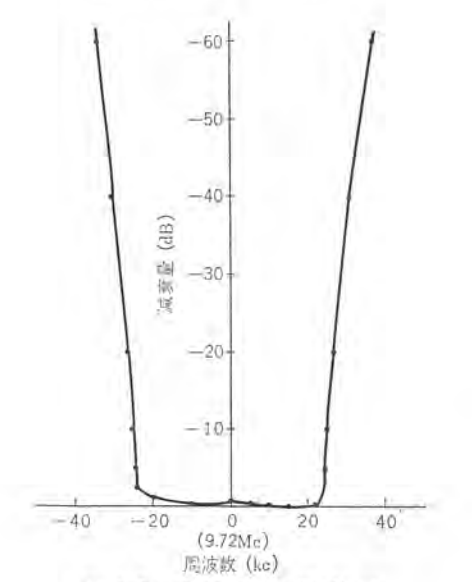


図 4.8 受信部選択特性 Fig. 4.8 Receiver selectivity.

(2) 中間周波数は 9.72 Mc とし、受信帯域幅および選択度をすべて水晶 フィルタ によって持たせてある。したがって 6 dB 帯域幅は 40 kc 以上とし 60 dB 選択度は 80 kc 以下におさえることができたので、この無線装置は 118~144 Mc 帯の航空機用周波数帯の チャネル 割当が現在の 100 kc 間隔より 50 kc となったときにも使用することができる。図 4.8 に受信機の総合選択度特性を示す。

中間周波増幅器および検波器には三菱 ϵ_{LO} ϵ_{DO} M329 および M345 を使用したために信頼性は向上し、また機器を小形化するのにも役立った。

- (3) 航空機とう載用無線装置は航空機の発生する電気的機械的雑音に対しても十分に耐えうるようにしなければならない。航空機とう載時にはエンジンなどから発生するインパルス性の連続雑音が、つねに受信機の入力端子に加えられることになるので無線機の耐雑音性能は受信感度と同様に受信機の性能を左右することになる。この無線装置においても耐雑音性能向上のため雑音制限器および AVC 回路などに十分な考慮をはらい設計を行なったので当社の標準製品である MAR-4 形無線機と同様、耐雑音性能は非常に良好である。
- (4) 受信機の AVC は高周波 トランジスタ に Forward AVC 電 Eを加え、また IF 増幅段には 2 段の Diode AVC 回路を有して おりこれに AVC 電圧を加えることによって、図 4.9 に示すような AVC 特性が得られている.
- (5) 受信音声出力は通常の使用状態で 200 mW 得られるので制御器にある音量調整器によって適当に減衰させて使用する。

4.2 送信回路

(1) この装置は、送受信周波数が同一であって、図 4.6 の 系統図に示すように、受信回路に使用する局部発振回路を、送信 時にも利用するようにしてある。したがって、送信周波数を受信 周波数に合致させるためには、送信時には受信機の中間周波数分

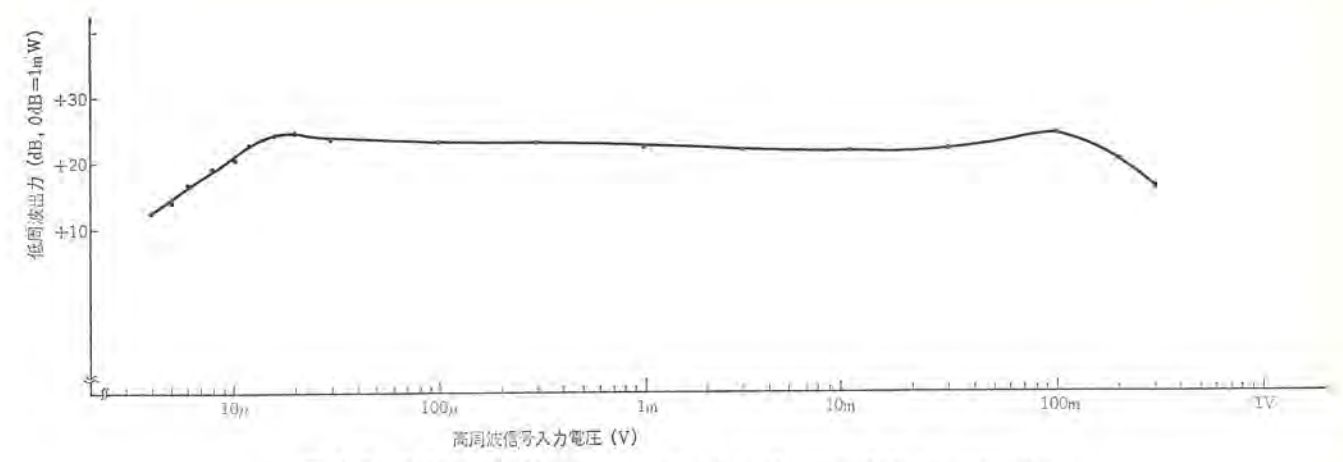


図 4.9 受信部 AVC 特性

Fig. 4.9 Receiver AVC characteristics.

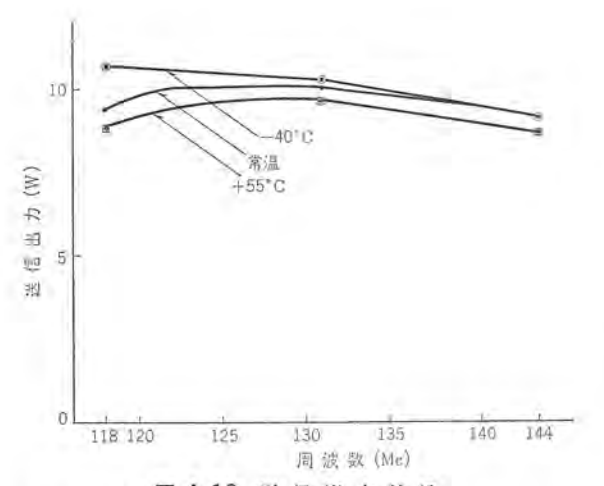


図 4.10 送信出力特性 Fig. 4.10 Transmitter power output characteristics.

だけの補正を行なう必要があり、送信回路には、受信機の中間周波数で発振する副発振回路を有している。こうすることによって、送信時には、受信局発周波数と副発振周波数を混合して送信周波数を発生させることができ、水晶振動子の数が、副発振回路用として1個必要な他には、送受信共用として各 5+ネルに対しそれぞれ1個あればよい。

両発振周波数の混合には、普通の混合器を使用したのでは送信 周波数の近傍での スプリアス 特性が悪いので、とくに平衡変調回路 による混合を行なって スプリアス 特性の向上に努めている.

- (2) 送信部は3本のみ電子管を使用しているが、これは現在の高周波トランジスタを使用した場合、AM 変調で出力 $10 \,\mathrm{W}$ (瞬時出力 $40 \,\mathrm{W}$) を出すものがないためやむをえず電子管とした。終段の電子管は双 ℓ - Δ 管 1B15 を使用しているので全 $f+\lambda \nu$ に わたって安定した出力が得られている。送信出力特性を図 4.10 に示す。
- (3) 変調器は トランジスタ 2N1167A の プッシュブル 増幅器からなり、最終段の陽極および スクリーングリッド 変調, 前段および前々段には スクリーングリッド 変調をかけることによって ヒズミ の少ない変調を行なっている.

またこの装置は約 $1,000 \, \mathrm{c/s}$ の $1,000 \, \mathrm{c/s}$ の

4.3 電源回路

(1) 航空機内の電源としては一般に DC 28 V 系, DC 14 V 航空機用超短波無線電話装置・山口・浜口・村山・三木 系と AC 115 V 400 c/s があるが、この中で一般的なのが DC 28 V 系のものである。 そこでこの装置の入力電源電圧は DC 28 V 系とし、装置の動作可能電圧範囲を $21.6\sim29.7$ V と幅広くしてある。

- (2) 航空機の DC 電源にはかなりの サージ電圧が混入しており、 DC 28 V 系では最大 80 V 程度の サージ電圧が混入する可能性がある。通常このようなサージ電圧がトランジスタ 回路に印加したときは、トランジスタは破損してしまうので、航空機用電子機器には電源電圧の サージ 吸収回路を必要とする。この装置においては波高値が DC 32 V 以上の サージ電圧が混入した場合にその サージ電圧を吸収する サージ電圧保護回路を有している。
- (3) 装置に使用している トランジスタ の電源は直流入力電圧を そのまま使用するか、または 12 V または 18 V に低下させて使 用している。送信時に必要な直流電圧電源は トランジスタ を使用した DC—DC コンバータを送信時にだけ動作させて得ている。

4.4 チャネル切換機構

送受信機は最大 20 波の送受信 チャネル を記録させておくことができるような チャネル 切換機構を有しており、これは制御器によって選択された チャネル 周波数に自動的に送信機および受信機の パリコン が駆動されるような自動同調機能となっている。

自動同調機構は パリコン軸を駆動するための機械的な部分と,駆動用 モータ を制御する制御回路より成っており、その両者は一体となって図 4.5 に示す自動同調部に組み込まれている.

自動同調機構は位相同期発振器を利用したものであって,位相 同期発振器の動作原理(5)(4)についてはすでにくわしく解析されて いるのでとこでは省略する。送受信周波数は水晶振動子の周波数 によって定まるので,この出力を自動同調機構にも利用している。

すなわち図 4.6 において、チャネル 切換時には水晶発振器の出力は自動同調部に加えられ、これと電圧制御発振器 (VCO) の発振周波数とが位相同期したときに生ずる同期信号を利用して駆動用モータ を制御するようにしたものである。電圧制御発振器の発振周波数に位相同期発振するように パリコン軸が駆動されるので、送受信周波数に対応する水晶振動子を水晶切換部の水晶片 ソケット にそう入するのみで チャネル 切換動作はすべて自動的に行なわれ、従来当社で製作していた MAR-4 形無線装置のごとく、ラリセット操作などは必要がない。したがって送受信周波数は 118~144 Mc の中の周波ならばどのような周波数でも、水晶振動子をそう入するだけでただちに通信することができる。

制御回路はすべてもリコントランジスタ化されており、また機械的なメカニズムは非常に単純化されているので信頼性は一段と向上している。位相同期技術を自動同調回路に応用したことによって、従来電気的自動同調方式で生じていた誤動作、とくに外部雑音に起因する誤動作はまったく消滅させることができ、しかも同調の確度も一段と向上させることができた。

5. 制御器および空中線

制御器は航空機とう戦時には操作者の近くに他の電子機器の制御器とともに設置する関係上、その外観構造は航空機によって幾分異なる場合がある。MAR-5 形無線装置用の制御器 MCU-5/MAR-5 は、図 3.3 に示すごとき外観であるが、これは航空機とう戦用電子機器の制御器に最も多く通用されている。米軍規格MS-25212 によったものである。したがってほとんどすべての航空機に装備することができる。

この制御器の制御項目は

- (1) 電源接断
- (2) チャネル 切換
 - (3) 受信音量調整
- (4) 機內通話音量調整
- (5) スケルチ 動作の接断
- (6) トーン 電波の送信

の6項目である.

空中線は 3.1 節で述べたように2種類あり、航空機の種類および速度に応じて選択するようにしている。この空中線はいずれ

も垂直偏波無指向性の空中線であって、118~144 Mc の周波数範囲で空中線 インピーダンス 50 G, VSWR は 2 以下のものである

6. む す び

以上 MAR-5 形航空機用無線電話装置の概要を述べた。この 装置は小形軽量で、小形、中形の航空機にとう載して使用するの に最適であると考えている。また チ+ネル 数が、20 波である関係 から、日本全国に散在するどの飛行場とも管制連絡することがで きるので、運輸業務や報道業務に使用するのにも好適である。

MAR-5 形無線装置は郵政省の型式検定試験を完了しているが、 今後もさらに使用上の経験からの改良や、信頼性の向上に対する 不断の検討を行なう予定である。

一方電子工業の進歩は早く、とくに送信機用 トランジスタ の開発 も、非常な勢いで進んでいるので、近い将来において全トランジスタ 化することを考え、また新しい機種の開発に向って、関係者一同 いっそうの努力をおこたらない所存である。

参考文献

- (1) 平岡ほか: 航空機用超短波無線装置「三菱電機技報」37No. 4 (昭 38)
- (2) RTCA (Radio Technical Commission for Aironautics)
- (3) 河村,小林,村山;位相同期角度変調方式「信学会誌」45 9 (昭 37)
- (4) 河村・小林・太田: FM 通信機における位相同期復調方式 「三菱電機」 34 No. 12 (昭 35)

2 極直流機の軸内ウズ電流損の計算

近藤博通*

Calculation of Eddy Current Loss in the Shaft of Two Pole DC Machine

Central Research Laboratory

Hiromichi KONDO

No-load eddy current loss in the shaft of two-pole DC machine is calculated based on the assumption that (1) permeabilities of the shaft μ_1 and of the core μ_2 and conductivity of the shaft σ are constant, (2) the core has adequate lamination to suppress any effect of eddy currents in the core, (3) the radial component of magnetic induction is given an ideal square wave distribution at the boundary, and (4) the physical quantities are all uniform along the axis. When the next relation holds good:

 $\sqrt{\sigma\mu_1\omega a}\gg 1$, where ω is the angular velocity of the core rotation and a is the radius of the shaft, the calculation furnishes quite a simple formula for the evaluation of loss. Discussions are made on the calculation of field distribution in the core deduced from the above assumption. The method of calculation can easily be applied to the case of four or more than four pole machine. If the case demands, it would also be applicable to the estimation of the shaft loss under load through an addition of a few more simplified assumptions.

1. まえがき

回転機に関する種々の問題を理論的に考察する場合に回転多極 電磁界配位の解(いは一つの有力な手がかりを与える. それは

ただし き=ωt+m0

 $m=1, 2, 3, \dots$

で与えられるもので、次の諸項を仮定することによって導かれる.

- (1) すべての物理量はz軸に沿って一様である。すなわち a/az=0
- (2) 各媒質の透磁率,誘電率および導電率はその媒質の中で一様一定である.したがって ヒステリシス 損は発生しない.

直流機を考察する場合には観測者をその回転軸の上に移し、電機子と同じ角度で回転させると考えやすい。 観測者から見れば電機子は静止しているように感じられ、界磁と ブラシ がそれらの空間的な位置関係を変えることなく、電機子と逆方向に同じ角速度で回転しており、式 (1.1) で与えられる回転的な電磁界が観測されることとなる。

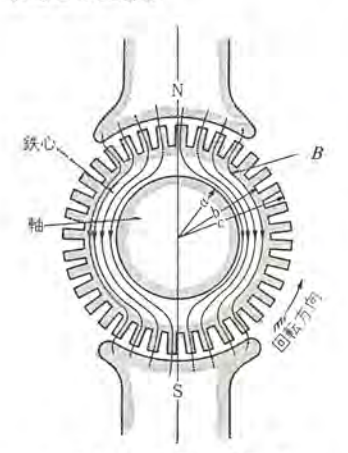


図 1.1 2 極 直 流 機 Fig. 1.1 Two pole DC machine.

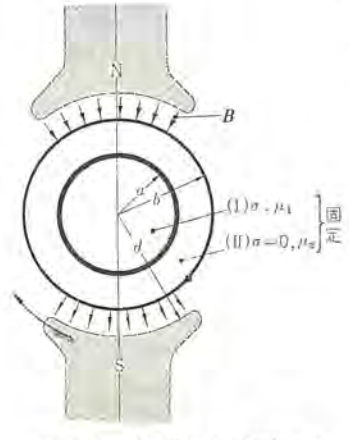


図 1.2 単純化した2極機 モデル Fig. 1.2 Simplified model of two pole DC machine.

図1.1はこの論文において扱おうとする直流機の構造を略図的に示したものである。容易に想像されるように、4 極以上の多極直流機にあっては、軸が鋼などの強磁性体で作られていてもその中への磁束のしみ込みはわずかであるのに対して、図に示すような2極機では静止時には軸中にかなりの磁束がしみ込んでいるはずであって、軸の回転に伴って発生するウズ電流損は多極機に比べてずっと大きくなる。この論文は図のような2極直流機の無負荷時の軸内ウズ電流損を略算するためのなるべく簡単な計算式を求める方法について論じたものである。

図 1.1 に示した 2 極機の形はそのまま取り扱うにはまだかなり複雑である。しかし多数個ある電機子歯の個々の形状の効果は軸から見れば平均化され,たとえば電機子歯は単に主磁極から出た磁束を半径方向に向きをそろえて鉄心中に入れるというように単純化して考えることが可能である。図 1.2 はこのような単純化を行なった結果得られる 2 極機の $\pm r_{\rm D}$ を示したものである。ここでは電機子として r=b すなわち $z_{\rm Do}$ ト の底までを考えることによって電機子の形を単純な同心円筒配位に直し,電機子歯を考える代わりに主磁極から出た磁束が漏れることなく,r=b をよぎって入り込んで来るものとする。図 1.3 はこのとき r=b における磁束密度の r 方向成分を与えたものである。ただし図中磁束密度の最大値 B_m は次式で与えられる。

$$bB_m = dB_a$$
(1.2)

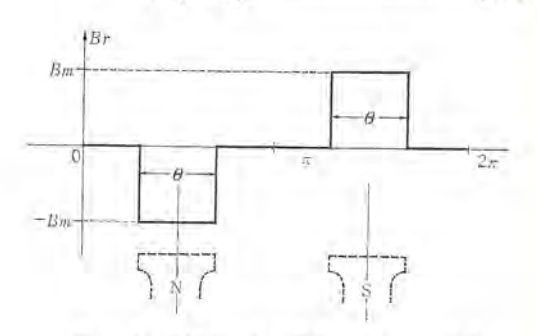


図 1.3 単純化した2極機 モデル における r=b 上の磁界分布

Fig 1.3 Flux distribution in the model machine.

B。は主磁極表面における磁束密度である.

さらに計算を簡単化するため鉄心 (a<r<b) の積層は十分にお こなわれていて鉄心中の ウス 電流の効果は考えなくてもよいもの とする。これは鉄心の遵電率を 0 とおくことに相当する。

これらの単純化仮定を用いると鉄心中の磁束密度分布もかなり 簡単な形に求めることができる。この論文の最後の部分ではその 結果を用いて一例について数値計算を行なった。

なお式 (1.1) に与えた m は極対数に相当するのでこの文中で扱う 2 極機に対しては m=1 である.

2. 電磁界計算

図 1.2 に示した モデル について Maxwell の式を適用する. まず領域 (I) すなわち軸の内部では

rot
$$H_{(1)}=j$$

 $j=\sigma E$
rot $E=-\mu_1(\partial H_{(1)}/\partial t)$
div $H_{(1)}=0$

また領域(Ⅱ) すなわち鉄心の内部では

$$\begin{array}{c} \operatorname{rot} \ \textit{\textbf{H}}_{(II)} \! = \! 0 \\ \operatorname{div} \ \textit{\textbf{H}}_{(II)} \! = \! 0 \end{array} \right\} \quad \cdots \cdots \cdots (2.2)$$

が成立する. これらを境界条件

を用いて解く. ただし μ_1 , μ_2 はそれぞれ軸材料および鉄心の透磁率, σ は軸材料の導電率, a, b は図 1. 1 に示すようにそれぞれ軸および 20 ット 底部の半径を表わし, また

$$\xi = \omega t + \theta$$
(2.6)

$$f(\xi) = \frac{4B_m}{\pi} \sum_{n=1}^{\infty} \left[\frac{(-1)^{n+1}}{2n-1} \sin\left\{ (2n-1)\frac{\Theta}{2} \right\} \right] \sin(2n-1)\xi$$

である。図1.3はt=0 における $f(\xi)$ を示している。

2.1 領域(I)の解

式 (1.1) に従って領域 (1) における磁界の半径方向成分を $H_{(1)r}=A(r)e^{iN\xi}+B(r)e^{-iN\xi}$(2.8)

とおいて式 (2.2) に代入すると

$$r^{2}\frac{d^{2}\chi}{dr^{2}}+r\frac{d\chi}{dr}-(N^{2}+i\sigma\mu_{1}N\omega r^{2})\chi=0$$

が得られる。ただし $\chi(r)=rA(r)$ である。 $z=\sqrt{i}\sqrt{\sigma}\mu_1N\omega r$ とおくと上式は変形された Bessel 方程式

$$\frac{d^2\chi}{dz^2} + \frac{1}{z} \frac{d\chi}{dz} - \left(1 + \frac{N^2}{z^2}\right) \chi = 0 \qquad \dots (2.9)$$

に還元される. したがって x 一つの解の組は

$$\chi = \begin{cases} I_N(z) = I_N(\sqrt{i}R) = \operatorname{ber}_N R + i \operatorname{bei}_N R \\ K_N(z) = K_N(\sqrt{i}R) = \operatorname{ker}_N R + i \operatorname{kei}_N R \end{cases} \cdots (2.10)$$

と書ける。R および $\mathrm{ber}_N R$, $\mathrm{bei}_N R$ などは実数である。 $H_{(1)8}$ の解との対称性を保つために以下では式 (2.10) に (1+i) を乗じて得られる解

$$\begin{split} A(R) = & A_1 \{ (\text{ber}_{N-1}R + \text{ber}_{N+1}R) + i(\text{bei}_{N-1}R + \text{bei}_{N+1}R) \} \\ & + A_2 \{ (\text{ker}_{N-1}R + \text{ker}_{N+1}R) + i(\text{kei}_{N-1}R + \text{kei}_{N+1}R) \} \end{split}$$

を用いることとする.(1)

式 (2.10) から A(r) を求める際に 1/r を乗じているので、境

界条件式 (2.3) を考慮して $\chi(0) \Rightarrow 0$ なる解は除外される.

$$ber_1(0) = ber_2(0) = \cdots = 0$$

 $bei_1(0) = bei_2(0) = \cdots = 0$
 $ker_1(0) = ker_2(0) = \cdots = \infty$

$$kei_1(0) = kei_2(0) = \cdots = \infty$$

であるから結局 A(r) の解は

 $A(R)=A\{(\operatorname{ber}_{N-1}R+\operatorname{ber}_{N+1}R)+i(\operatorname{bei}_{N-1}R+\operatorname{bei}_{N+1}R)\}$ と書ける。同様にして

 $B(R)=B\{(\operatorname{ber}_{N-1}R+\operatorname{ber}_{N+1}R)-i(\operatorname{bei}_{N-1}R+\operatorname{bei}_{N+1}R)\}$ が得られる。 すたわち求める解は

$$H_{(\bar{1})r} = \sum_{N=1}^{\infty} \{A_N(\alpha_N + i\beta_N)e^{iN\xi} + B_N(\alpha_N - i\beta_N)e^{-iN\xi}\}$$
(2.11)

となる。ただし A_N , B_N は任意定数, また

$$A_N$$
, B_N は任意定数,また $\alpha_N = \operatorname{ber}_{N-1} R + \operatorname{ber}_{N+1} R$ $\beta_N = \operatorname{bei}_{N-1} R + \operatorname{bei}_{N+1} R$ (2.12)

である。式 (2.11) で N=0 が除かれているのは、0 < r < a の任意の半径の円筒面を考えれば、それをよぎって流入する磁束の総和が 0 であることから当然である。

磁界の θ 成分 $H_{(1)\theta}$ は式 (2.12) の結果を式 (2.1) の最後の式に代入して、ただちに求められる。すなわち

ただし

$$\gamma_N = \operatorname{ber}_{N-1} R - \operatorname{ber}_{N+1} R$$

 $\delta_N = \operatorname{bei}_{N-1} R - \operatorname{bei}_{N+1} R$ $\}$ (2.14)

である。 軸中に誘起される電流はz方向成分のみからなるが、その値は上記の結果を式 (2.1) の最初の式に代入してただちに求められる。 すなわち

$$j_z = -\sigma \mu_1 \omega r \sum_{N=1}^{\infty} (1/N) \{ A_N (\omega_N + i\beta_N) e^{iN\xi} + B_N (\omega_N - iB_N) e^{-iN\xi} \}$$
(2. 15)

が得られた。

2.2 領域 (II) の解

前と同様に

$$H_{(II)r} = C(r)e^{iN\xi} + D(r)e^{-iN\xi}$$
(2.16)

とおき式 (2.2) に代入すると

$$H_{(II)r} = \sum_{N=1}^{\infty} \{C_N r^{N-1} + D_N r^{-N-1}\} e^{iN\xi} + (E_N r^{N-1} + F_N r^{-N-1}) e^{-iN\xi} \} \qquad (2.17)$$

が得られる。θ 成分は

$$H_{(II)\theta} = \sum_{N=1}^{\infty} \{i(C_N r^{N-1} - D_N r^{-N-1})e^{iN\xi} - i(E_N r^{N-1} F_N r^{-N-1})e^{-iN\xi}\} \qquad (2.18)$$

で与えられる.

2.3 任意定数の決定

式 (2.11), (2.13), (2.15), (2.17) および (2.18) に含まれる 任意定数 $A_N \sim F_N$ はまだ使用していない境界条件 (2.4) および (2.5) から決定される。まず式 (2.4) から

$$A_{N}\{\alpha_{N}(\bar{a})+i\beta_{N}(\bar{a})\}=C_{N}a^{N-1}+D_{N}a^{-N-1}$$

$$B_N\{\alpha_N(\bar{a})-i\beta_N(\bar{a})\}\!=\!E_Na^{N-1}\!+\!F_Na^{-N-1}$$

$$A_N\{\gamma_N(\bar{a})+i\delta_N(\bar{a})\}=C_Na^{N-1}-D_Na^{-N-1}$$

$$B_N\{\gamma_N(\bar{a}) - i\delta_N(\bar{a})\} = E_N a^{N-1} - F_N a^{-N-1}$$

三菱電機技報 · Vol. 39 · No. 6 · 1965

48 (796)

さらに式 (2.5) から

$$\begin{split} &\mu_2(C_Nb^{N-1} + D_Nb^{-N-1})e^{iN\xi} \\ &= i\frac{2B_m}{\pi} \Big\{ \frac{(-1)^n}{2n-1} \sin{(2n-1)} \frac{\Theta}{2} \Big\} e^{i(2n-1)\xi} \\ &\mu_2(E_Nb^{N-1} + F_Nb^{-N-1})e^{-iN\xi} \\ &= -i\frac{2B_m}{\pi} \Big\{ \frac{(-1)^n}{2n-1} \sin{(2n-1)} \frac{\Theta}{2} \Big\} e^{-i(2n-1)\xi} \end{split}$$

が得られる。ここでは便宜上 $\alpha_N(\bar{a})$, $\beta_N(\bar{a})$ などの記号を用いたがこれらは $\alpha_N(\sqrt{\sigma\mu_1N\omega a})$, $\beta_N(\sqrt{\sigma\mu_1N\omega a})$ の意味である。以下 $\text{ber}_N(\bar{a})$ なども同様の意味に使用することとする。上の結果から N は奇数値しかとりえないこと,すなわち

$$N=2n-1$$
 (n=1, 2,)(2.19)

が明らかである。また

$$A*=B, C*=E, D*=F$$
(2.20)

であることもすぐわかる。ただし*は共役複素数を表わす。計算 の結果だけしるせば

$$A_{2n-1}=P_{2n-1}+iQ_{2n-1}$$

ただし

$$\begin{split} P_{2n-1} &= \frac{2B_m}{\mu_2 \pi M} \left\{ \frac{(-1)^n}{2n-1} \sin{(2n-1)} \frac{\Theta}{2} \right\} \\ & \left\{ \text{bei}_{2n-2}(\bar{a}) + \eta^{2(2n-1)} \text{bei}_{2n}(\bar{a}) \right\} \\ Q_{2n-1} &= \frac{2B_m}{\mu_2 \pi M} \left\{ \frac{(-1)^n}{2n-1} \sin{(2n-1)} \frac{\Theta}{2} \right\} \\ & \left\{ \text{ber}_{2n-2}(\bar{a}) + \eta^{2(2n-1)} \text{ber}_{2n}(\bar{a}) \right\} \\ \eta &= a/b \quad (<1) \\ M &= \eta^{2-2n} [\{ \text{ber}_{2n-2}(\bar{a}) + \eta^{2(2n-1)} \text{ber}_{2n}(\bar{a}) \}^2 \\ &+ \{ \text{bei}_{2n-2}(\bar{a}) + \eta^{2(2n-1)} \text{bei}_{2n}(\bar{a}) \}^2] \end{split}$$

また

$$\begin{split} &C_{2n-1}\!=\!a^{2n-2}A_{2n-1}\{\operatorname{ber}_{2n-2}(\bar{a})+i\operatorname{bei}_{2n-2}(\bar{a})\}\\ &D_{2n-1}\!=\!a^{2n}A_{2n-1}\{\operatorname{ber}_{2n}(\bar{a})+i\operatorname{bei}_{2n}(\bar{a})\} \end{split}$$

である. 以上の結果を式 (2.15) に代入すると

が得られる.

が得られた

3. 軸中のウズ電流損

式 (2.21) によって軸中の電磁分布が求められたのでそのため に発生する ジュール 損は積分

$$W = (1/T) \int_0^T \int_0^a \frac{1}{\sigma} j_z^2 2\pi r \, dr \, dt \quad [W/m] \quad \cdots (3.1)$$

によって与えられる。これが求める ウズ電流損である。ただし上式は軸の方向長さ $1 \, \mathrm{m}$ あたりの値であり,T は $1 \, \mathrm{回転に要する}$ 時間である。上式に式(2.21)を代入し,一方公式(2)

$$\begin{aligned} &\alpha_{2n-1} \!=\! \operatorname{ber}_{2n-2} \!+\! \operatorname{ber}_{2n} \!=\! -\sqrt{2}\,(2n-1)(\operatorname{ber}_{2n-1} \!-\! \operatorname{bei}_{2n-1})/R \\ &\beta_{2n-1} \!=\! \operatorname{bei}_{2n-2} \!+\! \operatorname{bei}_{2n} \!=\! -\sqrt{2}\,(2n-1)(\operatorname{ber}_{2n-1} \!+\! \operatorname{bei}_{2n-1})/R \end{aligned}$$

$$\int x(\operatorname{ber}_n{}^{g}x + \operatorname{bei}_n{}^{g}x) dx = x(\operatorname{ber}_nx \operatorname{bei}_n{}^{g}x - \operatorname{bei}_nx \operatorname{ber}_n{}^{g}x)$$

(ただし $ber_n'x$, $bei_n'x$ はそれぞれ x に関する微分を表わす) を用いて整頓すれば

4. 近似計算

前節に求めた W の計算式は高次の ber, bei 関数を含んでいて複雑であるのでもう少し取り扱いやすい形に直したい. 軸材料として鋼鉄を使用する実際の直流機にあってはこれら関数に含まれる編角 a は大抵の場合は 1 よりかなり大きい状態で運転されるので次の近似式を適用することができる. (2)

$$\operatorname{ber}_{n} x \simeq (e^{x/\sqrt{2}}/\sqrt{2\pi x}) \cos(x/\sqrt{2} - \pi/8 + n\pi/2)$$

bei_n
$$x \simeq (e^{x/\sqrt{2}}/\sqrt{2\pi x}) \sin(x/\sqrt{2} - \pi/8 + n\pi/2)$$

$$\operatorname{ber}_{n}'x \simeq (e^{x/\sqrt{2}}/\sqrt{2\pi x})\cos(x/\sqrt{2}+\pi/8+n\pi/2)$$

bei'
$$x \simeq (e^{x/\sqrt{2}}/\sqrt{2\pi}x) \sin(x/\sqrt{2}+\pi/8+n\pi/2)$$

これらを式 (3.2) に代入整頓すれば

$$W \simeq \frac{32\sqrt{2} a\sqrt{\mu_1 \omega} B_m^2}{\pi \sqrt{\sigma} \mu_2^2} \sum_{n=1}^{\infty} \frac{\eta^{4(n-1)} \left\{ \sin(2n-1) \frac{\Theta}{2} \right\}^2}{(2n-1)^{5/2} \left\{ 1 - \eta^{3(2n-1)} \right\}^2} \quad [\text{W/m}]$$

が求められる. 上式の近似の成り立つ条件は

$$\sqrt{\sigma\mu_1\omega} a\gg 1$$
(4.3)

であるが、左辺が 10 程度でも式 (3.2) との差は非常に小さい.式 (4.2) の級数の各項は n が 1 より小さくなるにつれて急速に減衰し、普通の直流機に見られるように 0.3 < n < 0.7 程度では第 2 項以下の項の寄与を無視しても大きい誤差は生じない。すなわち

$$W \simeq \frac{32\sqrt{2} \, a\sqrt{\mu_1 \omega B_m^2 \sin^2 \frac{\Theta}{2}}}{\pi \sqrt{\sigma \, \mu_2^2 \{1 - \eta^2\}^2}}$$
 (4.4)

がなりたつ。式 (4.3) は表皮効果が著しい場合に成立し、表皮厚さは $1/\sqrt{\sigma}$ に比例し一方表皮電流の大きさはほぼ一定(静止時に軸内部に入り込んでいた磁束を打ち消すに足る電流)であることを考えれば上に求めた近似式が $1/\sqrt{\sigma}$ に比例することが容易に理解される。

数値例として

$$a=0.024$$
, $b=0.0435$, $(\eta=0.55)$

$$\Theta = 117^{\rm n}$$
 $\sigma = 5 \times 10^6$ [v/m]

$$\mu_1\!=\!10^3\mu_0\!=\!1.26\!\times\!10^{-3}$$

$$\mu_2\!=\!10^3\mu_0\!=\!1.26\!\times\!10^{-3}$$

$$B_m = 1.3 \text{ Wb/m}^2$$

を与えて計算してみると

が得られる。回転数が 1,500 rpm のとき、W はほぼ $108\,\mathrm{W/m}$ の程度となる。

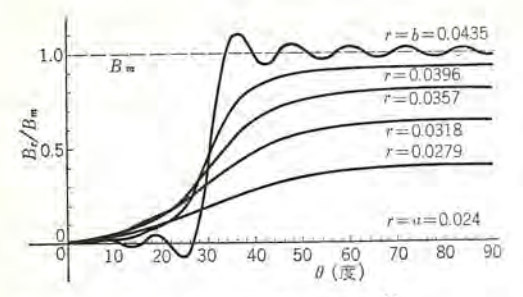
5. 鉄心中の磁界分布

最後に式(2.17) および(2.18) に求めた結果を用いて鉄心中の磁界分布を計算する。複雑を避けるためここでも前節の近似を採用しよう。そのとき

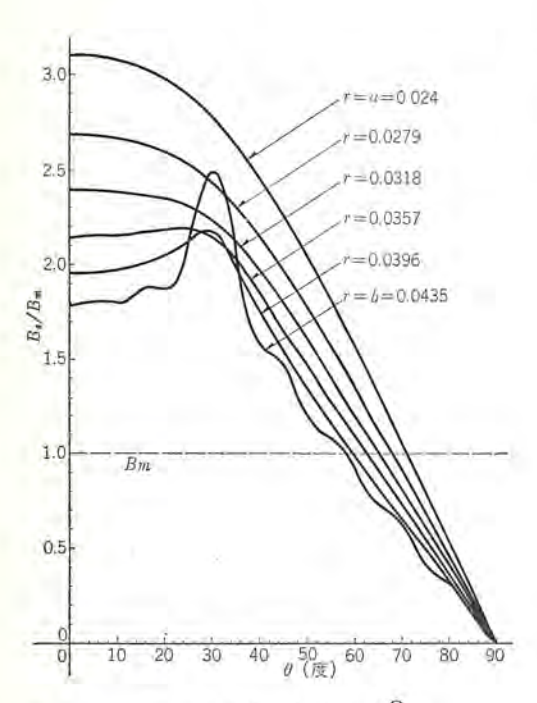
$$C_{2n-1} = E^{*}_{2n-1} = i \frac{2B_m(-1)^n \sin{(2n-1)}\frac{\Theta}{2}}{(2n-1)\mu_2\pi b^{2n-2}(1-\eta^{2(2n-1)})}$$

$$W = \frac{64a\sqrt{\mu_1\omega}B_m^2}{\pi\sqrt{\sigma}\mu_2^2} \sum_{n=1}^{\infty} \frac{\eta^{4(n-1)} \left\{ \sin{(2n-1)\frac{\Theta}{2}} \right\}^2 \left\{ \operatorname{ber}_{2n-1}(\bar{a})\operatorname{bei}_{2n-1}(\bar{a}) - \operatorname{bei}_{2n-1}(\bar{a})\operatorname{ber}_{2n-1}(\bar{a}) \right\}}{(2n-1)^{3/2} \left[\left\{ \operatorname{ber}_{2n-2}(\bar{a}) + \eta^{2(2n-1)}\operatorname{ber}_{2n}(\bar{a}) \right\}^2 + \left\{ \operatorname{bei}_{2n-2}(\bar{a}) + \eta^{2(2n-1)}\operatorname{bei}_{2n}(\bar{a}) \right\}^2 \right]}$$

$$(3.2)$$



$$\boxtimes 5.1 \qquad \frac{B_r}{B_m} \approx -\frac{4}{\mu_2 \pi} \sum_{n=1}^{15} \frac{(-1)^n \sin{(2n-1)} \frac{\Theta}{2}}{(2n-1)(1-\eta^{2(2n-1)})} \\ \left(\frac{r^{2n-2}}{b^{2n-2}} - \frac{a^{2(2n-1)}}{b^{2n-2}r^{2n}} \right) \sin{(2n-1)} \xi \\ a = 0.024 \qquad b = 0.0435 \qquad \eta = 0.552$$



 $\boxtimes 5.2 \qquad \frac{B\theta}{Bm} = -\frac{4}{\mu_2 \pi} \sum_{n=1}^{15} \frac{(-1)^n \sin(2n-1) \frac{\Theta}{2}}{(2n-1)(1-\eta^{2(2n-1)})} \\ \qquad \qquad \left(\frac{r^{2n-2}}{b^{2n-2}} + \frac{a^{2(2n-1)}}{b^{2n-2}r^{2n}}\right) \cos(2n-1) \xi \\ a = 0.024 \qquad b = 0.0435 \qquad \eta = 0.552$

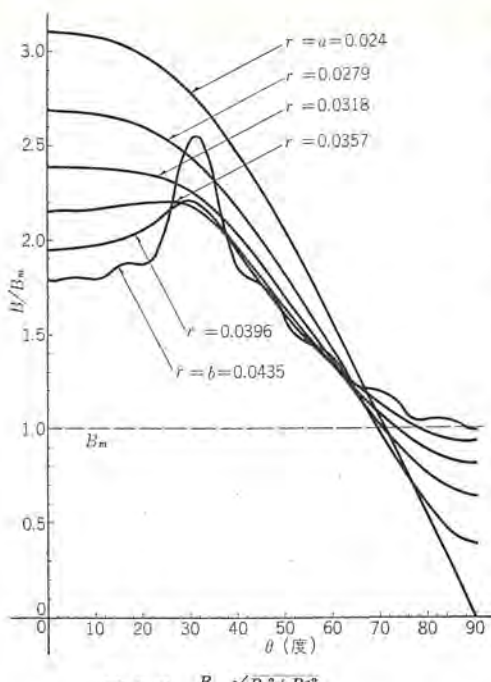


図 5.3 $\frac{B}{B_m} = \frac{\sqrt{B_r^2 + B\theta^2}}{B_m}$ (B_r , B_θ は図 5.1, 5.2 に示した近似解を使用)

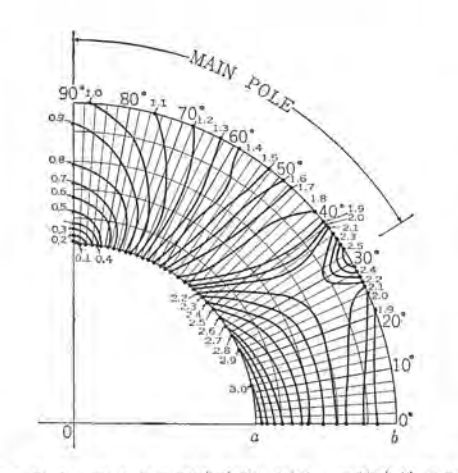


図 5.4 鉄心中の磁束密度 $B|B_m$ の等高線表示 Fig. 5.4 Flux mapping in the iron core.

が求められる. これらは近 似式であるが r=b のとき H(II)r の値は境界条件 (2. 5) を正確に満足している。 図5.1および図5.2は去 (5.1) の結果を, 第29高 調波までを4章に示した数 値例の直流機について数値 計算した結果を示したもの である. ただし タテ 軸は Bm について基準化した磁 東密度の各方向成分の値で 示した. またこれらの図は すべて t=0 の時点につい て、0≤€≤90°の範囲だけ を示しているが, θ の他の 値に相当する磁界の値は対 称性の考えから容易に導か れ, また時間的にはここに 示された形の磁界配位が回 転していると考えればよい。 鉄心各部の磁束密度の値

鉄心各部の磁束密度の値は

$$B(r_1\xi) = \mu_2 \sqrt{H^2_{(\Pi)r} + H^2_{(\Pi)\theta}} \cdots (5.2)$$

によって求められる. $H_{(II)}$, $H_{(II)}$, 化上で求めた値を代入し、その結果を図 5.3 に等高線的に示した.

6. to t V

この論文ではいくつかの 単純化仮定を用いて,2極 直流機の無負荷時の鉄心お よび軸中の磁界分布および 軸中の ウズ電流損の解析解

が求められ、実用的な近似式が示された. 一つの構造寸法のもの についてこれらの結果を適用して数値例が示された.

以上の計算方法は2極以外の多極機の軸中渦電流損,あるいは 鉄心中の磁界分布の計算にも容易に適用される。またこれらはい ずれも無負荷時についての値を与えているが、さらに拡張して負 荷状態を記述するように修正することも可能であると思われる。

この論文に示した計算は当社神戸製作所直流機設計課高月課長 のご提案に基づいて行なわれたものである.

(昭 40-5-7受付)

参考文献

- (1) 近藤, 利岡: 電学誌 84 905 (昭 39)
- (2) H. B. Dwight: Tables of Integrals and Other Mathematical Data, Macmillan Co. New York (1962)

 $D_{2n-1}\!\!=\!\!F\!\!*_{2n-1}\!\!=\!\!-i\frac{2B_m(-1)^na^{2(2n-1)}b^{2-2n}\sin(2n\!-\!1)\frac{\Theta}{2}}{(2n\!-\!1)\mu_2\pi(1\!-\!\eta^{2(2n\!-\!1)})}$

であるから,式 (2.17), (2.18) に代入して

$$\begin{split} H_{(11)_T} &= -\frac{4B_m}{\mu_2\pi} \sum_{n=1}^{\infty} \frac{(-1)^n \sin(2n-1)\frac{\Theta}{2}}{(2n-1)\{1-\eta^{2(2n-1)}\}} \\ &\qquad \qquad \left(\frac{r^{2n-2}}{b^{2n-2}} - \frac{a^{2(2n-1)}}{b^{2n-2}r^{2n}}\right) \sin{(2n-1)\xi} \end{split}$$

$$H_{(\Pi)\theta} = -\frac{4B_m \sum_{n=1}^{\infty} \frac{(-1)^n \sin(2n-1)\frac{\Theta}{2}}{(2n-1)\{1-\eta^2(2n-1)\}} \left(\frac{r^{2n-2}}{b^{2n-2}} + \frac{a^{2(2n-1)}}{b^{2n-2}r^{2n}}\right) \cos(2n-1)\xi$$
.....(5.1)

30 MeV フィールドバイアス形ベータトロン (2)

田中 修* · 広 三 寿* · 池 田 洋*

30 MeV Flux-Forced Field-Biased Betatron (2)

Central Research Laboratory

Osamu TANAKA · Sanju HIRO · Hiroshi IKEDA

From "self-expansion" phenomena and continuous variation of the nominal orbit radius peculiar to the betatron, information of interest about the electronic orbits of the betatron has been made available. Characteristics of the X-ray output as a function of DC bias are complicated. The out-put has been obtained with various bias angles up to 45° (29 MeV)

As a typical application of it, the technique of radiography has been developed with the high energy X-ray generated by the betatron and its use has been extended to the detection of faults by radiographic operation on heavy metal objects.

1. まえがき

30 MeV フィールドバイアス 形 ベータトロン (1) に引き続き、主として フィールドバイアス をかけた場合の運転を行ない、その性能・特長 について、さらにくわしく調べた。この ベータトロン 特有の セルフェ クスパンジョン の現象と安定軌道半径が連続可変であることから電子 軌道について興味ある知識が得られた。また高 ェネルギ X 線による ラジオグラフィ の技術が進歩し、重量金属物体の透過試験にも使用されている。図 1.1 は正面から見た本体である。

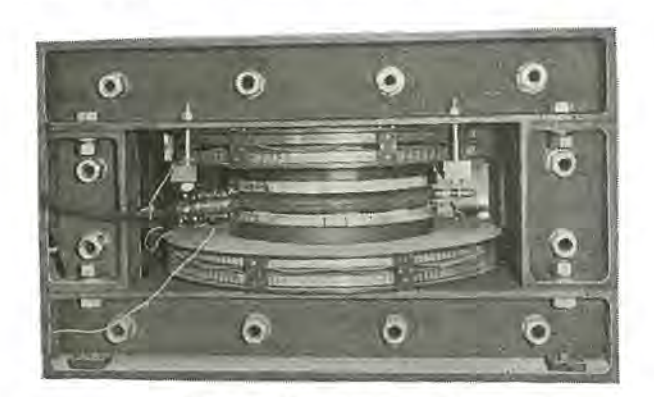


図 1.1 ベータトロン 本体 Fig. 1.1 The head of the betatron.

2. 実 験

2.1 フィールドバイアスをかけたときの X 線出力特性

交流励磁の上に パイァス をかけることにより,電子の加速期間を長くすることができ,したがって加速 エネルギ を大きくすることが可能である. パイァス 電流を変えて,加速 エネルギ を大きくしたときの X 線出力を測定した結果の一例を図 2.1 に示す. X 線出力は Victoreen 社製 = $F_{\square \square}$ Model 575, $f_{\square \square}$ = f_{\square} =

加速 xネルギ を X 線による光核反応の 5キイ 値 E_{th} から較正したところ,交流の励磁電流 130 A (rms), 45° パイァス 角 (直流 130 A) で 29.0 MeV であることが確められた。 較正に用いた光核反応は 64 Zn (γ, n) 63 Zn $(E_{th}=11.6$ MeV) および 12 C (γ, n)

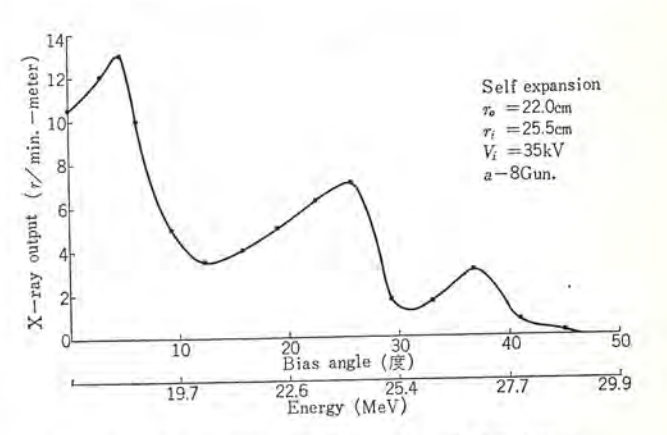


図 2.1 フィールドパイテス をかけたときの X 線出力特性 Fig. 2.1 Characteristics of X-ray output as a function of DC bias angle.

¹¹C (Eth=18.7 MeV) で、この2点から求めた。

X線の出力特性は直流磁界の パップス 補正を行なうことにより かなり変わってくるところから,入射時近辺の パップス,とくに直 流磁界の パップス の影響を見のがすことはできない.

エクスパンジョン をかけたときとかけないときの X 線出力を比べると、一般に エクスパンジョン をかけたときが大きい。これは セルフェクスパンジョン による場合、X 線が減速過程で発生することが多く、最大磁界近辺の エクスパンジョン による X 線が エネルギ が高く当然のことといえる。

2.2 電子の瞬時軌道方程式

ベータトロン の電子軌道の理論(1)から瞬時軌道の方程式を求めると

$$x = \left(\frac{r}{r_1}\right)^{2-n} = x_0 - \frac{X}{\cos \Delta} \cdot \frac{\sin \tau_0 \cdot \cos \Delta + \cos(\tau - \tau_0) \sin \Delta}{\sin(\tau - \tau_0) + \sin \tau_0} + \frac{K}{\sin(\tau - \tau_0) + \sin \tau_0} \qquad (2.1)$$

ただし

$$x_0 = \left(\frac{r_0}{r_1}\right)^{2-n} = \frac{1-n/2}{1-n} \cdot \frac{H_1}{H_2} \cos \Delta - \frac{1}{1-n} \quad \cdots (2.2)$$

$$X = \frac{1 - n/2}{1 - n} \cdot \frac{H_1}{H_2} \cos \Delta = x_0 + \frac{1}{1 - n}$$
(2.3)

で、K は電磁石の幾何学的条件および入射時の初期条件によって決められる.

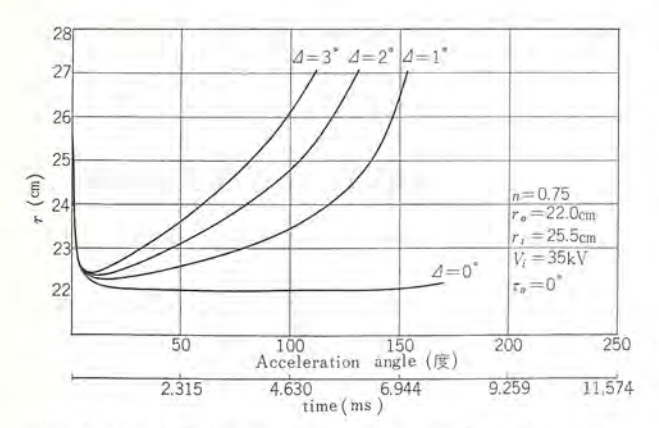


図 2.2 τ₀=0° として, 位相差 Δ による瞬時軌道の変化 Fig. 2.2 Variation of the instantaneous orbit for different values of phase shift Δ with τ₀=0°.

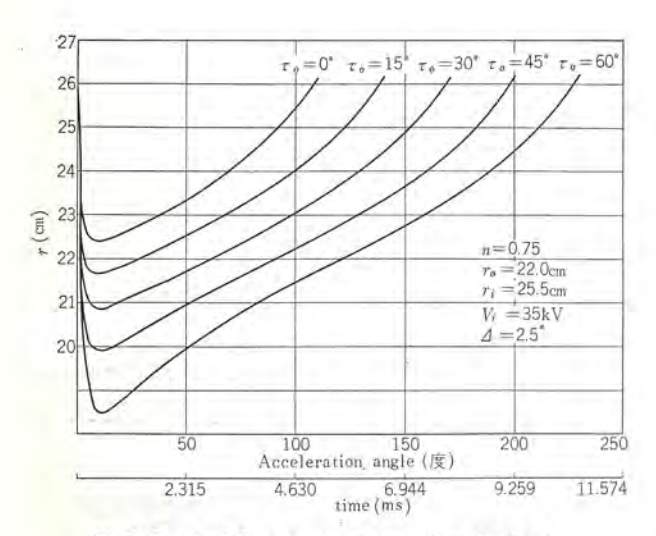


図 2.3 △=2.5° として, バイァス 角 τ₀ を変えた ときの瞬時軌道の変化 Fig. 2.3 Variation of the instantaneous orbit for five

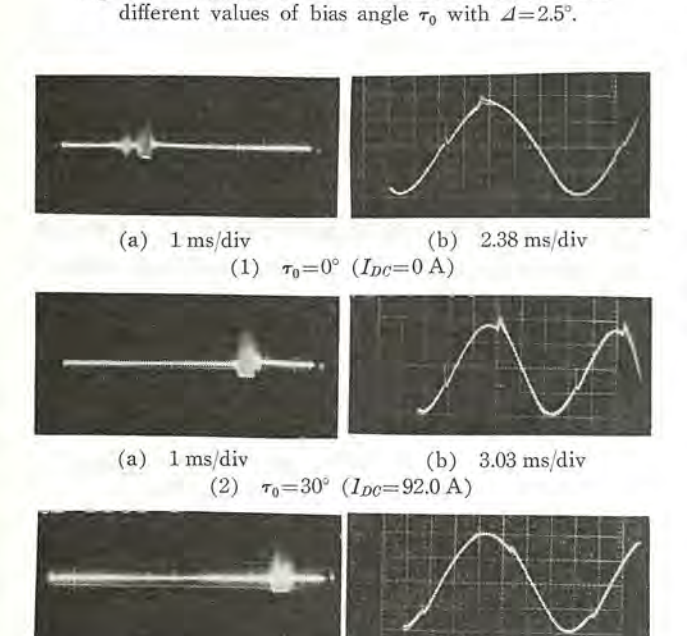


図 2.4 パイアス 電流を変えた場合の セルフエクスパンジョン による X 線出力 パルス (ガン: a-8)

(3) $\tau_0 = 45^{\circ} (I_{DC} = 130 \text{ A})$

(b) 2.38 ms/div

Fig. 2.4 X-ray output pulse under the self-expansion condition as a function of DC bias angle (Gun name; a-8).

2.3 軌道計算と実験の比較

2.3.1 位相差およびバイアス角の変化に対する瞬時軌道

n=0.75 とし、初期条件として、入射電圧 $V_t=35\,\mathrm{kV}$ 、入射位置 $r_t=25.5\,\mathrm{cm}$ 、 $r_0=22.0\,\mathrm{cm}$ 、パイアス 角 $r_0=0^\circ$ とし、位相差 Δ を パラメータ として、計算を軌道磁界 0 からの加速角について、減速過程にまで拡張して行なった。その結果を図 $2.2\,\mathrm{km}$ に Δ か大きいほど速い時間で電子は ターゲット に衝突する。パイアス をかけない状態で、セルフェクスパンジョン によって発生する X 線を シンチレーションカウンタ で検出し、シンクロスコーラ に入射 パルス で外部掃引して観測したところ、入射時から セルフェクスパンジョン 時までの時間が $3.0\sim3.6\,\mathrm{ms}$ あった。したがって計算との比較から Δ は 2° ないし 3° あることがわかる。

次に $d=2.5^\circ$ として,同じ初期条件で、 τ_0 を パラメータ として計算した結果を図2.3 に示す。これから τ_0 が小さいところで、セルフエクスパンジョン は加速過程に、 τ_0 の大きいところでは減速過程に発生することがわかる。図 2.4 は計算値とほぼ同じ入射条件として、交流の励磁電流 130 A (rms) で、パイアス 電流 I_{DC} を変えて実験を行なったうちの一例で、 $\tau_0=0^\circ$ 、30°、45° の場合である。(a) 図はいずれも入射 パルス で外部掃引されており、セルフエクスパンジョン により発生する X 線 パルス を観測したものである。(b) 図は磁界とほぼ同位相の電圧を I ネルギ 設定のための積分回路から取り出し、さらに入射 パルス および セルフエクスパンジョン による X 線 パルス を混合して、 オッシロスコープ に入れて観測したものである。この実験から パイアス 電流が増加すると電子軌道が大回わりをし、ターゲット に衝突する時間が遅れてくることを明確に示している。

2.3.2 入射電圧および入射位置を変えたときの瞬時軌道

初期条件のうち入射電圧だけを変えて軌道計算を行なったが、 入射電圧の低い場合、軌道収縮の最も大きいところで、ほんの少 し内側に入りこむ以外はほとんど変化はみられなかった。実験の 結果も セルフェクスパンジョン 時はどの パイァス 角の場合でも変化は認 められなかった。

次に入射位置 r_i のみを変えた場合の計算例を図 2.5 に示す。 これは r_0 =0°, 15° とした r_i =25.0 cm の場合で,比較のために r_i =25.5 cm の計算結果を入れてあるが,瞬時軌道はほとんど変わっていない。 r_i =25.5 cm と r_i =25.25 cm の場合の実験結果を図 2.6 に示すが,各 パイァス 角で, r_i =25.25 cm の場合, t_{NOID} の場合。 でいない。 なり付けられたものであり, r_i は r_i と相対的に固定された位置にあるから, r_i =25.25 cm の場合は r_i =25.5 cm の場合より r_i

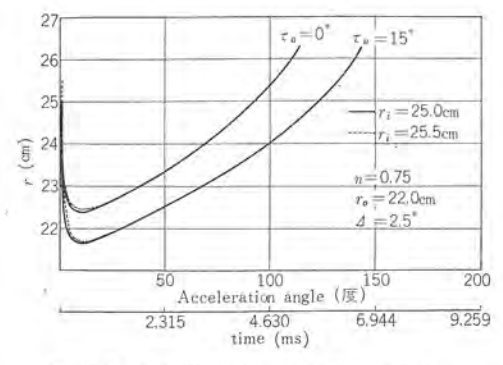


図 2.5 入射位置を変えた場合の瞬時軌道 Fig. 2.5 Instantaneous orbit under the change in the injection position r_i .

(a) 1 ms/div

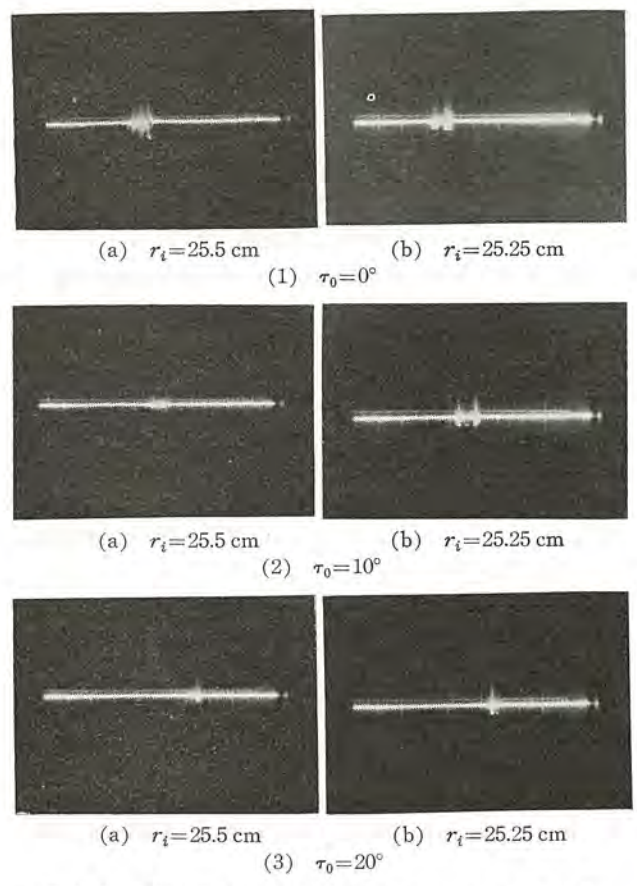


図 2.6 入射位置を変えた場合の セルフェクスパンジョン による X 線 パルス の比較 (ガン: a-12, 横軸 1 ms/div.)

Fig. 2.6 Comparison of the X-ray output pulse under the self-expansion condition for the change in r_i (Gun name: a-12, time base 1 ms/div.).

が $0.25 \,\mathrm{cm}$ 内側にある。したがって電子の衝突する時間は当然速くなるわけで,この近辺での電子のr 方向 $0.25 \,\mathrm{mm}$ の $\mathfrak p$ つト は時間にして $\sim 0.5 \,\mathrm{ms}$ であることを示しており,軌道計算からもこれを裏付けている。そして $\mathfrak t$ ルフェクスパンジョン の パルス 幅が場合によっては約 $1 \,\mathrm{ms}$ あることから r 方向の $\mathring{\mathsf t}$ ータトロン の振動の振幅が約 $2.5 \,\mathrm{mm}$ あることを示している。

ただ セルフェクスパンジョン による X 線 パルス が二つ以上に分かれることがよく観測されたので (図 2.4(1) 参照),安定軌道半径の測定を精密にやりなおしたところ, r_0 が二つないし三つある可能性が確められた。したがってせまい X 線 パルス の例では,振動の振幅は $1 \, \mathrm{mm}$ 程度のものがある。

ベータトロン 振動の振幅は磁界の強さの平方根に逆比例して減衰すること $^{(2),(3)}$ から、最終時の振幅から逆にたどると、入射時の振動の振幅は大きい場合 $2\sim2.5\,\mathrm{cm}$ あることになる。これは n=0.75 の領域すなわち g/4 ナミックレンジ の半分に相当している。

2.3.3 安定軌道半径を変えた場合の瞬時軌道

中心磁束と軌道磁界の間に位相差がある以上,安定軌道は存在しないが,ここでの定義は通常の t_0 方法 t_0 で測定することのできる t_0 を意味している.図 2.7 は t_0 =22.5 cm の場合の計算結果で,比較のため t_0 =22.0 cm の場合を入れてある. t_0 を約 0.5 cm大きくすることにより, t_0 1727 t_0 23 t_0 3 時は約 0.4 ms 速くなる.すなわち t_0 を大きくすると軌道の収縮は小さくなり,それだけ小まわりに瞬時軌道を描く. t_0 =22.0 cm および t_0 =22.5 cm の場合の t_0 =0°,15° について行なった実験例を図 2.8 に示す.

これはある電子銃 (a-11) で行なったもので、ro の変化が正確

30 MeV フィールドバイアス 形 ベータトロン (2)・田中・広・池田

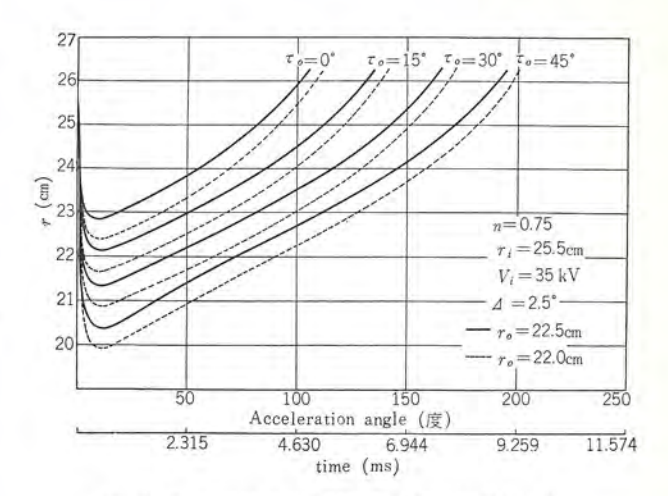


図 2.7 安定軌道半径を変えた場合の瞬時軌道 Fig. 2.7 Instantaneous orbit for the change in the nominal orbit radius r₀.

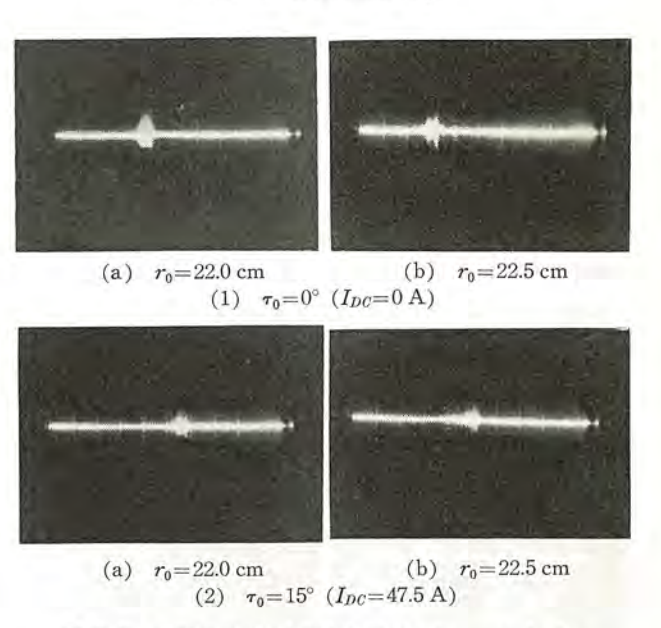


図 2.8 安定軌道半径を変えた場合の セルフェクスパンジョンによる X 線 パルス の比較 (ガン: a-11, 横軸 1 ms/div.)

Fig. 2.8 Comparison of the X-ray output pulse under the self-expansion for the change in r_0 .

(Gun: a-12, time base 1 ms/div)

なものではないが、理論と実験のよい一致を示している.

2.3.4 最大磁界での軌道の位置

減速過程で セルフェクスパンジョン の現象が現われる パイアス 角の大きい場合,最大磁界の近辺で エクスパンジョン をかけることにより,その時刻における軌道の位置を知ることができる.その方法は,エクスパンジョン をかけることにより,X 線が完全にそのときに出てしまう — すなわち セルフェクスパンジョン 時には全然 X 線はでなくなる — 場合の エクスパンジョン に流れる電流 I_p 巻数 N から,瞬時軌道の シフト を計算することにより求める.瞬時軌道の位置を r_s ,その点の磁界の強さを H_s , r_t における磁界の強さを H_t とすれば,エスクパンジョン をかけることにより r_s から r_t に軌道が移動した場合,電子の エネルギ はほとんど変わらないと仮定し,そのときの r_t での磁界の強さを H_t' とすれば

$$H_t'r_t \!\!=\! H_s r_s$$
 $\cdots \cdots (2.4)$ エクスパンじョン をかけないときは

$$H_t = H_s \left(\frac{r_s}{r_t}\right)^n \quad \dots (2.5)$$

(801) 53

したがって、軌道を r_s から r_t まで移動させるに必要な磁界 強度 ΔH は式 (2.4) と (2.5) から

$$\Delta H = H_t' - H_t = H_s \left[\frac{r_s}{r_t} - \left(\frac{r_s}{r_t} \right)^n \right] \qquad \dots (2.6)$$

である. I_p と N と ΔH の間には次の関係が成立する. (4)

$$I_p = k \cdot \frac{\Delta H}{N} \cdot d$$

ただし、d は上下外周磁極面に巻いてある 102% 引力 間の 平均距離で、k は比例定数である.

k を実験から求めるには厳密な定義による安定軌道が存在する普通形 $\ref{i-ghold}$ でなければできないが、ここでは二つの $\ref{i-ghold}$ でなければできないが、ここでは二つの $\ref{i-ghold}$ でつっての $\ref{i-ghold}$ と $\ref{i-ghold}$ についての実験と、計算から得られた瞬時軌道の位置から、振動の振幅を考慮に入れて $\ref{i-ghold}$ を求め、両者を比較して、逆に $\ref{i-ghold}$ の正当性を調べた。図 2.9 は $\ref{i-ghold}$ の場合の実験で、 $\ref{i-ghold}$ を徐々に大きくし、セルフェクスパンジョン による $\ref{i-ghold}$ 終 $\ref{i-ghold}$ が消失していく様子を観測したもので、狭い幅の $\ref{i-ghold}$ が消失していく様子を観測したもので、狭い幅の $\ref{i-ghold}$ でよるものである。 $\ref{i-ghold}$ の場合、セルフェクスパンジョン による $\ref{i-ghold}$ な消失させるに必要な $\ref{i-ghold}$ が約 150 A であったのに対し、 $\ref{i-ghold}$ では $\ref{i-ghold}$ では $\ref{i-ghold}$ では $\ref{i-ghold}$ では $\ref{i-ghold}$ が一致した。このことは理論から得られた瞬時軌道の最大磁界近辺の位置の正しさを裏付けしている。

2.3.5 入射直後の軌道の位置

瞬時軌道をさらにさかのぼり、入射直後の様子を調べるには、 最大磁界近辺の場合と同様の方法で測定可能であるが、実際には 技術上と測定誤差の問題で測定がむずかしい。そこで実験から X 線出力が パイアス 電流をふやすにつれて、出力の周期的増減はあ

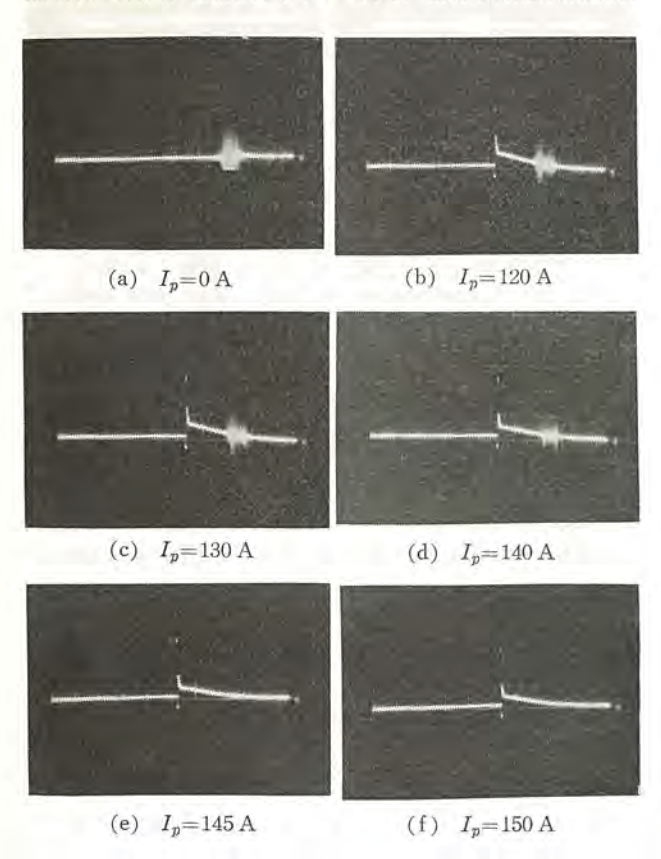


図 2.9 τ_0 =30°で、 τ_0 スパンダ 電流 I_p を変えたとき、 セルフエクスパンジョン および エクスパンジョン による X 線 パルス(ガン: α -8、横軸 1 ms/div.)

Fig. 2.9 X-ray output pulse of both the forced-expansion and self-expansion under different values of expander current I_p with τ_0 =30° (Gun name; a-8, time base 1 ms/div).

っても、しだいに減少していく傾向があり、しかも τ_0 =45°以上ではでなくなることと、理論から入射直後の軌道収縮は パイアス 電流の増加につれて大きくなることが予想されることから、軌道収縮と出力の関係を調べて、入射直後の軌道にさぐりをいれてみた・

図 2.3 から τ_0 =45° では、内側に最も収縮した位置は $r\approx$ 20 cm で、その点における $\sqrt{-g}$ 10ッ 振動の振幅は約 1 cm あるから電子は ダイナミックレンジ からはずれる可能性がでてくる.

実際にはnは入射時近辺では低く(1)、さらに低い磁界でもっと収縮することがn変化を考慮した近似計算から予想される. (6) したがって理論からも r_0 =22.0 cm で, r_0 =45°以上では電子は加速され得ないことが予想される。このことは r_0 を大きくするには,入射条件として r_0 および r_i を比較的大きくすればよいということが考えられる。図2.10 は r_i =25.5cm にして r_0 を変えた場合のパイアス角に対するx線の出力特性を,xyレコーダで測定したものである。x 軸にはパイアス電流に対応した電源電圧を,x 軸には線量率に対応した電圧を入れたもので,これからx0を大きくするにつれて,かけられるパイテス角が伸び, x_0 =0°の出力に対し, x_0 0大きいところでの出力の割合が大になっていく傾向がみられる。この傾向は x_i を変えて同様の実験をしたところ, x_0 だけでなく x_i 6大きくしたほうがよいという事実が確認された。 x_i 6大きくしても軌道そのものには大きい変化はみられないが x_i 6と x_0 0の最適な相互位置の点から明らかである。

これらの実験から入射直後の軌道収縮についてある程度の真実 性を見出すことができる.

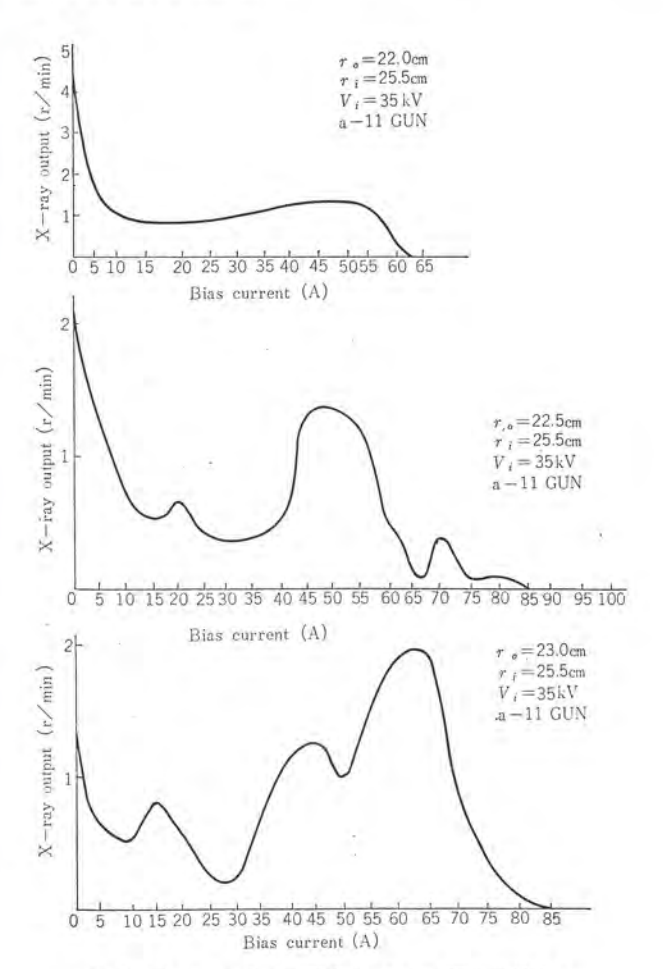


図 2.10 r_0 を変えた場合の パイァス 電流に対する X 線出力特性

Fig. 2. 10 Characteristics of X-ray output as a function of bias current I_{Dc} for the change in r_0 .

2.4 議論

軌道現象の多くの実験と理論との比較にあたって、かならずしも正確な一致がみられたわけではない。これは実験上からは、 r_0 および r_i の正確な測定が困難であり、 r_0 の特性は精密測定の結果かなり複雑であること。理論計算にあたっては n 一定としたにもかかわらず、実測では低磁界で低くなり、高磁界では軌道磁界の外側部分で高くなるなど、入射時と t_0 セルフェクスパンジョン 時に n が変わってくること、また直流による中心磁束の打ち消しが完全でないために生ずる、磁界の高調波成分が現われることなどを考慮に入れなかったことが、おもな原因と考えられる。

かけられる パイアス 角の大きさは入射条件によって変わってくるが X 線出力と同様, 電子銃の性能に大きく依存することは実験から確められた.

3. 応 用

ペータトロンから発生する高 エネルギ X 線の利用の一つとして非破壊試験 (ラジオグラフィ) がある. 分解して検査できないような金属類からなる機器, 部品など, しかも低 エネルギ X 線では探査できない厚い物体を高 エネルギ 線撮影により, その中の構造, 損傷などをかなりの信頼度で調べることができる. 従来使用されていた400 kV X 線管による撮影では, 8 cm 厚の鋼鉄の試験体に対し,その厚さの1~2% の損傷を識別するのが限界であったのに対しで, ペータトロンによる非破壊試験では5~50 cm 厚の試験体に対し,その厚さの0.5~1% 厚の損傷を探知することができる.

非破壊試験では試験体中の損傷を検出する能力を表わす識別度が必要となるが、その一方法として、パシルス (Bacillus) 感度がある。この定義は、図3.1 に示すように、鋼鉄の試験体の表面にその厚さ $0.5\sim1\%$ の径をもつ、長さ1 cm の鋼鉄棒を30 本無秩序にはりつけたものをX 線撮影し、X 線写真に現われた鋼鉄棒の像を数人の観察者が検出し、被写体と比較して各人の正しく識別された棒の百分率を平均したものである。

この $\sqrt{-9}$ トロン により,厚さ 75 mm の鋼鉄に 0.5~1.5 mm の径の鋼鉄棒(線 $\sqrt[6]{2}$ なはりつけ,透視し,5 人で検出した結果 63% の $\sqrt[6]{2}$ 心ルス 感度が得られた. X 線の強度を照射野全体にわたり均一にするための $\sqrt{19}$ 付 は鋼製のものを使用した. 識別度を上げるには,試験体の種類に応じて, $\sqrt{10}$ の選択,増感紙の厚さの決定などの基準を設定し,X 線強度を増大して,均一な X 線で短時間に透視できるようにすることが必要で,また現像技術,照射の幾何学的条件をよくすることにより,分解能, $\sqrt{19}$ フントラスト を大幅に改善することができる.

図 3.2 は ラジオグラフィ の一例で、小形 モータ の X 線写真である.



図 3.1 パシルス 感度測定用写体 Fig. 3.1 Test material for measurement of bacillus sensitivity.



図 3.2 小形モータ透視写真 Fig. 3.2 Radiograph of a small motor.

4. 結 論

セルフェクスパンジョン の現象は フィールドバイアス 形 ベータトロン 特有のものである(8)・(9)が、この現象から観測できた多くの実験と軌道理論の比較から、この ベータトロン について、次の事実が明らかになった。

- (1) 安定軌道は二つないし三つ存在する.
- (2) ベータトロン 振動の振幅は セルフェクスパンジョン 時で 2.5 mm 以内である.
 - (3) 中心磁束と軌道磁界の位相差は 2~3°である.
- (4) 瞬時軌道は安定軌道半径によって大きく変わるが,入射 位置および入射電圧にはあまりよらない.

表 4.1 30 MeV フィールドバイアス 形 ベータトロンの 構造・性能

最大加速エネルギ	29 MeV
机 道 半 径	22 cm (連続可変)
n lit	0.75
磁極間ゲキ	6 cm
ダイナミックレンジ	19~24 cm
最大軌道磁界	4623 Oe
本 体 褥 造	2 個の側礁回路、中心コアに空ゲキがない
本 体 重 量	3.6 ton
本体付属回路	同調リアクタ、コンデンサ、オービットボジショナ、
	バイバスリアクタ、チョーク
助 磁 電 源	直流 (50 V, 200 A)+交流 (60 c/s, 2,500 V, 160 A)
皮相電力	405 kVA (30 MeV)
Q	26
入射エネルギ	30~35 KeV
X 線 出 力	ラドコン、プローブ 606 に 3mm 厚の鉛をかぶせ て測定した場合、エネルギ 26 MeV で 20 r/min- met. フィールドバイアスをかけたときエネルギ上 昇とともに出力は増加しない、バイアス角は 45°付 近までかけられる。
軌道シフト	あり
X 線出力バルス幅	セルフエクスバンジョンで 400~1,000 μs.

- (5) かけられる パイアス 角は電子銃の性能によって異なるが、同じ電子銃については、入射位置および安定軌道半径を比較的大きくすると増加する傾向がある.
- こうした電子軌道の様子がかなり明確にでてくるのは、安定軌道半径 ro が電気的に容易に連続可変であることと、セルフェクスパンジョン の現象がみられるためで、研究用 ベータトロン としてはきわめて有利な装置である.

X線出力はパイアスをかけた状態では、エネルギ 増加の割にはふえないが、交流励磁だけでは普通形 ペータトロン とさして変わりはない。ラジオグラフィ などの実用面では十分その威力を発揮している。表4.1 は現在までに得られたデータ をもとにして、このペータトロンの構造・性能をまとめたものである。

5. む す び

医療用または工業用を目的とした 35 MeV 普通形 ベータトロン(10) は、この フィールドバイアス 形 ベータトロン の実験・研究を足がかりと

して建設され、現在その性能は飛躍的に向上しており、実用化の 段階に入った。

参考文献

- (1) 後藤, ほか: 「三菱電機技報」38, No. 7, (1964)
- (2) D. W. Kerst and R. Serber: Phys. Rev 60, 53, (1946)
- (3) S. Flügge: Handbuch der Physik XLIV, 195, (by Springer-Verlag OHG, Berlin Göttingen Heidelberg (1959)
- (4) T. W. Dietze and T. M. Dickinson: Proc of the I.R.E., 37, 1171, (1949)
 - (5) D. W. Kerst: Phys. Rev. 60, 47, (1941)
 - (6) To be published.
 - (7) M. Sempert: Brown Boveri Review, 45, No. 9, 383. (1958)
 - (8) 弘田, 小倉: 「三菱電機」28, No. 7, (1954)
 - (9) E.C. Gregg: R.S.I. 22, 176, (1951)
- (10) To be published

年 月 日	主催または開催場所	演	講 演 者	所属場所
39- 9- 1	北海道電気利用合理化委員会	新しい工場照明とその効果	小堀富次雄	本 社
39- 9- 3	計測制御学会	Linear system における変数の求め方	国方敏行	中央研究所
39- 9- 3	計測制御学会	セラミックモータ	前川善六	中央研究所
39- 9- 4	計測制御学会	振幅制御による コンスタンドウェイフィーダ	吉山裕二	中央研究所
39- 9- 4	計測制御学会	磁気増幅器を含む制御系の簡易設計	大野栄一	中央研究所
39- 9- 4	計測制御学会	アナログ 記憶式計算機	阪尾正義	中央研究所
39- 9- 8	電気通信学会	An experiment on compounding recognition system	黒田寿一	中央研究所
39- 9- 8	電気通信学会	An experiment on compounding recognition system	木村孝之	中央研究所
39- 9- 8	電気通信学会	A design theory of ricognition function in a self organizing system	伊藤貴康	中央研究所
39- 9- 8	ICMCI 国際会議	Cassegroin antenna for space communication and satellite trancking	喜連川 隆	中央研究所
39- 9- 8	ICMCI 国際会議	A huge palabolic antenna for over the horizon communication	武市吉博	中央研究所
39- 9- 8	ICMCI 国際会議	A palabolic antenna with dual circular polarization for 6 GC broad band micro- wave system	立川清兵衛	中央研究所
39- 9-10	ICMCI 国際会議	A directional power divider and its application	紅林秀都可	中央研究所
39- 9-11	ICMCI 国際会議	A microwave phase controller	中原昭次郎	中央研究所
39- 9-11	ICMCI 国際会議	Maximum band width of the diode pra- metric amplifier	白幡 潔	中央研究所
39- 9-16	規格協会関西支部	品質管理 セミナ 応用 コース「工場管理」	小鳥井 繁	本 社
39- 9-16	真空協会	マスフィルタの実験	藤永 敦·花坂孝雄	中央研積所
39- 9-21	大阪府商工会館	防爆電気設備とその防止対策	平野琢磨	福岡
39- 9-24	溶剂学会関西支部	アルミニウム 合金溶接における心線の移行現象	山本利権	中央研究所
39- 9-24	電気学会	中性子物理計測における データ 処理	宮下恭一	中央研究所
39- 9-24	ポーラログラフ 学会	有機溶媒中における アンチモン の ポーラログラフ 法による定量	吉留昭男	中央研究所

空心 √2π形ベータスペクトロメータの設計

久武和夫*·藤岡 学** 後藤正之***·秋葉稔光**** 鈴木敏允****·上田孝寿****

On The Design of a 75 cm-Radius Iron-Free Double Focusing $\sqrt{2} \pi$ Beta-Spectrometer

Tōkyō Institute of Technology Mitsubishi Electric Corporation, Central Research Laboratory Kazuo HISATAKE • Manabu FUJIOKA Masayuki GOTOH • Toshimitsu AKIBA Toshimitsu SUZUKI • Kojyu UEDA

A 75 cm-radius iron-free double focusing $\sqrt{2} \pi$ beta-spectrometer is planned to be installed at Institute for Nuclear Study, University of Tokyo. Fundamental design parameters of the beta-spectrometer have been examined.

The magnetic field shape of the beta-spectrometer can be fitted to the optimum one which given by Lee-whiting and Taylor. In other words, the expansion coefficients of that magnetic field have been determined to the fourth order, using three pairs of current loops.

Substituting the fitted coefficients of the magnetic field in the equations of motion, the numerical integration of the equations has been carried out. Various discrepancies of the trajectories between the numerical and the analytical calculations have been examined. These discrepancies are due to the higher order terms which have been included in the numerical calculation but not in the analytical one.

A trial construction of a medium size coil has been made at Kobe Works of Mitsubishi Electric Corp. and the capability of construction within the proposed high precision which is much more severe than ordinary specifications has been confirmed. A running test of the coil has confirmed that the temperature rise is less than the required value.

1. まえがき

最近の原子核分光学は高分解能でしかも明るい B線 スペクトロメータを要求するようになってきた。そのため、この種の スペクトロメータ の建設が日本でも要求され、われわれがその一役をになうことになった。

高分解能で明かるいスペクトロメータとしては、Svartholm と Siegbahn が 1946 年に発表した二重収束形が最も適している。 すなわち磁界が円筒対称であり、対称平面(median plane)上で $1/\sqrt{r}$ のように変化する場合、水平方向 (r 方向)に対しても垂直方向 (z 方向)に対しても電子は $\sqrt{2}$ π の点で収束する性能をもっている。この種のスペクトロメータ は $\sqrt{2}$ π 二重収束形と呼ばれている。

1/√r 形磁界は鉄心電磁石でも空心 コイル でも作ることが可能 であるが、われわれは以下の理由で空心形を選んだ。

- (1) 空心 コイル を用いると、鉄心電磁石と違って鉄の磁気履 歴による誤差が生じない。すなわち電流を制御することによって 磁界を電流の精度まで制御することができ、われわれの設計目標 の一つである電子運動量精度 1/105 の測定が可能になる。また低 エネルギ電子の場合、鉄心電磁石では鉄が一様に磁化しない現象が あり分解能がわるくなる。
- (2) 空心 コイル を用いると、前述の 1√r の磁界をあらか じめ計算により設計することが可能である (この方法はこの論文 で述べる) が、鉄心電磁石では正確な計算はまず不可能である.

一方空心 コイル では コイル 製作精度に関する問題、コイル冷却の問題などが生する。また低 エネルギ電子の測定の場合には必要な磁界が小さくなるので外部磁界の ジョウ 乱が問題になってくる。

空心形スペクトロメータ は大きく分けると, Moussa and Bellicard(2),

Graham and Ewan Geiger(3), Wolfson(4) らによるカレット・ルーラ形 (current loop type) と Siegbahn(5),(6) らおよび de Vries and Wapstra(7) によるカレット・シート形 (current sheet type) に分れる。前者に対しては Lee-Whiting and Taylor(8) による詳しい計算があり、点線源に対して4次まで収束するコイル 寸法が見つかっており、Graham(3) らはこの設計に基づいて $1/10^4$ の分解能を実現している。これに対して後者のカレット・シート形では今のところ2次までしか収束しない。また線源の出入、 γ 線の同時測定などには カレット・ルーラ 形が有利である。 これらの理由でわれわれは カレット・ルーラ 形を採用した。電子の軌道半径は明かるさをふやすという方針から $\rho=75$ cm を選んだ。

設計方針としては大体 Lee-Whiting らの計算により Graham らおよび Wolfson らの製作経験を大いに参考にしたが、Graham らと異なり、われわれは励磁電源をトランジスタ化したのでコイルの巻線比が異なり、かれらと少し違った コイル 寸法を採用せねばならない。そのため Lee-Whiting の基本式に返えり計算をやり直寸必要が生じた。この報告ではこれらの方針に基づいてコイル 寸法の基本設計の方法を解説する。2章では円筒対称磁界内の電子の運動方程式について述べる。3章ではその磁界を実現するためのコイル 寸法を求める方法を述べる。実際には4次収束までの寸法が見つかっている。さらに、コイルが有限の広がりをもった場合の補正方法に対する Lee-Whiting の理論およびわれわれによる拡張を述べ、実際にわれわれの設計するコイル寸法を求める。4章では求めたコイル系による磁界内での電子の収束、収差を Runge-Kutta 法と Predictor-Corrector 法により数値計算し、解析解および Lee-Whiting らの数値計算と比較した

+ 最近二つの形の中間形として3次まで収束する設計が藤岡より提案 された(9)(10)。

2. 円筒対称で鏡面対称な磁界内の電子の軌道

ここでは次の3章と4章で述べるコイルの設計, 軌道の数値積分および高分解能の実現に必要な分析スリット, パッフル の形状と構造, 線源の形状などの決定に用いる基本量を理解するのに必要な基礎概念を明らかにするために, 軌道解析について簡単に述べる.

円筒座標系 (r, ρ, z) を用いると、円筒対称な磁界は ベクトルポテンシャル の ρ -成分のみで表わされる。この ρ -成分を A とし、r、z の代わりに $n=(r-r_0)/r_0$ 、 $\tau=z/r_0$ とおくと、r と A の様は中心軌道 (Optic circle) の近傍で

$$rA = r_0 A_0 + H_0 r_0^2 \sum_{m_1, n=0}^{\infty} C_{m\eta} \tau^m \eta^n$$
(2.1)

と展開できる(8).

式 (2.1) の中の r_0 , H_0 は運動量平衡 (Momentum balance) $P_0 = -er_0H_0$ を満足する中心軌道の半径と磁界の強さであり、 A_0 は $r=r_0$ の A の値である。したがって式 (2.1) の展開係数 C_{mn} は

$$C_{00}=0, C_{01}=1$$
(2.2)

でなければならない。

電荷 e, 運動量 P を持つ粒子の磁界中における Hamiltonian は

$$H = \sqrt{C^2P^2 + m_0^2C^4}$$

$$P^2 = (P_r - eA_r)^2 + (P_{\varphi}/r - eA_{\varphi})^2 + (P_z - eA_z)^2$$

である。正準方程式 \dot{r} = ∂H ∂P_r , \dot{P}_r = $-\partial H$ ∂_r etc. から式 (2.1) を考慮して簡単な変形を行なうと,円筒対称な磁界内の粒子の運動方程式は式 (2.3) の形になる。

$$\eta' = (1+\eta)(p_r/p_{\varphi})$$

 $\tau' = (1+\eta)(p_z/p_{\varphi})$
 $p_r' = p_{\varphi} = p^{-1} \sum_{\substack{m=0 \ n=0}}^{\infty} (n+1)C_{m n+1}\tau^m\eta^n$
 $p_z' = -P^{-1} \sum_{\substack{m=0 \ n=0}}^{\infty} (m+1)C_{m+1 n}\tau^m\eta^n$
 $p_r^2 + p_{\varphi}^2 + p_z^2 = 1$
 $p_{\varphi}r + \varepsilon rA = \text{const.}$ (2.3)

ここで $p=P_1P_0$, $p_r=P_r/P$, $p_{\varphi}=(P_{\varphi}/r-eA)/P$, $p_z=P_z/P$ とおいた。さらに独立変数を時間 t から φ に変換して, $d/d\varphi$ を ' であらわした。

式 (2.3) を数値積分して電子の軌道を求めた結果を 4 章で述べる。数値積分に必要な初期条件は $\phi=0$ での η , τ , p_r , p_θ , p_z の値であるが,実際には $\phi=0$ での η , τ , η' , τ' の値を使用することが多い。ここで η , τ , p_r , p_θ , p_z と η , τ , η' , τ' の間の変換を求めておく。G. E. Lee-Whiting と E. A. Taylor (これから後は単に Lee-Whiting と書くことにする) の用いた記号(8) で初期値を

$$\eta_{\varphi=0} = h, \qquad \tau_{\varphi=0} = t \\
\eta'_{\varphi=0} = H/\sqrt{2}, \ \tau'_{\varphi=0} = T/\sqrt{2}$$
(2, 4)

と表わす。

 p_r , p_q , p_z が局所直交曲線座標系 (local curvilinear coordinates) での P の方向余弦であることを考えて、式 (2.4) を式 (2.3) に代入すると

$$\begin{split} & p_r = (H/\sqrt{2})/\sqrt{(1+h)^2 + (H^2 + T^2)/2} \\ & p_z = (T/\sqrt{2})/\sqrt{(1+h)^2 + (H^2 + T^2)/2} \cdots \cdots (2.5) \\ & p_g \equiv \cos \gamma = (1+h)/\sqrt{(1+h)^2 + (H^2 + T^2)/2} \end{split}$$

として初期条件の変換式がえられる. 式 (2.5) の左辺のかなど

はすべて ゅ=0 での値を表わしている.

式 (2.3), (2.4), (2.5) から簡単な計算によって電子の軌道の 微分方程式

$$\begin{split} \eta^{\prime\prime} + & \left[\frac{F_{\eta}}{F}\eta^{\prime} + \frac{F_{\tau}}{F}\tau^{\prime} - \frac{2\eta^{\prime}}{1+\eta}\right]\eta^{\prime} = -[(1+\eta)^{2}F_{\eta}/F - 1 - \eta] \\ & \tau^{\prime\prime} + \left[\frac{F_{\eta}}{F}\eta^{\prime} + \frac{F_{\tau}}{F}\tau^{\prime} - \frac{2\eta^{\prime}}{1+\eta}\right]\tau^{\prime} = -(1+\eta)^{2}F_{\tau}/F \end{split} \\ & \cdots (2.6) \end{split}$$

が得られる.

ただし

$$F \equiv (1+\eta)pp_{\varphi} = (1+\varepsilon)(1+h)\cos r + \sum_{m,n=}^{\infty} C_{mn}(\tau^m\eta^n - t^mh^n)$$
$$F_{\eta} = \partial F/\partial \eta, \quad F_{\tau} = \partial F/\partial \tau \qquad (2.7)$$

とおいた.

式 (2.6) の独立変数が σ であることに注意すれば、式 (2.6) は Lee-Whiting の式 (9), (10) と同じであることがわかる。式 (2.7) の F, F_7 , F_7 は Lee-Whiting の定義した F, P, Q と同一のものである $^{(8)}$.

円筒対称性と同時に鏡面対称性を持つ磁界では式 (2.1) の展開係数 C_{mn} は

$$C_{2m} = 0$$
, $C_{2m+1} = 0$ $(m=0,1,\cdots)$

となり、しかもすべてが独立ではない。 C_{mn} 間の関係式および C_{mn} と磁界の r_0 の近傍での Taylor-展開

$$H_z(r,0) = H_0 \sum_{n=0}^{\infty} a_n \eta^n$$
(2.8)

の係数 a_n との関係式は Lee-Whiting が求めている。かれは式 (2.6) の独立変数を p から $\psi = p/\sqrt{2}$ に置き換えて、中心軌道 の上の点線源から出た電子の軌道を H、T に関して 6 次の項までとった解析解を求めた。さらに物理的な要請にもとづいて最適 磁界の形状すなわち式 (2.7) の展開係数 a_n 、したがって ベクトル ポテンシャル の展開係数 C_{mn} の決定について考察をした。

われわれの空心 ペータスペクトロメータ の磁界の形状は Lee-whiting の High-aperture 形を採択した。 すなわち表 2.1 の C_{mn} の値を用いた。Chalk River Laboratory の空心 ペータスペクトロメータ (r_0 = $100~{\rm cm}$) と同じく $3~{\rm xm}$ の組み合わせによって上記の磁界を形成する。これについては $3~{\rm xm}$ で述べる。

表 2.1 Lee-Whiting の求めた最適な Cmn の値

72	C_{0n}	Cen	Can	C_{6n}
0	1	0.25	-0.0225694	0.0049426
1	1	-0.125	0.038628	-0.021409.,
2	0.25	0.072916	-0.054825	
3	-0.416	-0.032118	0.082334	
4	0.0190972	0.024226		
5	-0.011719	-0.026196		
6	0.0063855			
7	-0.003555			

3. コイルの大きさ、配置および磁界分布

この装置では中心軌道の半径を75 cm にとり (r₀=75 cm),電源をトランジスタ化した。このため、Chalk Riverのコイル (r₀=100 cm)⁽³⁾ とはその巻線の種類・コイル の断面積・ターン 数比などがいくぶんか違ってきた。この差異のため単純な縮小比をかけて Chalk Riverのコイルを縮小するだけでは必要な磁界分布を得ることができない。上記の変更によって生ずる磁界分布の変化はわずかであると考えて、単純な縮小値から出発しコイルの平均半径

と距離をわずかにかえて磁界分布の変化を補正した.

ここでは上記の補正計算によって得た、われわれの装置のコイルの大きさと配置およびこのコイルによって得られる磁界分布について記す。ここで使用する計算方法は Lee-Whiting の方法に従っている⁽⁸⁾. 最初に計算と説明に用いる物理量の定義と式および計算方法を簡単に引用する。

3.1 線輪コイルの組の作る磁界を最適磁界の形状に適合 させる方法

式 (2,1) の ベクトルポテンシャル の展開係数 C_{mn} を変形して

$$k_m = (m-1)! C_{m-11} (m が 奇数の場合) $k_m = m! C_{m1} (m が 奇数の場合)$ …(3.1)$$

とおき、 a_0 …… a_6 の最適 (Optimum) な値の組 (あるいは C_{mn} の最適な値の組) に対応する k_m の最適な値を k_m * とする. この最適な k_m * の値を表 3.1 に示した.

表 3.1 Lee-Whiting の求めた最適係数 km* の値

m	2	3	-4.	5	6	7
km^{q}	.5	25	-0.5417	0.927	3.56	-15.4

共軸(を軸にとる)でかつ中心面(z=0の平面)の上下に等 距離におかれた半径の等しい線輸 コイルの組(以下単にコイルと 略す)の作る磁界分布は円筒対称で鏡面対称である。

コイル の半径を a, 中心面からの距離を $\pm b$, コイル に流れる電流を I とすれば、ビオ・サバール の式から ベクトルポテンシャル A は円筒座標を用いて

$$A = \frac{I}{2\pi} \int_0^{\pi} \left[\left\{ a^2 + r^2 + (z - b)^2 - 2ar\cos\varphi \right\}^{-\frac{1}{2}} + \left\{ a^2 + r^2 + (z + b)^2 - 2ar\cos\varphi \right\}^{-\frac{1}{2}} \right] \times a\cos\varphi \cdot d\varphi \cdot \dots (3.2)$$

で与えられる(11)

式 (3.2) の両辺にrをかけて Bessel 関数の公式 (2)を用い計算すると、|z| < b の領域で

$$[rA]_{r=r_0} = Ir_0 \sum_{n=0}^{\infty} K_{2n} r^{2n}/(2n) ! \cdots (3.3)$$

$$K_{2n} = \alpha \int_0^{\infty} \exp(-\beta X) J_1(X) J_1(\alpha X) X^{2n} \alpha X$$

2

$$\left[\frac{\partial rA}{\partial r}\right]_{r=\hat{r}_0} = I \sum_{n=0}^{\infty} K_{2n+1} \tau^{2n}/(2n) !$$

$$K_{2n+1} = \alpha \int_0^{\infty} \exp(-\beta X) J_0(X) J_1(\alpha X) X^{2n+1} \alpha X$$

を得る. ここで

$$\alpha = a/r_0$$
, $\beta = b/r_0$ (3.5) とおいた.

3 個の コイル が作る磁界は各 コイル の磁界の重ね合わせから、求まるから、この場合は式 (3.4) と式 (3.5) の右辺は 3 個の コイル に対応する項の和となる。半径の大きいものから順に $\nu(=1,2,3)$ と右肩に添字を付けて各コイルに関する量を区別する。すなわち、 $K_{m^{\nu}}$, I^{ν} , α^{ν} , β^{ν} ($\nu=1,2,3$) のように表わす。 ν の付いていない量はすべて系全体の量を表わすものとする。

式 (3.3), (3.4) と式 (2.1) から $S_m = \sum_{\nu=1} (I^{\nu}/I^{\nu}) K_m^{\nu}$ とおけば $K_m = S_m/S_1$ となる。したがって、 $k_m = k_m^* * (m=2,3,\cdots)$ を実現することによって求める最適磁界分布が得られる。すなわち

$$\sum_{n=0}^{3} I^{n}(K_{m}^{n} - k_{m} * K_{1}^{n}) = 0 \qquad (m=2, 3, \dots) \dots (3.6)$$

の連立方程式を満たす Km を求めることに帰着できる.

3.2 コイルが有限な断面をもつ場合の補正

実用上の \neg イル は有限な断面をもつから、3.1 節で述べた線輸 \neg イル の K_m を \neg イルの導体断面について補正する必要がある。この補正値を \overline{k}_m のように \overline{K}_m を付けて表わす。

(a) G.E. Lee-Whiting と E.A. Taylor の補正方法(8)

コイル の導体領域を R, (α, B) を R の中心とする。ここでは線 輸 コイル として求めた k_m を領域 R の全体にわたって補正して $\overline{k_m}$ を求める方法を述べる。すなわち

$$\bar{X}_m = (T_{00})^{-1} \int_R \int d\alpha' d\beta' \alpha' \int_0^{\infty} \exp(-\beta' X) J_{\mu}(X)$$

$$J_1(\alpha' X)^m dX \qquad (3.7)$$

$$T_{mn} = \int_{\Gamma} \int (\alpha' - \alpha)^m (\beta' - \beta)^n d\alpha' d\beta'$$

とおいて、式 (3.7) の右辺を $(\alpha'-\alpha)$ と $(\beta'-\beta)$ の べき に展開し

$$\bar{X}_m = X_m + \sum_{r=1}^{\infty} G_r X_{m+2r} + \sum_{r=1}^{\infty} H_r Y_{m+2r+1} \cdots \cdots (3,8)$$

と表わして 4次の項までをとって \overline{K}_m と \overline{k}_m を求める.

(b) 導体領域を細分化する方法

コイル の導体領域をさらに μ 個に分割し、各分割領域 R_j の中心 (α_j, β_j) を線輸 コイル と考えて領域 R_j について式 (3.7) (3.8) の補正を行なう。その際式 (3.8) の右辺の項数を少なくとる。かくして求めた各分割領域 R_j の R_m^j から重ね合わせの原理により コイル 全体の補正値 R_m^j を求める。すなわち

$$\bar{K}_{m}^{\nu} = \frac{1}{\mu} \sum_{j=1}^{\mu} \bar{K}_{jm}^{\nu} \quad (\nu = 1, 2, 3 \text{ and } m = 2, 3 \cdot \cdot \cdot \cdot) \quad \cdots (3.9)$$

から補正値 \overline{K}_m と \overline{k}_m を求める.

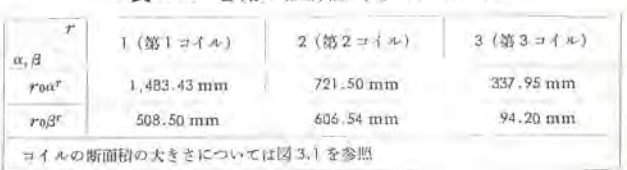
式 (3.6) の K_{m}^{ν} を補正された \overline{K}_{m}^{ν} で置き換えてその解を求めれば $\overline{k}_{m}=k_{m}^{*}$ なる最適酸界分布が得られる.

3.3 この装置のパラメータの決定とその磁界分布

この章の初めに述べたように、われわれの装置は Chalk River の空心 コイル $(r_0=100~{\rm cm})^{(3)}$ の縮小である。コイル 寸法の決定は Chalk River の α , β を出発値として式(3.6)を Newton-Raphsonの反復法で解き $\bar{k}_m=k_m$ * になるように補正した。 k_m * は表 3.1 の値を用いた。

有限な コイル 断面積に対する補正は 3.2節(a)の方法を用いて行ない表3.2と図3.1に示したコイル 寸法と配置を決定した3.2節(b)の方法を適用すると式(3.6)の解を求めるのが複雑になるので、この方法は(a)を適用して求めたコイルの作る磁界分布の確認に用いた。

表 3.2 コイルの設計値 (ro=750 mm)



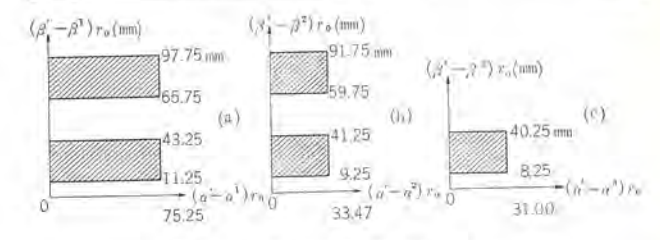


図 3.1 コイルの断面の1/4
Fig. 3.1 Quarter cross-sections of coils.

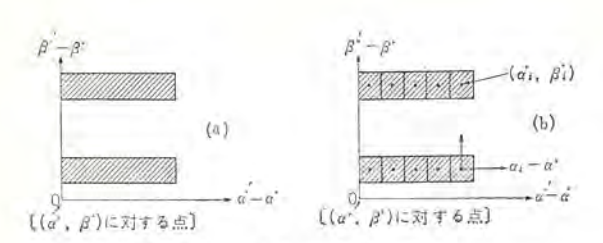


図 3.2 コイルの 断 面 の 1/4 Fig. 3.2 Quarter cross-sections of coils.

表 3.3 コイル の設計値に対する k_m と \overline{k}_m の値

	772	2	3	4	5	6	7
第1の方法(A)	k_{m}	0.49447	-0.23029	-0.87049	1.1649	187,520	-19.403
(A) A(U.S.) 50	k_m	0.500000	-0.25000	-0.54170	0.92710	208.20	-158.2
第2の方法(B)	k_m	0.49986	-0.25003	-0.53812	0,90259	208.18	-158.7
30 E (37) (E (B)	k_m	0.500000	-0.25001	-0.54143	0.92619		
第3の方法(B)	k_m	0.49722	-0.25929	-0.44886	0.89403	211.59	-209.40
第30万法(B)	k_m	0.500000	-0.25001	-0.54143	0.92620	208.21	-158.0

表 3.4 コイル 断面を考慮した際 km が補正される量

	m	2	3	4	5	6	7
第1の方法	$k_m - \overline{k}_m$	-0.00553	0.01971	-0.32879	0.2378	-20.68	138.8
第2の方法	$k_m - \overline{k}_m$	-0.00014	-0.00002	0.00331	-0.02360		
第3の方法	$k_m - \overline{k_m}$	-0.00278	-0.00928	0.09257	-0.0322	3.38	-51.4

図 3.2 に示すように大, 中, 小, コイル をそれぞれ 18/8/4 分 割した場合と、4/4/2 分割した場合について (b) の方法を適用し て、 k_m と $\overline{k_m}$ を計算した。この結果を表 3.3 に示した。 表中第 1, 第 2, 第 3 の方法とあるのは (a) の方法, (b) の方法で 18/ 8/4 分割, 4/4/2 分割したものを表わしている。

コイルの分割数を増せば増すほど断面積に対する補正値が減少 して、線輪 コイル と考えた値 k_m に近づくのは原理的に明らかで ある. この漸近度を知ることは補正方法の精度を確認する点で有 効である。上記の3方法について k_m と \overline{k}_m の差を表 3.4 に示 した. これから 18/8/4 分割を行なった計算では断面積の補正量 はごくわずかであり、近似的に各分割領域の中心にある線輪 コイル とみなしてもよいことがわかる.

 $K_{m^{\prime}}$ および $\bar{K}_{m^{\prime}}$ の計算は m=1 に対してのみ第1種, 第2 種完全 g円積分,K と E を計算することが必要で,他の K_{m} ^v (m>1) はすべて K と E をもとにした循環公式

(Recurrence relation)から求まる(8). したがって、磁界分布の 計算精度はこの K と E の精度のみから決定されると考えてよ い。 われわれは K と E の数値計算をする際に、第1の方法では がウス の数値積分法を用い(13), 第 2, 第 3 の方法では Hasting の 近似式を用いて計算した(14). その結果,いずれの方法において も $K \ge E$ の数値がよく一致することが確認できた。 さらに第 1,第2,第3の方法で計算した k_m はいずれも許容誤差の範囲内 でよく一致している. 表 3.5 に最適係数 km* と第3の方法で計 算した km との差を示してある.

最後に、装置の工作・取付上の許容誤差は Lee-Whiting の方

表 3.5 最適係数 km* とわれわれの設計 コイル に対する km との差

	2	3	4	5
$k_m = k_m$	0.000000	0.00001	-0.0003	0.001

注: 表3.3の第3の方法の km をもちいた.

表 3.6 C_{mn} と k_m との関係

n	Con	C_{2n}	C_{4n}	C611
0		$\frac{1}{2}k_{2}$	$\frac{1}{24}k_{4}$	1 720
i		$\frac{1}{2}k_{3}$	$\frac{1}{24}k_{5}$	1 720
2	$\frac{1}{2}(k_2-1)$	$-\frac{1}{4}(k_4-k_5)$	$-\frac{1}{48}(k_6-k_5)$	
3	$-\frac{1}{6}(k_3+k_2)$	$-\frac{1}{12}(k_5+k_4)$	$-\frac{1}{144}(k_7+k_6)$	
4	$\frac{1}{24}(k_4-2k_3+k_2)$	$\frac{1}{48}(k_3-2k_5+k_4)$		
5	$\frac{1}{120}(k_5+2k_4+k_3-2k_2)$	$\frac{1}{240}(k_7+2k_6+k_5-2k_4)$		
6	$-\frac{1}{720}(k_6-3k_5 +3k_4+3k_3-6k_2)$			
7	$-\frac{1}{5040}(k_7+3k_6+3k_5$ $-9k_4-12k_3+24k_2)$			

表 3.7 コイルの設計値に対する Стт の値

72	Con	C_{2n}	C_{4n}	C_{6n}
0		0.250000	-0.0225596	0.289139
1	1	-0.125005	0.0385912	-0.220472
2	0.250000	0.072855	-4.31779	
3	-0.041665	-0.032063	-0.343333	
4	0.0191079	4.28721		
5	-0.0117223	1.08179		
6	-0.277815			
7	-0.096915			

注: 表3.3の第3の方法で与えられた km から計算した。

(8), (3)

 C_{mn} と k_m との関係式およびこの関係式を用いて \overline{k}_m から計算 した Cmu を表 3.6 と表 3.7 にあげてある.

4. 運動方程式の数値積分による軌道と解析解 による軌道との比較

高次の次数まで考慮した解析解を求める計算労力は膨大なもの である。そこでわれわれは表 3.7 の C_{mn} の値を用い運動方程式 (2.3) の数値積分を実行して高次の影響を調べた. 以下にその方 法と結果を記す.

1 階常微分連立方程式の数値積分法(15) を式(2.3) に適用した 出発値は Runge-Kutta 法で求め, 進行積分は Milne の Predictor-Corrector 法で行なった。その際、進行区間は一定とした。

得られた数値解の精度は次のようにして確認した. Chalk River の空心 コイル の磁界係数を用い,数個の初期条件の粒子の軌道を 求め、 $\sqrt{2}\pi$ の位置の η と τ の値を Lee-Whiting の計算した値(8) と比較して最後の fg まで一致した結果を得た. Lee-Whiting の 数値積分法は Adams-Bashforth の方法を用いており、両者がよ く一致したことからいずれの数値積分解も正確であると推察でき 法および Graham の設計値を参考して決定したことを付記してお る. このような"こそく"な方法ではなく正確にわれわれの数値

積分の精度を確認することが必要なのはいうまでもない。この点の検討は後述する磁界の展開方法と関連して現在続行中である.

収束点 $\sqrt{2\pi}$ の位置の数値解と解析解との比較を表 4.1 にあげた。両者の差異は磁界係数の高次の項に起因するものであることが Lee-Whiting によって指摘され、解明されている $^{(8)}$. われわれも同じ考察から次の結果を得た、解析解の計算は Lee-Whiting の求めた点線源に対する6次までの式を使用した。

表 4.1 設計磁界中での軌道: 数値計算と解析計算との比較

Н	T	$-\eta(\pi)$	×10 ³	$-\tau(\pi)$)×10 ³
н	4	N	A	N	A
0.0	0.1	0.005	0.005	0.164	0.164
	0.15	0.056	0.058	0,684	0.695
	0.2	0.306	0.326	2.030	2.113
	0.25	1.129	1.243	4.892	5.297
	0,3	3.234	3.713	10.15	11,63
	0.4	16.26	20.86	31.07	42.47
	0.5	53.03	79,57	66.13	120.39
0.01	0.1	0.0546	0.548	0.163	0.164
	0.15	0.0390	0.0395	0.695	0.695
	0.2	0.120	0.124	2,097	2.113
	0,25	0.611	0.655	5.117	5.297
	0.3	2.166	2.422	10.72	11.63
-0.01	0.1	0.0867	0.0884	0.158	0.164
	0.2	0.602	0.660	1.915	2,113
0.025	0.1	0.380	0.379	0.150	0,164
	0.15	0.258	0.260	0.670	0.695
	0.2	0.0622	0.0682	2.100	2,113
	0.25	0.0047	0.0177	5.274	5,298
	0.30	0.643	0.729	11.28	11.63
-0.025	0.1	0.452	0.462	0.138	0.164
	0.15	0.637	0.684	0.567	0.695
	0.2	1.238	1.408	1.664	2,113
	0.25	2.751	3.288	3.967	5.298
0.075	0.1	3.719	3.610	0.0215	0.169
	0.15	3.295	3,140	0.205	0.701
	0.2	2.114	2,017	1.166	2,122
	0.25	-0.0720	0.0157	3.982	5,308
	0.3	-3.168	-2,809	10.17	11.64
-0.075	0.1	3.706	3.862	0.0389	0.168
	0.15	3,928	4.412	0.118	0.701
	0.2	4.797	6.036	0.377	2.121
	0.25	6.972	9.827	1.075	5,308
	0.3	11.40	17.535	2.471	11.64
0.25	0.2	49.54	33.69	-7.199	2.434
	0.3	27.20	9.316	-36.83	12.11
	0.4	-60.46	-47.56	-76.89	43,11
-0.25	0.2	32.24	47.09	1.850	2.433
	0.3	24.69	77.13	-9.825	12,10
	0.4	26,67	166.74	-39.74	43.11

数値解は η_N , τ_N , 解析解は η_A , τ_A のように η , τ にそれぞれ添字 N あるいは A を付けて表わす。 H=0 の場合,期待する項は解析解でまず最初に落した T^8 と T^{10} のおのおのに比例する項の寄与である。 H=0 の解で $\log |\eta_N-\eta_A|$ vs $\log T$ の \mathfrak{I}_{557} を描き,その直線の \mathfrak{I}_{557} 配として \mathfrak{I}_{557} を得た。

次に

 $n_{\pm}*=n(H=\pm 0.025)-n(H=0)$ (複号同順) ……(4.1) を求め、 $\log/(n_{+}*+n_{-}*)_{N}-(n_{+}*+n_{-}*)_{A}/vs\log T$ の プロット から その直線の コウ配 3.8 を得た。これは解析解で落した H の偶数 吊の最初の項 $H^{2}T^{4}$ に比例する項からの寄与とよく一致している。 $\log/(n_{+}*-n_{-}*)_{N}-(n_{+}*-n_{-}*)_{A}/vs\log T$ の プロット は直線からずれ、コウ配が約 3.5 と約 5.2 の 2 直線からなると推察できる。これから $T\leq 0.15$ では $H^{3}T^{2}$ に比例する項の寄与が大きく、

 $T \ge 0.25$ では HT^6 に比例する項の寄与がきいていると推察できる。

z 方向、すなわち τ については H=0 の場合の $\log |\tau_N-\tau_A|$ vs $\log T$ $j_{\text{பッ}}$ 直線からその \Box つ 配 7.1 を得た。 この値は解析解 で最初に落した T^τ に比例する項から期待される値とよく一致している。 さらに

 $H=\pm 0.075$ の場合についても同じ考察をして、 η に関しては $H^{2}T^{4}$ に対応して 4.0, $H^{3}T^{2}$ と HT^{6} に対応するものでは $T\leq 0.15$ で約 3.6, $T\geq 0.25$ で約 4.1 が得られた。 τ に関しては $H^{2}T^{3}$ と HT^{6} のそれぞれに対応して 2.9 と 5.7 を得た.

高分解能に関係した量を考察する際には、解析解による粒子の 軌道そのままを用いて論ずることは不適当である。正確な補正係 数を求めるにはこの数値積分の結果では不十分である。運動方程 式 (2.3) の右辺に用いた展開式では磁界の近似度が足りない。よ り正確な軌道を求めるには、式 (3.2) に実際の 1 の数値を入 れた式を r と z のいくつかの領域内で多項式で近似した形を運 動方程式に代入するか(16), あるいはその式を軌道上の各点で直接 数値積分して運動方程式 (2.3) の右辺に代入して数値積分するこ とが望ましい。このいずれの方法を選ぶかはわれわれの間で検討 中である。

この装置について数値積分から求めた点線源の像の分布を図4. 1 に示した。

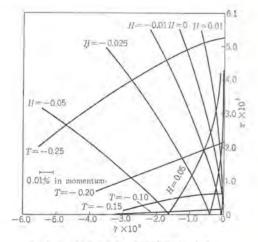


図 4.1 点泉源の像 (数値計算による) Fig. 4.1 Image of a point axial source. (numerical calculations)

5. むすび

これまでに述べてきたことは、主として コイル の設計基本となる量に関係したものである。われわれは十分に満足できる設計値を得ることができたと確信している。この設計値をもとに中コイルの試作をした結果、巻線寸法が設計値に 0.1 mm 前後の精度で製作できる確信を得た。さらに コイルの温度上昇・コイル内の温度分布に関しても完全に規格内に収まることが実験的に明らかとなった。

目的とする分解能に応じて、物理的に必要な最適条件を満足する線源、分析 スリット、パッフル の位置と形状などの考察は現在続行中である.

この装置の設計に関して有益な助言ならびに討論をしていただいた東京工業大学池上栄胤助教授に深く感謝の意を表する。

参考文献

- (1) N. Svartholm and K. Siegbahn; Arkiv. f. Math. Astr. Fys. A33 No. 21 (1946)
- (2) A. Moussa and J.B. Bellecard: J. Phys. et Rad. 15, 85A (1954)
- (3) R.L. Graham, G.T. Ewan and J.S. Geiger: Nucl. Instr. and Meth. 9, 245 (1960)
- (4) J.L. Wolfson, W.J. King and J.J.H. Park: Can. J. Phys. 41, 1489 (1963)
- (5) K. Siegbahn and K. Edvarson: Nuclear Physics 1, 137 (1956)
- (6) K. Siegbahn, C. Nordling, S.-E. Karlsson, S. Hagström,

- A. Fahlman and I. Anderson: Nucl. Instr. and Meth. 27, 173 (1964)
- (7) C. De Vries and A.H. Wapstra: Nucl. Instr. and Meth. 8 121 (1964)
- (8) G.E. Lee-Whiting and E.A. Taylor: Chalk River Report CRT-668. Oct, (1956)
- (9) M. Fujioka: Nucl. Instr and Meth. published. (1965)
- (10) M. Fujioka: INSJ-85 (1965)
- (11) R. Becker: Theorie der Elektrizität, Leipzig und Berlin, (1933)
- (12) 寺沢: 数学概論(基礎編)(岩波書店)
- (13) 森口・高田: 数値計算法 I (岩波講座, 応用数学) (岩波 書店)
- (14) Hastings: Approximation for Digital Computors, Princitor. Univ. Press, (1955)
- (15) 乗松・立木: 数値計算法 (電気書院), レヴィ・パゴット: 微分方程式の数値解法 (雨宮訳,河出書房)
- (16) G.E. Lee-Whiting: (Private communication)

年月日	寄 稿 先	題 名	執 筆 者	所属場所
39- 9- 1	質量分析	スパーク分析における元素の相対感度係数	甲斐潤二郎·三木将代	中央研究所
39- 9- 4	工業化学雜誌	脱塩化水素 ポリ 縮合による ポリイミド	西崎俊一郎・不可三 晃	中央研究所
39- 9- 7	照明普及会	単独競技種目 (4) アイススケート (5) ローラスケート	小堀富次雄	本 社
39- 9- 7	電気学会誌	直視形質量分析計による SF ₆ ガス 中消弧反 応の研究	宮本紀男・鎌谷章博	中央研究所
39- 9- 7	工業化学雑誌	一、二のポリイミドの熱分析	西崎俊一郎	中央研究所
39- 9-15	塩化 ピニール と ポリマ	アナログ 計算機による ポリマー 粘弾性の研究	柴山恭一	中央研究所
39- 9-18	日本化学会欧文誌	Ultraviolet Visible Spectra of Solid States of Aromatic Complexes with Iadine	草川英昭・西崎俊一郎	中央研究所
39- 9-18	電子技術	Vacuum Switch	八代稜穂·大倉敏幹	中央研究所
39- 9-24	関西電力火力部発電課	重油燃料分析 (中間報告 2)	宮下恭一,高田 守	中央研究所
39- 9-26	Analytical Chemistry	Relative Sensitivity Ceofficient for Ele- ments Spark Source Mass Spectrometry	甲斐潤二郎·三木将代	中央研究所
39- 9-26	I, E, E, tron, Co, E, C	A design Theory of recongnition Functions in Self-organizing System	福永圭之介・伊藤貴康	中央研究所
39~ 9-30	東京都電気研究所	照明施設の経済性	小堀富次雄	本 社
39-10-1	真空工学 ハンドブック	放電真空計電離真空計	藤 永 敦	中央研究所
39-10- 2	京都市	中小企業経営管理講座「生産管理の基本問題」	小鳥井 繁	本 社
39-10-5•7	京都市	中小企業経営管理講座 「工程管理・作業管理」	奈川敏雄	本 衬
39-10-9	関西 OR 協会	経営科学基礎コース	服部 寛	本 社
39-10- 7	電子工学 ポケットブック TR	第 Ⅱ 編工業計測 (電子工学 ポケットブック)	馬場文夫	鎌倉
39-10- 8	応用物理学会 JJ. AP	dc Electroluminescence in Zn S(Mn)-Curich Layer thin Films	竹田俊章·稲荷隆彦	中央研究所
39-10-12	建築設備総合協会	高級住宅の照明	小堀富次雄	中央研究所
39-10-13	電気計算(臨時増刊号)	論理回路とその応用	小島一男	鎌倉
39-10-16	電子工学 ポケットブック	第 Ⅱ 編工業計測第 2 章変位	吉山裕二	中央研究所
39-10-16	日本化学	Infrared Absorption Bands Arising from NH strectching Vibration in Solid States of Amine Complexes	西崎俊一郎・草川英昭	中央研究所

高速ケタ上げ加算回路

壷 井 芳 昭*・松 原 要*

High Speed Adder Using A Fast-Carry Circuit

Central Research Laboratory

Yoshiaki TSUBOI • Kaname MATSUBARA

A high-speed binary parallel adder using a saturated-transistor fast-carry circuit has been developed for trial. The adder consists of a carry path, a carry and sum control circuit, a carry amplifier and a sum circuit. The adder circuit has high performance and simple logic construction for its relatively few components required. This article outlines the principle of the operation and describes in detail the adder circuit developed, also touching on the experimental result of the carry propagation. The time for carry propagation over 36 bits was found 80 ns when the switching transistors on the carry path had been saturated before the application of the carry signal.

1. まえがき

近年、計数形電子計算機は大形化とともに、ますます高速化されつつある。計算機の算術演算回路の中心は加減算回路であり、 その動作時間すなわち加算時間は計算機の性能を表わす一つの指標になっている。

加算回路の高速化には、それを構成する論理演算素子の高速化 と同時に、加算器の論理回路構成としては並列加算回路が使用される。並列加算回路の動作速度を制限するのは、加算に際し発生 する ケタ (桁)上げである。たとえば、最下位で発生した ケタ 上げが、最上位まで ケタ 送りされる場合も考えなければならない。

ケタ上げを高速化するためには、ケタ上げを1ケタごとではなく、数ケタごとに一度に行なうなど論理回路構成を変える方法と、ケタ上げ回路に特殊な回路素子を使用し電子回路的に高速化する方法がある。今回、研究試作した回路は後者に属し(1)~(4)、飽和トランジスタをケタ上げ回路のスイッチ素子として使用した、高速ケタ上げ加算器である。この回路方式は、所要部品数の割に高速動作が可能で、また演算回路の論理設計が簡単なことが特長である。

2. 動作原理

2 進数に対する並列加算回路の一般的表示を図 2.1 に示す。ここで、被加算数を A で表わし、A の各 ケタ の値を A_0 , …, A_i …, A_n のように示す。加数 B, ヶヶ上げ C, および和 S についても同様である。このとき、ヶヶi に対する和 S_i および ヶヶi からi+1 に対する ヶヶ上げ C_{i+1} は、

$$S_{i} = A_{i} \cdot \overline{B}_{i} \cdot \overline{C}_{i} + \overline{A}_{i} \cdot B_{i} \cdot \overline{C}_{i} + \overline{A}_{i} \cdot \overline{B}_{i} \cdot C_{i} + A_{i} \cdot B_{t} \cdot C_{i}$$

$$= (A_{i} \oplus B_{i}) \cdot \overline{C}_{i} + (A_{i} \oplus B_{i}) \cdot C_{i} \qquad (2. 1)$$

 $C_{i+1}=A_i\cdot B_i+B_i\cdot C_i+C_i\cdot A_i=A_i\cdot B_i+(A_i\oplus B_i)\cdot C_i\cdots (2,2)$ で表わされる。ただし、 C_i は一つ下の fg i-1 からの fg 上げ

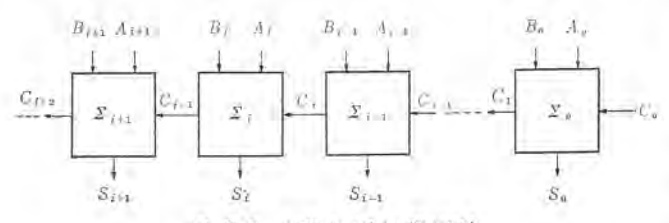


図 2.1 2進並列加算回路 Fig. 2.1 Binary parallel adder.

表 2.1 ケタ 上げ Ci+1 の真理値

	A_i	B_{ℓ}	Cı	Ctas
1	0	Ö	0	0
2	0	1	0	0
3	1	0	0	0
4	1	1	0	1
5	0	0	1	0
6	0	1"	1	T)
7	.1	0	1	+
8	1	1	1	1

である。また、 \oplus は EXCLUSIVE OR を表わし、 $A_i \oplus B_i = A_i \cdot \overline{B_i} + \overline{A_i} \cdot B_i$ である。

まず、 f_9 上げ C_{i+1} についてみると、式 (2.2) に対する真理値表 2.1 から

- (1) A_i と B_i とがともに "0" であれば、つねに $C_{i+1}=0$
- (2) $A_i \geq B_i \geq 5 \geq 5 \approx 1$ "1" c = 1
- (3) A_i または B_i の一方だけが "1" のときは、つねに $C_{i+1} = C_i$ となることがいえる。 これから、 $\overline{A_i} \cdot \overline{B_i} = 1$ あるいは $A_i \cdot B_i = 1$ のときは、下からの f タ上げ C_i に関係なく C_{i+1} はそれぞれ "0" あるいは "1" とし、 $A_i \oplus B_i = 1$ のときは C_i をそのまま C_{i+1} と するように f タ上げ回路を構成すればよいことがわかる。

同様に、和 S_i については式(2.1)より

- (1) A_i または B_i の一方だけが "1" のときは、 $S_i = \overline{C_i}$
- (2) A_i, B_i ともに "1" または "0" のときは、 $S_i = C_i$

となることがわかる。これから $A_i \oplus B_i = 1$ のときは C_i を反転して S_i とし、 $A_i \oplus B_i = 1$ のときは C_i をそのまま S_i とするよう 構成すれば和回路が得られる。

以上のように考えて、fgio1fg 分について加算回路を fgi 回路で構成すると、図 fgi 2.2 のようになる。これは以前から fgi 1 しー 計算機に用いられていた方式である。この構成で注意すべき点は、fgi 1 に対する各 fgi 3 なり、fgi 2 に関係なく fgi 4 とfgi 6 に関係なく fgi 6 に対する各 fgi 7 なり、fgi 7 に関係なく fgi 8 にけで開閉が決定されることである。並列加算器では被加数 fgi 8 は各 fgi 7 同時に与えられるため、上述の fgi 7 なり、fgi 8 同時に開閉される。ひとたび fgi 7 の接点が閉じれば、下の fgi 7 からの fgi 7 に信号は単に fgi 9 上げ回路の配線および接点を通過するだけであるから、ほぼ光速(配線を電気信号が伝わる早さ)で伝わる。上述の fgi 9 回路を伝わる時間は無視できるため、fgi 7 になり、fgi 1 に対し、fgi 7 に付きる fgi 7 に対し、fgi 7 に回路を伝わる時間は無視できるため、

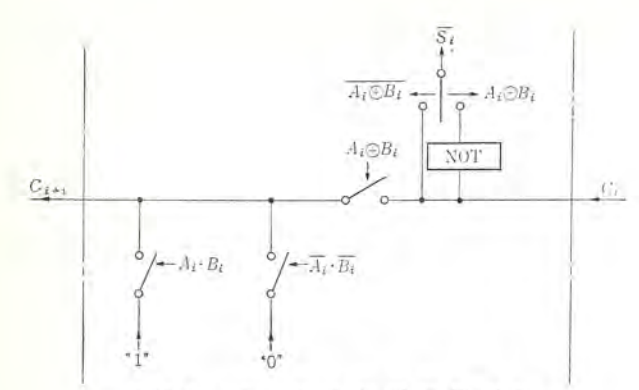


図 2.2 1 ケョ分の並列加算回路 Fig. 2.2 A single full adder stage.

加算時間は スイッチ の開閉時間で決定され、加算の ケタ 数にほぼ 無関係となる.

以下に説明する高速加算回路は、上述のスイッチをトランジスタ回路で置きかえ、開閉時間を電子的に高速化したものである。とくに、図2.2 において、 C_i と C_{i+1} の間の ケタ上げ伝送用 スイッチにトランジスタの コレクタエミッタ間を使用し、ベース 回路に制御入力を入れ開閉を行なうようにしたのがこの方式の特長である。

トランジスタスイッチの開閉は非常に高速で行なわれるため、この場合はむしろ ケタ上げ信号が伝わる時間が加算時間に大きく影響する.

3. 全体の構成

高速 ケタ 上げ加算回路は図 3.1 の ブロックダイヤグラム に示すように、次の四つの主要回路から構成されている。

- (1) ケタ 上げ回路: ケタ 上げ Ci+1 の発生伝達をする.
- (2) ケタ上げおよび和制御回路: ケタ上げ回路および和回路の制御に必要な A_i⊕B_i と A_i⊕B_i を発生する.
- (3) ケタ上げ増幅回路: ケタ上げ回路の信号レベルを他の回路の信号レベルに増幅するとともに、反転増幅し否定信号も同時に発生させる.
- (4) 和回路: (2)および(3)の出力により和信号を発生させる. 図 3.1 に対する実際の回路構成を図 3.2 に示す. 各部回路の詳細な説明は4章で述べる.

被加数 A_i および加数 B_i などの入力信号は,この高速加算回路 と組み合わせて用いる ヴィオードトランジスタ NOR-OR 素子(5)から供給され,その信号 レベル は図 3.3 の "1","0" に対応する.一方,ケタ上げ信号 C_{pi} , C_{pi+1} (以下,ケタ上げ回路を伝わる信号には サフィックス p をつけ,レベル 変換され

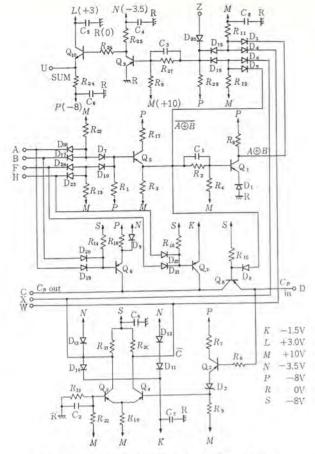


図 3.2 高速加算回路 1 ピット分の回路 Fig. 3.2 Schematic diagram of a single full adder stage.

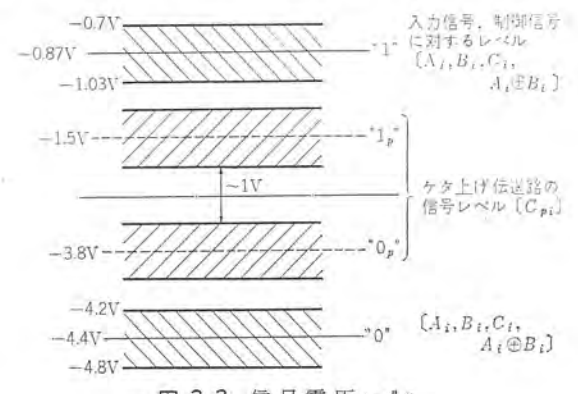


図 3.3 信号電圧レベル Fig. 3.3 Voltage levels of signals.

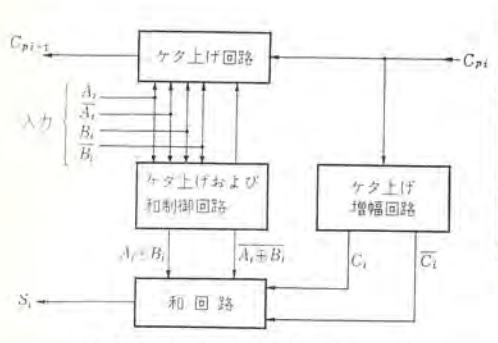
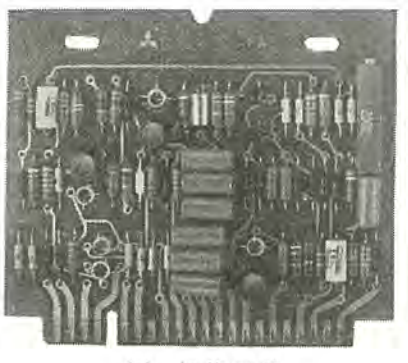
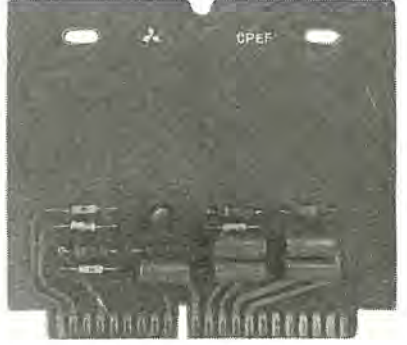


図 3.1 1 ケタ に対する加算回路の ブロックダイヤグラム

Fig. 3.1 Block diagram of a single full adder stage.



(a) 加算回路



(b) エミッタホロア

図 3.4 加算回路基板 (FA) および ヶg 上げ伝送路用 エミッタホロア 基板 (CPEF)

Fig. 3.4 Print circuits of high speed adder (FA) and emitter follower (CPEF).

各回路の電源電圧は、前述の NOR-OR 素子とともに使用する 関係上、できるだけ共通電圧とし、次のものを用いた.

 $+3\,\mathrm{V},\ +10\,\mathrm{V},\ -3.5\,\mathrm{V},\ -8\,\mathrm{V}$: NOR-OR 素子と共通 $-1.5\,\mathrm{V}$: ケョ 上げ回路の "1。" の信号 レベル に使用

試作回路は外観図を図3.4に示すように、114×100 mm の うりっト 板に 1 ケタ 分の回路全体が収容されており、プリント 配線用 フケット にそう入して使用する.

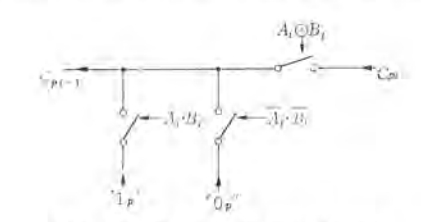
4. 各部回路の説明

4.1 ケタ上げ回路

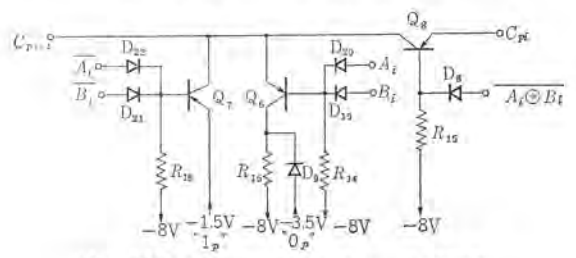
79 上げ回路を スイッチ で示したのが図 4.1 (a) であり、この スイッチ を PnP トランジスタ によって置き換えたものが図 4.1 (b) である. 次に、これらの個々について詳しく説明し、全体としての特性について述べる.

4.1.1 ケタ上げ伝送のためのトランジスタスイッチ

いま、図 4.2 で制御入力 $\overline{A_t} \oplus B_t = 0$ ($A_t \oplus B_t = 1$) の場合について考える。制御入力信号が"0" (-4.4 V) であれば、 C_{pt} が" 1_p " (-1.5 V) あるいは" 0_p " (-3.8 V) どちらでも ゲートダイオード D_8 はつねに シャ 断されており、 R_{15} を流れる電流はすべてト



(a) スイッチ で示した ケタ 上げ回路



(b) PNP トランジスタ で示した ケタ上げ回路
 図 4.1 ケタ上げ回路
 Fig. 4.1 Carry path.

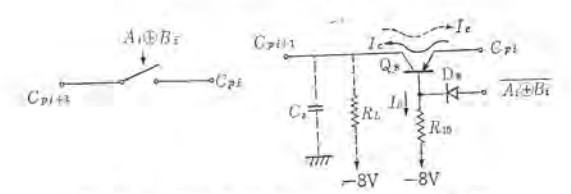


図 4.2 ケタ上げ伝送用スイッチ回路 Fig. 4.2 Circuit for Carry propagation.

ランジスタの ベース 電流 I_B に等しい。トランジスタの エミッタ 接地電流 増幅率を β としたとき。コレクタ から負荷に流出する コレクタ 電流 I_C が β ・ I_B に比べて十分小さければ。この トランジスタ は飽和状態 に保たれる。したがって、トランジスタ (スイッチ) は導通となり、エミッタ コレクタ 間の電圧降下 V_{CE} は非常に低くなる。たとえば、MAT (Micro Alloy Transistor) 形 ザルマニウムトランジスタ を用いた場合 $I_B = 1$ mA、 $I_C = 5$ mA に対し、 V_{CE} は数十 mV 程度になり、入出力間の電圧降下はきわめて小さい。

次に、トランジスタが十分に飽和状態にあるときに、ケタ上げ入力信号 C_m が変化する場合の出力の応答速度について考える.

まず、 C_{pi} が" 0_p "から" 1_p "に変化した場合、 $1 \equiv 99\sqrt{-2}$ 間が順方向に $1\sqrt{17}$ 2 されるため、ただちに $1\sqrt{-2}$ 電流は増加し $1\sqrt{-2}$ 電位を上昇させる。 同時に $1\sqrt{19}$ 電位は $1 \equiv 1/9$ 電位に追従して上昇し、 $1\sqrt{19}$ 電流が増加する。このとき $1/9\sqrt{-2}$ は深く飽和しているため、 $1\sqrt{19}$ 電流の増加分は、 $1/9\sqrt{-2}$ 領域に蓄積されている過剰小数 $1/9\sqrt{-2}$ からただちに供給される。このため小数 $1/9\sqrt{-2}$ の伝達に時間を要さず、 $1 \equiv 1/9\sqrt{-2}$ の信号は遅れなく $1\sqrt{19}\sqrt{-2}$ に伝達される。

一方、 C_{pt} が" 1_p "から" 0_p "に変化する場合は、やや事情が異なる。図 4.2 右に示すように普通、 C_{pt+1} には負荷抵抗 R_L のほかに負荷の容量成分や迷容量などによる容量 C_s が存在する。この C_s にたくわえられた電荷は一部 R_L を通じて放電されるが、スイッチング 時間を早くするためには、トランジスタ の コレクタ から エミッタ を通じて放電させなければならない。このとき トランジスタ Q_s を コレクタ と エミッタ を入れ換えて接続した逆接続のトランジスタ Q_s を コレクタ と エミッタ 接地電流増幅率を β_I とするとき、 β_I · I_B に 比べて放電電流 I_c が小さければ、前述の場合と同様に、コレクタ の 電位は エミッタ のそれに瞬間的に追従する。したがって、ここに 用いる トランジンタ としては、正方向電流増幅率 β_I の大きい対称形の トランジスタ が望ましい。この点 から アロイ 形の トランジスタ が適しており、高周波特性の良好なことから MAT 形のものが最適である。

上とは反対に、ケヌ上げ伝送路のスイッチを開くためには、制御入力に"1" $(-0.9\,\mathrm{V})$ を与える。この場合は、 Q_8 の $\mathrm{I}_{2.9\,\mathrm{V}}$ 電位は C_{pi} が" 1_{p} " $(-1.5\,\mathrm{V})$ あるいは" 0_{p} " $(-3.8\,\mathrm{V})$ のどちらであっても、制御入力のほうがつねに高電位となる。したがって $R_{\mathrm{I}_{8}}$ を流れる全電流は制御入力から D_8 を通じ供給され、 Q_8 の %-ス電流はなくなり Q_8 は 9+ 断される。

以上のように、トランジスタの エミッタコレクタ 間を スイッチ の接点の 代わりに使用し、ベース に制御入力を与えることにより、電子回 路的に開閉可能な理想的な スイッチ を実現することができる.

4.1.2 ケタ上げ信号発生のためのトランジスタスイッチ

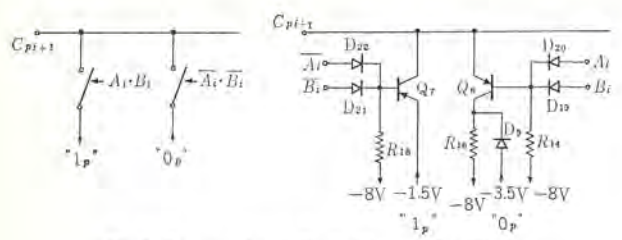
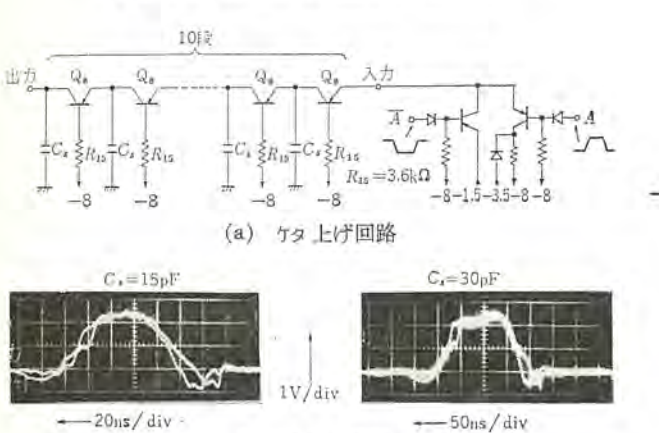


図 4.3 ケタ上げ発生用スイッチ回路 Fig. 4.3 Circuit for carry generation.



(b) 入出力被形 図 4.4 ケタ上げ回路 10 段に対する実験 Fig. 4.4 Experiment of carry path for 10 stages.

図 4.3 において " 0_p " 信号は 25υ つダイオード D_0 を通して送り出されている。 これは、制御入力 $(A_i, \overline{A_i}, B_i, \overline{B_i})$ が同時に "0" または開放になれば (誤配線、誤動作などで)、 Q_6 と Q_7 がともに導通するために、 Q_7 の 15υ 9 $(-1.5\,\mathrm{V})$ から Q_0 の 3υ 99 $(-3.8\,\mathrm{V})$ に流れる 1υ -7 電流を制限するためである。ここで、 Q_6 の 3υ 99 と 15υ 99 が Q_7 とは逆に接続されているのは、ケタ上げ伝送路が " 1_p " から " 0_p " に切り換わる過渡状態において容量負荷の電荷を放電するとき電流を引く必要があるためである。考察中の 15υ 99 15υ 90 15υ 99 15υ 90 15υ 99 15υ 99 15υ 99 15υ 99 15υ 99 15υ 90 15υ 99 15υ 90 15υ 90 15υ 99 15υ

4.1.3 ケタ上げ回路のスイッチング応答の実験

4.2 ケタ上げおよび和制御回路

図 3.1 に示した ブロックダイヤグラム からわかるように,この回路は入力 A_i , $\overline{A_i}$, B_i , $\overline{B_i}$ から,ケタ上げ回路および和回路に必要な $A_i \oplus B_i$ と $\overline{A_i \oplus B_i}$ を発生させるものである。所要部品数を減ら

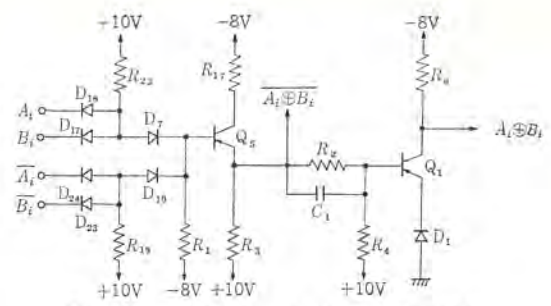


図 4.5 ケタ上げおよび和制御回路 Fig. 4.5 Carry and sum control circuit,

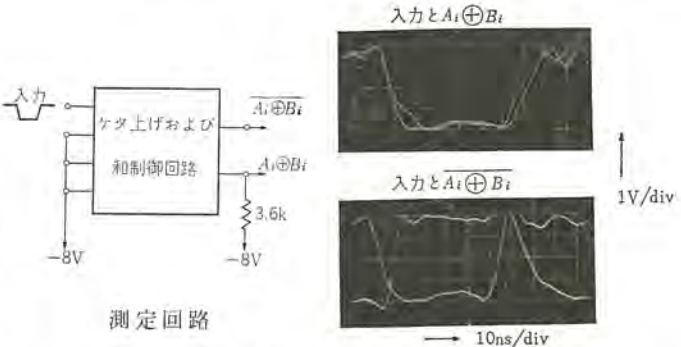


図 4.6 ケタ上げおよび和制御回路のパルス 応答 Fig. 4.6 Output waveforms of the carry and sum control circuit for a negative input pulse.

すため、まず $\overline{A_i \oplus B_i}$ を g/オードゲート で発生させ、インバータ で一段反転することにより、 $A_i \oplus B_i$ を得る方式を採用した。全体の回路を図 4.5 に示す。

まず、Q₅ の ベース 回路に接続された ダイオード AND-OR ゲート により

$A_i \oplus B_i = A_i \cdot B_i + \overline{A}_i \cdot \overline{B}_i$

図 4.6 に ケッ 上げおよび和制御回路単独で パルス 応答を観察した結果を示す。スイッチョグ時間 10 ナノ 秒以下, 出力の遅れ 5 ナノ 秒以下程度である。

4.3 ケタ上げ増幅回路

ケタ上げ増幅回路は ケタ上げ伝送路の信号 レベル " 1_p ", " 0_p " を 他の信号 レベル "1", "0" に増幅するとともに、反転回路により 否定出力を同時に発生させるためのものである. 回路は図 4.7 に示すように、ケタ上げ回路の信号 C_{pi} に対する負荷効果を小さく するため、まず、 12_{9} タ本面じて取り出され、 Q_{3} 、 Q_{4} によって構成される電流切換形回路を駆動する.

まず、 Q_3 と Q_4 による電流切換形回路について説明する. いま、 R_{13} と R_{22} によって決定される Q_3 の $\ref{N-2}$ 電位から、 Q_2 によって駆動される Q_4 の $\ref{N-2}$ のほうが高電位 (\mathbb{E}) であれば、 Q_3 が導通して R_{10} を通る \mathbf{I} \mathbf{I}

なお、クランプダイオード $D_{11} \sim D_{14}$ は他の ゲート 回路と同様に、少数 ++リヤ 蓄積時間の短い高速 スイッチング 用 ダイオード を用いる必要 がある. D_2 は入力 C_{pt} と Q_4 の ベース の間で レベルシフト を行なう

ための y_2 ナーダイオード である。 Q_4 の ベース は、コレクタ よりつねに 正電位になるように動作 レベル を選ぶ。 R_{13} と R_{22} は入力 C_{pi} の変化範囲のほぼ中心で、 Q_3 と Q_4 の電流切換が起こるように設計する。 D_2 による レベルシフト の パラツキ を補正するために、 R_{13} は半固定抵抗器とし、 Q_3 の ベース 電位を適当に調節できるようにしている。

 Q_3 , Q_4 の 3レクタ 負荷抵抗 R_{20} , R_{21} および 1 エラタ 負荷抵抗 R_{10} は出力 C_4 および C_4 に接続される負荷の変動, C_{pi} の信号 レベル,電源電圧の変動,抵抗値の変化などを考慮して,最悪動作点においても 2052727474750 の電流が 0 にならないように,また Q_3 , Q_4 が飽和しないように設計する.

 Q_2 の $\Box \nu \rho \rho$ 回路の抵抗 R_7 は、 $\Box \nu \rho \rho$ 損失を減少させるために入れたもので、 Q_2 がつねに飽和しない範囲で大きく選ぶ

 Q_2 , Q_3 および Q_4 は非飽和で動作するため、 $\Box U D B$ 損失が比較的大きくなるので、最悪条件でも許容 $\Box U D B$ 損失内で動作させるよう注意しなければならない。

図 4.8 は fg 上げ増幅回路の fルス 応答を測定した結果で,入力 fルス,すなわち fg 上げ信号 C_{pi} の電圧 vベル および振幅を変化させた場合の出力波形を示す。この実験結果が示すように,fg 上げ回路の信号を 10 ナノ 秒以内に増幅,反転が可能である。なお,この図は無負荷の場合であるが,NOR-OR 素子を一個駆動した場合には,立ち上がり,立ち下がりが数 f り 秒程度遅れる。

4.4 和回路

 C_i 、 $\overline{C_i}$ および $A_i \oplus B_i$ 、 $\overline{A_i \oplus B_i}$ から和信号 S_i を発生させるための回路であり、

 $S_i \!=\! (A_i \!\oplus\! B_i) \cdot \overline{C}_i \!+\! (\overline{A}_i \!\oplus\! \overline{B}_i) \cdot C_i$

から、 S_i を求める。実際の回路では図 4.9 に示すように、ダイオー

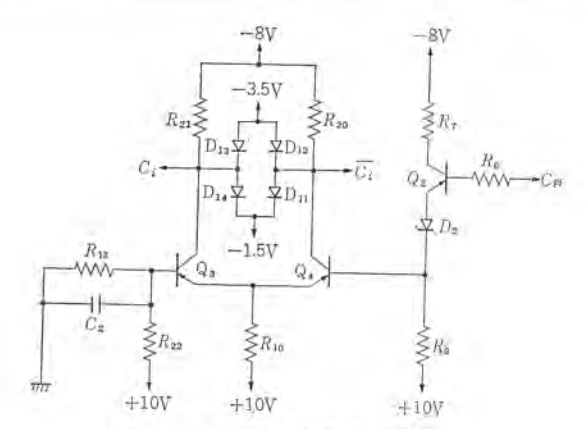


図 4.7 fa上げ增幅回路 Fig. 4.7 Carry amplifier.

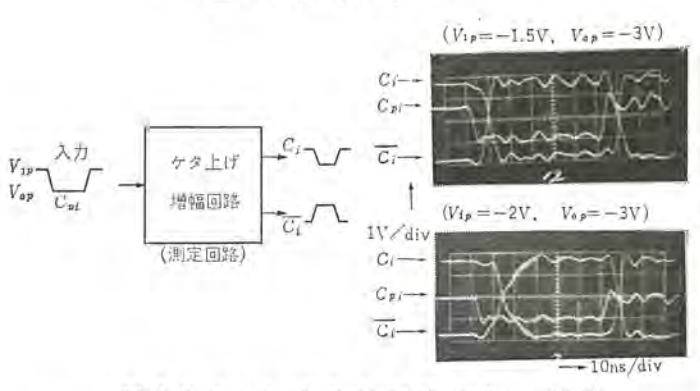
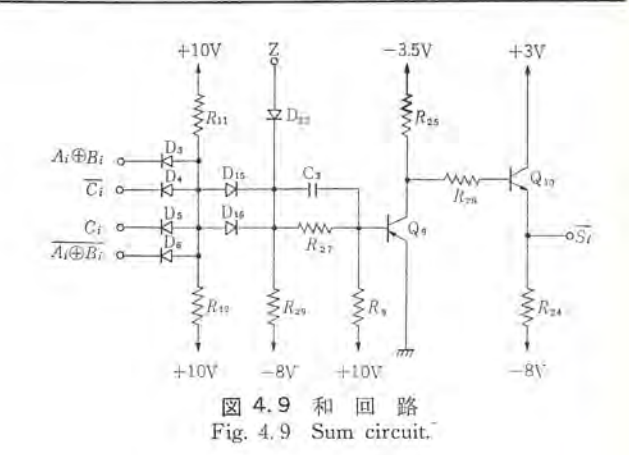


図 4.8 ケタ上 げ 増 幅 回 路 のパルス応 答 Fig. 4.8 Input and output waveforms of the carry amplifier.



Input

Q::2N501

Output

Q::2N779A

Input

Output

Output

図 4.10 和回路のパルス応答 Fig. 4.10 Input and output waveforms for the sum circuit.

ドゲートにより上の演算を行ない、インパータで反転増幅して $\overline{S_i}$ の形で和出力を得ている。同図で、ゲートダイオード D_{15} 、 D_{16} より右側は先に発表した ダイオードトランジスタ NOR-OR と同じ回路および回路定数を用いた。ただ、NOR-OR では D_{15} 、 D_{16} に ゲルマニウムダイオードを使用しているのに対し、和回路では、 D_3 ($D_3 \sim D_6$) による電圧 レベルシフト を補償するため、シリコンダイオード を使用している点が異なる。

図 4.10 は和回路の パルス 応答を示し、入力端子 $A_i \oplus B_i$ だけに パルス 入力を与えた時の出力 $\overline{S_i}$ の波形を示す。 左は インパータトランジスタ Q_0 に 2N501 ($f_T = 200$ Mc)を使用した場合の入出力波形であり、右は Q_0 に 2N779A ($f_T = 450$ Mc)を使用したときの応答である。後者のほうが立ち上がり時間は前者の約半分の 8 ナノ 砂程度になっていることがわかる。

5. ケタトげ信号増幅用エミッタホロア

 f_9 上げが数段にわたって伝わる場合は、図 5.1 に示すように f_9 上げ伝送回路の Q_8 の f_{-2} 電流が R_{15} を通じて流れる。すな わち、N 段にわたって f_9 上げが伝わる場合は、図 f_9 f_9

図 5.2 に $12 \circ 93 \times 10^{-1}$ の回路を示す。 $12 \circ 93 \times 10^{-1}$ という入り、 $12 \circ 93 \times 10^{-1}$ の $12 \circ 93 \times 10^{-1}$ の

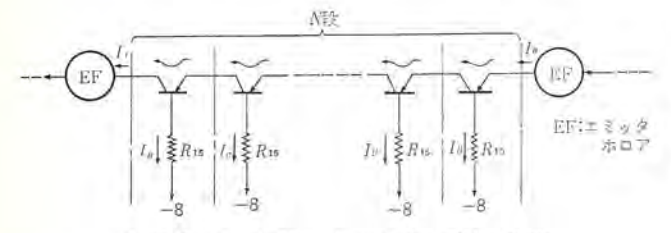


図 5.1 ケタ上げ伝送路における電流の分流 Fig. 5.1 Bypass current in the carry path.

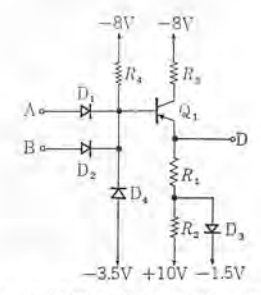
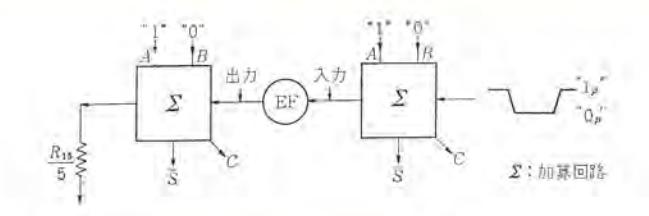


図 5.2 ケタ上げ伝送路の電流増幅用 エミッタホロア Fig. 5.2 Emitter follower of current amplification in the carry path.



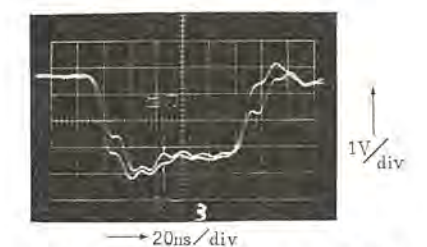


図 5.3 エミッタホロアのパルス応答 Fig. 5.3 Input and output waveforms of the emitter follower.

くするために入れたもので、エミッタ 電流が最大になっても Q₁ が 飽和しないよう値を定める.

6. 36 ビットに対する実験

高速 ケタ 上げ加算回路を用い 36 ピットの並列加算回路を構成した場合の ケタ 上げ時間に対する実験として、ケタ 上げ回路があらかじめ設定されている場合の 36 ピットに対する ケタ 上げ伝送時間を測定した。実験回路の構成を図 6.1 に示す。

36 ピット 全長にわたり ケタ 上げ信号を伝えるため,各 ケタ の加数入力 Bには"1"を与え,被加数 A には最下位以外に全部"0"を与える。A の最下位 A_0 は"1","0"を交互に切り換える。これは, $(11 \cdots 11) + (00 \cdots 00)$ と $(11 \cdots 11) + (00 \cdots 01)$ の加算を交互に繰り返すことに対応する。

ケタ 上げ回路には、6 ケタ ごとに電流増幅用の エミッタホロア を入れている。エミッタホロア の縦続接続による パルス の リンギング を防止するため、後段の エミッタホロア の出力は リンギング 防止用 コイル L を通じて接続している。コイルは フェライトコアに 2 回巻いたもので、1 Mc における インダクタンス は約 2μ H のものである。図 6.2 は最上位の ケタ でみた コイル の効果を示したものである。

次に、図 6.4 に入力 A_0 と、 f_9 上げ伝送路の I = 99 本ロア の各 出力で見た f_9 上げ信号波形の時間および振幅の関係を示す。

図 6.5, 6.6 は $1\sim36$ fg における fg 上げ出力 C_i と和出力 $\overline{S_i}$ を 6 fg ごとに観測したものである。これらからわかるよう に、fg 上げ信号が伝わるのに必要な時間は、 C_{p1} から C_{p36} まで 36 ピットに対し最大約 80 ナノ秒であり、和出力 $\overline{S_0}$ と $\overline{S_{35}}$ で比較した遅れは最大約 90 ナノ秒である。また、入力 A_0 が入ってから、fg 上げ伝送路を fg 上げ信号が伝わったのち、最高位の和信号 $\overline{S_{35}}$ が発生するまでの遅れは最大で約 120 ナノ秒である。

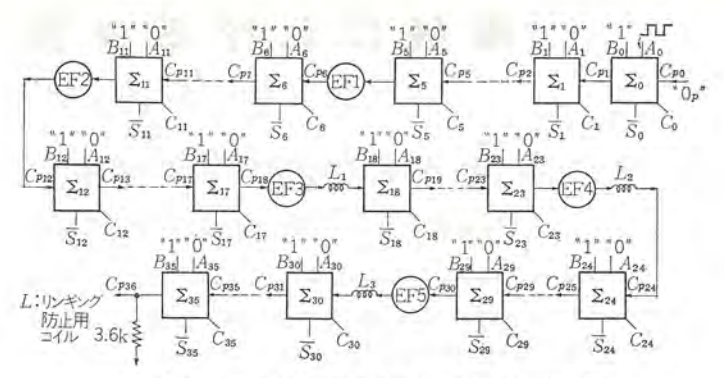


図 6.1 fg 上げ伝送特性測定のための回路構成 Fig. 6.1 Test circuit for carry propagation.

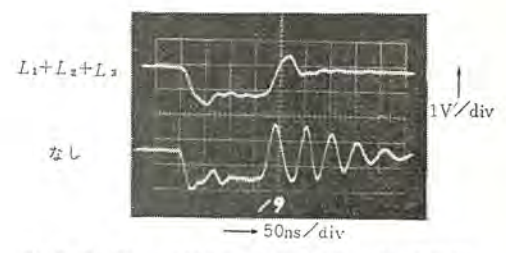


図 6.2 C_{p36} で見た リンギング 防止 コイル の効果 Fig. 6.2 Ringing suppression by inductors. (Waveforms at C_{p36})

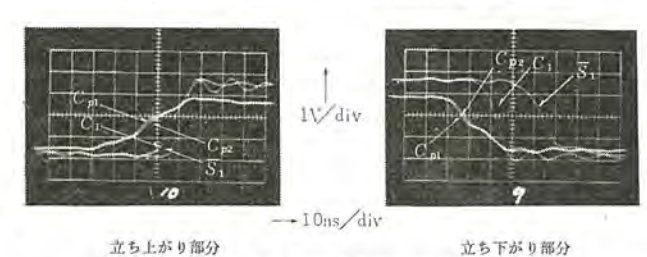
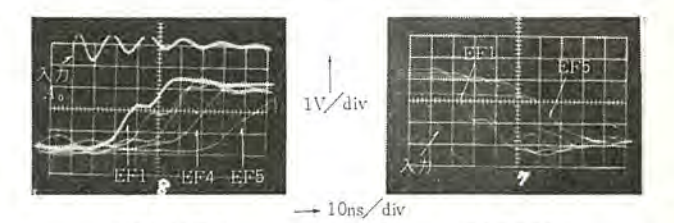


図 6.3 2ヶヶ目における各信号の時間関係 Fig. 6.3 Time relation between signals at the second bit from the lowest.



立ち上がり部分 図 6.4 入力 A_0 と EF_1 , EF_2 , EF_3 , EF_4 および EF_5 の 出力との時間関係

Fig. 6.4 Time relation between input signal A_0 and eash output signal of EF_1 , EF_2 , EF_3 , EF_4 and EF_5 .

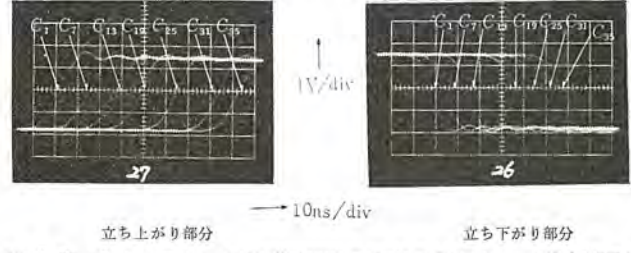


図 6.5 各 ケタの ケタ上げ増幅回路の出力で見た ケタ上げ時間遅れ Fig. 6.5 Propagation delay of carry path observed at the output of the carry amplifier.

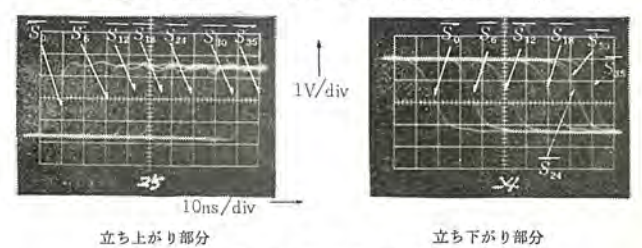


図 6.6 各ケタの和出力 Fig. 6.6 Sum output signals at several stages.

7. む す び

以上, 飽和 トランジスタ を用いた高速 ケタ 上げ回路についての詳細と, 36 ピット に対する実験結果について述べたが, この加算回路の性能を要約すると次のごとくである.

ケタ 上げ回路があらかじめ構成されているのではなく,各 ケタ の入力が同時に変化する場合については,高速加算素子の実用試 験のための総合的な試験装置を試作し実験したので、別の機会に 報告する. (昭 40-4-8 受付)

参考文献

- (1) 高橋・西野: マンチェスタ 大学の高速 ケタ 上げ回路の追試と 2,3の考察,「情報処理」1, No. 1, (1960)
- (2) T. Kilbern et al.: A Parallel Arithmetic Unit Using a Saturated-Transistor Fast Carry Circuit, I.E.E. Paper No. 3302M, Nov., (1960)
- (3) F. Salter: High Speed Transistorized Adder for a Digital Computer, I. R. E. Trans. on E. C. Dec., (1960)
- (4) 山口: 飽和 トランジスタスイッチ を使用した高速加算回路,電子計算機研究会資料,1月,(昭39)
- (5) 中塚・壷井・松原: ダイオード トランジスタ NOR-OR 素子, 「三菱電機技報」, 37, No. 11 (昭 38)

機械における学習

伊藤貴康*•福永圭之介**

Machine Learning and Pattern Recognition

Central Research Laboratory

Takayasu ITO · Keinosuke FUKUNAGA

The class of learning systems represented by networks which learn to recognize patterns, is reviewed from a theoretical standpoint. Some models for the machine learning and criterions evaluating their systems are presented. Also, the first problem of "learning" is called "learning with a teacher", and the second, "learning without a teacher". From these viewpoints are discussed recognition network structures and the learning processes regarding "Statistical learning model", "Perceptron-type learning model", "Adaline-type learning model" and "cut-and-try learning model".

As for the statistical learning models, "Optimum learning model" derived from the statistical decision function theory and approximations of its model are introduced. As regards perceptron, simple perceptron and four-layer perceptron are described. In this paper, the above problems are mainly discussed in terms of orthogonal expansion of the desired function and redundant information removal.

1. まえがき

学習機能に関する研究一般について考えると、だいたい、心理学、生理学、工学の三つの分野に分けられる。心理学からの研究は、人間の行動の変容を支配する基本的な法則を追求する現象論的な研究であり、主として学習心理学として、あるいは最近ではそれを数学的に表現し、数学的解析および演算を行なうことによって学習に関する命題を導こうとする Mathematical Learning Theory として研究されている。また生理学からの研究は、生物の持つ学習機能を一つのブラック・ボックスと考えて、その構造そのものすなわち生物学的、解剖的あるいは生化学的構造を求めようとするものであり、その描象化された数学的モデルとして、McCullochと Pitts により行なわれた一連の pioneering work とそれを発展させた Caianiello のモデルが存在する。

これに対し、工学における研究は入出力の対応関係のみに着目して、生物と同じような機能をもつ ブラック・ボックス を工学的になるべく有利に作ろうとするものである。工学における場合もその用途に応じて、若干研究および方式を異にするが、大別すると、情報処理における研究と自動制御における研究に分けられる。それらをまとめると、表1.1のように整理できる。

この論文はもちろん工学の分野からの学習について論ずるわけであるが、工学の分野からの研究も上述のように、二つに分けられる。学習制御に関しては、まだそれほどの研究成果は出されておらず、適応制御に関しては多数の論文が出ているから、この文

表 1.1 学習機能に関する研究分野の分類

	学習心理学	人間の行動の変容に関する研究	
心理学 Mathematical Learning Theory		Bush-Mosteller や Eese らによって始められたもので、刺激に対する応答に仮説を設けてモデルを構成し、数学的演算によって学習に関する命題を導くもの (Mathematical Psycholog の中心)	
生理学	神経系のモデル	Neuron における成長、忘期のメカニズムの解明 (Caianiello のモデルなど)	
工学	情報処理	統計確率理論の応用, Perceptron, Adaline らの研究	
	自動制御	学習制御,適応制御	

では情報処理分野における学習すなわち (情報処理) 機械における学習について述べる. このような立場に立つときには,一般性を失うことなく,学習を次のように定義してよい.

「学習とは経験によって認識機構を多かれ少なかれ、永続的, 進歩的に変容させることである。」

なお、現在までの情報処理分野における学習に関する研究をみると、パタン 認識をする機械における学習と Heuristic programming における学習とに分けられる。ここで Heuristic programming としては Game-playing program や Problem-solving program のほかに、機械翻訳や音楽の作曲などのようなものまで含んだものを意味するが、最近これらの問題もパタン 認識の問題の一つであると認められるようになっている。それゆえ紙面の関係もあるから、ここではパタン 認識をする機械における学習についてのみ述べる。

なお、機械における学習に関しての historical survey は多くの人によってなされているから、ここでは省略する.

2. 学習機械のモデル

ここで学習機能を持つ情報処理機械の モデル を作ることを考える. 学習機能を持つ機械も情報処理機械の一種であるから,入出力とそれらの対応関係をつける認識機構と,さらに,前節の定義から明らかなごとく,その認識機構を変化させる学習機構が存在しなければならない. 一般には n 入力, m 出力という一般的な場合について考えるべきであるが,従来の研究を考え,ここでは n 入力,1 出力の場合について モデル 化すると,図 2.1 のごとくになる.

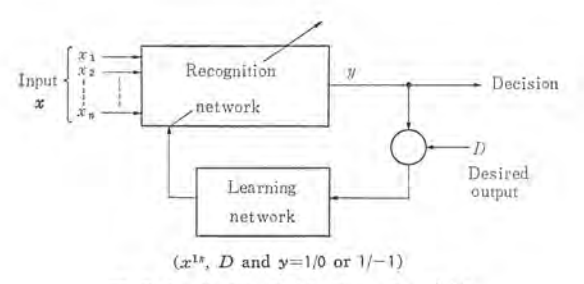


図 2.1 学習機械のモデル(I) Fig. 2.1 A model of learning machine (I).

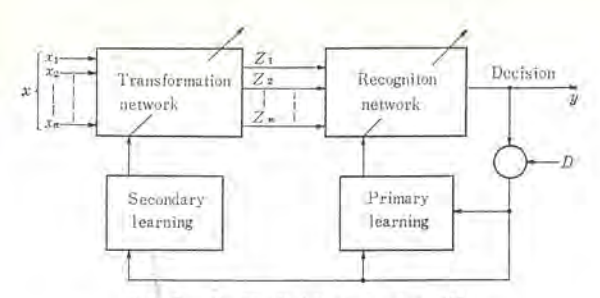


図2.2 学習機械のモデル(II) Fig. 2.2 A model of learning machine (II).

図 2.1 において、入出力は一般的には ptoj 量をとってもかまわないが、ここでは Digital 情報処理という立場から、図中に書いてあるような binary value をとる場合を考える。このように問題を制限することは、従来の多くの研究が、binary であることからも、一般性を失わないと考えられる。図 2.1 において、入力 x に対する認識機構の output y が desired output D と比較されて、その誤差が最小になるように、学習機構が認識機構を変化させる。

なお後述する実際の研究および一般の情報処理の段階の分解を 考慮すると、図 2.1 の モデル は図 2.2 のように分解して考えて よい. 図 2.2 では入力 x が Transformation network でいった ん変換あるいは処理されて、その後の出力 パタン が Recognition network の入力 パタン となる. Transformation network の役割 は、認識機構で入力 パタン の集合を処理する場合に、処理しやす いように、入力 パタン 集合を変換するものである。その変換の方 法として、従来の研究を見ると、二つの流れがある。一つは入力 情報空間における識別 パタン 集合の距離 (Hamming 距離と考え でよい.) が、なるべく大きくなるように変換しようとするもので あり、他の一つは入力 パタン の集合はもともと非常な冗長度 (Redundancy) を含んでいるという仮定のもとに、入力の中から入力 集合識別の特長 (Characteristics) だけを抽出しようとするもので ある。通常、前者の場合は $n \le m$ であり、後者の場合は $n \ge m$ である。

なお、図 2.2 に示したように、認識機構の学習を Primary learning といい、Transformation network の学習を Secondary learning と呼ぶことにする.

3. 学習機械の評価規準

学習機能を持つ機械は図 2.1 および図 2.2 のように モデル 化できるが、

- (1) 学習の規準とその評価法が、現在必ずしも明確には与えられていない。
- (2) 基本的には、解析困難な膨大な入力情報を処理する パタン 認識の問題を扱わねばならないという点から、その処理 システムの実現と、実現された システム の評価規準が確立されていない。という2点から、学習機械の評価を行なう場合、種々の困難が存在する。しかし、だいたい、次の諸点をその規準とすればよいと考えられる。
- (a) machine の optimality (認識性能の大小) はどの程度保 証されるか。
 - (b) machine の simplicity はどの程度か.
 - (c) 学習の収束性 (adaptability) はどの程度か.
 - (d) 多段構成になっているか.

- (e) generalization (はん(汎)化あるいは類別化) の能力を持つか。
- (f) Transformation network の入出力の個数の関係はどうか. [(n>m) か (n<m) か]
 - (g) Transformation network に学習能力を有するか否か,
 - (h) self-learning の能力を持つか。

ここに self-learning というのは desired output が explicit な形では与えられず、入力と decision のみに依存した一定の Algorithm に従って、認識機構を変化させる学習のことである.

4. 機械における学習に関する研究の分類

現在までの研究を理論的な観点からみると、パタン 認識をする学習機械は次の四つに分類できる。

- (1) 統計的学習機械
- (2) Perceptron-type 学習機械
- (3) Adaline-type 学習機械
- (4) 試行錯誤法的学習機械

この章では、これらに対する若干の survey と、筆者の見解を述べるものである。

4.1 統計的学習機械

この分類に属する機械では、学習は確率計算をすることによってなされる。認識機構に関する研究では pioneering work として有名な Uttley の conditional probability model やュウ (尤) 度比検定による learning model があるが、一般的な理論としてはすべて統計的決定関数の理論による Optimum learning model に包含して考えることができる。統計的決定関数の理論による Bayes' Optimum learning model は、各 decision に対する average risk を計算しておき、入力 パタン * が入ってきたときに、* に対する average risk が minimum になる decision を最終的な decision として採用しようとするものである。これら統計確率 モデル によると、他の モデル に比べて理論的であり、Optimality は 保証されるが、machine が複雑になるのが欠点である。それゆえ Simple で、誤りの少ない近似回路網の研究が必要であり、また 最近のこの分野の研究の中心である。

Transformation network に関しては、統計的方法による場合は、特長抽出による方法がある。しかし現在までの研究の多くは 具体的な特長抽出の段階までは進んでおらず、あらかじめ人間に よって選択された特長の中で、どの特長が decision に最も影響 を与えるかを評価する段階にとどまっている。

上述の事情を考え、この章では、認識機構に関してはまず統計 的決定関数の理論による Optimum learning model について述 べ、その後最近なされている近似回路網の 2、3 の代表的な研究 について述べる。特長評価に関しては、この方面の pioneering work である Lewis の考え方と筆者が学習効果という考え方で提 案している方法について述べる。

4.1.1 Optimum Learning Model

統計的決定関数の理論から与えられる Optimum Learning Model は図4.1で与えられる。

図4.1において

 $\mathbf{x} = (x_1, x_2, \dots, x_n)$: 入力 パタシ $\mathbf{a}^{(j)} = a_1^{(j)}, a_2^{(j)}, \dots, a_n^{(j)}, (j=1, 2, \dots, k)$

k: 可能な パタン の個数

 $P(\mathbf{x}|\mathbf{a}^{(j)})$: 実際には $\mathbf{a}^{(j)}$ であるのに noise によって観測 デー

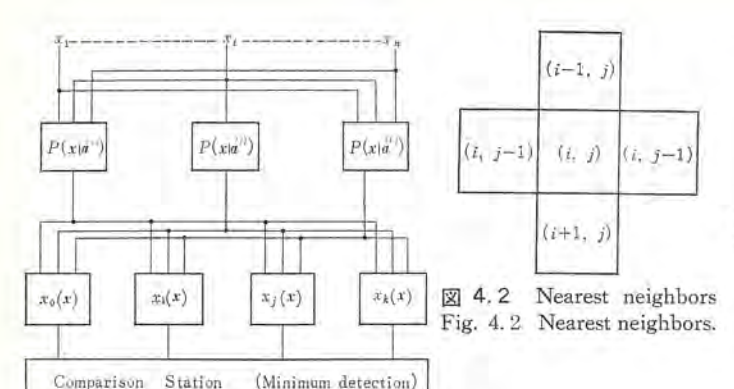


図 4.1 Optimum recognition system Fig. 4.1 Optimum recognition system.

タとして x と観測される条件確率

- 41 --

$$egin{aligned} X_0 = \sum_{i=1}^k w_{i0} p_i P(\mathbf{x} | \mathbf{a}^{(i)}) \ X_j = \sum_{i=1}^k w_{ij} p_i P(\mathbf{x} | \mathbf{a}^{(i)}) \quad (j = 1.2, \cdots \cdot k) \ p = (p_1, \cdots \cdot \cdot, p_k) \; ; \quad p_i \colon \; \text{ fast } i \; \text{ の生起確率} \ \sum_{i=1}^k p_i = 1, \quad p_i \geq 0 \end{aligned}$$

 w_{ij} : w_{ii} : correct recognition の weight (loss function) w_{ij} : ith character を jth character と誤った weight w_{i0} : ith character を reject する weight $(w_{ij} > w_{i0} > w_{ii})$

yo: rejection

 y_1, y_2, \dots, y_k : decision

4.1.2 Optimum Learning Model の近似回路網

一般的な Optimum network は図 4.1 によって与えられるが、図から明らかなように、n が少し大きくなると非常に複雑な回路となる。それゆえ、ここでは Optimum model をできるだけよく近似する近似回路網について述べる。

(a) 変数間の独立性を仮定した方法

入力変数間の独立性を仮定した場合には

$$p(x_1, x_2, \dots, x_n) = \prod_{i=1}^{n} p(x_i) \dots (4.1)$$

dichotomy problem として、ユウ 度比検定を用いるとすると $p(x_i=1)=\alpha_i$ or β_i , $p(x_i=0)=(1-\alpha_i)$ or $(1-\beta_i)$ とした場合 には

$$\begin{split} \frac{p_1(x_1,x_2,\dots,x_n)}{p_2(x_1,x_2,\dots,x_n)} &= \frac{\prod\limits_{i=1}^n \alpha_i x_i (1-\alpha_i)^{1-x_i}}{\prod\limits_{i=1}^n \beta_i x_i (1-\beta_i)^{1-x_i}} > \lambda \Rightarrow 1 \\ &\sum_{i=1}^n \left[x_i \log \frac{\alpha_i}{\beta_i} + (1-x_i) \log \frac{1-\alpha_i}{1-\beta_i} \right] > \log \lambda \Rightarrow 1 \\ &< \Rightarrow 0 \\ &\qquad \qquad > 0 \\ &\sum_{i=1}^n w_i x_i > T \Rightarrow 1 \; ; \; < T \Rightarrow 0 \\ &\text{where} \quad w_i = \log \frac{\alpha_i (1-\beta_i)}{\beta_i (1-\alpha_i)}, \qquad T = \log \lambda + \sum_{i=1}^n \log \frac{1-\beta_i}{1-\alpha_i} \\ &\qquad \qquad > \dots (4.4) \end{split}$$

(b) 変数間の Neighbor Dependence を仮定する方法

変数間に図4.2のような neighbor dependence のみが存在する場合, すなわちもっと厳密には図4.1 において

$$P(\mathbf{x}|\mathbf{a}^{(j)}) = \prod_{\substack{1 \le i \le r \\ 1 \le j \le s}} P(x_{ij}|x_{i,j-1}; x_{i-1,j}; \mathbf{a}^{(j)}) \quad \dots \dots \dots \dots (4.5)$$

 $\text{CIM}\ r+s=n,\ x_{0j}=x_{i0}=0\ \ \text{for all}\ i\ \text{and}\ j$

 $P(x_{i,j}|x_{i,j-1}; x_{i-1,j}; \boldsymbol{\alpha}^{(j)})$

$$= \begin{cases} P(x_{11} | \boldsymbol{a}^{(j)} & ; i = j = 1 \\ P(x_{1j} | x_{1,j-1}; \boldsymbol{a}^{(j)}; i = 1, j > 1 \\ P(x_{i1} | x_{i-1,1}; \boldsymbol{a}^{(j)}; i > 1, j = 1 \end{cases} \dots \dots (4.6)$$

図 4.1 と一致させるため p_j $P(x|a^{(j)})$ の natural logarithm $T(x|a^{(j)})$ を考えると

 $T = \ln p_k P(\mathbf{x}/\mathbf{a}^{(k)})$

となり、簡単な近似回路網が構成できることがわかる.

(c) desired function の直交近似による方法

図 1.1 において π_{Fl} の過去の経験は P(x,D=1), P(x,D=-1) なる確率で与えられるが,入力 x に対する decision σ error minimum という意味での最適な認識関数である desired function f_d は次式で与えられる。

$$f_d = P(\mathbf{x}; D=1) - P(\mathbf{x}; D=-1) \ge 0 \Rightarrow 1$$

$$< 0 \Rightarrow -1$$

$$(4.8)$$

ここに $X=\{X_0\equiv 1,\ X_1=x_1,\ \cdots\cdots,\ X_n=x_n,\ X_{n+1}=x_1\cdot x_2,\ \cdots\cdots,\ X_{2^n-1}=x_1\cdot x_2\cdot\cdots\cdots\cdot x_n\}$ という関数系を考えると、 $X\ni vh_i,h_j$ に対して

内積:
$$(h_i, h_j) = \frac{1}{2^n} \sum_{\mathbf{x} \in [\mathbf{x}]} h_i h_j = \delta_{ij}$$
(4.9)
 δ_{ij} : Kronecker's delta

なる直交関係がなりたち、しかも X は完備であるから、 f_a は完備な直交関数系 X によって次のように直交展開できる。

$$f_d = \sum_{i=0}^{2^n-1} \phi_{di} X_i; \quad \phi_{di} = \frac{1}{2^n} \{P(X_i = D) - P(X_i = D)\} \cdots (4.10)$$

式 (4.10) は 2^n 個の項からなる多項式であるが、そのうち任意の m 項 $(\hat{\mathbf{s}}$ \mathbf{i}_0 項,第 \mathbf{i}_1 項,……,第 \mathbf{i}_{m-1} 項)のみで,この関数 f_n との二乗平均誤差を最小にする近似認識関数を求めると次式となる。

$$f = \sum_{i=0}^{m-1} \phi_{dij} X_{ij}; \quad \phi_{dij} = \frac{1}{2^n} \{P(X_{ij} = D) - P(X_{ij} \approx D)\} \cdots (4.11)$$

式(4.11)によって、われわれは任意の近似回路網を構成する方法を得たが、式(4.11)をさらによりよいものに modify する統計的な手法が学習効果という考え方を導入して後述されるであろう。

4.1.3 特長抽出と特長評価関数

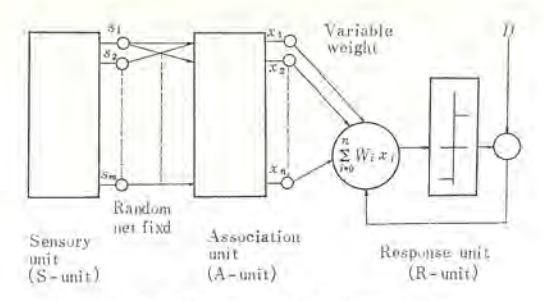
この場合、モデルを図2.2よりも一般化して、図4.3のようなモデルで考え、Lewis の行なった pioneering work を紹介する.

図 4.3 において、各 characteristic が decision に及ぼす影響 が独立である。すなわち

$$P(z_1, z_2, \dots, z_m | y_i) = \prod_{j=1}^m P(z_j | y_i)$$
; for all y_i … (4.12) と仮定した場合には、次の三つの性質を満す特長評価関数として式 (4.14) を考えるのが妥当である.

- (a) $G_j > G_l$ なら z_j だけを用いた認識系は、 z_l だけを用いた 認識系よりよい認識率を示す
- (b) $G_j > G_l$ なら特長 z_j と任意の特長集合 \bar{c} を用いた認識 系は z_l と \bar{c} を用いた系よりよい認識率を示す

三菱電機技報 · Vol. 39 · No. 6 · 1965



☑ 4.3 Simple perceptron Fig. 4.3 Simple perceptron.

(c) ĉs: 特長の集合

 G_s : \bar{c}_s における特長に対する value の和

 P_s : \tilde{c} を用いた認識率

とするとき、認識率は G_j の linear function で与えられる.

$$P_s = AG_s + B$$
(4, 13)

この三つの条件を満す統計量として次の G_j を提案する.

$$G_{j} = \sum_{i=0}^{N} \sum_{k=1}^{n_{j}} P(y_{i}, z_{j}(k)) \log \frac{P(z_{j}(k) | y_{i})}{P(z_{j}(k))} \qquad (4.14)$$

この G, が特長評価の関数である.

4.1.4 学習効果による認識率向上法

一般に学習による認識率の向上ということは、逆に考えると認識機構の性能が大になるように、情報源の統計的性質を変化させることであると考えてよい、ここでいう学習効果というのは、このような立場に立つものであって、前述の desired function との直交近似による認識関数を用いた場合に、認識率が良くなるように、オートマトン内部で情報源の統計的性質を変換する次のパラ・メータ 群 s's のことである。

直交近似による認識関数として線形関数を用いると,学習効果 を考慮した線形認識関数は次式となる.

$$F(\boldsymbol{x}; s) = (1/T_s) \sum_{i=0}^{n} \{s(M_i^{(+)} - M_i^{(-)}) - (N_i^{(+)} - N_i^{(-)})\}x_i + \cdots + (4.17)$$

ここで次の統計量――情報識別量――を最大にするように、学 習効果 s を定めると認識率が改善される.

$$Q = \frac{F_{ex}^{(+)} - F_{ex}^{(-)}}{V_{ar}[F^{(+)}] + V_{ar}[F^{(-)}]} \cdots (4.18)$$

ここに $M_i^{(\pm)}$, $N_i^{(\pm)}$ は図 1.1 において D=1 および -1 と 教育された fso で i 番目の入力が ± 1 の個数であり、

 $T_s {=} s(M_i^{(+)} {+} M_i^{(-)}) {+} (N_i^{(+)} {+} N_i^{(-)}) \ \ \text{\ref{eq:sol}}.$

〔注〕 Optimality の定式化と線形 ィキ(閾) 値関数

上述において、統計的方法によると、Optimality が保証されるといったが、dichotomy problem の場合には optimal な認識関数は式 (4.1) の desired function f_d によって与えられる。それゆえ学習によって認識関数を変えさせるときの目的は、できるだけ近似度よく f_d を実現することであるといえる。それは次式のように書ける。

$$\sum_{\mathbf{x} \in [\mathbf{x}_a]} P\{f^*(\mathbf{x}) - f_d^*(\mathbf{x})\} \Rightarrow \text{max.} \quad \cdots \qquad (4.19)$$

ここに $f(\mathbf{x})$ が $f_a(\mathbf{x})$ を近似する関数であり、* 印はその符号をとることを意味する. なお $\{\mathbf{x}_p\}$ は過去に教育された $f(\mathbf{x})$ の集合である. 式 $\{4,19\}$ が成立する近似関数 $f(\mathbf{x})$ を求めるのが目的であるが、machine の simplicity という要求から、従来の研究の多くは $f(\mathbf{x})$ として、次のような線形閾値関数あるいはその複合系において weight を最適に設定する問題を扱っている.

線形イキ値関数

$$\sum_{i=1}^{n} w_i x_i - T \ge 0 \Rightarrow 1; < 0 \Rightarrow -1 \qquad \cdots (4.20)$$

4.2 PERCEPTRON

Perceptron は アメリカ Cornell 大学の F. Rosenblatt によって 提案された モデル であって、膨大な資料と報告書があるが、大別 して初期の基礎的な研究である Simple perceptron とそれによって得られた結果に基礎をおいた 4-layer perceptron に分けられる.

4.2.1 simple perceptron

simple perceptron は 3-layer perceptron とも呼ばれ、図 4.3 のような 3 層からなる.

A-unit と R-unit が weight w を経て結合されていて、その weight が学習によって変化する。その学習法として、simple perceptron では、error-correction learning と forced learning が提案されているが、error-correction learning は図 4.3 の x の 集合すなわち Response unit への入力の集合が線形分離可能(必ず線形シキイ値関数で誤りなくわけられる)なパタン集合である場合に対し、その収束性を保証するため Perceptron の基礎となっている。

error-correction learning というのは

「response が誤りである場合にのみ, active A-unit に対する weight を $\eta_d^{(j)}$ (η : positive number) だけふやし、それ以外の weight に対しては何もしない学習法である。」

simple perceptron においても、目的は desired function を近似度よく実現することであって、simple perceptron の段階を式で表現すると次のように考えることができる。

$$f_{\mathfrak{A}} = \sum_{i=0}^{2^m-1} a_i \psi_i(s_1, s_2, \dots, s_m)$$
 $(\psi_i \colon \mathbb{R} \oplus \mathcal{O} \text{ base})$

$$\cong \sum_{j=1}^n a_{ij} \psi_{ij}(s_1, s_2, \dots, s_m)$$
 $(\text{random net } \text{による変換と近似})$

$$= \sum_{k=1}^n w_k \cdot x_k \quad (4.21)$$

ここに

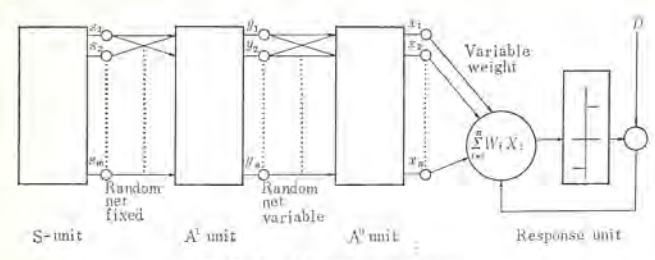
$$x_k = \psi_k(s_1, s_2, \dots, s_m)$$

Simple Perceptron の問題点

- (1) {x} が linearly separable でない場合, error-correction learning がどの程度有効な方法かの保証がない.
- (2) 展開の base ψ_i の決定法として、simple perceptron では単に random connection network による変換といっているだけで理論的な裏付けはなく、またnをいくつにすればよいかの問題も解決されていない。

4.2.2 4-layer perceptron

4-layer perceptron / simple perceptron O A-unit & R-unit



☑ 4.4 4-layer perceptron Fig. 4.4 4-layer perceptron.

との間に、もう一つ random connection で variable weight の Association をそう入したもので、そのモデルは図 4.4 にて与え られる.

図 4.4 において S-unit と AI-unit 間の関係は simple perceptron と同じであって、AII-unit は AI-unit と 1 to 1 に対応しており、シキイ値 θ を持っている。 active な AI-unit a_{μ} I は対応する AII-unit a_{μ} I に θ の signal を伝送し、他の a_{ν} II に対しては $\nu_{\mu\nu}$ だけ signal を伝送する。その他の場合は何も送らない。 $\nu_{\mu\nu}$ が学習によって変化する。その仕方は

$$v_{ij}(t+\Delta t) = v_{ij} + \eta \Delta t$$
; (for $a_i^{\text{I}}(t)$: active,
 $a_j^{\text{II}}(t+\Delta t)$: active)
 $= v_{ij}(t) - (\delta \Delta t)v_{ij}(t)$; (for others)

式 (4.22) から明らかに、A^I-unit の学習は response に関係しない学習となっており、self-learning の代表的な例の一つである。

なお R-unit は simple perceptron の場合と同じになっている.

4-layer perceptron でやろうとしていることは、式(4.21)の展開の base を学習によって、modify することにより、{x} としてなるべく linearly separable なものを得ようとすることであると考えることができる。しかし perceptron で提案されているような base の修正法で収束することの証明は全然されていないのが現状である。これを式で表現すると、下記のようになる。

$$f \cong \sum_{l=1}^{n} a_{l} \psi_{l}(y_{1}, y_{2}, \dots, y_{n})$$

$$base modification (AII-unit learning)$$

$$weight modification (R-unit learning)$$

4.3 ADALINE

これは Stanford 大学の B. Widrow によって提案された モ

デルで、decision unit の線形 イキ 値関数を設計するのに desired output と線形 イキ 値関数の Analog 誤差の二乗平均を minimize するように、weight を設計しようとするものである。その際、微分をとって考えると、結局、線形 イキ 値関数設計の問題は連立一次方程式を解く問題におきかえることができることを示し、その際、解法に最急降下法を用いそれを学習の方法としている。

図 4.5 (a) に基本となる Single ADALINE,

- (b) & MADALINE (multiple ADALINE),
- (c) に Multi-layer ADALINE の例を示す。

4.4 試行錯誤法的モデル

これは式(4.19)で与えられる性能が最大になるように、係数を試行錯誤的に変化させるものであるが、代表的な研究の一つである Mattson の研究によっても知られるように多数の試行回数を要し、収束が遅いのが欠点である。しかしこの種の研究によって多くの興味ある結果が得られている。

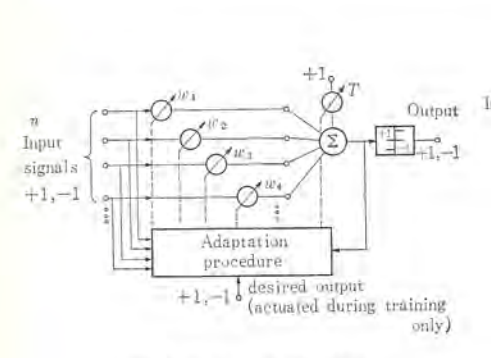
5. む す び

以上この論文においては、パタン 認識をする機械における学習について、主として統計的学習機械と Perceptron に関して、筆者の見解を示した.機械における学習に関する研究は、まだその緒についたばかりで、理論的な基礎も固まっておらず、主として大形計算機を用いた simulation による実験的研究が多いが、3章にも述べたごとく、この問題の本質が多入出力の解析困難なパタン認識を行なわせる点にあるため、IBM 7090 class の計算機によっても十分な実験を行なえるとはいえないのが現状である.

それゆえ、4章で述べた統計的な観点からなされているような 理論的研究や、Perceptron・Adaline で行なわれているような解 析的な研究の発展がまたれる。それらの総合によって機械におけ る学習と パタン 認識に関する一般理論が構築されるものと考えら れる。

今後この方面での問題点を List up すると、次のようなものがある。

- (1) Optimum learning model を近似する近似回路網の設計 法
 - (2) 特長抽出・評価および情報識別のための統計量
- (3) 学習能力を持つ イキ 値素子の簡単な設計法とその複合による非線形学習系の構成
- (4) 特長抽出を行ない、はん化に重要な働きをする Transformation Network の構成法
 - (5) 順序回路の概念の導入



☑ 4.5(a) ADALINE Fig. 4.5(a) ADALINE.

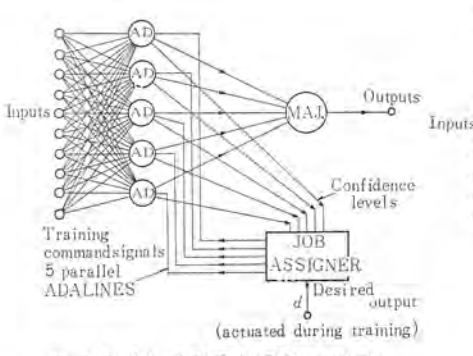


図 4.5(b) MADALINE の構成 Fig. 4.5(b) Configuration of MADALINE.

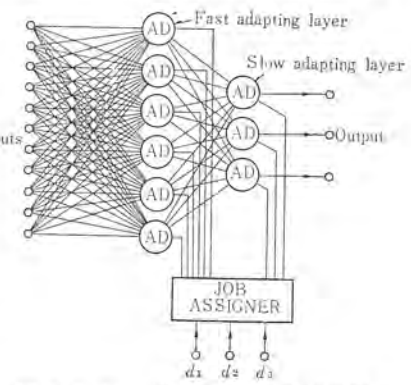


図 4.5(c) Two-layer ADALINE Fig. 4.5(c) Two-layer ADALINE.

- (6) 思考過程, とくに Problem-solving や証明過程の分析と その機械化
 - (7) 自己増殖機械との関係を明らかにすること
- (8) 学習能力を持つ high speed element の開発

(昭 40-4-15 受付)

参考文献

- A. Survey または全体を包括する文献
 - (1) 「電気通信学会誌」、オートマトン 特集号、11 月号 (昭38)
 - (2) Yovits, Jacobi and Goldstein: Self-organizing systems, Spartan Books (1962)
 - (3) Von Forester and Zopf: Principles of self-organization, Pergamon Press (1961)
 - (4) J. K. Hawkins: Self-organizing systems, Proc. IRE (Jan. 1961)
 - (5) M. Minsky: Steps toward Artificial Intelligence, Proc. IRE, (Jan. 1961)
 - (6) Yovits and Cameron: Self-organizing Systems, Pergamon Press (1959)
- B. オートマトン 的な立場からの文献
 - (7) Artifical Intelligence, IEEE Publication Jan. (1963)
 - (8) Switching Circuit Theory and Logical Design, IEEE Publication Sept. (1961)
 - (9) Shannon and MaCarthy: Automata Studies, Princeton University Press (1956)
- C. 統計的な立場の文献
 - (10) C. K. Chow: An optimum character recognition system using decision functions, IRE Trans. on EC-6, December (1957)
 - (11) C. K. Chow: Arecognition method using neighbor dependence, IRE Trans. on EC-11, October (1962)
 - (12) M.E. Maron: Design principles for an intelligent machine, IRE Trans. on IT-8, September (1962)
 - (13) N. Abramson and D. Braverman: Learning to recognize patterns in a random environment, IRE Trans. on IT-8, September (1962)
 - (14) G. S. Sebestyen: Decision Making Process in Pattern Recognition, The Macmillan Company (1962)
 - (15) W.H. Highleyman: Linear decision functions with application to pattern recognition, Proc. IRE June (1962)
 - (16) A. M. Uttley: Conditional probability machines and conditioned reflexes, in Automata Studies, C. E. Shannon and J. McCarthy, Eds., Princeton University Press,

(1956)

- (17) P. M. Lewis: The characteristic selection problem in recognition systems, IRE Trans. onIT-8, February (1962)
- (18) K. Fukunaga and T. Ito: A design theory of recognition functions in self-organizing systems.
- (19) 福永・伊藤: Self-organizing System における認識関数の設計理論,「電気通信学会誌」, 11月号(昭38)
- (20) 福永・伊藤: Self-organizing System における学習効果,「電気通信学会誌」,9月号(昭39)
- (21) 伊藤・福永: Adaptive digital pattern recognition に おける認識関数の統計的設計法, 通信学会 オートマトン と自 動制御研究会, 1月(昭40)
- (22) K. Fukunaga and T. Itō: Iterative realization of pattern recognition networks, IFIP '65 Congress, Symposium on self-organizing systems and pattern recognition.
- D. Perceptron に関する文献
 - (23) Rosenblatt, F.: "Principles of Neurodynamics" Spartan Books (1962)
 - (24) Block, H. D.: "The Perceptron: A Model for Brain Function", Rev. Modern Physics, 34 (1962)
 - (25) Block, H. D., Knight, B. W., and Rosenblatt, F.: "Analysis of a Four-layer, Series-coupled Perceptron" Rev. Modern Physics, 34 (1962)
- E. Adaline に関する文献
 - (26) B. Widrow: "Adaptive sampled-data systems—A statistical theory of adaption", 1959 WESCON Convention Record, Part 4.
 - (27) B. Widrow and M.E. Hoff: Adaptive Switching Circuits, 1960 WESCON Convention Record, Part IV.
- F. 試行錯誤法 モデル に関する文献
 - (28) R. L. Mattson: A self-organizing binary system, Proc. WJCC (1959)
 - (29) M. Fischler, R. L. Mattson, O. Firschein and L. D. Healy: An approach to general pattern recognition, IRETrans. on IT-8, September (1962)
 - (30) W. K. Taylor: Pattern recognition by means of automatic analog equipment, Proc. IEE, vol. 106 pt. B March (1959)
 - (31) O. G. Selfridge: Pandemonium: A paradigm for learning, London Symposium on Mechanism of Thought Processes (1959)



SCR インバータとその応用 (その 2) ―原理と動作 (上)―

大野栄一*

1. まえがき

SCR は静止 レオナード などの可変電圧整流装置にはすでに広く 用いられており、容量的にも多数の素子の直並列接続によって、 数千 kW という記録を打ちたてつつある。しかし一方、その短い ターンわ 時間によって従来の インパータ は根本的に様相を一変し、 並列・方形波 インパータ の時代となった。また SCR の高信頼性に よって補助的 スイッチ としても、ふんだんに使うことができるため、各種の高性能転流回路の発展を見るに至り、整流装置以上の 技術的革新が生じている。

この技術講座でも、(その 1) の "歴史と展望"に引き続き、 今回と次回の2回に分けて、新しい転流回路を中心に SCR インパータの原理と動作について解説を加えてみたい。

(注) SCR は周知のように最初の開発を行なった GE によって名づけられた Silicon Controlled Rectifier の略であるが、最近 IEC により正式には サイリスタ (Thyristor) の一種 (正確には逆阻止 3 端子 サイリスタ) と呼ばれることになった。

2. 転流回路とインバータ

2.1 ターンオフ機構とターンオフ時間

周知のように非導通状態にある SCR を導通状態に変化させる ターンオン は、ゲート に正 パルス を加えることによって簡単にできるが、一度導通状態となった SCR の ゲート はその制御能力を失う ために、逆にこれを非導通状態とすること (すなわち ターンオフ) は困難となる.

導通状態の SCR 内部には多数の キャリア が注入されているから、これに逆電圧を加えた直後には負荷電流に相当した大きな逆電流が流れる. この逆電流と、SCR 内部における再結合とによって蓄積 キャリア は消滅し、逆電流も減少するとともに アノード・カソート 間には逆電圧が確立される. その後一定時間経過すれば、順方向阻止能力を回復し、アノード・カソード 間に順電圧が印加されても ゲート 信号が与えられない限り非導通状態にとどまる(図 2.1 参照).

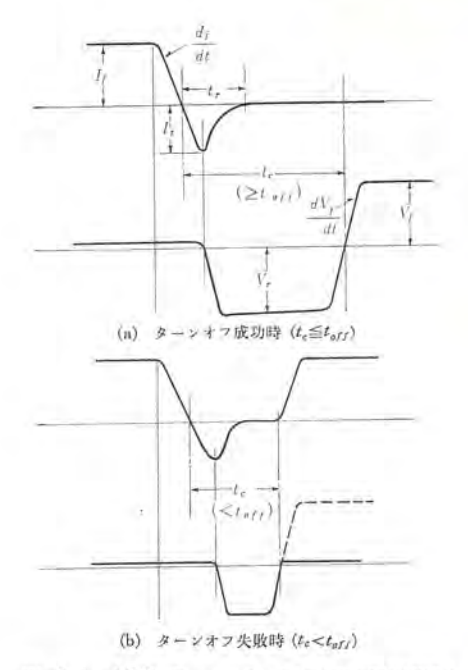


図 2.1 SCR の ターンオフ 時の電流電圧波形

表 2.1 各種要因の ターンオフ 時間に及ぼす影響

		要 因	*1) 変化の 方 向	基準状態	影響の程	度
Ì	T_j	接合部温度	+	125°C (100°C)	80~100°C 変化により 2 倍	Tof
2	I_f	順電流 (ター ンオフ前)	+	定格電流	100% 変化により Toff 20% 以内	変化
3	$dI_f dt$	順電流変化率	+		影響小(Tr に対しては 大)	- 10
4	I_r	遊 電 流 (ビーク値)	14	定格電流	同	£
5	V_r	遊 電 压	=	定格電圧	影響	15
6	dV_f/dt	再印加順電圧 変化率	+	20 V/μs (100 V/μs)	10 → 100 V/µs 変化で 1.5 倍	Tofs
7	V_f	再印加順電圧	+	定格電圧	影響	小
8		ゲート回路		ゲート開路	-1.5V 以上のバイアス り Toff 20% 減少	KI

*1) 要因の量が増加したとき T_{off} が増加するものを +、逆に減少するものを - と示した。

この順電圧の再印加が早期に過ぎると完全に順方向阻止能力を 回復していないために、ふたたび導通状態に戻ってターンオフでき ないことになる。このように、電流が0となってから次にふたた び電圧が正となるまでには一定時間の経過を待たなければならな いが、この時間の最小値を SCR 素子のターンオフ時間 (turn off time tott) と呼ぶ。

ターンオフ 時間は同一の SCR についても ターンオフ 以前に流れていた電流の大きさ、接合部の温度、再印加電圧の電圧変化率などのほかに ゲート 回路の状態によっても種々の影響を受け、複雑な

特性となるが、その概略を表 2.1 にまとめて示したので参照されたい。

2.2 逆電圧時間と転流限界

転流を成功させ ターンオフ を完了するには、上記の素子の ターン オフ 時間より長い間、SCR に逆電圧を加えなくてはならない。今、 最も簡単な図 2.2 の例についてこの間の関係を調べてみよう。

図 2.2 で SCR は f-h により導通状態になっており、I=E/R なる電流が流れているときに、図示の極性に電源電圧 E まで充電された コンデンサ C を スイッチ S を閉じて SCR の両端に接続すれば、SCR に逆電圧となり g-v-t7 する.

C の電荷は 270 子 S を閉じた直後に,図 2.1 に示したような 逆電流によって放電するが,これはきわめてわずかであるので無 視すると,その後は SCR は 17 となって図 1.3 1.3 1.3 1.3 1.3 1.3 1.3 1.3 1.3 1.3 1.3 1.3 1.3 1.3 1.3 1.3 1.3 1.3 1.3 1.3 1.3 1.3 1.3 1.3 1.3 1.3 1.3 1.3 1.3 1.3 1.3 1.3 1.3 1.3 1.3 1.3 1.3 1.3 1.3 1.3 1.3 1.3 1.3 1.3 1.3 1.3 1.3 1.3 1.3 1.3 1.3 1.3 1.3 1.3 1.3 1.3 1.3 1.3 1.3 1.3 1.3 1.3 1.3 1.3 1.3 1.3 1.3 1.3 1.3 1.3 1.3 1.3 1.3 1.3 1.3 1.3 1.3 1.3 1.3 1.3 1.3 1.3 1.3 1.3 1.3 1.3 1.3 1.3 1.3 1.3 1.3 1.3 1.3 1.3 1.3 1.3 1.3 1.3 1.3 1.3 1.3 1.3 1.3 1.3 1.3 1.3 1.3 1.3 1.3 1.3 1.3 1.3 1.3 1.3 1.3 1.3 1.3 1.3 1.3 1.3 1.3 1.3 1.3 1.3 1.3 1.3 1.3 1.3 1.3 1.3 1.3 1.3 1.3 1.3 1.3 1.3 1.3 1.3 1.3 1.3 1.3 1.3 1.3 1.3 1.3 1.3 1.3 1.3 1.3 1.3 1.3 1.3 1.3 1.3 1.3 1.3 1.3 1.3 1.3 1.3 1.3 1.3 1.3 1.3 1.3 1.3 1.3 1.3 1.3 1.3 1.3 1.3 1.3 1.3 1.3 1.3 1.3 1.3 1.3 1.3 1.3 1.3 1.3 1.3 1.3 1.3 1.3 1.3 1.3 1.3 1.3 1.3 1.3 1.3 1.3 1.3 1.3 1.3 1.3 1.3 1.3 1.3 1.3 1.3 1.3 1.3 1.3 1.3 1.3 1.3 1.3 1.3 1.3 1.3 1.3 1.3 1.3 1.3 1.3 1.3 1.3 1.3 1.3 1.3 1.3 1.3 1.3 1.3 1.3 1.3 1.3 1.3 1.3 1.3 1.3 1.3 1.3 1.3 1.3 1.3 1.3 1.3 1.3 1.3 1.3 1.3 1.3 1.3 1.3 1.3 1.3 1.3 1.3 1.3 1.3 1.3 1.3 1.3 1.3 1.3 1.3 1.3 1.3 1.3 1.3 1.3 1.3 1.3 1.3 1.3 1.3 1.3 1.3 1.3 1.3 1.3 1.3 1.3 1.3 1.3 1.3 1.3 1.3 1.3 1.3 1.3 1.3 1.3 1.3 1.3 1.3 1.3 1.3 1.3 1.3 1.3 1.3 1.3 1.3 1.3 1.3 1.3 1.3 1.3 1.3 1.3 1.3 1.3 1.3 1.3 1.3 1.3 1.3 1.3 1.3 1.3 1.3 1.3 1.3 1.3 1.3 1.3 1.3

このときのCの電圧は図2.3(b)のようになるが、これは-Eを初期値とし、RCを時定数とする指数関数であるから、Cの電圧 v_c は

$$v_c = -E + 2E(1 - e^{-t/RC}) = E(1 - e^{-t/RC})$$
 \cdots (2.1) この v_c が負である期間 t_c は $v_c = 0$ として

 $v_c = E(1 - 2e^{-l_c/RC}) = 0$

156 e-to/RC=1/2

$$t_c = RC \cdot \ln 2 = 0.693(EC/I)$$
(2.2)

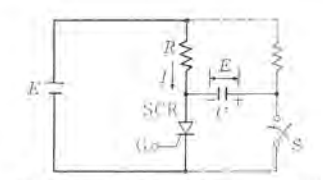
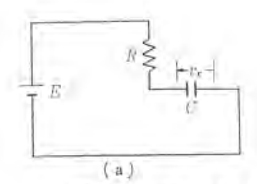


図 2.2 簡単な転流回路の一例



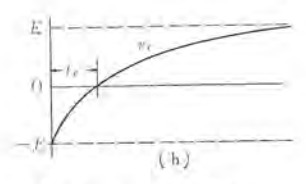
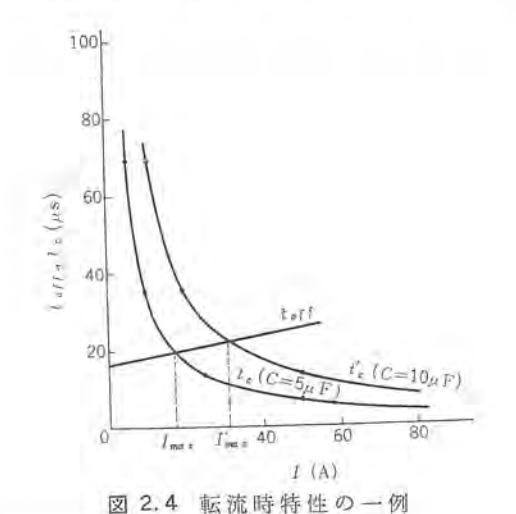


図 2.3 転流時の等価回路と コンデンサ電圧



この t_c を回路の $g_{-\nu}$ お 時間 (circuit turn off time) または 逆 パイアス 時間 (reverse bias time) と呼び、素子の $g_{-\nu}$ お 時間 t_{off} と明確に区別しておく.

 t_{off} は表 2.1 に示したように種々の条件により変化するが、一方 t_c も式 (2.2) の例からわかるように、負荷 R と転流 コンデンサ C の大きさによって変化する。いま E, C は一定とし、負荷 R を変化して I を大きくしていった場合を考えると、図 2.4 に示すように t_{off} は I とともに増加するが、 t_c は式 (2.2) から I に逆比例して減少する。

図から $I \leq I_{max}$ では $t_c \geq t_{off}$ となり転流は成功するが, $I > I_{max}$ となると $t_c < t_{off}$ となり転流は不可能となる。この限界となる I_{max} を転流限界出力電流と呼ぶことにする。

いま転流 コンデンサ C の容量を増すと逆 Mアス 時間は図 2.4 の t'_c のようになり、転流限界電流も $I_{max'}$ に増加する.

図 2.4 の例では $E=100\,\mathrm{V}$, $C=5\,\mu\mathrm{F}$, $C'=10\,\mu\mathrm{F}$ とした場合 の逆 パイァス 時間 $(t_c,\,t_c')$ と $20\,\mathrm{A}$ 級の SCR の ターンわ 時間の 一例 (t_{off}) を示したもので、転流限界出力電流は C=5, $10\,\mu\mathrm{F}$ に対してそれぞれ $17\,\mathrm{A}$, $31\,\mathrm{A}$ となることがわかる.

この転流限界は瞬時といえども越すことのできない強い制限となるから、設計に際しては慎重に検討することが必要である。一般に定格電流に対して適当な余裕をみて転流限界電流を決めて、この限界電流に対しても種々の条件変化を考えて常に t_c>toff となるように転流回路の定数を定めなければならない。

2.3 転流回路の分類

図2.2では最も簡単な転流回路の実例を示したが、実際にこの 転流回路方式が インパータ 構成上の最も重要な ポイント となる. 従来、直列 インパータ と並列 インパータ に限られていたものが、SCR の出現により、さらにすぐれた多種多様の転流回路を生み出すこととなり、SCR インパータ 全盛期を迎えようとしている.

ここでは Mapham の文献⁽²⁾に基づいて作成した表 2.2 に従って転流方式の分類を試みよう。

転流方式を大別すると、まず自励転流と他励転流とに分かれる。 他励転流は無効電力を供給する起電力を負荷側にもっており、これによる逆起電力で転流するのに対し、自励転流では転流回路によって、みずから転流に要する エネルギ を作るため種々の回路方式が考案されている。

この自励転流方式はさらに受動転流と能動転流に分けられる. 受動転流は受動素子である $L \ge C$ を用いて負荷 R との間で振動 回路を形成し転流を行なうのに対し、能動転流は能動素子である SCR や トランジスタスイッチ などを併用するものである.

前者はさらに直列共振転流方式 (A 形) と,並列共振転流方式 (B 形) とに分けられる。ここで直列,並列の区別は, SCR に対

表 2.2 転 流 方 式 の 分 類



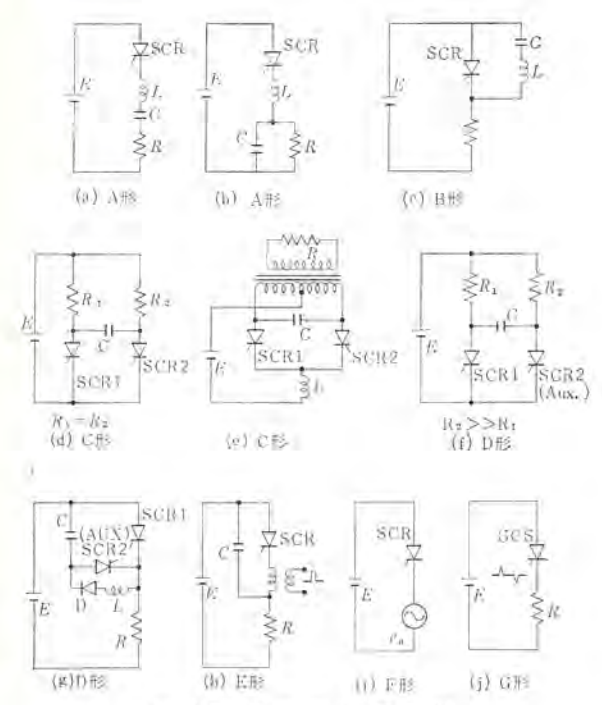


図 2.5 各種転流回路例

する共振回路の関係をさすものである.

また後者(能動転流)には対となっている主 SCR を利用して 負荷の並列 コンデンサ の電荷を スイッチ して転流源とする並列形転 流方式 (C形)、転流時に用いる補助 SCR などの スイッチ によっ て コンデンサ の電荷を スイッチ する補助 スイッチ 転流方式 (D形) お よび外部から独立し転流 パルス が加えられる外部 パルス 転流方式 (E形) のほかに、GCS のような ゲートターンわ 能力をもった素子 による ゲート 転流 (G形) の計4 種がある.

一方他励転流方式は負荷側からの交流電源によって陽極に負の 電圧が与えられることにより転流するもので、陽極転流 (F 形) とも呼ばれる. これは直流送電の場合や、同期電動機を負荷とす る場合の インパータ の転流方式として現われる.

実際には一つの形の転流方式に対しても各種の変形回路が存在 し、また一つの回路でも二つ以上の転流方式に属しるような動 作をする場合もあって、きわめて複雑であるが、転流方式の全ぼ うを知り、その発展の方向をさぐる上にもこのような分類法が参 考になると思われる.

ここで各方式について代表的な基本回路の例を図 2.5 に示して置く.

2.4 主回路構成

実際のインパータは前節の転流方式と、主回路構成方式との組み合わせとなる。これについては前回(その1)39巻2号の図2.2 および表2.2にも示したように下記の6種があげられる.

- (a) 単相半波回路 (DC チョッパ 回路)
- (b) 中間 タップトランス 回路
- (c) 電源分割回路
- (d) 単相 ブリッジ 回路
- (e) 三相半波回路
- (f) 三相全波回路

C 形転流方式に対しては、その性質上2個以上の主 SCR が ペ

アになるので(a) は存在しないが、その他は各転流方式とも上記 (a)~(f) の六つの回路形式があり、合計 35 種の組み合わせが存在する。さらに実際には転流回路の細部の相異や、点弧方式の違いなど、多くの異なった方式のものが考えられ、無数の インパータ 回路を生ずることになる。以下では具体的回路に対して、2.3 節および2.4 節の分類を適用し、大文字で転流方式を、小文字で主回路構成を示す指標を付けて、分類の助けとすることにしたい。

3. C 形転流インバータ (McMurray 回路)(3)

3.1 原理と動作

対をなす SCR により、転流 コンデッサの充電電圧を転流すべき SCR に印加して ターンオフ する C 形転流は図 2.5 (d) および (e) に示されたように、従来の並 列インバータ や フリップフロップ 回路の原理をなすものであるが、McMurray の改良により新しい SCR インバータ としてさらに重要視されるにいたった。

McMurray 回路の意義および特長については、すでに前回(その 1) において触れたように、効果的な帰還 ダイオードの付加によって力率に関係なく、すべての負荷に対して安定に動作するとともに、SCR の短い ターンオフ 時間を活用した方形波 インパータ とすることにより、転流用 LC は小形化され、電圧変動率や効率も向上した。

ここでは C 形転流 1つパータ の代表例として、この McMurray 回路について詳細に動作原理を調べてみよう。この McMurray 回路にも種々の回路構成があるが、ここでは図 3.1 のように C-c すなわち C 形転流一電源分割回路を考えることにする。また負荷は一般性のある誘導性負荷とすると、図 3.2 に動作波形を示すように五つの E-F に区分される。以下ではこの各 E-F について説明する。ただし、ECR や EF の順電圧降下や漏れ電流は無視する。

(1) モード I (順負荷 モード)

(2) モート Ⅱ (転流 モード)

図 3.4 のような等価回路となり、SCR2 に f-h 信号が加えられて f-h 信号が加えられて f-h となることによって、f-h 化 f-h 形態流が生じ f-h の下半分する。 すなわち f-h なっとなると、転流 f-h の下半分に

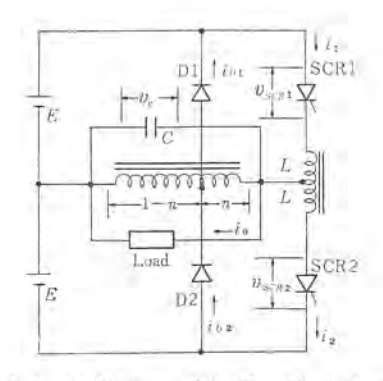


図 3.1 McMurray 回路 (C-c 形 インバータ)

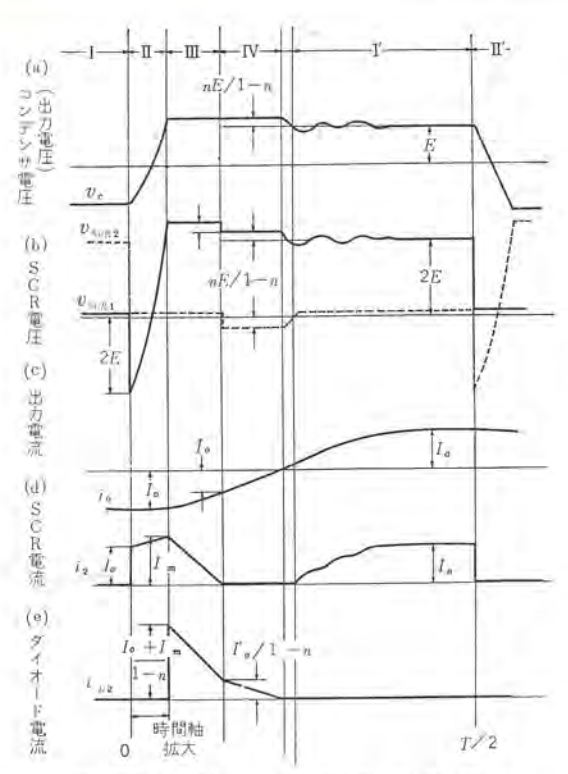


図 3.2 McMurray 回 路 の 動作 波形 (遅れ力率負荷時)

$$e_{L*} = E + v_c$$
(3.1)

の電圧が付加され、これがリアクトルの上半分に同じ大きさで誘起するから、SCR1のアノード・カソード間の電圧は

$$v_{\text{SCRI}} = E - e_{L_1} - v_c = -2v_c$$
(3.2)

となり、転流 コンデンサ の電圧が逆 パイアス となって SCRI を ターンわ させるのである.

コンデンサ からは、負荷に モ–ド I から引き続いて流れる I_0 と、 転流 I_0 アクトル を流れる I_2 が流出するためその電圧は

$$v_c = E - \frac{1}{C} \int_0^t (i_2 + I_0) dt$$
 (3.3)

に従って Eから - Eに向かって低下する.

いま第1近似として らは初期値 しに等しいとすると,

$$v_c = E - 2I_0 t/C$$
(3.4)

となるから、逆パイアス時間なは む。=0 として

$$t_c = E \cdot C/2I_0 \quad \cdots \quad (3.5)$$

となる。SCR1 の転流が成功するためには式 (2.1) から

$$t_{off} \leq t_c = EC/2I_0$$

であるから、最大出力 Iomax は

$$I_{0 max} = 0.5 E \cdot C/t_{off}$$
(3.6)

となり、転流 コンデンサ の容量に比例し、SCR の ターンオフ 時間に 反比例することがわかる。

さらにほぼ $2t_c$ の後に v_c は -E に違し、t-l II の終わりに 近ずく. 実際には帰還用 g/t-l の g_{v} う 点が -E となったとき、すなわち v_c が -E/(1-n) となったとき、D2 が t_D となって次の t-l II に移行する.

モード Ⅱ の厳密解については 3.2 節に示すのでここでの近似的 な説明を補足して理解していただきたい。

(3) モード Ⅲ (転流 リアクトル 帰還 モード)

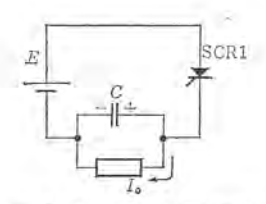


図 3.3 モード I 等価回路

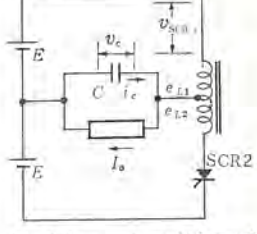


図 3.4 モードⅡ 等価回路

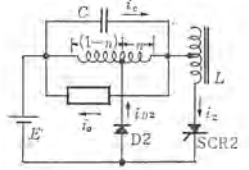


図 3.5 モードⅢ 等価回路

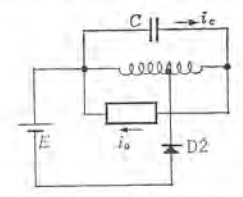


図 3.6 モード IV 等価回路



図 3.7 モード V 等価回路

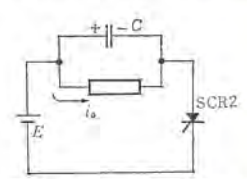


図 3.8 ₹-- ド I′ 等価回路

すなわち転流 y_{PO} トル L を流れる電流 i_2 は SCR2-D2-t-トトランス (n) -L (下半分) の回路に流れ,トランス により昇圧されて $(n/1-n)i_2$ の電流が電源に帰還される。 このとき D2 の導通によりトランス X-N 間の電圧は (n/1-n)E に保たれるから,これが y_{PO} トル L に印加され i_2 は直線的に減少する。 i_2 が ゼロになる時間を i_1 とすると, $L\cdot di_2=(n/1-n)E\cdot dt$ から

 $t_f = (L \cdot I_m/E) \cdot (1-n)/n$ (3.7) となる. ここに I_m は i_2 の初期値で, ϵ ード II の最終値であり,通常 $2I_0$ 程度と考えられる.

この ϵ --ド II では負荷電流 i_R はまだ転流前の方向のままであり、これも D2 を通って電源に帰還されるので D2 を流れる電流は $i_{D2}=(i_2+i_R)/(1-n)$ ……(3.8)となる。また SCR1 には 2E(1-n) の順電圧がかかるが、すでに ϵ --ド II において転流しているので電流は流れない。

モード III は t_f 時間だけ続き、 $i_2=0$ となり、さらに SCR2 に逆電流を流そうとするため、転流を生じて t_7 となり次の モード IV に移る。このとき負荷電流 i_2 は多少減少して I_6 になるが、なおモード I と同方向のままである。

(4) モード IV (負荷帰還 モード)

SCR2 が わっとなり、D2 のみ わっで、等価回路は図 3.6 にたる。 この τ -ド では引き続き負荷の インダクタンス 分からの帰還が D2 を通じて行なわれ、出力電圧は E/(1-n) に保たれる。

いま負荷の時定数を T (= L_0/R_0) とすると, 負荷電流は

$$i_R = I_0' e^{-\frac{t}{T}} - \frac{I_0}{1-n} (1 - e^{-\frac{t}{T'}})$$
(3.9)

となり、 t_g =0.69T (n=0, I_0 '= I_0 として) において i_R =0 となり、帰還 モード の終わりとなる。

(5) モード V (自由放電 モード)

 $i_R=0$ となると、D3 も 47 となり、すべての 24^{-9} が切れた図 3.7 の状態になる。ここでは C の電荷が負荷を通じて放電される E-F V となる。

この τ -ド は v_c が放電によって -E/(1-n) から -E に達するまでの短い時間で終わり、次の τ -ド Γ に移る.

(6) モード I' (順負荷 モード)

 v_c が -E に達すると、ふたたび SCR2 が t > E となり t = F I' となる。この t = F は t = F I とちょうど半 t + f > E もので、まったく同じものと考えることができる。(図 3.8)

ここで、このような $T \sim N-9$ では、いったん オフ となった SCR2 が モード V から モード I' に移るときに ゲート 信号が必要であり、ゲート としては単なる $N \sim N$ ではなく、 方形波状のものが好ましいことがわかる.

次に同様にして SCR1 が点弧されれば SCR2 は ターシオフ して、モード Π' 、 Π' , N', N' を経て モード I に戻るのであるが、これらは上に説明した モード II、III, N. V とまったく同様なので省略する.

いま、負荷が誘導性の場合の動作を調べてきたが、負荷が容量 性の場合には電流が進むため、対の SCR の点弧を待たずに負荷 の C 分によって転流を生ずるため、転流条件は問題にならなくな る。また一般の負荷は誘導性と考えられるので、ここではその詳 しい動作説明は省きたい。

3.2 転流モードの解析と設計基準

(1) 遅れ力率負荷時の転流 モード の解析

前節で近似的な扱いを行なった誘導性負荷時の転流 モード について、ここでやや詳しく解析し、転流回路設計の基準を得ることを試みる.

まず回路の微分方程式は図3.4から

$$\begin{cases} Ldi_{2}/dt - v_{c} = E & \dots (3.10) \\ i_{2} + Cdv_{c}/dt = -I_{0} & \dots (3.11) \end{cases}$$

初期条件は ig および vc に対してそれぞれ

$$v_c(+0) = E$$
(3.13)

Laplace 変換して

$$\begin{cases} LSI_2 - V_c = \frac{E}{S} + LI_0 & \dots & \dots & \dots & \dots & \dots \\ I_2 + C_s V_c = -\frac{I_0}{S} + CE & \dots \end{cases}$$
(3. 14)

これを I2, V。について解くと

逆 Laplace 変換して時間領域に戻すと

$$v_c = -2\sqrt{L/C} \cdot I_0 \sin \omega t + E(2\cos \omega t - 1) \quad \dots \quad (3.19)$$

並 パアス 時間 tc は式 (3.19) から vc=0 を解いて

$$\omega t_c = \sin^{-1}(x/\sqrt{1+x^2}) - \sin^{-1}(x/2\sqrt{1+x^2}) \cdots (3.20)$$

ただし
$$x=(E/I_0)\cdot\sqrt{C/L}$$

また モード Π の終わり t_B は $n \ll 1$ として $e_L = Ldi_2/dt = 0$ から求められる。 すたわち

$$e_L = Ldi_2/dt = 2(E\cos\omega t - \omega LI_0\sin\omega t)$$
(3.21)

$$t_{B} = \tan^{-1} x$$
(3, 22)

したがって転流 インダクタンス L にたくわえる エネルギ W は $W = L I_m^2/2$ から $E \cdot I_0 \cdot t_0$ を基準にして表わせば

$$w = W/E \cdot I_0 \cdot t_0 = \frac{(2\sqrt{1+x^2}-1)^2}{2x\{\sin^{-1}(x/\sqrt{1+x^2}) - \sin^{-1}(x/2\sqrt{1+x^2})\}}$$
.....(3.24)

図 3.9 は x に対する ωt_c , I_m/I_0 および w を上記の各式から 求めて J_{57} に示したもので、文献 (3) から引用した.

(2) 遅れ力率負荷の設計基準

図 3.9 から w が最小となる x=1.15 程度に L, C の値を決めるのが好ましいことがわかるが、負荷の変化なども考慮して x=1 を基準に考えればよい。 ただしこのときの I_0 は転流直前の負荷電流の瞬時値の最大値を用いることに注意を要する。

$$x=1$$
 のとき $\omega t_c=0.425$ であるから、この両者から $C=I_0t_c/0.425E$ (3.25)

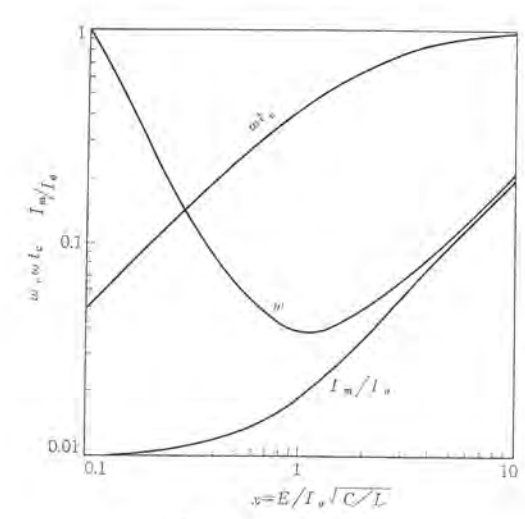
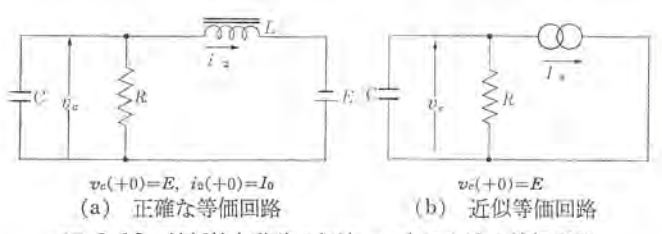


図 3.9 転流パラメータ



 $L = Et_c/0.425I_0$ (3. 26) が得られ、これによって転流回路の LC の値を決めることができ る。このときの たは2.2節でも述べたように種々の条件を考慮 した SCR の gーンオフ 時間の最大値以上の値に選ぶことが必要で ある

(3) 純抵抗負荷時の転流 モード

維抵抗負荷の場合の転流 モード の等価回路は図 3.10 (a) のよ うになるから、式 (3.11) の I_0 の代わりに v_c R を代入すればよ いことがわかる. すなわち

$$\begin{cases}
Ldi_2/dt - v_c = E & \cdots & (3.10) \\
i_2 + v_c/R + Cdv_c/dt = 0 & \cdots & (3.27)
\end{cases}$$

初期値は式 (3.12), (3.13) と同じであるから

$$\begin{cases}
LSI_2 - V_c = E/S + LI_0 & \dots & \dots & \dots & \dots & \dots & \dots \\
I_0 + (1/R + C_c)V_c = CE & \dots \\
\end{cases}$$
(3. 14)

これから

$$V_{c} = \frac{E\left(S - \frac{1}{LC_{s}}\right) - \frac{I_{0}}{C}}{S^{2} + \frac{1}{RC}S + \frac{1}{LC}}$$

$$= \frac{2E_{s}}{S^{2} + \frac{1}{RC}S + \frac{1}{LC}} - \frac{E}{S} \qquad (3.29)$$

したがって

$$\begin{split} v_c = & 2E\sqrt{1+(\alpha/\beta)^2\cdot e^{-\alpha t}} \cdot \sin{(\beta t - \phi)} - E \quad \cdots \cdots (3,30) \\ \text{Total} \quad & \alpha = & 1/2RC, \quad \beta = \sqrt{1/LC - \alpha^2} \\ & \phi = & \tan^{-1}\beta/\alpha \end{split}$$

式 (3.30) の $v_c=0$ から t_c が求まるが、複雑となるので、図 3.10 (b) の近似等価回路を用いることにする. これは転流 モード 中の転流リアクトル電流 もは一定値 16であるとしたもので、この 回路では

$$Cdv_c/dt + v_c/R = -I_0$$
(3.31)

$$v_c(+0) = E$$
(3.32)

tab

$$v_c = E(2e^{-t/RC} - 1)$$
(3.33)

したがって できのから

$$t_c = RC \ln 2 = 0.693EC/I_0$$
(3.34)

これを式(3.25)と比較すると、同一条件では純抵抗負荷時のほ うが、遅れ力率負荷時に比べて約1.6倍の転流能力をもつことが わかる. 完全な誘導負荷時には電流波形は三角波となるから、最 大出力電流の平均値は抵抗負荷時のほうが誘導負荷時の約3.2倍 となる.

4. McMurray 回路の変形と改良

4.1 主回路の変形

今まで図3.1の電源分割形のみについて解析してきたが、2.4 節に示したように各種の主回路があり、それぞれについてさらに 転流 コンデンサ の分割,非分割により図4.1のような各種の変形回 路が考えられる. ここに示す L, C は上記の解析に用いた値を基 準にしている.

4.2 帰還回路の改良

(1) 抵抗帰還方式

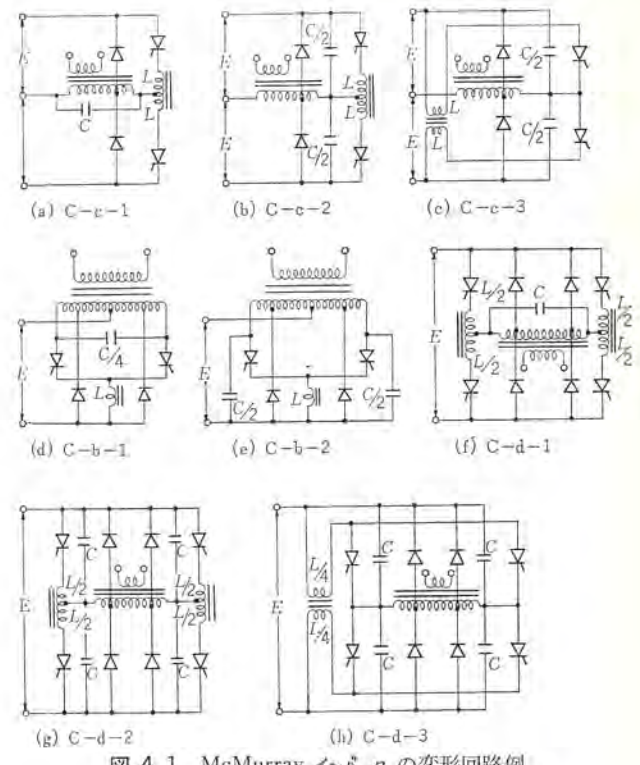


図 4.1 McMurray インバータ の変形回路例

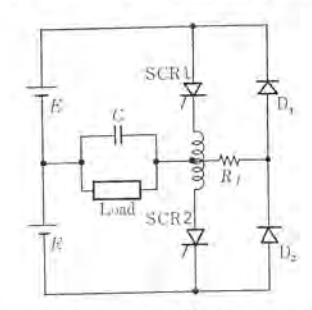


図 4.2 抵抗帰還形 McMurray インバータ 回路

図 3.1 の回路では タップ 付出力 トランス または オートトランス を 必要としたが、とくに効率を問題にしない小容量のものでは図 4.2 に示すような帰還用の低抵抗 Rr を押入するだけでもよい.

 R_r の値は s_{22} 比 n と同様な効果をもち、 R_f が小さいと出 力は方形波に近くなるが、L の エネルギ 帰還 モード が長くなり、 SCR や ダイオード 中での損失が増す. 逆に Rf を大きくすれば帰 還 モード は短くなり、損失もほとんど Rr 中で消費されるように なるが、Rr の電圧が大きくなった分だけ出力電圧の セン 頭値も 増す欠点がある.

(2) 変流器帰還方式(4)

この方式は タップ 付 トランス の代わりに変流器 CT を用いるも ので、変流比 $N_2/N_1=(1-n)/n$ とすれば図 3.1 の基本回路と同 様な働きをする. しかしこの変流器は転流 リアクトル の エネルギ が 帰還される モードⅢ の間だけ飽和することなく、十分な機能を発 揮すればよいから、負荷と並列に接続される トランス に比べて非 常に小形にできる利点がある.

また、図 4.3(b)のように変流器の二次側を整流して別の電源 に帰還することも容易にできる. これは可変周波数 インバータのよ うに直流電源が大きく変化する場合に、別の一定電圧源へ帰還を

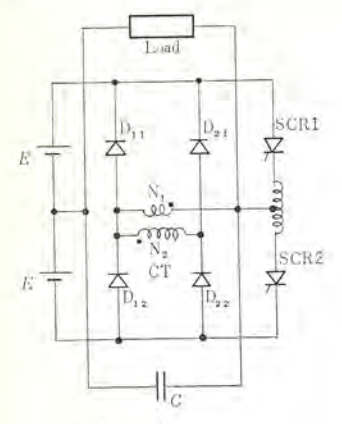


図 4.3 変流器帰還形 McMurray インバータ 回路

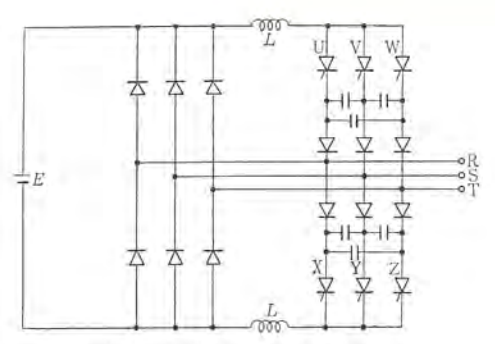


図 4.4 直列 ダイオード 式三相 ブリッジ インパータ 回路

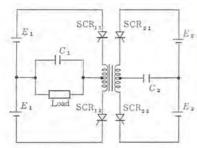


図 4.5 転流補助回路付 インパータ 基本回路

行なうようにして常に最善の条件に保つことができる利点にもなる。

4.3 転流回路の改良

(1) 直列 ダイオード 方式(5)

図 4.4 は 6 個の SCR がそれぞれ 120° の間通電し、UZVX WYの順に 60° ずつ遅れて点弧される 120° 通電形三相 ブリッジ・インパータ における例である。 転流 コンデンサ は直列 ダイオード と SC R の中間点にて各相間に接続される。

この回路で直列 gイオード がない場合には、転流直前の相間電圧は E/2 になるため、各転流 コンデンサ 電圧も純抵抗負荷時 E/2、誘導負荷時にはさらに低くなる。

直列 ダイオード は転流 コンデンサ と負荷とを切り離すため、負荷にかかわりなくその電圧を相間電圧の最高値に保つため、転流初期の コンデンサ 電圧は 1.5E となるとともに、転流後負荷を通って放電する通路を カット するため放電々流も 1/2 となるすぐれた効果を示すものである。しかし 180° 通電形では転流 コンデンサ を直接電源と並列に接続できるので、効果は半減される。

(2) 転流補助回路方式(4),(6)

図 4.5 に示すように、McMurray の基本回路において、転流 y_{PO} トル に二次巻線を設け、この二次側からも 転流時に R_{NN} 電圧を印加して主転流 $\neg v_{PO}$ ナップ C_I による転流を補助しようとするもので著者らの考案になるものである。 (簡単化のため図 4.5 では帰還回路は省略してある。)

この転流補助回路は コンデンサ C2 を負荷とする直列 インバータ と

も考えられるので転流失敗を生ずることはなく、確実に、しかも 主回路条件に無関係に十分な転流 エネルギ を供給できるすぐれた 方式である.

この方式は主回路電圧や負荷 インピーダンス の変化の大きい交流 電動機駆動用の可変電圧可変周波数 インパータ に用いたときとくに 大きな威力を発揮し、すでにすぐれた成果をあげているが、その 詳細については「その 5」において紹介する予定である.

この転流補助回路を用いれば主回路の転流 コンデンサ C_1 がない場合でも確実に転流を行なうことができ、2.3 節の分類による E 形 (外部 R ルス 転流方式) になる. C_1 をも用いれば C 形と E 形との併用方式となる.

C 形転流方式以外の詳細説明は次回に行なり予定である.

(昭 40-1-30 受付)

参考文献

- (1) 清水・蒲生: SCR の原理と動作,「三菱電機技報」37,No. 5, p. 2 (1963)
- (2) N. W. Mapham: The Classification of SCR Inverter Circuits, IEEE Int. Conv. Rec. 12, Part 4, p. 99 (1964)
- (3) W. McMurray, D. P. Shattuck: A Silicon-Controlled Rectifier Inverter with Improved Commutation, IEEE Com. & Elec. p. 531, Nov. (1961)
- (4) 大野・赤松: SCR 可変周波数 インパータ による交流電動機の速度制御,「三菱電機技報」38, No. 6 p. 97, (1964)
- (5) 伊藤: SCR による改良形三相 ブリッジインバータ の特性,「電学誌」84, No. 908, p. 789 (1964)
- (6) E. Ohno, M. Akamatus: Variable Frequency SCR Inverter with an Auxiliary Commutation Circuit, Intermag Conference, April (1965)

SB 4500 フレーム屋外用三相誘導雷動機

この電動機は, さきに当社が系列化を完了して, すでにかなり の実績を納めている標準三相誘導電動機すなわち SB 形三相誘導 電動機の標準構造に、そのまま屋外外被をかぶせることによって、 屋外形構造を完全に満足させたものである。したがって、従来の 屋外形電動機は屋外形専用のフレームを採用していたが、この電動 機の完成により、標準の防滴保護形用の屋内形 フレーム をそのまま 屋外用フレームとして、流用することが可能になった。

■特 長

- (1) NEMA 規格の Weather Protected Machine Type II を満足する構造である.
 - a. By-through (吹抜け) 構造を有する. (図 2 が, この構 造を如実に示している.)
 - b. 電動機の主要部分(鉄心, コイル など)にいたるまでに, 外気は少なくとも3回以上方向を急変(そのいずれも90°以上 の角度で) する構造を有する.
 - c. 風路中に, 風速 600 ft/min (約 180 m/min) 以下の部分 を設ける.

(2) 納期の短縮

SB 形標準三相誘導電動機の フレーム その他各種部品の流用がで きるため、納期の短縮が可能である.

(3) 高い融通性



図 1 注水試験中の SB 形屋外用三相誘導電動機

屋内、屋外の転用ができる。すなわち屋内用として運転中の標 準三相誘導電動機を容易に屋外形として改造することができる. しかもその改造費用も少なくてすむ。また逆に屋外形の外被を取 り除くだけで、そのまま屋内用として標準三相誘導電動機と同一 性能で使用できる.

(4) 点検が容易

容易に分解が可能で、内部の保守点検が行ない易い。

(5) 騒音の低下

屋外外被が一種の簡易防音外被として作用するので、騒音が低 下する.

■ 仕 様

250 kW 71 3,300 V Æ 60 c/s 周波数 粉 6P 瓶 回転数 1,180 rpm 回転子形式 深ミゾカゴ形 SB 屋外 形 t ワク番 4,500

図 1,2 は工場内で注水試験中の頭記屋外形三相誘導電動機の 外観である.

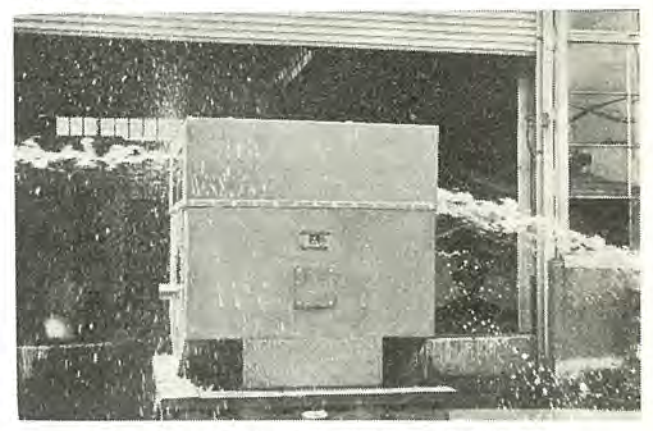


図 2 注水試験中の SB 形屋外用三相誘導電動機

三菱MVC形バルブモータを開発

各種産業の合理化、自動化にともない各種 バルブ の自動操作の が MVC 形 バルブモータ である. 要求が最近急速に高まってきたが、そのうちとくに需要の多い電 動式操作機について需要家各位の要望に応ずるための開発したの (1) 電動機は電動操作機用としてとくに設計したもので起動

■特 長

トルク および最大 トルク が大でひん繁なる使用に耐える.

- (2) ブレーキ は円板形電磁 ブレーキ を使用しているので大きな 制動力を有し取扱い簡単、長寿命である.
- (3) 歯車はすべて高周波焼入により表面硬化しているので衝撃に強く長い寿命を有す。また歯面は研摩または シェービング 仕上をしているので騒音,振動が少なく高効率である。
- (4) 電動操作機としての必要な機能は標準としてすべて備えている。 すなわち
 - a. 全開, 全閉の機械的, 電気的指示機構
 - 期, 閉両方向に働く機械的,電気的 トルクリミット機構,ただし #100, #201 は開方向は機械的,閉方向は電気的 トルクリミ



三菱 MVC 形 バルブモータ

ットのみ

- c. 簡単に手動操作に切り換えられる クラッチ 機構
- d. 手動操作の場合 危険防止のための電気的 インタロック 機構
- e. 弁の開閉を容易にし電動機の特性を有効に発揮させる ハɔ ▽ ▽ □ 機構

■ 標準機種

103 32.	電動機	最大	ステムト kg-mm	ルク	許容スラスト	最大	概略	
形 番	出力 (kW)	18.5 (rpm)	30 (rpm)	45 (rpm)	荷重 (kg)	外ネジ	内ネジ	重量 (kg)
MV C-100	0.075	3.5	2.4	1.9	2,000	20	20	48
≠ -201	0.15	7.5	4.8	3.8	4,000	30	30	55
→ -302	0.27 0.4 0.75	16	14	13	8,000	50	42	120
* -303	0.55 0.75 1.5	29	25	25	8,000	50	42	130
√ −406	1.1 1.5 2.2	.55	45	40	15,000	70	60	185
≠ -408	1.5 2.2 3.7	80	70	65	15,000	70	60	200
# -514	2.5 3.7 5.5	140	110	100	25,000	80	70	280

- (注) i) 最大ステムトルクは 50 c/s の場合を示す.
 - ii) ステム回転数は, 50 c/s 12.5 rpm, 60 c/s 15 rpm より製作可能

三菱電気タッパET-6S-1 形 新発売

携帯用電気 タッパ を用いての小 ネジ 立て作業では タップ の折損 が多く発生しやすいが、本品は、過大 トルク による タップ の折損 が起こらないよう、タップ 折損防止機構を内蔵し、未熟練者でも安心して使用できる工具である。 さらに ネジ 立て深さを規制できる ストッパ をも兼ね備え、トマリ穴でも一定の深さに加工できるととも に、自動的に制止できる特長をもった、他社にない画期的なものである。

■特 長

(1) 過大 トルク による タップ 折損防止装置つき

電気 タッパ による タップ 折損の原因は、タップと下穴の関係が正常でない場合の過大 トルク、未熟練者による不安定な作業で生じる過大 トルク、止り ネジ の場合、タップ 先端を穴底に接するまで進行させたり、通し ネジ の場合、タップ 切上部以上に下穴に入れすぎて過大 トルク を与えて生じるが、これらの原因による折損を防止できる構造をもっていて、各 ネジの寸法により容易に トルク を調整



ET-6S-1 形三菱電気 タッパ 現金正価 ¥ 17,500

■ 仕 様

	品名	最大容量 (mm)	電 源			源	出力	全負荷電流	回転数		重 量	
形名			Alf	類	電 E (V)	周 波 数 (c/s)	(W)	(A)	ネジ立て (rpm)	もどり (rpm)	(kg)	付 属 品
ET-6S-1	電気タッパ	6	単交直	相流流	100	50/60	80	1.8	380	700	2.15	予備炭素ブラシ1組

できるものである.

(2) ネシ゚立て深さ規制装置付

ネジ立ての深さを規制できるストッパが取り付けられていて、必要な深さに調整し使用するもので、ストッパの作用で均一な ネジ立 ての深さが容易に、しかも確実に行なえるとともに、規定の深さ

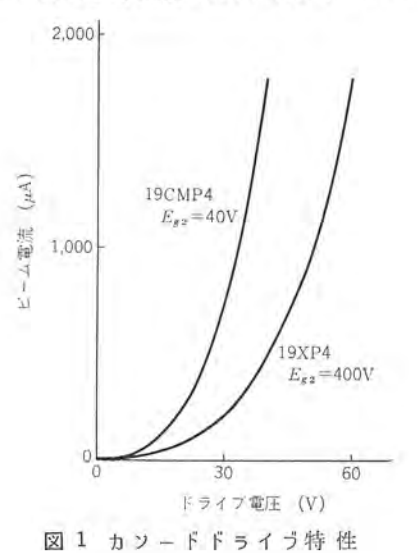
に タッ゚゚こう されると自動的に スピンドル の回転が逆転する構造なので、 タップ を折損するなどの不安もない.

(3) 小形軽量で使用しやすい.

軽量でにぎりやすく,正逆回転のストロークが小さいので確実に 容易に操作できる.

19 形 114 度 偏 向 ブ ラ ウ ン 管 19CMP4 を 開 発

この ブラウン 管は低い第 2 ヴリッド 電圧で動作し、輝度変調に必要な映像信号電圧が小さくてすむ カソードドライブ 専用に設計されている。第 2 ヴリッド 電圧が低い場合, カソード 電圧の変動による第 2 ヴリッドカソード 間の電圧変動分の割合が大きくなり、等価的に第



2 グリッドカソード 間と,第 1 グリッドカソード 間の電圧が同時に変調を受けることになり グラフ のように高 g_m 特性が得られるのである.

ケイ 光面は 19 インチ 角形の大形画面で、自然な色調と明るい画面を有し、テレビジョン 用として大いに需要が期待される.

■ 使用電圧の概略

tータ電圧 6.3 V tータ電流 0.45 A 陽極電圧 16 kV 第 4 ヴリッド電圧 0~400 V 第 2 ヴリッド電圧 40 V カットオフ電圧 35~55 V





■ メキシコ・マルパソ発電所納め 400 kV 超々高圧変圧器 15 台受注

世界的に大規模,大容量の水力発電所 プロジェクト として注目されている メキシコ・マルパン 発電所の主要変圧器 15 台を全台当社が受注した。これは世界中の有力重電 メーカ 25 社(スウェーデン の A SEA, イタリヤ の CGE, スイス の エリコン、BBC, イギリス の EEC, 西 ドイツ の SSW など)が入札に参加し激烈な受注戦を展開したが、メキシコ電力局(CFE)の当社に対する技術的信頼にささえられて受注成功となったものである。

変圧器は国内生産では始めてである 400 kV 超々高圧変圧器で、 最初に当社が超々高圧変圧器の実績をもつことになり、今後わが 国で実施される 500 kV 送電に対しても他社に先んじた有利で貴 重な実績となるであろう。

絶縁には開発を完了し生産に移った当社独特の Inner Cool 絶縁方式を採用し、海外市場に進出できる技術的基盤を実証することになる。

受注した変圧器の仕様は

13 台 単相 60 c/s 75 MVA/60 MVA/45 MVA

送油風冷式/送油風冷式/自冷式

一次電圧 15 kV

二次電圧 420/√3-410/√3-400/√3-390/√3-380/√3 kV

2 台 三相 60 c/s 50 MVA 送油風冷式

一次 50 MVA 400 kV 人

二次 50 MVA 124-121-118-115-112 kV 人

三次 15 MVA (11 kV) △

納期は昭和 41 年 3 月から 9 月までに全台を船積みすることになっている。

なおこの生産体制を確保するために工場の拡張と、品質の万全 を期するために組立工場の空調設備が生産開始までに整えられる。



■ 東京電力京浜変電所納め 345,000 kVA 変圧器完成

当社伊丹製作所で製作中であった東京電力京浜変電所納め 345 MVA 変圧器は、このほど完成し、出荷された、この変圧器は、当社がさきに納入した北東京変電所、中東京変電所納め 345 MVA 変圧器 2 台と 同様、東京電力の超高圧外輪線に 接続される 345 MVA シリーズの 1 台で、既納品とほぼ同様の仕様であるが、%インピーダンスが既設器の 12%に対して、14% と増大されたため、コイル 構成として、既納品の 8 群構成に対して、4 群構成が採用でき、その結果、北東京、中東京変電所納めのものに対して、重量、床面積とも約 90% に減少することができた。MR 社製 F形 タップ切換器付き特別三相構造で、シキ 400 形 シュナーベル 貨車で、各相ごとに輸送された・

おもな仕様は次のとおりである.

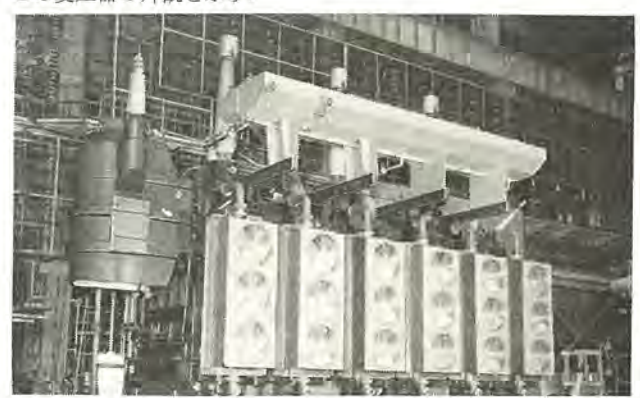
特別三相 50 サイクル 等価 345,000 kVA 外鉄形 送油風冷式 SUB-MRF 形 負荷時 タップ 切換器付き

一次 275 kV±10.3% 300 MVA

二次 147 kV 300 MVA

三次 63 kV 90 MVA

当社では、この変圧器のほかに、同じく東京電力北東京変電所 増設器として、この変圧器とまったく同仕様の345 MVA器1台 および関西電力伊丹変電所納めとして、同じく345 MVA負荷時 タップ切換変圧器1台を製作中である。写真は、工場で完成した この変圧器の外観を示す。



東京電力京浜変電所納め 345,000 kVA 変圧器

■ 300/400 kVA 3 kc 立テ形高周波発電機完成

当社では従来から横形の高周波発電機について多数の記録品を 製作し、国内で最大の製作実績を持っているが、このほど立テ形 としてわが国最大の 3 kc 300/400 kVA 高周波発電機をいすゞ自 動車納めとして納入した。ほかに立テ形機としては 10 数台納入 または製作中である。

本機は立 $_{7}$ 形として占有面積が少なく、わずか $1.1\,\mathrm{m}^2$ にしか 過ぎない。

軸受には コロガリ 軸受を使用し、上部は案内軸受で グリース 潤滑、下部の推力軸受で油潤滑となっている。上部、下部とも漏油防止

に十分な考慮を払っており、種々の 新しい考案が施こしてある. とくに 下部推力軸受についてはその寿命が 数十年のものを使用し保守に便利に するとともに、 軸受交換についても、 非常に簡単に行なうことのできる構 造を採用した.

空気冷却器には エロフィン 管の アラ イトロンを用い、効率のよい冷却をし たため 3.6 t/h の水量で十分である.

定 格

高周波発電機

300/400 kVA 2.7/3.2 kc 800 V 力率 1.0 単相 3,000/3,600 rpm

H種絲緣

誘導電動機

329/437 kW 50/60 c/s 3,000/3,300 V 三相 2 極 3,000/ 3,600 rpm B種絶縁

外形寸法

外径 1,200 mm×高 2,080 mm

重 景

6,450 kg



300/400 kVA 3 kc 高周波発電機

■ 三菱重工業神戸造船所注文 住友金属(和歌山)納め高炉送風機駆動用

9,200 kW 2 極同期電動機完成

さる昭和 38 年秋, 三菱重工業神戸造船所から住友金属和歌山 製鉄所第3高炉用送風機駆動用として受注した9,200kW2極同 期電動機1台は長崎製作所で鋭意製作中であったが現地での据え 付けを終わりさる2月1日より稼動を開始した.

本機のおもな仕様は次のとおりである.

出力 9,200 kW

電 圧 11,000 V

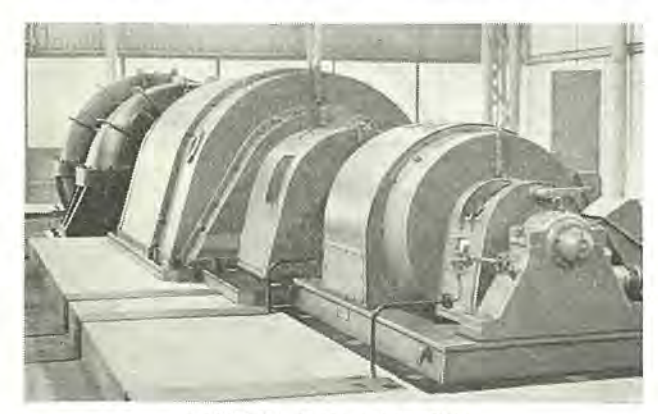
回転数 3,600 rpm

力率 1.0

形式 円简界磁形回転子·全閉内冷形

起動方法としては 1,500 kW 巻線形誘導電動機を用いた起動電 動機による方式を採用している. また本機により駆動される送風 機は三菱重工業神戸造船所製の横置 11 段静翼可変 ピッチ 軸流送 風機で、電動機に直結されている.

この電動機は ターピン 発電機とほぼ同様の構造を有し、機械的 にもがんじょうで高速運転に適し、高信頼性を要求される高炉送



9,200 kW 2 極 同期電動機

風機用としてはきわめて適したものといえる.

高炉送風機用原動機としては従来から蒸気 ターピン が多く用い られてきたが、静翼制御方式を用いた軸流送風機の採用にともな い、原動機は定速運転が可能となったため電動機とくに同期電動 機の使用が可能となった。最近高炉送風機が大容量化の傾向を示 しつつあるとき、その製作限界について容量的にも構造その他の 点からも何の制約もない2極同期電動機はきわめて有利な立場に あるというる.

なお本機は、この種電動機としては現在、わが国最大容量のも のである。また、本送風設備は本来は第3高炉の予備送風機であ って主送風機としては現在据え付中の ガスタービン 駆動のものがあ り、この装置用として 7,000 kW 2 極同期電動機 1 台を同時に製 作納入している. この装置においては ガスタービン は一定出力運転 とし、負荷の変化分に対応する動力を 7,000 kW 電動機より供給 するように計画されている.

■ フロントフロアアセンブリ用マルチプルスポット 溶接機 (WS-2X75S 形) 完成

最近の自動車工業は、増産に伴い、設備の合理化、機械化をは かりつつある. 従来の アセンブリライン では、アーク 溶接、ポータブルスポッ ト溶接など比較的能率の悪い方法によって行なわれていたが、う レス 技術, 溶接技術の進歩によって上記の方法で行なわれていた 部分に、一度に多数の溶接が行なえるマルチプルスポット溶接機を多 く採用するようになった. 当社では数年前から マルチプルスポット 溶 接機を製作していたが、今回M社から受注し製作したマルチプルスポ ット 溶接機は、フロントフロアアセンブリ用のもので、各部品を位置決め および固定する溶接冶具の内部に、マルチプルスポット溶接用の ガン を 2×9 台配置し、これにより1分間に2×14点の溶接を全自動 で行なうものである。動作は、すべて、油圧で行ない、コンパクトに 納まっている.

おもな特長は次のとおりである.

- (1) このガンは、被溶接物の ヒズミ に無関係に、正しく溶接 加圧が行なえるように、スラリングで フロートしている.
- (2) タイマは、電源電圧の変化、温度変化によって、電流値、 道電時間に変化をきたさないような半導体回路を使用している.

仕 様

定格容量(50%使用率)

 $2 \times 75 \,\mathrm{kVA}$

定格一次電圧 (無負荷時)

単相 400 V

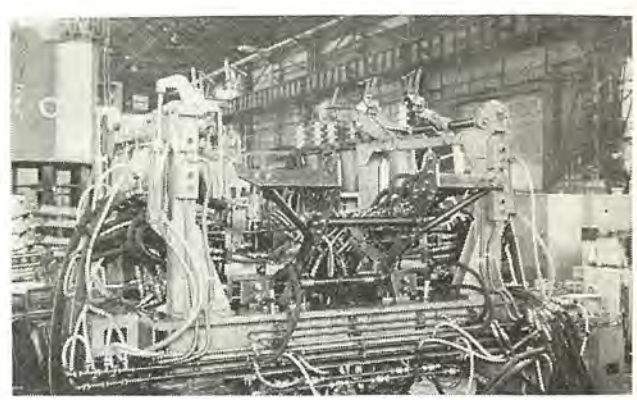
定格一次電圧(負荷時)

単相 380 V 820 kVA

最大入力 最大加圧力 (油圧 70 kg cm²) 300 kg (1 点あたり)

最大短絡電流

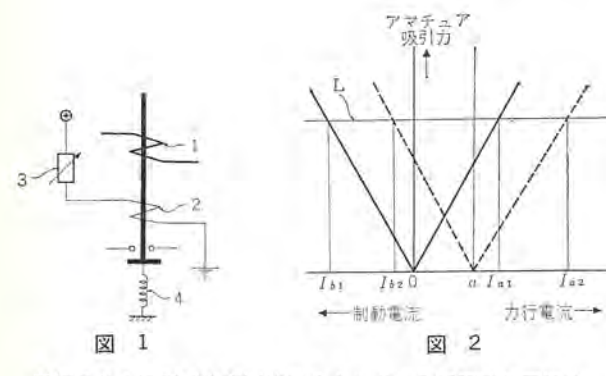
15,000 A (1 点あたり)



組立中の フロントフロア 用 アセンブリマルチプルスポット 溶接機

電気車用過電流継電器

発明者 三 橋 英 一



周知のように電気車主回路にそう入される過電流継電器は,力 行時と制動時の動作値が異なるが,この発明は回路を切り換える ことなく,各動作値を自由に変更できるようにしたものである。

すなわちこの発明は、電気車主回路の電流は力行時と制動時と

では、その方向が 180 度反転することに着目し、図 1 に示すようにこの主回路電流で付勢される作動巻線(1)の他に パイァス 巻線(2)を設けた、図 2 中の実線は作動巻線(1)のみによる特性であり、力行時 I_{a1} 、制動時 I_{b1} なる動作値は同一である(図中 L は 継電器の動作点を示す)

いま力行電流による作動巻線(1)の発生 rvペrs-v と反対方向の rvペrs-v を発生するごとき電流を r パrr 巻線(2)に流すと、特性は基点を 0 から a に移動した点線のように変更される。したがって力行時の動作値を I_{a1} から I_{a2} に増加し、制動時を I_{b1} から I_{b2} に減少して、力行時と制動時におけるそれぞれの動作値を互いに異なるようにできる。なお抵抗(3)の調整により 0 a 間、r (4)の調整により動作点 L を変更でき、あるいはこれら両調整を合成して任意の特性が得られるものである。

(特許第 408097 号) (太田記)

無電気金メッキ溶液

発明者 秦 卓 也·武 田 武 明

この発明は、メッキ 金属と被 メッキ 金属との化学的駆動力を利用した無電気金 メッキ において、メッキ 液中に化学的に活性な ニッケル、またはコパルトの可溶性塩類、またはその水溶液を添加することを特長とし、メッキ 速度を増大し (従来の約3倍)、メッキ厚さもほとんど限界がない厚い金メッキを施すことを可能となすものである。

すなわちこの発明のメッキ 溶液は、可溶性金化合物、錯化剤、PH 緩衝剤、活性金属イオンから成っており、金化合物としてはシアン化金酸カリ、塩化金が適当である。 錯化剤は被メッキ 素地金属イオンを錯塩にするもので、一般に -COOH 基と -OH 基か -COOH 基と -NH2 基を有し、 R(OH)COOH か R(NH2)COOH かで表わされる有機錯化剤が適当である。 なお R は アルキル 基、フュニール 基、オレフィン 基、フェニレン 基、およびそれらのアグ 化合物などの脂肪族または芳香族炭化水素からなるもので、水に可溶性で錯イオン生成恒数(安定度)の高いものが良い。

実施例 1

シアン 化金酸 カリ 5 g/l=0.017 mol/l (0.003~0.1 mol/l)

塩化 ニッケル 5 g/l=0.021 mol/l (0.004 \sim 0.08 mol/l)

エチレンジアミンテトラ 酢酸 ナトリウム

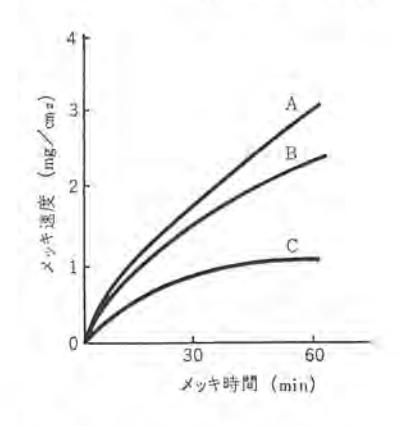
 $50 \text{ g/}l = 0.13 \text{ mol/}l \ (0.027 \sim 0.27 \text{ mol/}l)$

塩化 アンモンーアンモニア 緩衝剤 40 cc/l

PH 9.0, 温度 95°C, メッキ 速度 1.2 mg cm²/10分 (素地はニッ

ケル)ここで()内の mol/l は溶液中の各成分比の使用できる 範囲を示す. 図は従来の メッキ 液とこの発明の メッキ 液とを, メッキ 速度と メッキ 時間との関係について比較したもので, A はこの発 明の液 (ニッケル 入り), B は同じく コパルト 入り, C は従来の液に よるもので メッキ 素地が ニッケル の場合である. 図においてもわか るように, 従来のものの特性は 20~30 分で メッキ 速度が平衡す るから メッキ の厚さが限定されるのに対し, この発明によれば メッ キ 速度は従来の約3 倍となり, しかも メッキ 速度は 10 分後と 1 時 間後とでも変化はなく, したがって厚い金 メッキ も可能となる.

(特許第 426776 号) (伊藤記)



電気車停止装置

考案者 中川 敏 勝

この考案は電気車が目的地に近づいたとき,自動的に主回路を 開き,かつ制動力を与えて電気車を安全に目的地に停止させるも のである. すなわちこの考案は駅前方の軌道上に図2に示すごとき停止指令片(13)を設け,他方電気車床下に,パネ(45)により保持された作動腕(43)を有するスイッチ(4)を設ける.このスイッチは作動腕の

先端 (44) が指令片 (13) と接触したとき,その後端 (48) により可 トウ接点 (46) を鎖線のごとく接点 (47) に接触させるように働く.

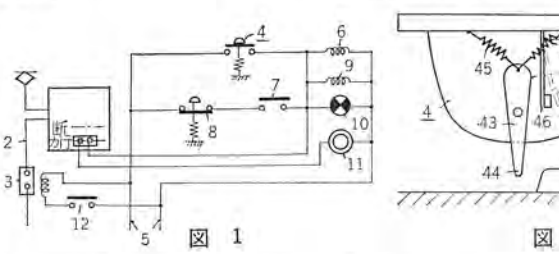
この スイッチ (4) の閉成は図 1 から明らかなように, 継電器 (6) を電源 (5) により付勢し,接点 (7) で自己保持するとともに,接点 (12) を閉じて主回路 (2) 中の シャ 断器 (3) を開放すると同

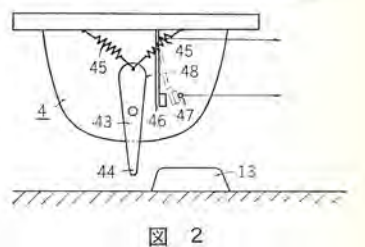
時に制動用圧縮空気の電磁弁(9)も付勢されるから電気 車は漸次減速して目的地に停止することになる。もちろ ん制動開始時の速度、乗客数、編成量などを勘案して運 転上が手動 プレーキを併用する必要がある。

なお蛇足ながら、(10) は表示灯、(11) は主幹制御器 (1) の力行 ノッチ を介して付勢される ブザー である. した がって スイッチ (4) の閉成と同時に表示灯(10) が点灯、ブ

ザー(11) が鳴る. 運転士がこの ブザー音を聞いた後主幹制御器(1) を力行から断に切り換えると ブザー(11) はやむが、表示灯は電気車が停止して、運転士が リセットボタン(8) を押すまで点灯を維持して、電気車が制動中にあることを表示する.

(登録実用新案第 720655 号) (太田記)





誘導電圧調整装置の過大回転力防止装置

考案者 杉山昌司・小川鎮二

この考案は誘導電圧調整器の回転子に過大回転力が生じた場合, ウォーム 歯車から大きな制動力が作用しないようにした誘導電圧調 整器の過大回転力防止装置を提供するものである.

この考案の過大回転力防止装置は、誘導電圧調整器(1)の回転子軸(2)端において、軸にウォーム 歯車(4)が装架される部分に設けられている。すなわち、回転子軸(2)の軸端上にテーパピン(5)などによって固着されたスパイダ(6)を装架し、スパイダ(6)はウォーム 歯車(4)の内径にはめ合わされる外径部(7)と、ウォーム歯車(4)の側面(8)に係合する側面を持つつランジ(9)とを一体に形成し、フランジ側と反対端の外径上にネジ部(10)を設けている。またウォーム歯車(4)はスパイダ(6)のフランジ側面に係合する側面(8)と反対側に、波形円板状パネ板(12)を収容した適当な径のオウ(凹)入部(11)をそなえている。波形パネ板(12)はスパイダ(6)のネジ部(10)にラ(螺)合するネジ(13)を有する締付ナット(14)によって押圧され、ウォーム歯車(4)の側面に向って圧迫している。

この考案は以上のような構成によって、ウォーム 歯車 (4) は パネ 板 (12) に押されその側面 (8) を常に一定の圧力でスパイダ (6) の つランジ (9) の側面に係合し、一定の回転力までは スパイダ (6) 従って回転子軸 (2) に固定された関係を保って、軸とともに回転する

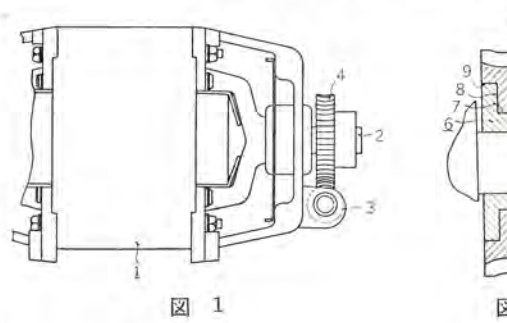
出 子

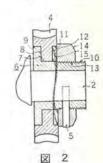
この考案は、垂直なる絶縁薄板(1)に、垂直方向に所定間隔をあけて設けられた複数個のそう(挿)通部(2)(2)と(3)(3)とをそれぞれ並設し、このそう通部の一方の(2)(3)から上記絶縁薄板(1)の一面に貫通させた端子線(4)(5)を、さらに上記そう通部の他方の(2)(3)から上記絶縁薄板(1)の他面に貫通させ、上記絶縁薄板(1)の端縁から突き出させた一方の端子線端を、印刷配線板(6)の部品取付穴(7)にそう入固着するようにしたもので、絶縁薄板(1)と端子線(4)(5)、および印刷配線板(6)とはきわめて簡単に構成され、しかもその端子線端を絶縁薄板(1)の端縁から突き出させているので、印刷配線板(6)への絶縁薄板(1)の取り付け、ならびに端子線(4)(5)への部品の取り付けなどがきわめて容易になるばかりでなく、図1に示すように、上記端子線(4)(5)を用いないで、部品(I)のリード線(J)(K)を端

が、一定限度をこえた回転力の際は、側面(8)ですべって回転子軸(2)とともには回転しなくなるものである。

以上のようにしてこの考案によれば、短絡現象によって誘導電圧調整器の各巻線に過大電流が流れ、回転子軸に過大な回転力が発生しても、従来のように回転子軸に固定されたウォーム 歯車の制動作用による軸の曲げ切損、ウォーム 歯車固定用 ピンの切断、その他固定部分の破損などの故障を生ずるおそれはなく、また上記のように軸まわり部材の破損などのおそれがないため、過大回転力を予想して機械強度の安全係数を必要以上に大に設計する必要はなく、製作価格が安価となるなど多くの利点を有する。

(登録実用新案第 742711 号) (伊藤記)



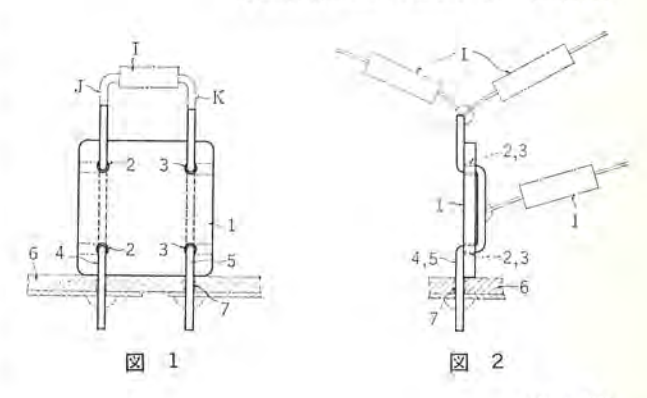


装 置

考案者 岡村宗和

子線として使用するようにすれば、さらに安価に提供できるもの である.

(実用新案登録第 741471 号) (土居記)



次号予定

三菱電機技報 Vol. 39 No. 7

電子商品と照明特集

- ○19 形 カラー 受信管の ラジアルミスランデイング
- ○テレビジョン 受信機の不要 フク 射測定
- ○テレビジョン 受信機の新中間周波数
- ○ラジオ 受信機回路の複合化
- ○自動車運転免許試験 コース 説明装置
- ○小形電子 レンジ
- ○超高出力 ケイ光 ランプ の照明経済的考察
- ○ョウ 化物入り高圧水銀灯
- ○工場用防爆形照明器具と爆発試験
- ○山形美術博物館の照明設備

論文

- ○最近の電車用 ATC 装置
- ○高速加算回路試験装置
- ○金属材料の新簡易分析法
- 〇ポリウレタン の力学的性質

技術解説

○ケイ 光 ランプ の高効率化と高出力化

三菱電機技報編集委員会

委員長 小 倉 弘 毅 常任委員 明 Ti 精

- 7 蓝 17
 - 川理 石
 - 字佐見重夫
 - 大 野寛孝
 - 路誠
 - 小烟富次雄
 - 给 木正
 - 父江晴秋 相
 - 野光 雄
 - 馬 場文 夫 内 # 次 宫
 - 安 松 靖 彦
 - 田学 Ш
- 委 大 森淳
 - 尾 畑意
 - 樫 本 俊 弥
 - 袖 畸 邇 大 島 津 介
 - 堀 真
 - (以上 50 音順)

昭和40年6月22日印刷 昭和40年6月25日発行 「禁無断転載」 定価1部 金100円(送料別)

編集兼発行人

34 毅 東京都千代田区丸の内2丁目12番地 小 食 EII RII

東京都新宿区市谷加賀町1丁目 大日本印刷株式会社

東京都新宿区市谷加賀町1丁目 高 橋 武

三菱電機株式会社內「三菱電機技報社」

東京都千代田区丸の内2丁目12番地 (三菱電機ビル内) (電) 東京 (212) 大代表 6111

売 元 発

発

株式会社オーム社書店 東京都千代田区神田錦町3の1 電話 (291) 0912 振替東京 20018

本社 営業所 研究所 製作所 工場 所在地

東京都千代田区丸の内2丁目12番地 (三菱電機ビル内) (電)東京(212)大代表6111

大阪市北区堂島北町8の1 (電) 大阪 (312) 大代表 1231 大阪営業所 名古屋市中村区広井町3の88・大名古屋ビル (電) 名 古 屋 (56) 大 代 表 5311 名古屋営業所 福岡市天神2丁目12番地1号 天神ビル5階(電) 福岡 (75) 代表 6231 福岡営業所 札幌市北二条西4の1・北海道ビル (電)札幌(26)大代表9111 札幌営業所 仙台市大町 4 の 175・新仙台ビル (電)仙台(22)代表6101 仙台営業所 富山市桜木町 1 番29号·明治生命館 (電)富山(3)代表3151 富山営業所 広島営業所 広島市八丁堀15番8号 (電) 広島 (21) 代表 4411 高松市鶴屋町 45 番地 (電) 高松 (2) 大代表 0001 高松営業所 東京都千代田区丸の内2の12・三菱電機ビル(電) 東京 (212) 大代表 6111 東京商品営業所 大阪市北区堂島北町 8 の 1 (電) 大阪 (312) 大代表 1231 大阪商品営業所 名古屋市中村区広井町3の88・大名古屋ビル (電) 名 古 屋 (56) 大代表5311 名古屋商品営 業 所 名 古 屋 福岡市天神2丁目12番地1号 天神ビル5階(電) 福岡 (75) 代 表 6231 福岡商品営業所 札幌市北二条西4の1・北海道ビル (電)札幌(26)大代表9111 札幌商品営業所 仙台市大町 4 の 175・新仙台ビル (電) 仙台(22) 代表6101 仙台商品営業所 富山市桜木町 1 番29号·明治生命館 (電)富山(3)代表3151 富山商品営業所 広島市八丁堀15番8号 (電) 広島 (21) 代表 4411 広岛商品営業所 高松市鶴屋町 45 番地 (電) 高松 (2) 代表 0001 高松商品営業所 横浜市神奈川区沢渡16 高島台第2ビル (電) 横浜 (48) 6121~6123 横浜出張所 新潟市万代町69番地 (電)新潟(4)0643 新週用帮所 静岡市七間町 9 の 10・池田ビル (電)静岡(53)代表 9186 静岡出張所 北九州市小倉区京町10の28・五十鈴ビル (電) 小 倉 (52) 代表 8234 北九州出張所 長崎市大黒町3番1号長崎交通産業ビル(電)長崎代表(3)6101 長崎出張所 岡山市駅前町 1 の 1 岡山会館 (電)岡山 (4) 代表 0331 岡山出張所 金沢市幸町13番28号 (電)金沢(31)6213~4 金沢出張所 松本市白板 212 番地 (電) 松本 (2) 1058 • (3) 1453 長野出張所 尼崎市南清水字中野 80 番地 (電) 大阪 (481) 大代表 8021 中央研究所 鎌 倉 市 大 船 782 番 地 (電) 鎌倉 (6) 代表 6111 商品研究所 神戸市兵庫区和田崎町3丁目 (電) 神戸 (67) 代表 5041 神戸製作所 已 時 市 南 清 木 与 電) 大 阪 (481) 字 中 野 80 番 地1) 大 代 表 8 0 2 1 伊丹製作所 長崎市平戸小屋町 122 番地 (電) 長崎 (3) 代表 3101 長崎製作所 名古屋市東区矢田町18丁目1番地 (電)名古屋(73)代表1531 名古屋製作所 福岡市今宿青木690番地 (電)福岡代表0431 福岡製作所 福山市沖野上町6丁目709番地 (電) 福山 (2) 代表 2800 福山製作所 姫路市千代田町 840 番地 (電) 姫路 (23) 大代表 1251 妮 路 製 作 所 相 模 原 市 小 山 字 久 保 2 2 4 の 2 2 4 (電) 相 模 原 (72) 大 代 表 5 1 3 1 相模製作所 静 岡 市 小 鹿 110 番 地 (電) 静岡 (85) 大代表 1111 静岡製作所 (電) 中津川 大代表 2121 中津川市駒場町1番地3号 中津川製作所 和歌山市岡町 91 番地 (電) 和歌山 (3) 代表 1275 和歌山製作所 大船製作所 鎌倉市大船 800 番地 (電) 鎌倉 (6) 代表 6111 郡山市字境橋町1番地 (電) 郡山(2) 1220~1223 郡山製作所 群馬県新田郡尾島町大字岩松800番地 (電) 太田代表 4311番 群馬製作所 尼崎市南清水字中野 80 番地 (電) 大阪 (481) 大代表 8021 無線機製作所 京都府乙訓郡長岡町大字馬場小字図所1(電) 京都 西山 (92) 代表 1141 京都製作所 伊丹市大鹿字主ケ池1番地 (電) 伊丹大代表5131 北伊丹製作所 鎌倉市上町屋 325 番地 (電) 鎌倉(6) 大代表 6171

⑥抜き刷りご案内

鎌倉製作所

稲沢製作所

鎌倉製作所伊丹工場

相模製作所世田谷工場

伊丹製作所

尼 畅 80 番地

(語)

京都東

四市 를 輪

本誌掲載の論文は、抜き刷りを用意しておりますのでご入用の方は、 「三菱電機技報社」編集部までご連絡下さい.

稲沢市字井之口 (電) 稲沢(32)代表 4121

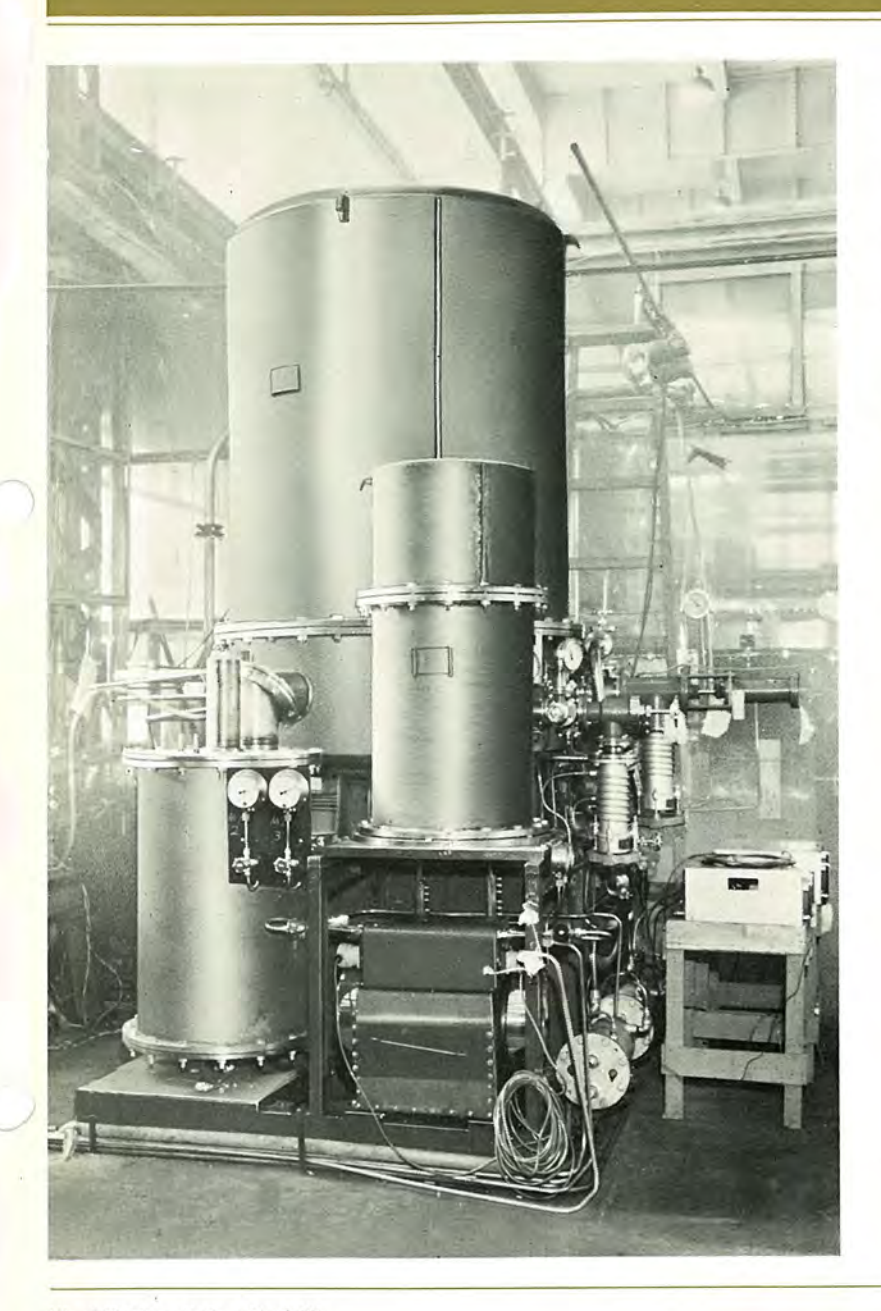
世田谷区池尻町437番地京(414) 代表8111

町字文本部85番田 4371~437

市 南 清 大阪

水 字 中 野 (481) 大代表 8021

●大容量へリウム冷凍機(UL-200) 完成!



JRR-3 原子炉の H-5 ビームチューブ に設置される極低温照射装置の中の主冷却系が、このほど工場立会試験を完了し出荷された。この装置は、中性子による固体結晶の照射損傷の基礎的研究実験を行なう際、試料を へりウムミストによって、極低温温度に保持するための冷凍装置である。

衆知のように、当社は、1961年わが国最初の機械式 ヘリウム 液化機を完成し、はん用液化機 (UL-80) として標準化を終わり、既に各方面で稼働しているが、今回の UL-200 は、

- (1)わが国最大容量機である.
- (2) クローズドサイクル 専用冷凍方式に属する.
- (3)液体窒素などによる予冷を行なわない.

ことなどが注目される.

おもな仕様は下記のとおりである.

■構成

- (a) 圧縮 ユニット 四段圧縮、67 kW
- (b) 熱交換 タンク 主熱交換器, JT 熱交換器, 80° K へりウム ガス 断熱冷却系熱交換器
- (c) 機関タンクおよびクロスヘッド
- (d) 総括制御盤

■ 冷凍方式

往復動膨張機関 2 基と, 一段の Joule Thomson 膨張による Claude 方式

■ 冷凍能力

50 W

UL-200 形ヘリウム冷凍機

